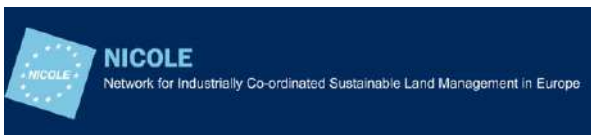




European Union Network for the Implementation
and Enforcement of Environmental Law



Working Group
Contamination

Έκθεση για την εξαγωγή ατμών εδάφους

Τελική Έκθεση

Ημερομηνία: 8 Νοεμβρίου 2021
Αριθμός έκθεσης: 2020/09 EAE GR

Εισαγωγή στο Δίκτυο της Ευρωπαϊκής Ένωσης για την Εφαρμογή και την Εκτέλεση της Περιβαλλοντικής Νομοθεσίας (IMPEL)

Το Δίκτυο της Ευρωπαϊκής Ένωσης για την Εφαρμογή και την Εκτέλεση της Περιβαλλοντικής Νομοθεσίας (European Union Network for the Implementation and Enforcement of Environmental Law-IMPEL) είναι μια διεθνής μη κερδοσκοπική ένωση των περιβαλλοντικών αρχών των κρατών μελών της ΕΕ, των προσχωρούντων και υποψήφιας χωρών της Ευρωπαϊκής Ένωσης και των χωρών του ΕΟΧ. Η ένωση είναι εγγεγραμμένη στο Βέλγιο και η νόμιμη έδρα της βρίσκεται στις Βρυξέλλες, Βέλγιο.

Το IMPEL δημιουργήθηκε το 1992 ως ένα άτυπο Δίκτυο Ευρωπαϊκών ρυθμιστικών αρχών και αρχών που ασχολούνται με την εφαρμογή και την επιβολή της περιβαλλοντικής νομοθεσίας. Στόχος του Δικτύου είναι να ωθήσει την Ευρωπαϊκή Κοινότητα ώστε να σημειωθεί πρόοδος στην εξασφάλιση μιας αποτελεσματικότερης εφαρμογής της περιβαλλοντικής νομοθεσίας. Ο πυρήνας των δραστηριοτήτων του IMPEL αφορά την ευαισθητοποίηση, την ανάπτυξη ικανοτήτων και την ανταλλαγή πληροφοριών και εμπειριών σχετικά με την υλοποίηση, την επιβολή και τη διεθνή συνεργασία σε θέματα επιβολής, καθώς και στην προώθηση και υποστήριξη της πρακτικής εφαρμογής και της δυνατότητας εκτέλεσης της ευρωπαϊκής περιβαλλοντικής νομοθεσίας.

Κατά τη διάρκεια των προηγούμενων ετών το IMPEL εξελίχθηκε σε έναν αξιόλογο, ευρέως γνωστό οργανισμό, ο οποίος αναφέρεται σε πολλά νομοθετικά και πολιτικά έγγραφα της ΕΕ, π.χ. στο 7^ο Πρόγραμμα Περιβαλλοντικής Δράσης και στη Σύσταση Ελαχίστων Κριτηρίων για Περιβαλλοντικές Επιθεωρήσεις.

Η τεχνογνωσία και η εμπειρία των συμμετεχόντων του IMPEL, καθιστούν το δίκτυο ιδιαίτερα ικανό να εργαστεί τόσο σε τεχνικές όσο και σε ρυθμιστικές πτυχές της περιβαλλοντικής νομοθεσίας της ΕΕ.

Πληροφορίες σχετικά με το δίκτυο IMPEL διατίθενται επίσης μέσω του δικτυακού ιστότοπου στη διεύθυνση: www.impel.eu

Suggested citation:

Falconi M. et al. (2021), Έκθεση για την εξαγωγή ατμών εδάφους. IMPEL, COMMON FORUM, EIONET, NICOLE report no 2020/09 EAE GR, 303 pages. Brussels, ISBN 978-2-931225-11-0



Τίτλος έκθεσης: Έκθεση για την εξαγωγή ατμών εδαφους (EAE)	Αριθμός έκθεσης: 2020/09 EAE GR	
Η έκθεση εγκρίθηκε στη συνεδρίαση της Γενικής Συνέλευσης του IMPEL: 7-8 Δεκεμβρίου 2021, Λιουμπλιάνα (Σλοβενία)	Σύνολο αριθμού σελίδων: 303 Έξθεση: 51 σελίδες Παράρτημα: 252 σελίδες	
Διαχειριστές έργων:		
Marco Falconi (IT)	IMPEL	ISPRA
Dietmar Müller-Grabherr (AT)	Common Forum	Umweltbundesamt AT
Frank Swartjes (NL)	EIONET WG Contamination	RIVM
Tomas Albergaria (PT)	NICOLE	Instituto Politécnico do Porto
Συγγραφείς:		
Dietmar Müller-Grabherr (AT)	Common Forum	Umweltbundesamt AT
Tomas Albergaria (PT)	NICOLE	Instituto Politécnico do Porto
Joanna Badouna (GR)	-	CERTH
Francesca Benedetti (IT)	IMPEL	MITE (Consultant)
Said El Fadili (BE)	IMPEL	ENVIRONNEMENT BRUSSELS
Marco Falconi (IT)	IMPEL	ISPRA
Federico Fuin (IT)	IMPEL	ARPAV
Eleni Gianni (GR)	-	CERTH
Gabriella Grima (MT)	IMPEL	ERA
Dimitri Karapanos (GR)	-	CERTH
Christos Karkalis (GR)	-	CERTH
Nikolaos Koukouzas (GR)	-	CERTH
Dirk Krebs (DE)	IMPEL	REGIERUNGSPRÄSIDIUM DARMSTADT
Christina Pisani (MT)	IMPEL	ERA
Alex Plows (UK)	IMPEL	CYFOETHNATURIOLCYMRU
Andrea Sconocchia (IT)	IMPEL	ARPA UMBRIA
Pavlos Tyrologou (GR)	-	CERTH
Asa Valley (SE)	EIONET WG Contamination	NATURVÅRDSVERKET
Συνεισφέροντες στο παράρτημα 1 ISCO:		
Federico Caldera (IT)	MARES	
Simone De Fazio (IT)	GOLDER ASSOCIATES	
Boris Devic-Bassaget (FR)	SUEZ RR IWS REMEDIATION FRANCE	
Paola Canepa (IT)	ARPA LOMBARDIA	
Massimiliano Confalonieri (IT)	ARPA LOMBARDIA	
Sophia Dore (US)	GHD	
Alain Duchene (BE)	HAEMERS TECHNOLOGIES	
Daniela Fiaccavento (IT)	ARPAV	
René Fillion (US)	GHD	
Jan Haemers (BE)	HAEMERS TECHNOLOGIES	
Aline Jordens (BE)	HAEMERS TECHNOLOGIES	
Angela Rosa Marin (IT)	ARPA LOMBARDIA	
Valter Meda (IT)	ARPA LOMBARDIA	
Davide Menozzi (AU)	GHD	

Paola Panzeri (IT)	ARPA LOMBARDIA
Mathieu Petitjean (BE)	HAEMERS TECHNOLOGIES
Sara Puricelli (IT)	ARPA LOMBARDIA
Jean Rhone (FR)	HAEMERS TECHNOLOGIES
Diego Ricci (IT)	ARPA LOMBARDIA
Hatem Saadaoui (BE/TN)	HAEMERS TECHNOLOGIES
Luca Sacilotto (IT)	RAMBOLL
Valentina Sammartino (IT)	ARPA CAMPANIA
Hadas Sharon (IL)	LUDAN ENVIRONMENTAL TECHNOLOGIES
Ewa Szczebak (PL)	ARCADIS
Corrado Thea (IT)	GOLDER ASSOCIATES
Aldo Trezzi (IT)	RAMBOLL
Mathieu Vion (FR)	SUEZ RR IWS REMEDIATION FRANCE
Αξιολογητές:	
Federico Caldera (IT)	MARES
Craig Cox (US)	COX COLVIN & ASSOCIATES
Mathieu Petitjean (BE)	HAEMERS TECHNOLOGIES

Περίληψη

Λέξεις κλειδιά

Άντληση Εδαφικού Αέρα, Βιώσιμη Αποκατάσταση, Έδαφος, Υπόγεια ύδατα, Εδαφική Πολιτική, Αποκατάσταση, Περιβάλλον, Μηδενική δέσμευση γης, Ρύπανση, Ρυπασμένες περιοχές, Μόλυνση, Περιοχές με ρυπαντικό φορτίο, Παρακολούθηση, Δοκιμή στο πεδίο.

Ομάδες στόχου

Αρμόδιες αρχές για την έγκριση/εφαρμογή/παρακολούθηση της τεχνολογίας αποκατάστασης, βιομηχανικούς φορείς, υπηρεσίες προστασίας του περιβάλλοντος, όργανα προστασίας της φύσης, περιβαλλοντικούς επιθεωρητές, περιβαλλοντικούς παρακολουθητές/ελεγκτές και ερευνητικά ιδρύματα, πολυτεχνικές σχολές, περιβαλλοντικές ενώσεις, ΜΚΟ, ασφαλιστικές εταιρείες και ενώσεις, περιβαλλοντικούς συμβούλους.

Ως μέρος του Προγράμματος Εργασίας του για το 2020, το δίκτυο IMPEL δημιούργησε το εξής έργο: «Αποκατάσταση Υδάτων και Εδάφους-Water and Land Remediation (2020/09)», αναφορικά με τα κριτήρια για την αξιολόγηση της δυνατότητας εφαρμογής των τεχνολογιών αποκατάστασης.

Το έργο «Αποκατάσταση Υδάτων και Εδάφους» έχει ως αφετηρία την καθοδήγηση σχετικά με τους ορισμούς και τα βασικά βήματα της εφαρμογής της τεχνολογίας αποκατάστασης και επικεντρώνεται στις τεχνικές διαδικασίες που συνδέονται με τις τεχνολογίες αποκατάστασης. Απώτερος σκοπός του έργου είναι η παραγωγή ενός εγγράφου που θα αποδεικνύει τα κριτήρια για την αξιολόγηση της πρότασης εφαρμογής της τεχνολογίας αποκατάστασης, την κατανόηση της δυνατότητας εφαρμογής, το τι πρέπει να πραγματοποιηθεί στις δοκιμές πεδίου καθώς και στην εφαρμογή πλήρους κλίμακας. Το Παράρτημα 1 καλύπτει έναν αριθμό μελετών περίπτωσης, που πιθανά να βοηθήσουν τον αναγνώστη να προβλέψει τυχόν προβλήματα που μπορεί να αντιμετωπίσει και να ελέγξει εάν η λύση που παρέχεται μπορεί να εφαρμοστεί στον τόπο του, γνωρίζοντας ότι κάθε ρυπασμένη περιοχή διαφέρει από τις υπόλοιπες αφού κάθε προσέγγιση πρέπει να προσαρμόζεται στον εκάστοτε τόπο.

Ο στόχος του έργου «Αποκατάσταση Υδάτων και Εδάφους» για την περίοδο 2020-2021 ήταν να επικεντρωθεί σε δύο τεχνολογίες αποκατάστασης, την Επιτόπια Χημική Οξείδωση και Άντληση Εδαφικού Αέρα.

Τέλος, το έργο «Αποκατάσταση Υδάτων και Εδάφους» σκοπεύει να συμβάλει στην προώθηση της επιτόπιας εφαρμογής των τεχνολογιών αποκατάστασης του εδάφους και των υπόγειων υδάτων σε καθορισμένη περιοχή, και στη μείωση της εφαρμογής των μεθόδων «Εκσκαφής και Διάθεσης» και «Άντλησης και Επεξεργασίας», οι οποίες είναι τεχνικές που χρησιμοποιούνται ευρέως στην Ευρώπη αλλά δεν είναι βιώσιμες μεσο- και μακρο-πρόθεσμα. Το έδαφος και το νερό είναι φυσικοί πόροι, που όταν είναι τεχνικά εφικτό, πρέπει να ανακτώνται και όχι να σπαταλώνται.

Ευχαριστίες

Η παρούσα έκθεση αξιολογήθηκε από την ευρύτερη ομάδα έργου IMPEL και από την ομάδα εμπειρογνομόνων Νερού και Εδάφους του IMPEL, το δίκτυο COMMON FORUM, το δίκτυο NICOLE, το EIONET WG Contamination και μια ομάδα εξωτερικών αξιολογητών.

Αποποίηση ευθύνης

Η παρούσα έκδοση εκπονήθηκε στο πλαίσιο του έργου IMPEL Αποκατάσταση Υδάτων και Εδάφους με την υποστήριξη των δικτύων εταιρών ενδιαφερόμενων για τη Διαχείριση Ρυπασμένων Εδαφών. Γραμμένο και αναθεωρημένο από μια ομάδα συγγραφέων, το παρόν έγγραφο σκοπεύει να χρησιμεύσει ως πρωτογενής πηγή πληροφοριών για τη γεφύρωση και τη διεύρυνση των γνώσεων μεταξύ των Ευρωπαϊκών χωρών και περιοχών. Στοχεύοντας στην υποστήριξη της κοινής κατανόησης των δυνατοτήτων της συγκεκριμένης τεχνολογίας αποκατάστασης επιδιώκει την ευρεία διευκόλυνση.

Το παρόν περιεχόμενο βασίζεται στη σχετική βιβλιογραφία, στην εμπειρία των συγγραφέων και στις συλλεχθέντες μελέτες περιπτώσεων. Το έγγραφο ενδέχεται να μην είναι εκτενές σε όλες τις περιπτώσεις στις οποίες έχει εφαρμοστεί ή θα εφαρμοστεί αυτή η τεχνολογία. Οι μελέτες περιπτώσεων (βλ. παράρτημα) αποτελούν αναγνωρισμένες εθελοντικές συνεισφορές. Η ομάδα των συγγραφέων δεν είχε κανένα καθήκον αξιολόγησης ή επαλήθευσης των εκθέσεων των μελετών περίπτωσης.

Καθώς ορισμένες χώρες, περιφέρειες ή τοπικές αρχές μπορεί να έχουν θεσπίσει ειδική νομοθεσία, κανόνες ή κατευθυντήριες γραμμές για να πλαισιώσουν τις τεχνολογικές εφαρμογές.

Το παρόν έγγραφο ΔΕΝ προορίζεται ως κατευθυντήρια γραμμή ή έγγραφο αναφοράς των Βέλτιστων Διαθέσιμων Τεχνικών (ΒΔΤ) για την εν λόγω τεχνολογία. Οι εδαφολογικές, γεωλογικές και υδρογεωλογικές συνθήκες των ρυπασμένων περιοχών σε όλη την Ευρώπη παρουσιάζουν μεγάλη ποικιλομορφία. Ως εκ τούτου, ο εξατομικευμένος και ειδικός ανά περιοχή σχεδιασμός και η αντίστοιχη υλοποίηση είναι το κλειδί για την επιτυχία της αποκατάστασης των ρυπασμένων περιοχών. Έτσι, κάθε σύσταση που αναφέρεται θα μπορούσε να εφαρμοστεί, να εφαρμοστεί εν μέρει ή να μην εφαρμοστεί καθόλου. Σε κάθε περίπτωση, οι συγγραφείς, οι συντελεστές, τα εμπλεκόμενα δίκτυα, δεν μπορούν να θεωρηθούν υπεύθυνοι.

Οι γνώμες που εκφράζονται στο παρόν έγγραφο δεν είναι απαραίτητα εκείνες των μεμονωμένων μελών των υπογεγραμμένων δικτύων. Το IMPEL και τα συνεργαζόμενα δίκτυα συνιστούν ανεπιφύλακτα στα άτομα/οργανισμούς που ενδιαφέρονται να εφαρμόσουν την τεχνολογία στην πράξη να προσλάβουν τις υπηρεσίες έμπειρων περιβαλλοντικών επαγγελματιών.

Marco Falconi – IMPEL

Dietmar Müller Grabherr – COMMON FORUM on Contaminated Land in Europe

Frank Swartjes – EEA EIONET WG Contamination

Tomas Albergaria – NICOLE

Ευρετήριο όρων

Όρος	Ορισμός	Πηγή	Παράγραφος
‘σημείο συμμόρφωσης’	θέση (π.χ. έδαφος ή υπόγεια ύδατα) στην οποία πρέπει να μετρώνται τα κριτήρια αξιολόγησης και δεν πρέπει να υπερβαίνονται	ISO EN 11074	3.4.5
‘έλεγχος συμμόρφωσης ή απόδοσης’	διερεύνηση ή πρόγραμμα συνεχόμενης επιθεώρησης, δοκιμής ή παρακολούθησης για την επιβεβαίωση της ορθής εφαρμογής μιας στρατηγικής αποκατάστασης (π.χ., καθολική απομάκρυνση ρυπαντών) και/ή, όταν μια προσέγγιση περιορισμού έχει υιοθετηθεί, να συνεχίζει να αποδίδει στο καθορισμένο επίπεδο	ISO EN 11074	6.1.5
‘ρυπαντής’ ¹	ουσία(ες) ή παράγοντας(ες) που υπάρχουν στο έδαφος ως αποτέλεσμα ανθρώπινης δραστηριότητας	ISO EN 11074	3.4.6
‘ρυπασμένη περιοχή’ ²	χώρος όπου υπάρχει ρύπανση	ISO EN 11074	2.3.5
‘ρύπανση’	ουσία(ες) ή παράγοντας(ες) που υπάρχουν στο έδαφος ως αποτέλεσμα ανθρώπινης δραστηριότητας	ISO EN 11074	2.3.6
‘αποτελεσματικότητα’ ³	<μέθοδος αποκατάστασης> μέτρο της ικανότητας μιας μεθόδου αποκατάστασης να επιτύχει μια απαιτούμενη απόδοση	ISO EN 11074	6.1.6
‘εκπομπή’	την άμεση ή έμμεση έκλυση ουσιών, δονήσεων, θερμότητας ή θορύβου από μεμονωμένες ή διάχυτες πηγές στην εγκατάσταση στον αέρα, το νερό ή το έδαφος	IED	Art. 3 (4)
‘πρότυπο περιβαλλοντικής ποιότητας’	το σύνολο των απαιτήσεων που πρέπει να πληροί σε δεδομένη χρονική στιγμή ένα δεδομένο περιβάλλον ή συγκεκριμένο τμήμα του, όπως ορίζεται στο δίκαιο της Ένωσης	IED	Art. 3 (6)
‘Συντελεστής Henry’	συντελεστής κατανομής μεταξύ εδαφικού αέρα και εδαφικού νερού	ISO EN 11074	3.3.12
‘in-situ μέθοδοι αποκατάστασης’ ⁴	μέθοδος αποκατάστασης που εφαρμόζεται απευθείας στο περιβαλλοντικό μέσο που υποβάλλεται σε επεξεργασία (π.χ. έδαφος, υπόγεια ύδατα) χωρίς εξαγωγή της ρυπασμένης μήτρας από το έδαφος	ISO EN 11074	6.2.3
‘απόπλυση’	διάλυση και μετακίνηση διαλελυμένων ουσιών με το	ISO EN 11074	3.3.15

¹ Ο ορισμός αυτός δεν προϋποθέτει ότι οι βλάβες οφείλονται στην παρουσία ρύπανσης.

² Ο ορισμός αυτός δεν προϋποθέτει ότι η βλάβη προκύπτει από την παρουσία ρύπανσης.

³ Στην περίπτωση μιας μεθόδου που βασίζεται στη διεργασία, η αποτελεσματικότητα μπορεί να εκφραστεί με βάση τις επιτυγχανόμενες συγκεντρώσεις των υπολειμματικών ρύπων.

⁴ Σημείωση: Το ISO CD 241212 προτείνει ως συνώνυμο: "τεχνική επί τόπου (αποκατάστασης)" [Σημείωση 1 στην καταχώριση: Η εν λόγω εγκατάσταση αποκατάστασης εγκαθίσταται επί τόπου και η δράση της επεξεργασίας του ρύπου αποσκοπεί στην άμεση εφαρμογή της στο υπέδαφος]. ISO CD 241212 3. 1

	νερό		
‘ρυπογόνος παράγοντας’	ουσίες ή παράγοντες που υπάρχουν στο έδαφος (ή στα υπόγεια ύδατα) και οι οποίες, λόγω των ιδιοτήτων, της ποσότητας ή της συγκέντρωσής τους, προκαλούν δυσμενείς επιπτώσεις στις λειτουργίες του εδάφους	ISO EN 11074	3.4.18
‘μόλυνση’	η άμεση ή έμμεση εισαγωγή, ως αποτέλεσμα της ανθρώπινης δραστηριότητας, ουσιών, δονήσεων, θερμότητας ή θορύβου στον αέρα, το νερό ή το έδαφος που μπορεί να είναι επιβλαβείς για την ανθρώπινη υγεία ή την ποιότητα του περιβάλλοντος, προκαλώντας ζημία σε υλικά αγαθά ή βλάβες ή παρεμποδίσσεις στις ανέσεις και τις άλλες νόμιμες χρήσεις του περιβάλλοντος	IED	Art. 3 (2)
‘στόχος αποκατάστασης’	γενικός όρος για οποιονδήποτε στόχο, συμπεριλαμβανομένων εκείνων που σχετίζονται με τεχνικές (π.χ. υπολοιπούμενες συγκεντρώσεις ρυπαντών, τεχνικές επιδόσεις), διοικητικές και νομικές απαιτήσεις.	ISO EN 11074	6.1.19
‘στρατηγική αποκατάστασης’ ⁵	συνδυασμός μεθόδων αποκατάστασης και συναφών εργασιών που θα ικανοποιούν συγκεκριμένους στόχους που σχετίζονται με τη ρύπανση (π.χ. υπολοιπούμενες συγκεντρώσεις ρυπαντών) και άλλους στόχους (π.χ. σχετικούς με τη μηχανική) και θα ξεπερνούν τους ειδικούς περιορισμούς του χώρου	ISO EN 11074	6.1.20
‘στοχευμένη τιμή αποκατάστασης’	ένδειξη της απόδοσης που πρέπει να επιτευχθεί με την αποκατάσταση, η οποία συνήθως ορίζεται ως στόχος συσχετιζόμενος με τη ρύπανση σε όρους υπολοιπούμενης συγκέντρωσης	ISO EN 11074	6.1.21
‘ζώνη κορεσμού’	ζώνη του εδάφους στην οποία ο χώρος των πόρων είναι πλήρως γεμάτος με υγρό κατά τη στιγμή της εξέτασης	ISO EN 11074	3.2.6
‘έδαφος’	το ανώτερο στρώμα του φλοιού της Γης που βρίσκεται μεταξύ του μητρικού πετρώματος και της επιφάνειας. Το Έδαφος αποτελείται από σωματίδια ορυκτών, οργανική ύλη, νερό, αέρα και ζωντανούς οργανισμούς	IED	Art. 3 (21)
‘εδαφικό αέριο’	αέρια και ατμοί στους πόρους των εδαφών	ISO EN 11074	2.1.13
‘ακόρεστη ζώνη’	ζώνη του εδάφους στην οποία ο χώρος των πόρων δεν γεμίζει πλήρως με υγρό κατά τη στιγμή της εξέτασης	ISO EN 11074	3.2.8

⁵ Η επιλογή των μεθόδων μπορεί να περιορίζεται από διάφορους ειδικούς παράγοντες, όπως η τοπογραφία, η γεωλογία, η υδρογεωλογία, η τάση για πλημμύρες και το κλίμα.

Περιεχόμενα

1	ΕΙΣΑΓΩΓΗ	10
1.1	Ανασκόπηση της μεθόδου ΑΕΑ	10
1.2	Εφαρμοσιμότητα της τεχνολογίας ΑΕΑ	11
1.3	Εξοπλισμός της ΑΕΑ	11
2	ΠΕΡΙΓΡΑΦΗ ΤΗΣ ΤΕΧΝΙΚΗΣ	12
2.1	Γενική περιγραφή της διαδικασίας	12
2.2	Τεχνικό σύστημα και στοιχεία	12
2.3	Δυνατότητα επεξεργασίας των ρύπων	13
2.4	Λαμβάνοντας υπόψη το γεωλογικό περιβάλλον	13
2.5	Εκτιμήσεις για το σχεδιασμό του συστήματος	14
3	ΜΕΛΕΤΗ ΣΚΟΠΙΜΟΤΗΤΑΣ	17
3.1	Οι συνθήκες του χώρου και το Χωρικό Εννοιολογικό Μοντέλο	17
3.1.1	Φύση και έκταση της ρύπανσης	19
3.1.2	Γεωμετρικό χαρακτηριστικό της πηγής	20
3.1.3	Παρουσία ΥΜΥΦ	20
3.1.4	Αποτελέσματα έρευνας εδαφικών αερίων	21
3.1.5	Αεροδιαπερατότητα	21
3.1.6	Ετερογένειες και προτιμητέες διαδρομές	21
3.1.7	Τοπογραφία	22
3.2	Χρήση των Δοκιμών σε Κλίμακα Αναφοράς στο Σχέδιο Αποκατάστασης ΑΕΑ	22
3.3	Εξέταση της σκοπιμότητας ΑΕΑ	25
4	ΔΟΚΙΜΗ ΠΕΔΙΟΥ	28
4.1	Συμβατική πιλοτική δοκιμή	30
4.1.1	Συμβατικός εξοπλισμός πιλοτικών δοκιμών	32
4.1.2	Δοκιμή αυξανόμενης βαθμίδας κενού ΑΕΑ	33
4.1.3	Δοκιμή σταθερού κενού ΑΕΑ	36
4.2	Δοκιμή διανομής και ανάκτησης ηλίου	37
4.3	Παρακολούθηση εδαφικών αερίων	38
4.4	Ελάχιστος εξοπλισμός για δοκιμή πεδίου ΑΕΑ	39
4.5	Το φρεάτιο άντλησης	40
4.6	Πρόταση πιλοτικής δοκιμής - Ελάχιστες απαιτήσεις υποβολής	40
4.7	Εναλλακτική πιλοτική δοκιμή	41
5	ΠΑΡΑΚΟΛΟΥΘΗΣΗ ΤΗΣ ΕΠΙΔΟΣΗΣ	43

5.1	Παρακολούθηση της επιχειρησιακής φάσης	43
5.1.1	Χημικές παράμετροι	43
5.1.2	Φυσικές παράμετροι	44
5.1.3	Μετεωρολογία	44
5.2	Επιβεβαίωση του καθαρισμού και του τερματισμού λειτουργίας του συστήματος	45
5.2.1	Πιθανές γραμμές αποδεικτικών στοιχείων που πρέπει να ληφθούν υπόψη για την επιβεβαίωση του καθαρισμού	45
5.2.2	Προτεινόμενη διαδικασία δειγματοληψίας κατά τη διακοπή λειτουργίας	47
6	ΣΥΜΠΕΡΑΣΜΑΤΑ	48
6.1	Αποτελεσματικότητα, πλεονεκτήματα και μειονεκτήματα	48
6.2	Λειτουργικός έλεγχος για την εφαρμογή ΑΕΑ	49
	ΑΝΑΦΟΡΕΣ	50

1 Εισαγωγή

Το IMPEL, το Δίκτυο της Ευρωπαϊκής Ένωσης για την Εφαρμογή και την Επιβολή της περιβαλλοντικής νομοθεσίας αναπτύσσει, στο πλαίσιο του έργου Αποκατάσταση Υδάτων και Εδάφους (AYE), μια σειρά κατευθυντήριων γραμμών που εστιάζουν στις πιο κοινές και πιο συχνά χρησιμοποιούμενες τεχνολογίες αποκατάστασης του εδάφους και των υπόγειων υδάτων. Αυτές οι κατευθυντήριες γραμμές συνοψίζουν τις πιο πρόσφατες και επικαιροποιημένες πληροφορίες σχετικά με αυτές τις τεχνολογίες αποκατάστασης που θα μπορούσαν να βοηθήσουν τους διακριτούς ενδιαφερόμενους, όπως τους ιδιοκτήτες χώρων, τη γύρω κοινότητα, τους διαχειριστές έργων, τους εργολάβους, τις ρυθμιστικές αρχές και άλλους επαγγελματίες να κατανοήσουν όλες τις πληροφορίες που προέρχονται από κάθε έργο αποκατάστασης. Χρησιμοποιεί πληροφορίες που παρέχονται από τους εμπλεκόμενους συντελεστές, προερχόμενες από επιστημονικές πηγές με κριτές και επίσημες εκθέσεις. Η παρούσα κατευθυντήρια γραμμή συγκεντρώνει τις πιο πρόσφατες γνώσεις σχετικά με μία από τις πιο συχνά χρησιμοποιούμενες τεχνολογίες αποκατάστασης, την Άντληση Εδαφικού Αέρα (ΑΕΑ).

1.1 Ανασκόπηση της μεθόδου ΑΕΑ

Η Άντληση Εδαφικού Αέρα (με συναφείς τεχνολογίες όπως ο εδαφικός αερισμός, ο επιτόπιος εδαφικός αερισμός, ο εδαφικός αερισμός υπό κενό ή η απομάκρυνση υπό κενό) είναι μια από τις πιο συχνά χρησιμοποιούμενες τεχνολογίες αποκατάστασης του εδάφους [FRTR 2020]. Λόγω της ευρείας χρήσης της κατά τις τελευταίες δεκαετίες, η ΑΕΑ, είναι σήμερα μια αποδεκτή, καλά εδραιωμένη και αποτελεσματική τεχνολογία για την αποκατάσταση εδαφών που έχουν ρυπανθεί με πτητικές (ή, κατά τόπους, και ημιπτητικές) οργανικές ενώσεις στην ακόρεστη ζώνη του εδάφους [Suthersan 1999].

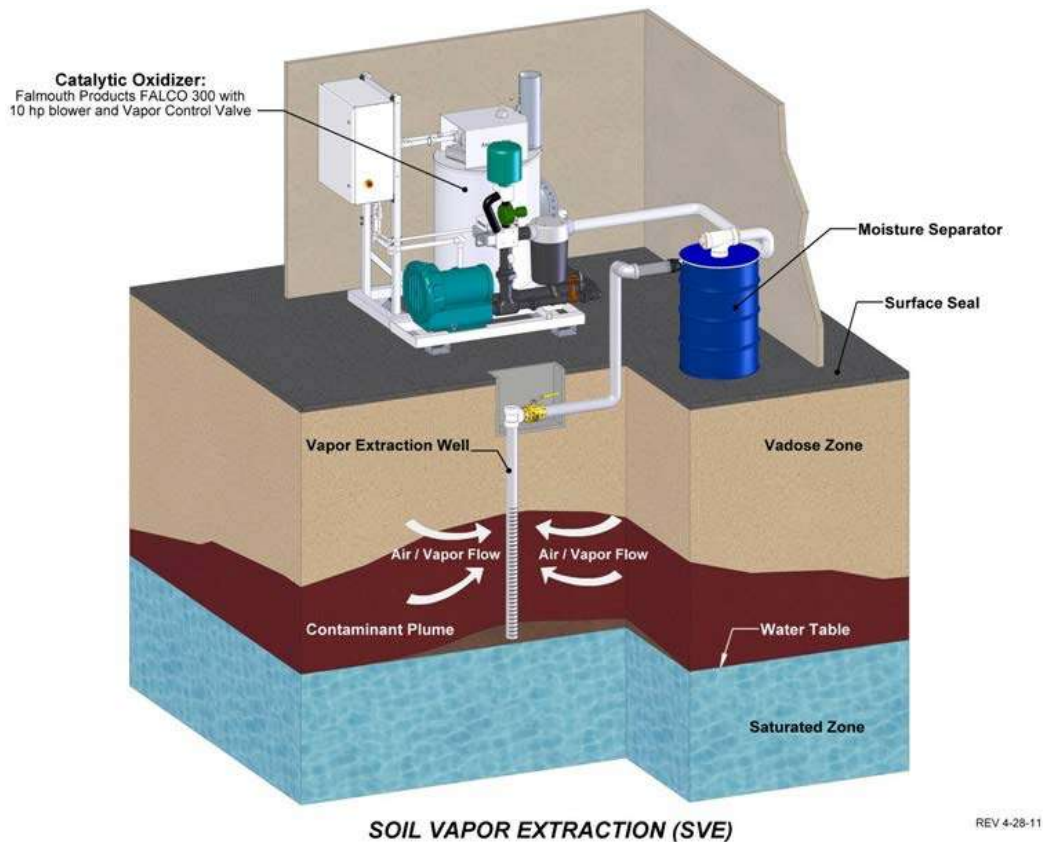
Το τυπικό σχήμα μιας διαδικασίας ΑΕΑ παρουσιάζεται στην Εικόνα 1.1. Η ΑΕΑ εκμεταλλεύεται την υψηλή πτητικότητα των ρύπων για τη μεταφορά τους μέσω μιας ροής αέρα που αναπτύσσεται στο έδαφος μέσω της δημιουργίας συνθηκών κενού από φυσητήρες/αντλίες. Αυτή η κίνηση αέρα/ατμών προωθεί τους ρύπους σε φρεάτια άντλησης που τους μεταφέρουν σε επιφανειακά συστήματα επεξεργασίας απαερίων, όπου ανακτώνται ή επεξεργάζονται καταλλήλως. Οι πιο συνηθισμένοι μηχανισμοί επεξεργασίας είναι η προσρόφηση σε ενεργό άνθρακα και η καταστροφή μέσω καταλυτικής ή θερμικής οξείδωσης [EPA 2018, Soares 2012].

Η ΑΕΑ είναι μια ευέλικτη τεχνολογία αποκατάστασης που μπορεί να εφαρμοστεί μόνη της, εστιάζοντας αποκλειστικά στην εξαέρωση και την ανάκτηση των ρύπων, ή να συνδυαστεί με άλλες τεχνολογίες αποκατάστασης που εισάγουν άλλους μηχανισμούς απομάκρυνσης των ρύπων, όπως η βιοαποικοδόμηση (π.χ. εδαφικό ή βιο -αερισμό και αερό ή βιο -διασπορά, όταν εφαρμόζονται στην ακόρεστη και κορεσμένη ζώνη, αντίστοιχα) ή η εκρόφηση (θερμικά ενισχυμένη ΑΕΑ, που χρησιμοποιεί διαδικασίες θέρμανσης όπως η ηλεκτρική αντίσταση ή η έγχυση θερμού αέρα/ατμού ώστε να αυξηθεί ο ρυθμός εξαέρωσης των ρύπων και να διευκολυνθεί η άντληση). Η ροή αέρα/ατμών που δημιουργεί η ΑΕΑ στην ακόρεστη ζώνη του εδάφους προάγει την εξαέρωση των ρύπων, αυξάνοντας την κινητικότητά τους στο έδαφος, ενισχύοντας τη μεταφορά των πτητικών ρύπων προς τα φρεάτια άντλησης [Suthersan 1999, EPA 2018]. Οι χαμηλότερες ταχύτητες ροής αέρα/ατμών, που συνήθως χρησιμοποιούνται στον εδαφικό αερισμό, υποστηρίζουν τη βιοαποικοδόμηση των αποικοδομήσιμων ενώσεων μέσω του αερισμού που προωθείται στη μήτρα του εδάφους.

1.2 Εφαρμοσιμότητα της τεχνολογίας ΑΕΑ

Σε σχέση με τις ιδιότητες μιας περιοχής, η ΑΕΑ είναι γενικά αποτελεσματική για διαπερατά εδάφη με χαμηλές/μέτριες περιεκτικότητες οργανικής ύλης και υγρασίας και σε βάθη υπόγειων υδάτων από 2 έως 30 m.

Λαμβάνοντας υπόψη το είδος των ρύπων, η ΑΕΑ επέδειξε αποτελεσματικότητα για αλογονωμένες και μη αλογονωμένες πτητικές οργανικές ενώσεις (Π.Ο.Ε.), περιορισμένη αποτελεσματικότητα για αλογονωμένες και μη αλογονωμένες ημιπτητικές οργανικές ενώσεις (ΗΠ.Ο.Ε.), για ορισμένους αναδυόμενους ρύπους (όχι για το 1,4-διοξάνιο ή τις υπερ- και πολυφθοροαλκυλικές ουσίες (Υ-ΠΦΑΣ) και για τα καύσιμα· ενώ δεν εφαρμόζεται σε ανόργανους ρύπους, ραδιονουκλίδια και πυρομαχικά [FRTR 2020, EPA 2018].



Εικόνα 1.1- SVE scheme.

1.3 Εξοπλισμός της ΑΕΑ

Ο εξοπλισμός ενός συστήματος ΑΕΑ για την αποκατάσταση ενός ρυπασμένου χώρου απαιτεί τη χρήση φυσητήρων/αντλιών κενού, την εγκατάσταση φρεατίων άντλησης (κάθετων ή οριζοντίων) και τις αντίστοιχες σωληνώσεις μεταφοράς που θα είναι υπεύθυνες για την άντληση του ρύπου από το έδαφος στην επιφάνεια για περαιτέρω επεξεργασία. Για την κατεργασία της ρυπασμένης ροής αέρα απαιτείται ο σχεδιασμός/η κατασκευή/οι αδειοδοτήσεις εγκαταστάσεων και ο κατάλληλος εξοπλισμός για την επίτευξη των στόχων επεξεργασίας των εκπομπών, προκειμένου να συμμορφώνονται με τον εθνικό/περιφερειακό κανονισμό. Λαμβάνοντας υπόψη τις πρότεινες εμπειρίες από τη λειτουργία και τη συντήρηση της ΑΕΑ, η αποτελεσματικότητά της κυμαίνεται, σε γενικές γραμμές, από 1 έως 3 έτη [FRTR 2020].

2 ΠΕΡΙΓΡΑΦΗ ΤΗΣ ΤΕΧΝΙΚΗΣ

2.1 Γενική περιγραφή της διαδικασίας

Η Άντληση Εδαφικού Αέρα (ΑΕΑ) είναι μια επιτόπια τεχνολογία για την αποκατάσταση ρυπασμένων εδαφών στην ακόρεστη ζώνη. Βασίζεται στην άντληση πτητικών ρυπαντών μέσω "εξαερισμού" (ή συμπίεσης) αυτής της ζώνης. Προϋπόθεση για μια επιτυχή εφαρμογή είναι η επαρκής εδαφική διαπερατότητα.

Η ΑΕΑ μπορεί να διεξαχθεί με ή χωρίς έγχυση αέρα. Σε περίπτωση μη ενεργής έγχυσης αέρα, ο φρέσκος αέρας διεισδύει από την ατμόσφαιρα στο εσωτερικό του εδάφους, μέσω της επιφάνειας του εδάφους. Η κυκλοφορία του αέρα τροποποιεί τη χημική ισορροπία μεταξύ των διαφόρων φάσεων (αερίων, νερού των πόρων, εδαφικών σωματιδίων), ενισχύοντας την εξαέρωση των πτητικών ρύπων από τις στερεές ή/και υγρές φάσεις. Οι ατμοί που αντλούνται υπόκεινται σε επεξεργασία των απαερίων.

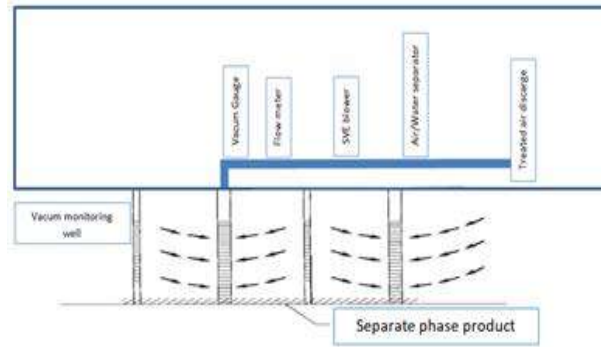
Η όλη διαδικασία πρέπει να ελέγχεται και να διαχειρίζεται από ένα συνεπές σύστημα παρακολούθησης (π.χ. ρυθμοί ροής αέρα, συγκέντρωση ρύπων, θερμοκρασία, υγρασία).

2.2 Τεχνικό σύστημα και στοιχεία

Το σύστημα εξαερισμού, το οποίο θα τοποθετηθεί επί τόπου, αποτελείται από τον ακόλουθο κύριο εξοπλισμό:

- κατακόρυφα (ή οριζόντια) φρεάτια άντλησης (αποκαλούμενα "φρεάτια απαγωγής") για την πρόσβαση στο στρώμα του ρυπασμένου εδάφους
- κατακόρυφα (ή οριζόντια) φρεάτια (ή σημεία) έγχυσης για την ενίσχυση/έλεγχο της ροής του αέρα στην προς αποκατάσταση περιοχή και ιδίως στις γραμμές του χώρου που συνορεύουν με τις βαλβίδες (και τους μετρητές παροχής) για τη σύνδεση όλων των στοιχείων του συστήματος
- διαχωριστή συμπυκνωμάτων ή σύστημα αποθάμβωσης για την προστασία του συστήματος καθαρισμού από την υγρασία και τα υπόγεια ύδατα που κινητοποιούνται από τη διοχετευμένη ροή του αέρα
- μονάδα φυσητήρα/κενού (για τη δημιουργία της αρνητικής πίεσης που απαιτείται για την πρόκληση ροής εδαφικών αέρα προς τα φρεάτια άντλησης)
- σύστημα επεξεργασίας των απαερίων (για την απομάκρυνση των ρύπων από τα αέρια του εδάφους που έχουν αντληθεί).

Οι πιο συνηθισμένοι μηχανισμοί επεξεργασίας είναι η προσρόφηση σε ενεργό άνθρακα και η καταστροφή μέσω καταλυτικής ή θερμικής οξειδωσης. Ένα τυπικό σχήμα ενός συστήματος ΑΕΑ και των συστατικών του παρουσιάζεται στην Εικόνα 2.1. Δεδομένου ότι οι εύφλεκτες ουσίες (π.χ. βενζίνη) είναι σχετικοί ρυπαντές που προκαλούν ανησυχία, είναι ζωτικής σημασίας να αναπτυχθεί ένα σχέδιο υγείας και ασφάλειας και να εξεταστούν οι περιορισμοί όσον αφορά τις τεχνολογίες επεξεργασίας των απαερίων.



Εικόνα 2.1- Στοιχεία της εγκατάστασης ΑΕΑ

2.3 Δυνατότητα επεξεργασίας των ρύπων

Η αποτελεσματικότητα της ΑΕΑ είναι γενικά αποδεδειγμένη για τις πτητικές οργανικές ενώσεις (Π.Ο.Ε.). Ανάλογα με την τοποθεσία και/ή το συνδυασμό με άλλες τεχνολογίες, η ΑΕΑ θα μπορούσε να είναι κατάλληλη και για εφαρμογές σε ημιπτητικές οργανικές ενώσεις (ΗΠ.Ο.Ε.). Γενικά, μία ακόμη απαίτηση είναι οι ρύποι να μην προσροφώνται έντονα στη στερεά φάση των εδαφικών στρωμάτων.

Τυπικές εφαρμογές περιλαμβάνουν τις αρωματικές ενώσεις (Α.Ε.), φαινόλες, βενζίνη, υδρογονάνθρακες (HC) <12, χλωριωμένους διαλύτες (χλωροφόρμιο, VC, DCM, DCA, DCE, TCA, TCE, TC, PCE) και χλωροβενζόλια (με χαμηλή αντικατάσταση). Ως εκ τούτου, η ΕΑΕ εφαρμόζεται συχνά σε εγκαταστάσεις πετροχημικών, πρατήρια βενζίνης, εργαστήρια/βιομηχανίες μεταλλουργίας και μεταλλευτικής (απολίπανση και στεγνό καθάρισμα).

Καθοριστικοί παράγοντες για την εφαρμογή της ΑΕΑ είναι οι ιδιότητες των ρύπων, ιδίως η κατανομή μεταξύ των φάσεων και το γεωλογικό περιβάλλον του χώρου, και πιο συγκεκριμένα, η στρωματογραφία και οι ιδιότητες των γεωλογικών στρωμάτων, όπως η διαπερατότητα, το πορώδες και η ετερογένεια.

Ορισμένα χαρακτηριστικά των ρύπων είναι πολύ σημαντικά για την αποδοτικότητα και την αποτελεσματικότητα της διαδικασίας. Η πίεση ατμών μιας ένωσης είναι η μερική πίεση της εν λόγω ένωσης όταν βρίσκεται σε ισορροπία με την υγρή της φάση (ΥΜΥΦ). Είναι επομένως ένα μέτρο της ισορροπίας Υγρού-Αερίου. Η ΑΕΑ είναι κατάλληλη για ουσίες με πίεση ατμών > 0,5-1,0 mmHg. Το σημείο βρασμού σχετίζεται με την πίεση ατμών και καθορίζει την εφαρμογή ή όχι της ΑΕΑ, που είναι κατάλληλη για ουσίες με σημείο βρασμού κάτω από 250-300° C. Η σταθερά Henry αντιπροσωπεύει το λόγο της συγκέντρωσης μιας συγκεκριμένης ουσίας στην αέρια φάση και της ίδιας ουσίας στην υδατική φάση. Η ΑΕΑ είναι κατάλληλη για ουσίες με σταθερά Henry > 0,001 atm m³ / mol.

2.4 Λαμβάνοντας υπόψη το γεωλογικό περιβάλλον

Η γεωλογία, η στρωματογραφία και οι ιδιότητες των εδαφικών οριζόντων είναι πολύ σημαντικές για την αποτελεσματικότητα και την αποδοτικότητα της εφαρμογής της ΑΕΑ. Ως εκ τούτου, είναι ζωτικής σημασίας η κατανόηση του γεωλογικού περιβάλλοντος της περιοχής για την ανάπτυξη ενός συνεκτικού Εννοιολογικού Μοντέλου της Περιοχής (βλέπε κεφάλαιο 3.1).

Μεταξύ των ιδιοτήτων του εδάφους, οι βασικές παράμετροι είναι το πορώδες, η διαπερατότητα, η περιεκτικότητα σε νερό (των πόρων) και η ετερογένεια. Η ροή του αέρα στα εδαφικά στρώματα

πραγματοποιείται μέσω του διασυνδεδεμένου χώρου των πόρων του εδάφους, οπότε όσο μεγαλύτερο είναι το πορώδες τόσο αυξάνει τη ροή του αέρα μέσω του εδάφους. Η παρουσία νερού στους πόρους αποτελεί φυσικό εμπόδιο που εμποδίζει τη ροή του αέρα. Από την άλλη πλευρά, μια πολύ χαμηλή περιεκτικότητα σε υγρασία καθορίζει μια ισχυρότερη προσρόφηση κάποιου ρύπου στο έδαφος.

Η παρουσία περιοχών που χαρακτηρίζονται από σημαντικά διαφορετική υφή και διαπερατότητα μπορεί να ρυθμίσει τη ροή του αέρα και, συνεπώς, να επηρεάσει το έργο προκαλώντας βραχυκυκλώματα (π.χ. προτιμώμενες ροές αέρα σε περιοχές ανομοιογένειας ή κοντά στον άξονα αναρρόφησης). Ένας ακόμη σημαντικός παράγοντας που μπορεί να περιορίσει τη ροή του αέρα είναι η στάθμη του υπόγειου υδροφόρου ορίζοντα. Η πίεση που προκαλείται στα φρεάτια άντλησης μπορεί να προκαλέσει άνοδο της πιεζομετρικής στάθμης (μια πίεση της τάξης των 0,2 atm θα προκαλούσε άνοδο περίπου 2m) και να πλημμυρίσει εν μέρει τα φρεάτια και το σύστημα της ΑΕΑ. Ευνοϊκές συνθήκες μπορούν να θεωρηθούν αυτές με βάθος υπόγειου υδροφόρου ορίζοντα περίπου 3 m, ενώ αντίθετα βάθη μικρότερα από 1,5 m δεν συνιστανται.

Επίσης, υψηλότερες περιεκτικότητες σε εδαφικό οργανικό άνθρακα (ΕΟΑ) στο έδαφος (π.χ. τύρφη) μπορεί να παρεμποδίσουν την ΑΕΑ. (Σε σύγκριση με τον ΕΟΑ, η εκρόφηση και η εξάτμιση περιορίζονται όλο και περισσότερο και πιθανότατα και η διαπερατότητα που θα μειωθεί σημαντικά, αν και δεν είναι σαφές).

Οι παράμετροι που συνοψίζονται παρακάτω θα μπορούσαν να αποτελέσουν το κλειδί για μια επιτυχημένη εφαρμογή της ΑΕΑ:

- υψηλή διαπερατότητα των γεωλογικών στρωμάτων,
- ομοιογενής σύσταση του εδάφους, δηλαδή απουσία στρωμάτων και φακών διαφορετικής υφής, απουσία προτιμητέων οδών ροής του αέρα που προκύπτουν από την παρουσία υπόγειων υποδομών,
- απουσία φακών ή τυρφωδών στρωμάτων με υψηλή ικανότητα απορρόφησης οργανικών ρύπων,
- απουσία δεξαμενών με παγιδευμένους ρύπους,
- έλλειψη αδιαπέραστης επικάλυψης των σχετικά χαμηλής διαπερατότητας στρωμάτων,
- έλλειψη ρηχών υπόγειων υδάτων.

2.5 Εκτιμήσεις για το σχεδιασμό του συστήματος

Ο σχεδιασμός της ΑΕΑ συνίσταται στον ορισμό των:

α) Παραμέτρων λειτουργίας του συστήματος:

- Ρυθμός άντλησης αέρα
- Βαθμός κενού στο φρεάτιο άντλησης
- Ακτίνα επιρροής (ΑΕ)

β) Καθορισμός των στοιχείων του συστήματος:

- Αριθμός και θέση των φρεατίων άντλησης
- Κατασκευή των φρεατίων
- Εξαεριστήρας άντλησης
- Διαχωριστής νερού-αέρα
- Όργανα στη Μονάδα επεξεργασίας ατμών (με εναλλάκτη θερμότητας)

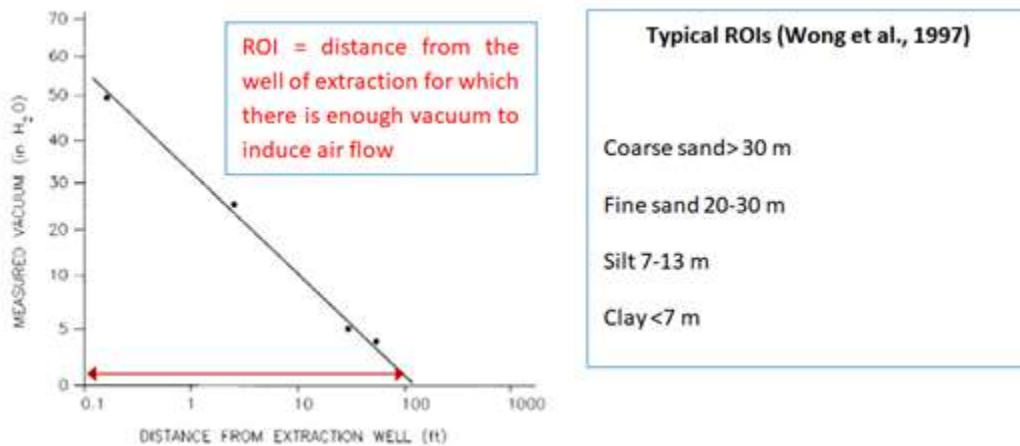
Για το σχεδιασμό της ΑΕΑ πραγματοποιούνται πιλοτικές δοκιμές στο πεδίο. Οι δοκιμές αυτές πρέπει να περιλαμβάνουν τουλάχιστον 1 φρεάτιο άντλησης και τουλάχιστον 3 σημεία παρακολούθησης (ενδεχομένως

πολυεπίπεδα σε περίπτωση ετερογένειας του χώρου) στα οποία μετράται το κενό που επιτυγχάνεται. Για μια χρήσιμη πιλοτική δοκιμή, είναι πρώτα απ' όλα απαραίτητο να ρυθμιστεί η ροή άντλησης που επενεργεί στη ρυθμιστική βαλβίδα που συνήθως προβλέπεται στον αγωγό εισαγωγής. Για κάθε θέση της βαλβίδας (που αντιστοιχεί σε ορισμένη παροχή άντλησης), αναμένετε περίπου 30 λεπτά για τη σταθεροποίηση του συστήματος και μετρήστε:

- Το βαθμό κενού στο φρεάτιο άντλησης,
- Το βαθμό κενού που προκαλείται στα σημεία παρακολούθησης,
- Το ρυθμός ροής του αντλούμενου αέρα,
- Τη σύνθεση και τη θερμοκρασία του αντλούμενου αερίου.

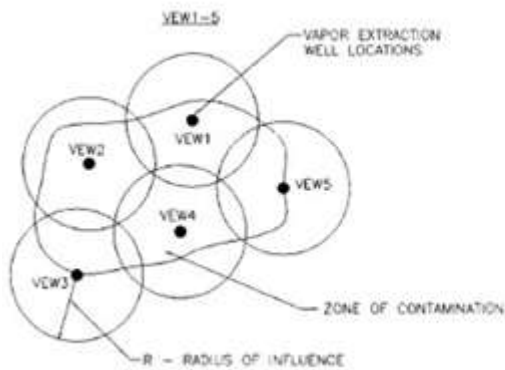
Οι μετρήσεις επαναλαμβάνονται για διαφορετικούς βαθμούς ανοίγματος της βαλβίδας. Η ενδογενής περατότητα του εδάφους (k) μπορεί να εκτιμηθεί με τις μετρήσεις που συλλέγονται κατά τη διάρκεια της πιλοτικής δοκιμής.

Ένα από τα σημαντικότερα κριτήρια σχεδιασμού είναι η ακτίνα επιρροής, η οποία βασίζεται στις μετρήσεις που συλλέγονται κατά τη διάρκεια της πιλοτικής δοκιμής. Ελλείψει μιας βάσης δεδομένων στηριζόμενης σε ολοκληρωμένες περιπτώσεις, είναι η πιο αξιόπιστη μέθοδος για το σχεδιασμό μιας παρέμβασης πλήρους κλίμακας.



Εικόνα 2.4- Ακτίνα επιρροής

Αφού καθοριστεί η ακτίνα επιρροής, σχεδιάζεται μια σειρά κύκλων με ακτίνα ίση με την ακτίνα επιρροής, παρέχοντας μια μερική επικάλυψη, ώστε να αποφεύγονται οι περιοχές που δεν μπορούν να αντιμετωπιστούν επαρκώς.

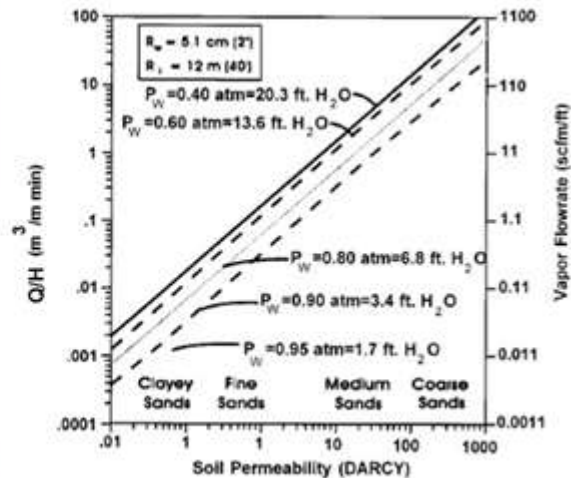


N° of well
$n^{\circ} = \frac{1,3 \cdot A}{\pi \cdot ROI^2}$
<p>A = Contamination area (m²) ROI = radius of influence (m) 1.3 = increment factor for overlapping areas of influence</p>

Εικόνα 2.5- Αριθμός φρεατίου

Αφού καθοριστεί το βάθος της σήραγγας (γενικά ίσο με το βάθος της ρύπανσης) και γίνει γνωστή η ακτίνα επιρροής που σχετίζεται με το κενό, είναι δυνατόν να καθοριστούν οι ρυθμοί άντλησης του αέρα.

EXTRACTION RATES
$\frac{Q}{H} = \pi \frac{k}{\mu} P_w \left[\frac{1 - \left(\frac{P_{atm}}{P_w}\right)^2}{\ln\left(\frac{R_w}{R_i}\right)} \right]$
<p>H = fenestration length (m) k = intrinsic permeability (cm²) P_w = well pressure (g / cm / s²) P_{atm} = pressure atm (g / cm / s²) R_w = well radius SVE (cm) R_i = radius of influence (cm) Q = well air flow (cm³ / s)</p>



Εικόνα 2.6 Ρυθμοί άντλησης

Οι τυπικές τιμές σχεδιασμού όπως προέκυψαν από πιλοτικές μελέτες και εφαρμογές, για τον ρυθμό άντλησης είναι 20-200 m³/h. Οι τυπικές τιμές σχεδιασμού για την πίεση της κεφαλής του πηγαδιού όπως προέκυψαν από πιλοτικές μελέτες και εφαρμογές είναι 0,5-1 atm.

Οι αντλούμενοι ατμοί υπόκεινται σε διαφορετικές επεξεργασίες ανάλογα με τις συγκεντρώσεις τους. Όσον αφορά τις εύφλεκτες ουσίες που σχετίζονται με τους ρυπαντές που προκαλούν ανησυχία, η σημαντικότερη παράμετρος είναι το Κατώτερο όριο εκρηκτικότητας (ΚΟΕ). Ο ενεργός άνθρακας μπορεί να εφαρμοστεί και η καταλυτική οξείδωση μπορεί να εφαρμοστεί εάν C (ατμός) <25% ΚΟΕ· η θερμική οξείδωση συνιστάται εάν C (ατμός) <25-50% ΚΟΕ· το βιοφίλτρο εφαρμόζεται εάν C (ατμός) <10% ΚΟΕ.

3 ΜΕΛΕΤΗ ΣΚΟΠΙΜΟΤΗΤΑΣ

Τα κύρια κριτήρια για την επιλογή αυτής της τεχνολογίας είναι η διαπερατότητα του πορώδους μέσου για τον αέρα και η πητικότητα των ρύπων. Στη συνέχεια, η τεχνολογία θα πρέπει να ελεγχθεί περαιτέρω λαμβάνοντας υπόψη διάφορους ειδικούς παράγοντες που αφορούν την περιοχή.

3.1 Οι συνθήκες του χώρου και το Χωρικό Εννοιολογικό Μοντέλο

Πολλές φυσικές και χημικές χωρικές συνθήκες έχουν σημαντικό αντίκτυπο στην αποτελεσματικότητα της ΑΕΑ ως εναλλακτική λύση αποκατάστασης. Οι παράμετροι αυτές εξετάζονται στις παρακάτω ενότητες, μαζί με τα δεδομένα χαρακτηρισμού της περιοχής που σχετίζονται με τη σκοπιμότητα και το σχεδιασμό της SVE και τα οποία πρέπει να συλλεχθούν.

Η Εικόνα 3.1 συνοψίζει αυτά τα δεδομένα χωρικού χαρακτηρισμού. Η σημασία της συλλογής των σχετικών δεδομένων όσο το δυνατόν νωρίτερα δεν μπορεί να υπερτονιστεί. Παρόλο που η κατανόηση του χώρου δεν θα είναι ποτέ τέλεια (επειδή τα εργαλεία χαρακτηρισμού, οι οικονομικοί πόροι και οι μέθοδοι δειγματοληψίας έχουν πρακτικούς περιορισμούς), ο χρήστης έχει την υποχρέωση να συγκεντρώσει και να τεκμηριώσει στοιχεία που συγκλίνουν προς μια συνεπή εικόνα του χώρου. Αυτή η εικόνα ή το εννοιολογικό μοντέλο, της υπό εξέταση περιοχής, είναι αναγκαστικά πολύπλευρη και διεπιστημονική, δεδομένου ότι περιλαμβάνει μια ποικιλία τύπων δεδομένων. Είναι επίσης δυναμική, δεδομένου ότι εξελίσσεται καθώς περιλαμβάνει πρόσθετα διαθέσιμα δεδομένα. Είναι σημαντικό να αναδιαμορφώνεται συνεχώς το χωρικό εννοιολογικό μοντέλο καθώς οι νέες προσπάθειες πεδίου παρέχουν νέες πληροφορίες.

Το Χωρικό Εννοιολογικό Μοντέλο θα πρέπει να ξεκινά από μια (υδρο)γεωλογική περιγραφή της περιοχής και να χαρακτηρίζει την ή τις κύριες πηγές της ρύπανσης, τη μάζα που απελευθερώθηκε, το μοτίβο της απελευθέρωσης και ιδίως την κατακόρυφη και οριζόντια έκταση της κατανομής των ρύπων στη ζώνη κατεισδύσεως. Υπάρχουν ορισμένες βασικές πτυχές του χαρακτηρισμού της ζώνης κατεισδύσεως για την άντληση εδαφικού αέρα. Εν συντομία, αυτές περιλαμβάνουν:

- τύπος/κατάσταση της επιφανειακής κάλυψης (π.χ. ασφαλτος, βλάστηση),
- παρουσία και έκταση θαμμένων δομών ή εγκαταστάσεων κοινής ωφέλειας
- τοπογραφία
- κατανομή και βάθος του εδαφικού τύπου
- το βάθος του υδροφόρου ορίζοντα και η εποχιακή του διακύμανση
- περιεκτικότητα και μεταβλητότητα της εδαφικής υγρασίας
- πάχος του τριχοειδούς κροσσού
- διαπερατότητα του αέρα και πώς μεταβάλλεται εντός της περιοχής ενδιαφέροντος
- περιεκτικότητα και μεταβλητότητα σε οργανικό άνθρακα

Οποιοδήποτε (ή συνδυασμός) από αυτά τα βασικά στοιχεία της περιοχής μπορεί να επηρεάσει σημαντικά την αποτελεσματικότητα της ΑΕΑ ή/και να αποτελέσει σοβαρό περιορισμό για την ΑΕΑ. Συχνά, τα δεδομένα χωρικού χαρακτηρισμού που είναι ενδεχομένως σημαντικά για την εφαρμογή των τεχνολογιών ΑΕΑ δεν συλλέγονται επειδή οι υπεύθυνοι για την καταγραφή των γεωτρήσεων και των φρεατίων παρατήρησης είτε δεν τα γνωρίζουν είτε δεν προτρύπονται να τα αναγνωρίσουν και να τα καταγράψουν συστηματικά.

Η κατανόηση της φύσης των επιφανειακών οριζόντων είναι κρίσιμη. Ενδείξεις υποεπιφανειακών χαρακτηριστικών, όπως αμμόδεις ή χαλικώδεις φακοί σε μια μήτρα με λεπτομερή υφή, ή μακροπορώδες, που μπορεί να χρησιμεύουν ως προτιμώμενες οδοί ροής αέρα, πρέπει να καταγράφονται. Τα χρώματα και οι κηλίδες του εδάφους μπορούν να παρέχουν ένδειξη της ζώνης εντός της οποίας ο υδροφόρος ορίζοντας κυμαίνεται εποχιακά. Σε αστικές ή βιομηχανικές περιοχές, η επαφή μεταξύ του διαταραγμένου

εδάφους/επίχωσης και του φυσικού εδάφους, θα πρέπει να διακρίνεται όπου είναι δυνατόν. Για τους σκοπούς αυτούς θα πρέπει να χρησιμοποιούνται οι συνήθεις μέθοδοι χαρακτηρισμού του εδάφους από όσους έχουν εκπαιδευτεί στη χρήση τους (Breckenridge, Williams, and Keck 1991- USEPA 1991h).

Παράμετρος	Μέθοδος Συλλογής	Αναλυτική Μέθοδος
Διαπερατότητα αέριας φάσης (κλίμακα πεδίου)	Δοκιμή πνευματικής αντλίας	βλ. Cho και DiGiulio (1992)
Διαπερατότητα αέριας φάσης (κλίμακα πυρήνα)	Επί τόπου ή αδιατάρακτο τυπικό δείγμα εδάφους διαμέτρου 50 έως 75 mm	βλ. Παράγραφο 4-2δ και Παράρτημα Δ. Corey (1986a)
Στρωματογραφία/ετερογένεια	Γεωτρήσεις εδάφους ή/και δοκιμαστικό φρεάτιο	Οπτική παρατήρηση. Breckenridge, Williams, and Keck (1991). USEPA (1991h)
Μέγεθος κόκκων	Δείγμα διαχωρισμένου κουταλιού ή άλλο δείγμα εδάφους	ASTM D422-63 (1998)
Πορώδες	Αδιατάρακτο δείγμα εδάφους διαμέτρου 50 έως 75 mm	Υπολογίζεται από την ξηρή χύδην πυκνότητα και την πυκνότητα των σωματιδίων
Ξηρή χύδην πυκνότητα	Αδιατάρακτο δείγμα εδάφους διαμέτρου 50 έως 75 mm	ASTM D2850
Περιεκτικότητα σε οργανικό άνθρακα	Δείγμα χωρισμένου κουταλιού	SW-846 9060; Churcher and Dickhout (1989)
Περιεκτικότητα σε υγρασία (κορεσμός)	Καταγραφή νετρονίων μέσω σωλήνων πρόσβασης Τενσιόμετρα Αδιατάρακτο δείγμα εδάφους διαμέτρου 50 έως 75 mm	Μετρητής νετρονίων (Gardner 1986), ASTM D3017, ASTM 05220 Cassel and Klute (1986) ASTM 02216-92
Συγκράτηση εδαφικής υγρασίας (καμπύλη κορεσμού τριχοειδούς πίεσης)	Αδιατάρακτο δείγμα εδάφους διαμέτρου 50 έως 75 mm	Klute (1986); ASTM 02325-93
Συγκράτηση υγρασίας εδάφους στο ξηρό άκρο	Αδιατάρακτο δείγμα εδάφους διαμέτρου 50 έως 75 mm	Μέθοδος ψυχρόμετρου (Jones. Gee, and Heller)
Θερμοκρασία εδάφους	Θερμόμετρο, Θερμοζεύγος	Φορητός μετρητής
Βάθος στα υπόγεια ύδατα και τις εποχιακές διακυμάνσεις	Φρεάτια παρακολούθησης του υδροφόρου ορίζοντα, μετρητής στάθμης νερού ή μετρητής διασύνδεσης και καταγεγραμμένα υψόμετρα φρεατίων	ASTM D4750
Περιεκτικότητα σε πητικούς υδρογονάνθρακες στο εδαφικό αέριο	Επί τόπου	Downey and Hall (1994); ASTM 03416-78

Περιεκτικότητα O ₂ στο εδαφικό αέριο	Επί τόπου	Φορητός μετρητής, μέθοδος ηλεκτροχημικής κυψελίδας
Περιεκτικότητα CO ₂ στο εδαφικό αέριο	Επί τόπου	Φορητός μετρητής, μέθοδος προσρόφησης υπερύθρων
Μικροβιακός ρυθμός αναπνοής	Επί τόπου	Hinchee et al. 1992

Εικόνα 3.1- Περίληψη δοκιμών και αναλυτικών μεθόδων

3.1.1 Φύση και έκταση της ρύπανσης

Κατά τη διάρκεια του χωρικού χαρακτηρισμού, οι χημικές ιδιότητες του περιβάλλοντος της περιοχής και η φύση και η έκταση της ρύπανσης, πρέπει να προσδιοριστούν, προκειμένου να αξιολογηθεί η σκοπιμότητα της ΑΕΑ. Οι ρυπαντές που επιδέχονται περισσότερο την τεχνική της ΑΕΑ είναι οι πτητικές οργανικές ενώσεις που περιλαμβάνουν βενζίνη, κηροζίνη, πολλά συστατικά καυσίμων πετρελαίου, φρέον και διαλύτες όπως τετραχλωροαιθυλένιο, τριχλωροαιθυλένιο και χλωριούχο μεθυλένιο.

Στην εικόνα που ακολουθεί παρουσιάζονται διάφορες ομάδες ρύπων και αξιολογείται η επιδεκτικότητά τους σε ΑΕΑ.

Ομάδες ρύπων		Παράδειγμα ρύπων	Αποτελεσματικότητα
Οργανικοί	Αλογονομένες πτητικές οργανικές ενώσεις	Τετραχλωροαιθυλένια, τριχλωροαιθυλένια	a
	Αλογονομένες ημιπτητικές οργανικές ενώσεις	Παρα-διχλωροβενζόλιο	b
	Μη αλογονομένες πτητικές οργανικές ενώσεις	Βενζίνη	a
	Μη αλογονομένες ημιπτητικές οργανικές ενώσεις	Καύσιμο ντίζελ	a
	Πολυχλωριωμένα Διφαινύλια	Aroclor-1242	c
	Παρασιτοκτόνα	Χλωρδάνη	c
	Διοξίνες/φουράνια	2,3,7,8-Τετραχλωροδιβενζο-ρ-διοξίνη	c
	Οργανικά κυανιούχα		c
	Οργανικά διαβρωτικά		c
	Εκρηκτικά	2,4,6 Τρινιτροτολουόλιο	c
Ανόργανοι	Πτητικά μέταλλα	Υδράργυρος, τετρααιθυλικός μόλυβδος	c

	Μη πτητικά μέταλλα	Νικέλιο, χρώμιο	c
	Αμίαντος		c
	Ραδιενεργά υλικά		c
	Ανόργανα διαβρωτικά		c
	Ανόργανα κυανιούχα	Κυανιούχο νάτριο	c
Αντιδραστικοί	Οξειδωτικά		c
	Μειωτές		b

Σχήμα 3.2- Αποτελεσματικότητα της SVE σε ομάδες ρύπων

3.1.2 Γεωμετρικό χαρακτηριστικό της πηγής

- Η έκταση της ρύπανσης πρέπει να προσδιοριστεί σε τρεις διαστάσεις κατά τη φάση του χωρικού χαρακτηρισμού του έργου, προκειμένου να επιλεγούν οι κατάλληλες τεχνολογίες. Όσον αφορά την ΑΕΑ, πρέπει να χαρακτηρίζονται τόσο η ακόρεστη όσο και η κορεσμένη ζώνη.
- Το βάθος της ρύπανσης επηρεάζει τη σκοπιμότητα και το σχεδιασμό των συστημάτων ΑΕΑ. Εάν η ρύπανση περιορίζεται στην επιφάνεια του εδάφους, θα προτιμηθούν άλλες τεχνολογίες πέραν της ΑΕΑ. Εάν η ρύπανση βρίσκεται σε βάθος στην κορεσμένη ζώνη, η ΑΕΑ από μόνη της δεν θα είναι εφικτή. Σε τοποθεσίες όπου η ΑΕΑ είναι εφικτή, το βάθος της μόλυνσης θα επηρεάσει τον τύπο του φρέατος (οριζόντιο ή κατακόρυφο), το διάστημα ελέγχου του φρέατος και άλλους παράγοντες σχεδιασμού.
- Ο όγκος του ρυπασμένου εδάφους επηρεάζει τη σκοπιμότητα της ΑΕΑ. Εάν ο όγκος είναι μικρός, άλλες εναλλακτικές λύσεις, όπως η εκσκαφή και η διάθεση εκτός του χώρου, μπορεί να είναι πιο αποδοτικές από άποψη κόστους. Ο όγκος του ρυπασμένου εδάφους επηρεάζει επίσης πολλές πτυχές του σχεδιασμού του συστήματος, όπως ο αριθμός των φρεατίων, το μέγεθος των φυσητήρων και τη χωρητικότητα του συστήματος επεξεργασίας των απαερίων.
- Πιθανές εξωτερικές πηγές ατμοσφαιρικών ρύπων πρέπει να λαμβάνονται υπόψη κατά τον προσδιορισμό της σκοπιμότητας και του σχεδιασμού των συστημάτων ΑΕΑ. Εάν κατά τη διάρκεια της ΑΕΑ ένα σημαντικό μέρος ατμοσφαιρικών ρύπων από τις εξωτερικές πηγές θα μπορούσε να μεταναστεύσει στον χώρο επεξεργασίας, ο σχεδιασμός του συστήματος θα πρέπει να περιλαμβάνει φρεάτια έγχυσης αερίων ή κάποια άλλα μέσα για την αποτροπή αυτού του φαινομένου.

3.1.3 Παρουσία ΥΜΥΦ

Ο ερευνητής του χώρου θα πρέπει να προσδιορίσει εάν υπάρχει υγρό μη υδατικής φάσης (ΥΜΥΦ). Το ελεύθερο προϊόν σε δείγματα υπόγειων υδάτων θα ήταν μια ένδειξη ΥΜΥΦ. Το ΥΜΥΦ ανταγωνίζεται τον αέρα και την εδαφική υγρασία για τον χώρο των πόρων εντός της ακόρεστης ζώνης, μειώνοντας τη διαπερατότητα της αέριας φάσης. Επιπλέον, το ΥΜΥΦ παρέχει μια συνεχή πηγή ρύπων. Υπολειμματικοί κορεσμοί της ακόρεστης ζώνης μεταξύ 15 και 50 τοις εκατό του διαθέσιμου χώρου των πόρων έχουν καταγραφεί (USEPA 1989c).

Εάν υπάρχει υποψία παρουσίας πυκνών ΥΜΥΦ (ΠΥΜΥΦ), μπορεί να υπάρξουν ανησυχίες ότι η εφαρμογή ΑΕΑ θα μπορούσε να αυξήσει αντί να μειώσει τον κίνδυνο μετανάστευσης ΠΥΜΥΦ σε βαθύτερες υδρολογικές μονάδες. Αυτό μπορεί να συμβεί, για παράδειγμα, εάν το ΠΥΜΥΦ βρίσκεται σε τεκτονισμένο υπόβαθρο πάνω από τον υδροφόρο ορίζοντα. Έχει διατυπωθεί η θεωρία ότι η πρόκληση ροής αέρα προς ένα φρέατο

άντλησης σε ένα τέτοιο περιβάλλον θα μπορούσε να συνοδεύεται από μια αντίθετη ροή ΠΥΜΥΦ προς τα βαθύτερα συστήματα ρωγμών και ίσως στην κορεσμένη ζώνη. Η Τεχνική Απαλλαγής λόγω αδυναμίας θα μπορούσε να εφαρμοστεί σε μια τέτοια κατάσταση (USEPA 1993g).

3.1.4 Αποτελέσματα έρευνας εδαφικών αερίων

Από τη φύση τους, οι ρυπαντές που επιδέχονται ΑΕΑ μπορούν να μετρηθούν κατά τη διάρκεια ερευνών εδαφικών αερίων. Συνήθως, η μέτρηση εδαφικών αερίων στο πεδίο είναι ένας χρήσιμος τρόπος για να χαρακτηριστεί η φύση και η έκταση της ρύπανσης του εδάφους σε μια περιοχή. Συχνά οι μετρήσεις πεδίου των συγκεντρώσεων των ρύπων εδαφικών αερίων που επιβεβαιώνονται από περιορισμένο αριθμό εργαστηριακών αναλύσεων είναι επαρκείς για το χαρακτηρισμό του χώρου. Ωστόσο, σπάνια μπορεί να επιτευχθεί καλή ποσοτική συσχέτιση μεταξύ των συγκεντρώσεων εδαφικών αερίων και του εδάφους. Αυτό ισχύει κυρίως όταν υπάρχουν υψηλότερες συγκεντρώσεις ρύπων λόγω υπολειμματικών ΥΜΥΦ. Κατά την αντιπαραβολή των συγκεντρώσεων εδαφικών αερίων και εδαφικών δειγμάτων είναι χρήσιμο να λαμβάνεται υπόψη ότι τα αποτελέσματα των εδαφικών δειγμάτων αντιπροσωπεύουν τους ρύπους σε όλα τα διαμερίσματα του εδάφους, ενώ τα εδαφικά αέρια μετρούν μόνο εκείνους που βρίσκονται σε μορφή ατμού. Οι έρευνες εδαφικών αερίων μπορούν επίσης να παράσχουν μια ένδειξη των συγκεντρώσεων των ρύπων που μπορούν αρχικά να αναμένονται στα αερία της ΑΕΑ.

3.1.5 Αεροδιαπερατότητα

Η αεροδιαπερατότητα, η ικανότητα του εδάφους να επιτρέπει τη διέλευση του αέρα, είναι μία από τις πιο κρίσιμες παραμέτρους που επηρεάζουν τη σκοπιμότητα και το σχεδιασμό της ΑΕΑ. Είναι συνάρτηση των ιδιοτήτων της στερεάς μήτρας και της περιεκτικότητας σε υγρασία. Η αέρια διαπερατότητα έχει βαθιά επίδραση στους ρυθμούς αέριας ροής και στα ποσοστά ανάκτησης των ρύπων. Τα χονδρόκοκκα εδάφη παρουσιάζουν συνήθως μεγάλες τιμές αεροδιαπερατότητας και πιο ομοιόμορφα πρότυπα αέριας ροής. Εδάφη με διαπερατότητες αέρα μικρότερες από περίπου 10^{-10} cm^2 μπορεί να μην είναι κατάλληλα για ΑΕΑ (USEPA 1993d).

3.1.6 Ετερογένειες και προτιμητέες διαδρομές

Οι ετερογένειες παίζουν σημαντικό ρόλο στην κατανομή των ρύπων στην ακόρεστη ζώνη και οφείλονται σε χωρικές διαφοροποιήσεις του τύπου του εδάφους, της διαστρωμάτωσης, του πορώδους και της περιεκτικότητας σε υγρασία. Κατά τη λειτουργία ενός συστήματος ΑΕΑ, οι διακυμάνσεις αυτές μπορούν να επηρεάσουν τα πρότυπα ροής αέρα και τελικά τα ποσοστά ανάκτησης των ρύπων εντός της ακόρεστης ζώνης. Για παράδειγμα, εάν η ακόρεστη ζώνη αποτελείται από εναλλασσόμενα στρώματα χονδρόκοκκων και λεπτόκοκκων εδαφών, η ροή του αέρα μπορεί να περιορίζεται στα χονδρόκοκκα στρώματα. Οι ρύποι συχνά απομακρύνονται από τα λεπτόκοκκα στρώματα με πολύ βραδύτερους ρυθμούς. Οι γεωτρήσεις εδάφους, η κωνική εισδυσιομετρία και οι εξετάσεις του εδαφικού προφίλ των εκτεθειμένων επιφανειών των δοκιμαστικών φρεατίων είναι μεταξύ των μεθόδων για την απόκτηση πληροφοριών σχετικά με τις φυσικές ετερογένειες.

Σε ορισμένες περιπτώσεις, οι υπόγειες εγκαταστάσεις, όπως οι αγωγοί ομβρίων και υγιεινής ή το υλικό επίχωσης που συνδέεται με αυτά τα χαρακτηριστικά μπορεί να προκαλέσει βραχυκύκλωμα της ροής του αέρα που συνδέεται με ένα σύστημα ΑΕΑ. Ως αποτέλεσμα, η ροή του αέρα μπορεί να συγκεντρωθεί κατά μήκος αυτών των χαρακτηριστικών και όχι εντός της ζώνης που απαιτεί επεξεργασία. Επιπλέον, τα χαρακτηριστικά αυτά μπορεί επίσης να παρέχουν μονοπάτια μετανάστευσης τόσο για υγρά ελεύθερης φάσης όσο και για ατμούς εντός της ακόρεστης ζώνης. Ως αποτέλεσμα, ο προσανατολισμός και η γεωμετρία αυτών των

χαρακτηριστικών/στοιχείων μπορεί να υπαγορεύουν την κατεύθυνση προς την οποία μεταναστεύουν τα υγρά ή οι ατμοί/αέρια. Συχνά, δεν υπάρχουν ακριβή σχέδια των υπόγειων εγκαταστάσεων, οπότε θα πρέπει να ζητείται η γνώμη ατόμων που γνωρίζουν την περιοχή. Οι υποδομές των κοντινών κτιρίων καθώς και άλλα χαρακτηριστικά που μπορεί να επηρεάσουν τη ροή θα πρέπει να σημειώνονται.

3.1.7 Τοπογραφία

Η τοπογραφία και η φύση της επιφάνειας του εδάφους θα επηρεάσουν την ΑΕΑ. Μια αδιαπέραστη επιφάνεια τείνει να ενισχύει την οριζόντια ροή του αέρα και να αυξάνει την ακτίνα επιρροής. Μια διαπερατή επιφάνεια θα κάνει το αντίθετο και θα αυξήσει την ποσότητα του ατμοσφαιρικού αέρα που εισέρχεται στο υπέδαφος. Οι επιφανειακοί περιορισμοί, όπως τα κτίρια, οι δρόμοι και τα συστήματα κοινής ωφέλειας, μπορεί να καταστήσουν την ΑΕΑ ελκυστική εναλλακτική λύση σε σχέση με άλλες επιλογές. Εάν υπάρχει οδόστρωμα στην επιφάνεια του εδάφους, θα πρέπει να εξεταστεί η ακεραιότητά του. Οι ρωγμές θα πρέπει να σημειώνονται και, εάν είναι δυνατόν, να σφραγίζονται.

3.2 Χρήση των Δοκιμών σε Κλίμακα Αναφοράς στο Σχέδιο Αποκατάστασης ΑΕΑ

Δοκιμές στήλης για τον προσδιορισμό των παραμέτρων σχεδιασμού. Οι Ball και Wolf (1990) συνιστούν δοκιμές στήλης στο εργαστήριο για τον προσδιορισμό των παραμέτρων σχεδιασμού για συστήματα ΑΕΑ που αντιμετωπίζουν μεμονωμένους ρύπους σε ομοιογενή ισότροπα εδάφη σε μικρές τοποθεσίες. Η προσέγγισή τους είναι να γεμίζουν μια στήλη με χώμα της περιοχής, να εφαρμόζουν μια αντιπροσωπευτική ροή αέρα και να μετρούν τις συγκεντρώσεις των απορρέοντων ρύπων ως συνάρτηση του αριθμού των ανταλλαγών του όγκου των πόρων. Στη συνέχεια, μια εξίσωση εκθετικής αποσύνθεσης προσαρμόζεται σε αυτά τα δεδομένα και η παράμετρος βαθμονόμησης χρησιμοποιείται σε μια αναβαθμισμένη πρόβλεψη του ρυθμού εκπομπής για το σύστημα ΑΕΑ πλήρους κλίμακας. Με αυτές τις πληροφορίες, μπορεί να εκτιμηθεί ο συνολικός χρόνος και το κόστος αποκατάστασης του εδάφους.

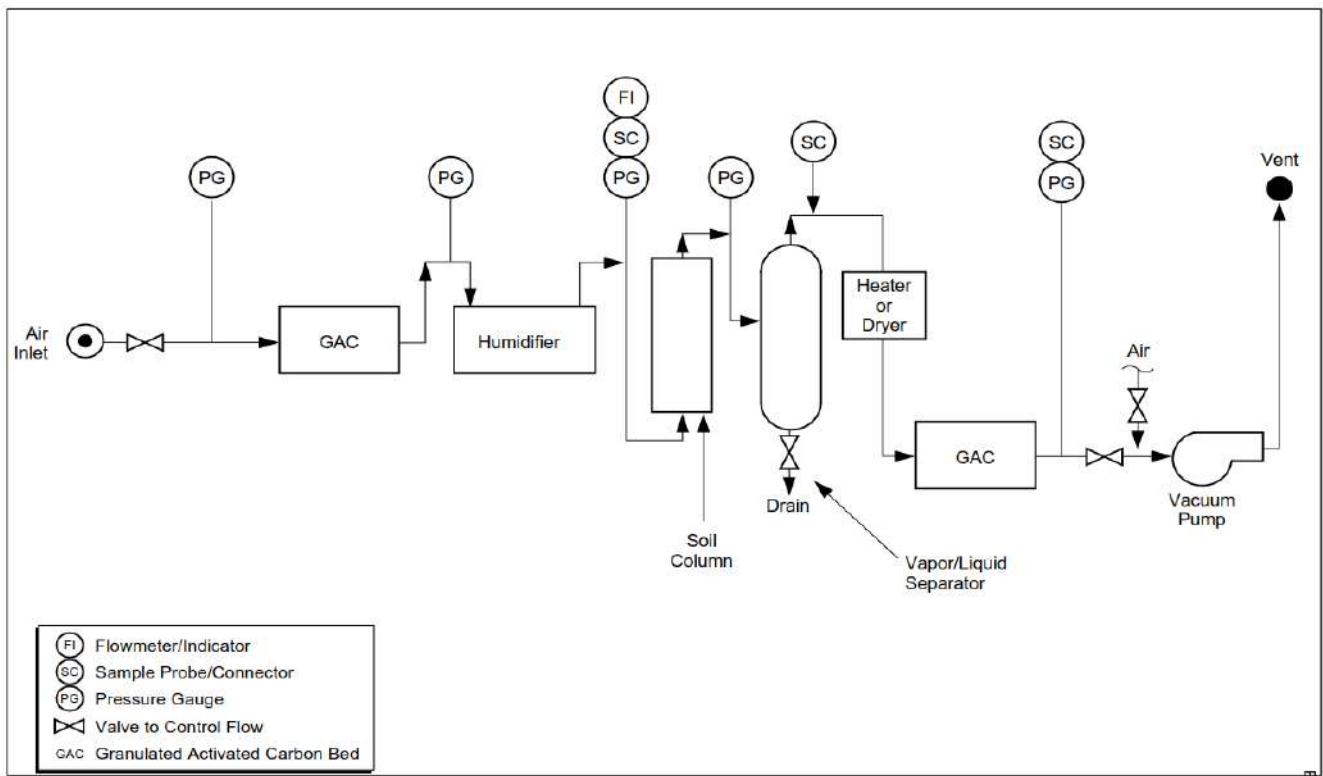
Δοκιμές στήλης για τον προσδιορισμό της αποτελεσματικότητας του ΑΕΑ. Η USEPA (1991c) συστήνει δοκιμές στήλης για τον έλεγχο των διορθωτικών μέτρων όταν υπάρχει αμφιβολία ως προς το αν η ΑΕΑ θα είναι αποτελεσματική σε μια περιοχή. Το βήμα αυτό μπορεί να παραλειφθεί όταν η πίεση ατμών των ενώσεων-στόχων είναι 10 mm Hg ή μεγαλύτερη. Οι δοκιμές στήλης δεν είναι επίσης εφικτές για τοποθεσίες με κατακερματισμένο υπόβαθρο ή ετερογενή πλήρωση αποτελούμενη από μεγάλα κομμάτια θραυσμάτων.

Οι μελέτες αυτές έχουν σχετικά χαμηλό κόστος και περιλαμβάνουν τη διέλευση περίπου 2.000 όγκων πόρων αέρα μέσω της στήλης (κατά τη διάρκεια περίπου 6 ημερών λειτουργίας). Πρέπει να σημειωθεί ότι η ισοδυναμία αυτή εξαρτάται από τις συνθήκες του εδάφους, όπως η διαπερατότητα και η περιεκτικότητα σε υγρασία. Για παράδειγμα, σε ένα ξηρό, αμμώδες έδαφος, οι όγκοι των 2.000 πόρων θα μπορούσαν να απομακρυνθούν σε μόλις ένα έτος, ενώ ένας υγρός, ιλυώδης άργιλος θα μπορούσε να απαιτήσει περισσότερα από 6 έτη. Στις περισσότερες περιπτώσεις, ωστόσο, τα σενάρια ροής για συγκεκριμένες τοποθεσίες θα εμπίπτουν κάπου στο εύρος των 3 έως 6 ετών. Ο λόγος για τη διεξαγωγή δοκιμών στήλης είναι η μελέτη της κινητικής διάχυσης του εδάφους. Έχει διαπιστωθεί ότι η απελευθέρωση ρύπων σχεδόν πάντα περιορίζεται από τη διάχυση εντός των πρώτων 1.000 όγκων πόρων, γεγονός που υποδηλώνει ότι η ισορροπία επιτυγχάνεται σχετικά γρήγορα. Επομένως, η περίοδος μελέτης όγκου 2.000 πόρων επιτρέπει την ποσοτικοποίηση της κινητικής διάχυσης.

Οι συγκεντρώσεις ρύπων εδαφικών αερίων παρακολουθούνται κατά τη διάρκεια της δοκιμής και μια μείωση κατά 80 τοις εκατό ή περισσότερο υποδεικνύει ότι η ΑΕΑ είναι δυναμικά βιώσιμη για την περιοχή και θα πρέπει να αξιολογηθεί περαιτέρω με πρόσθετες μελέτες στήλης. Εάν επιτευχθούν μειώσεις μεγαλύτερες από

95 τοις εκατό, το υπολειπόμενο έδαφος από τη στήλη μπορεί να αναλυθεί για την ποσοτικοποίηση της υπολειπόμενης ρύπανσης. Εάν οι συγκεντρώσεις είναι κάτω από τους στόχους καθαρισμού, οι δοκιμές στήλης ως επιλογή διορθωτικού μέσου μπορούν να παραλειφθούν και να διεξαχθούν στη συνέχεια δοκιμές αεροδιαπερατότητας.

Οι δοκιμές στήλης δεν απαιτούνται για τις περισσότερες εφαρμογές ΑΕΑ, αλλά μπορεί να είναι χρήσιμες υπό ορισμένες συνθήκες, π.χ. εξαέρωση ή/και βιοαποικοδόμηση των ανθεκτικών (δύσκολα αποικοδομήσιμων) ρυπαντών. Οι δοκιμές στήλης χρησιμοποιούν συνήθως 2 έως 8 kg μολυσμένου εδάφους (π.χ. με διαστάσεις στήλης που κυμαίνονται από 5 έως 10 cm σε διάμετρο και 30 έως 60 cm σε μήκος) και εκτελούνται μέχρι τα αποτελέσματα να γίνουν ασυμπτωτικά, με διάρκεια και κόστος που εξαρτώνται από τα χαρακτηριστικά του εδάφους και των ρύπων. Οι μετρήσεις που πραγματοποιούνται πριν από τις δοκιμές στήλης μπορεί να περιλαμβάνουν την πυκνότητα χύδην, την περιεκτικότητα σε υγρασία και αναλύσεις των συγκεντρώσεων των ρύπων στη μήτρα του εδάφους, στο εκπλυόμενο υγρό και στον υπερκείμενη φάση. Διαφορετικοί ρυθμοί αέριας ροής μπορούν να δοκιμαστούν, έτσι ώστε να ελεγχθεί η ευαισθησία των ρυθμών απομάκρυνσης των ρύπων στη ροή του αέρα. Οι μετρήσεις που πραγματοποιούνται κατά τη διάρκεια των δοκιμών περιλαμβάνουν πιέσεις του αέρα εισροής και εκροής, συγκεντρώσεις ρύπων στην εκροή, ρυθμούς ροής αέρα και θερμοκρασίες. Μετά τη δοκιμή, μετριοούνται οι συγκεντρώσεις των ρύπων στη μήτρα του εδάφους και στο εκπλυόμενο υγρό και στον υπερκείμενη φάση. Μετά τη δοκιμή, μετρώνται οι συγκεντρώσεις των ρύπων στη μήτρα του εδάφους και στο εκπλυόμενο υγρό TCLP για σύγκριση με τους στόχους καθαρισμού. Στην Εικόνα 3.3 παρουσιάζεται σχηματικά μια συσκευή δοκιμής στήλης.



Εικόνα 3.3- Διάγραμμα συσκευής δοκιμής στήλης

Στην Εικόνα 3.4 παρουσιάζονται τα πλεονεκτήματα και τα μειονεκτήματα των δοκιμών στήλης. Αν και οι δοκιμές στήλης δεν πρέπει γενικά να χρησιμοποιούνται ως μοναδική πηγή δεδομένων αεροδιαπερατότητας, μπορούν να αποτελέσουν χρήσιμο συμπληρωματικό μέσο των επιτόπιων δοκιμών αεροδιαπερατότητας.

Για παράδειγμα, ενώ οι επιτόπιες δοκιμές κα μπορούν συνήθως να εκτελεστούν σε περιορισμένο μόνο αριθμό θέσεων, άθικτοι πυρήνες μπορούν συχνά να συλλεχθούν από πολλές θέσεις και βάθη, συμπεριλαμβανομένων των θέσεων των επιτόπιων δοκιμών κα, έτσι ώστε να μπορεί να εξεταστεί η συσχέτιση μεταξύ εργαστηριακών και των ειτόπιων δεδομένων. Εάν υπάρξει καλή συσχέτιση, τα εργαστηριακά δεδομένα μπορούν να χρησιμοποιηθούν για τη γενίκευση των επιτόπιων αποτελεσμάτων σε όλη την περιοχή δειγματοληψίας.

Πλεονεκτήματα	Περιορισμοί
1. Μπορεί να επιταχύνει τη διαδικασία ΑΕΑ για να επιτρέψει την αξιολόγηση του μέγιστου δυναμικού απομάκρυνσης ρύπων.	1. Ο αέρας απογύμνωσης έχει πάντα καλή πρόσβαση στους ρύπους σε όλη τη στήλη. Η ροή του αέρα στις διάφορες ζώνες ποικίλλει ευρέως στο πεδίο.
2. Παρέχει πληροφορίες τάξης μεγέθους για τους συντελεστές κατανομής που απαιτούνται για τη μαθηματική μοντελοποίηση.	2. Η διαδικασία διάχυσης συχνά δεν μοντελοποιείται σωστά.
3. Μετρήσεις διαπερατότητας αέρα τάξης μεγέθους μπορούν να ληφθούν με "αδιατάρακτα" δείγματα.	3. Λόγω των διαφορών στην κλίμακα και τη ροή αέρα σε σχέση με τον προσανατολισμό του πυρήνα, πρέπει να λαμβάνονται πιο αντιπροσωπευτικά αποτελέσματα διαπερατότητας αέρα μέσω μετρήσεων διαπερατότητας αέρα στο πεδίο.
4. Μπορεί να επιτρέψει την ανάλυση δειγμάτων με μικρή απόσταση μεταξύ τους.	4. Πρέπει να διατυπωθούν και να επικυρωθούν τυποποιημένες διαδικασίες.

Εικόνα 3.4- Πλεονεκτήματα και περιορισμοί της δοκιμής στήλης

Οι δοκιμές στήλης εκτελούνται καλύτερα με τη χρήση άθικτων δειγμάτων πυρήνα. Τα αέραια δείγματα πυρήνα μπορούν να ληφθούν με δειγματολήπτες κίνησης ή με συσκευές συνεχούς πυρηνοληψίας. Τα δείγματα πυρήνα πρέπει να συλλέγονται μέσα σε άκαμπτες θήκες και να σημειώνονται με τον προσδιορισμό και τον προσανατολισμό του δείγματος. Τα δείγματα θα πρέπει να σφραγίζονται και να ψύχονται κατά τη συλλογή τους για να αποτραπεί η εξάτμιση και η αποδόμηση των ρύπων. Οι τυπικές διαδικασίες διάτρησης ανακτούν πυρήνες εδάφους με κατακόρυφο ή σχεδόν κατακόρυφο προσανατολισμό. Η τυπική ροή του αέρα κατά τη διάρκεια της ΑΕΑ, αν και τρισδιάστατη, δεν είναι κατακόρυφη και η οριζόντια διαπερατότητα του αέρα παρουσιάζει μάλλον μεγαλύτερο ενδιαφέρον. Το γεγονός αυτό θα πρέπει να συνεκτιμηθεί προσεκτικά όταν αποφασίζεται αν θα συλλεχθούν κατακόρυφοι πυρήνες για δοκιμές.

Στο εργαστήριο, τα δείγματα πυρήνων μπορούν να εξωθηθούν σε δοκιμαστικές στήλες ή οι θήκες των δειγμάτων μπορούν να ενσωματωθούν στη διάταξη της στήλης. Εάν ελήφθησαν διαταραγμένα δείγματα, θα πρέπει να επανασυσκευαστούν σε μια τελική πυκνότητα που να προσεγγίζει τις συνθήκες πεδίου. Εάν η δοκιμή έχει σχεδιαστεί για να προσομοιώνει την κατακόρυφη ροή μέσω ενός στρωματοποιημένου προφίλ, τα στρώματα μπορούν να ενσωματωθούν κατά την τοποθέτηση του εδάφους. Θα πρέπει να εξεταστεί το ενδεχόμενο συλλογής άθικτων, οριζόντια προσανατολισμένων πυρήνων εάν η δοκιμή προορίζεται να προσομοιώσει οριζόντια ροή αέρα.

Ο εξοπλισμός δοκιμής περιλαμβάνει συνήθως ένα σύστημα παροχής κενού ή αέρα, συσκευές μέτρησης ροής και εξοπλισμό μέτρησης πίεσης. Μπορεί επίσης να περιλαμβάνει συσκευές μέτρησης της υγρασίας του εδάφους (π.χ. τενσιόμετρα). Όλες οι συνδέσεις μεταξύ του συστήματος παροχής αέρα, των τοιχωμάτων της στήλης και του εδαφικού δείγματος πρέπει να είναι αεροστεγείς. Ορισμένες στήλες ενσωματώνουν μια φυσαλίδα στον δακτύλιο μεταξύ του δείγματος πυρήνα και του τοιχώματος της στήλης για την αποφυγή διαρροής κατά μήκος των άκρων του εδαφικού δείγματος. Οι συγκεντρώσεις των ρύπων μπορούν να

μετρηθούν στη στερεά ή στην αέρια φάση. Δεδομένου ότι οι μετρήσεις εδάφους απαιτούν καταστροφική δειγματοληψία, τα σημεία μέτρησης περιορίζονται στις αρχικές και τελικές συγκεντρώσεις. Η δειγματοληψία αερίων επιτρέπει τη μέτρηση χρονοσειρών των συγκεντρώσεων εκροής, αλλά συνήθως απαιτεί εξελιγμένο εξοπλισμό μέτρησης επί τόπου (π.χ. αέριους χρωματογράφους). Οι μετρήσεις αερίων θα πρέπει να υποστηρίζονται από τις αρχικές και τις τελικές συγκεντρώσεις στο έδαφος.

Τα αποτελέσματα των δοκιμών εκφράζονται συνήθως ως συγκέντρωση ρύπων σε σχέση με τον συνολικό όγκο του αέρα που ανταλλάσσεται. Για να συσχετιστούν οι δοκιμές στήλης με τις εφαρμογές πεδίου, η ανταλλαγή αέρα εκφράζεται συνήθως σε μονάδες όγκου πόρων.

Ο υπολογισμός του όγκου των πόρων απαιτεί τη μέτρηση του πορώδους και των διαστάσεων του δείγματος, καθώς και του ρυθμού ροής και του χρόνου που παρήλθε. Τα αποτελέσματα μπορούν να χρησιμοποιηθούν για την αξιολόγηση του ρυθμού απομάκρυνσης των ρύπων και των εκτιμώμενων υπολειμματικών συγκεντρώσεων. Μπορούν επίσης να προσδιοριστούν οι συντελεστές κατανομής, υπό την προϋπόθεση ότι οι συγκεντρώσεις ισορροπίας μετρώνται ταυτόχρονα σε κάθε φάση, μαζί με τη f_{oc} .

3.3 Εξέταση της σκοπιμότητας ΑΕΑ

- Οι ρύποι με χαμηλές σταθερές του νόμου του Henry είναι δύσκολο να επεξεργαστούν μέσω ΑΕΑ. Υπό ορισμένες συνθήκες, μπορούν να εξεταστούν θερμικές βελτιώσεις της ΑΕΑ για τη βελτίωση της πτητικότητας μέσω θερμού αέρα, της έγχυσης ατμού ή άλλων τεχνολογιών υπόγειας θέρμανσης.
- Η ΑΕΑ δεν είναι αποτελεσματική στην κορεσμένη ζώνη και οι οθόνες των φρεατίων άντλησης πρέπει να τοποθετούνται έτσι ώστε να λαμβάνονται υπόψη οι εποχιακές διακυμάνσεις στην ανύψωση του υδροφόρου ορίζοντα. Σε ορισμένες τοποθεσίες, μπορεί να εξεταστεί η μείωση της στάθμης του υδροφόρου ορίζοντα μέσω άντλησης για να εκτεθούν περισσότερα μέσα για επεξεργασία μέσω ΑΕΑ.
- Το γεωλογικό πλαίσιο και ο βαθμός πλευρικής και κατακόρυφης ετερογένειας πρέπει να λαμβάνονται υπόψη κατά το σχεδιασμό του συστήματος, ώστε να διασφαλίζεται η αποτελεσματική απομάκρυνση των αερίων από όλα τα τμήματα του μεσοδιαστήματος-στόχου. Για παράδειγμα, είναι ευκολότερο να προκληθεί ροή μέσω ενός αμμώδους μεσοδιαστήματος σε σύγκριση με ένα φακό ιλύος ή αργίλου. Επίσης, ένα αργιλικό στρώμα θα μπορούσε να εμποδίσει την εξαγωγή αερίων σε τμήματα του μολυσμένου διαστήματος, εάν το φρεάτιο δεν έχει ελεγχθεί με τρόπο που να το λαμβάνει υπόψη.
- Έδαφος με υψηλό ποσοστό λεπτόκοκκων υλικών και υψηλό βαθμό κορεσμού σε νερό θα απαιτήσει υψηλότερη αναρρόφηση, αυξάνοντας το κόστος και/ή εμποδίζοντας την αποτελεσματικότητα και την ομοιομορφία της επεξεργασίας.
- Το έδαφος με εξαιρετικά μεταβλητή διαπερατότητα ή στρωμάτωση μπορεί να οδηγήσει σε ανομοιόμορφη άντληση ροής του αερίου από τις μολυσμένες ζώνες. Μετά τη διακοπή λειτουργίας ενός συστήματος ΑΕΑ (προσωρινά ή μόνιμα), η ανάκαμψη του ρύπου από ζώνες χαμηλότερης διαπερατότητας όπου οι διαδικασίες μεταφοράς μάζας ήταν λιγότερο αποτελεσματικές με την πάροδο του χρόνου, μπορεί να παρατηρηθεί. Ο σχεδιασμός/τοποθέτηση των φρεατίων εξαγωγής ή/και οι λειτουργίες ΑΕΑ (π.χ. κυκλική λειτουργία των φρεατίων εξαγωγής, παλμική λειτουργία), καθώς και η πιθανή ανάγκη για ρωγμάτωση, μπορεί να χρειαστεί να ληφθούν υπόψη για την αντιμετώπιση των ποικίλων διαπερατοτήτων/στρωματοποίησης και της πιθανότητας ανάκαμψης του ρύπου.
- Ο σχεδιασμός του συστήματος ΑΕΑ θα πρέπει να επιτρέπει τη μέτρηση της ροής του αέρα και των συγκεντρώσεων των ρύπων για τα επιμέρους φρεάτια άντλησης (έναντι των σύνθετων μετρήσεων στον φυσητήρα). Ο αποκλεισμός των μετρήσεων των μεμονωμένων φρεατίων δεν θα επιτρέψει τη σωστή αξιολόγηση ή βελτιστοποίηση της απόδοσης. Για ετερογενή λιθολογία, δεν είναι ασυνήθιστο ένα ή λίγα

από τα φρεάτια εξαγωγής που έχουν διαλεγεί σε μια πιο διαπερατή θέση να ευθύνονται για το σύνολο σχεδόν της συνολικής ροής αέρα. Καθώς τα ποσοστά απομάκρυνσης ρύπων μειώνονται με την πάροδο του χρόνου, η δυνατότητα παλμοδότησης ή διακοπής λειτουργίας μεμονωμένων φρεατίων άντλησης με χαμηλότερα ποσοστά απομάκρυνσης ρύπων καθίσταται συμφέρουσα.

- Η εγκατάσταση σημείων μέτρησης κενού για αντιπροσωπευτικό αριθμό θέσεων σε όλη τη ζώνη επεξεργασίας συνιστάται, καθώς και για αποστάσεις από τα φρεάτια άντλησης και βάθη εντός διαφορετικών εδαφικών σχηματισμών για βαθύτερες ζώνες επεξεργασίας. Οι μετρήσεις κενού σε επαρκή αριθμό ανιχνευτών αερίου επιτρέπουν την επισκόπηση της προέκτασης των ρυθμών ροής του αέρα και των προτύπων κατανομής σε όλη την περιοχή επεξεργασίας. Μπορούν επίσης να συλληχθούν μετρήσεις αναπνοής (π.χ. οξυγόνο) και συγκέντρωσης ρύπων για την αξιολόγηση της επιρροής του εμπλουτισμού και της προόδου της απομάκρυνσης, καθώς και για τον εντοπισμό πιθανών "νεκρών ζωνών" αναποτελεσματικής επεξεργασίας που ενδέχεται να απαιτούν περαιτέρω βελτιστοποίηση για την αντιμετώπισή τους.
- Η διείσδυση νερού από βροχοπτώσεις ή/και ανύψωση του υδροφόρου ορίζοντα στο σύστημα ΑΕΑ μπορεί να δημιουργήσει διάφορα λειτουργικά προβλήματα. Οι σωληνώσεις μεταφοράς πρέπει να έχουν κλίση προς τα φρεάτια εξαγωγής ή τα στρατηγικά τοποθετημένα σημεία συλλογής για να αποφευχθεί η απόφραξη των γραμμών. Η ανύψωση με αναρρόφηση μεγαλύτερων όγκων ρηχών υπόγειων υδάτων ή η συμπαράσυρση της διείσδυσης κατακρημνισμάτων στο σύστημα μπορεί να υπερφορτώσει τον διαχωριστή αέρα/νερού και να προκαλέσει σοβαρή διάβρωση και φραγή των εσωτερικών μερών του φυσητήρα (που θα απαιτήσουν αντικατάσταση). Κατά τη διάρκεια περιόδων με έντονες βροχοπτώσεις ή ρηχά υπόγεια ύδατα, το σύστημα ΑΕΑ μπορεί είτε να χρειαστεί να κλείσει είτε να μειώσει τη παροχή κενού/αέρα για να αποφευχθούν αυτά τα προβλήματα.
- Συχνά απαιτείται επεξεργασία των απαερίων, η οποία θα αυξήσει σημαντικά το κόστος των εργασιών ΑΕΑ. Για παράδειγμα, τα υπολειμματικά υγρά μπορεί να απαιτούν επεξεργασία/απόρριψη, τα χρησιμοποιημένα GAC θα πρέπει να αναγεννηθούν ή να απορριφθούν και η θερμική/καταλυτική οξείδωση μπορεί να απαιτεί σημαντικό κόστος ηλεκτρικής ενέργειας/αερίου για τη λειτουργία της. Ο μακροπρόθεσμος σχεδιασμός του έργου θα πρέπει να επιτρέπει επαρκή ευελιξία για την αλλαγή ή τη διακοπή της επεξεργασίας του αέρα καθώς οι συγκεντρώσεις των εισερχόμενων ρύπων μειώνονται με την πάροδο του χρόνου (π.χ. χρήση ενοικιαζόμενου εξοπλισμού, συχνή παρακολούθηση των εισερχόμενων ρύπων σε σχέση με τις απαιτήσεις της άδειας για επεξεργασία).
- Η αποτελεσματικότητα της ΑΕΑ τείνει να μειώνεται με την πάροδο του χρόνου και τελικά να φτάνει σε ασυμπτωτικές συνθήκες/πλατώ. Οι ασυμπτωτικές συνθήκες/πλατώ μπορεί να είναι αποτέλεσμα της απομάκρυνσης της μάζας του ρύπου κυρίως από τις ζώνες υψηλότερης διαπερατότητας, ενώ παρουσιάζονται προκλήσεις με την απομάκρυνση της μάζας του ρύπου από ζώνες χαμηλότερης διαπερατότητας, περιοχές με υψηλότερη υγρασία ή υψηλότερη προσρόφηση του ρύπου στη μήτρα του εδάφους. Σε περίπτωση που αυτό συμβεί σε μια συγκεκριμένη τοποθεσία συνιστάται περαιτέρω αξιολόγηση του σχεδιασμού και των λειτουργιών του συστήματος ΑΕΑ. Η ανάλυση των επιπτώσεων που μπορεί να έχουν οι συγκεντρώσεις των επίμονων ρύπων στις συγκεντρώσεις των υπόγειων υδάτων ή στη διείσδυση αερίων θα πρέπει να γίνει με τη χρήση κατάλληλων εργαλείων μοντελοποίησης. Θα πρέπει να πραγματοποιηθούν δοκιμές επαναφοράς και μετρήσεις της συγκέντρωσης αερίων σε σημεία μέτρησης κενού για την αξιολόγηση των υπολειμματικών επιπέδων ρύπων σε όλη την περιοχή επεξεργασίας, προκειμένου να ληφθούν ορθές αποφάσεις σχετικά με την ανάγκη περαιτέρω βελτιστοποίησης του συστήματος ή τη διακοπή λειτουργίας του.

- Η αποτελεσματικότητα της ΑΕΑ μπορεί να ενισχυθεί με τη χρήση προγραμμάτων παλμικής λειτουργίας. Όταν το σύστημα είναι απενεργοποιημένο, οι ρύποι μπορούν να διαχέονται στο χώρο των πόρων και στη συνέχεια να απομακρύνονται όταν το σύστημα είναι ενεργό.
- Η θερμοκρασία του αραερίου μπορεί να περιορίσει τις επιλογές επεξεργασίας. Πρέπει να εξεταστεί προσεκτικά η ενσωμάτωση εναλλακτών θερμότητας για τη μείωση της θερμοκρασίας πριν από την επεξεργασία.

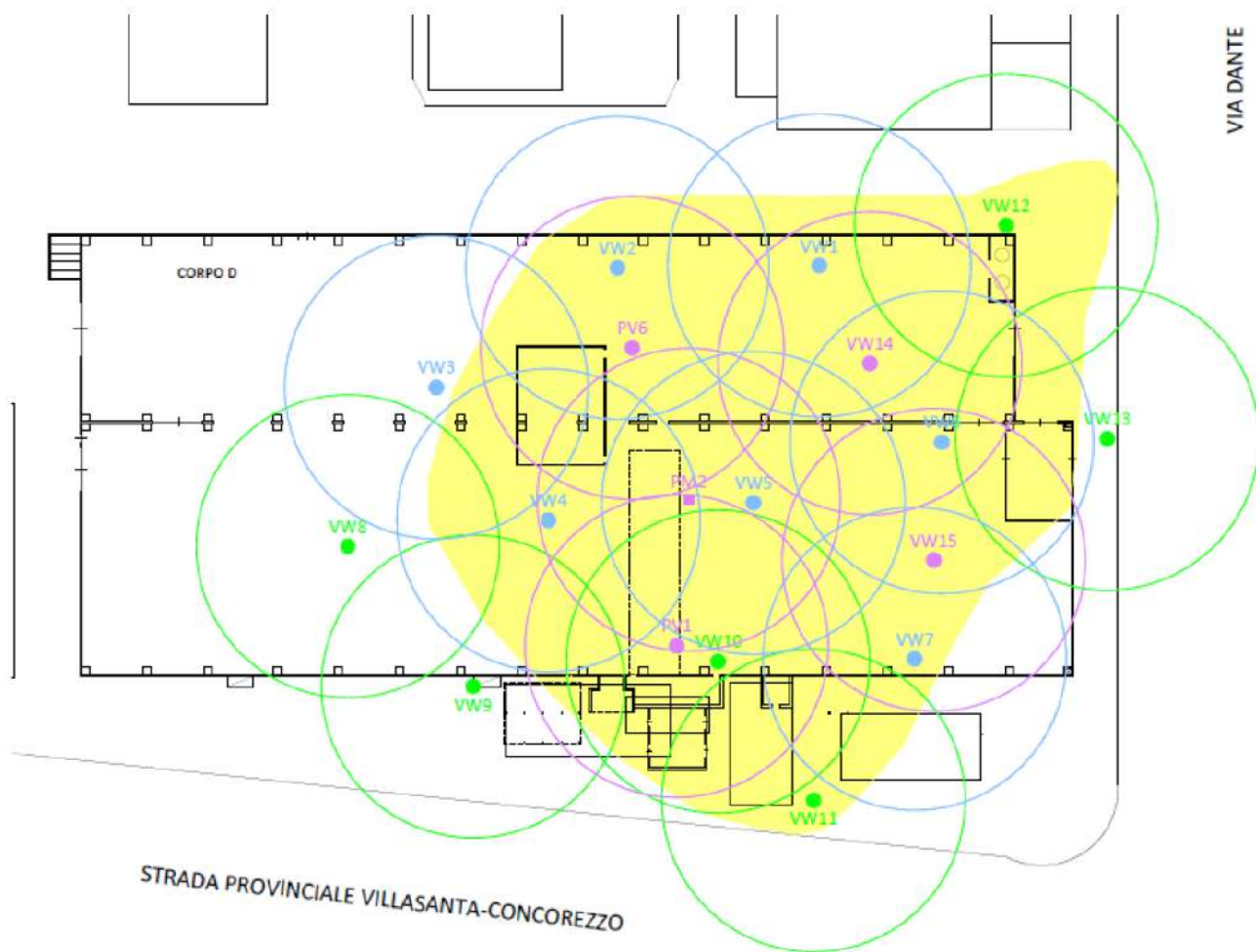
4 ΔΟΚΙΜΗ ΠΕΔΙΟΥ

Για τις εφαρμογές ΑΕΑ, ο επαρκής χαρακτηρισμός του υπεδάφους από την άποψη της ροής του αέρα είναι κρίσιμος. Παρόλο που η πρόβλεψη των πραγματικών κατανομών αέρα δεν είναι εφικτή αυτή τη στιγμή, τα αδρά χαρακτηριστικά των κατανομών αέρα μπορούν να προβλεφθούν για απλές γεωλογίες (π.χ. ιδιαίτερα διαπερατές και ομοιογενείς θέσεις και θέσεις με μεγάλες μακροσκοπικές ετερογένειες, όπως στρώματα αργίλου σε κατά τα άλλα αμμώδη εδάφη), και ως εκ τούτου, η γνώση που αποκτάται από την οπτική εξέταση των πυρήνων εδάφους είναι συχνά ανεκτίμητη για εφαρμογές ΑΕΑ.

Στο τέλος της φάσης χαρακτηρισμού της περιοχής και πριν από τις φάσεις διαλογής και πιλοτικών δοκιμών, τα δεδομένα χαρακτηρισμού της περιοχής θα πρέπει να χρησιμοποιούνται για τον καθορισμό μιας ζώνης-στόχου επεξεργασίας και για την πρόταση ενός εννοιολογικού μοντέλου για την κατανομή του αέρα στην περιοχή.

Η πιλοτική δοκιμή ΑΕΑ θα πρέπει να παρέχει αξιόπιστα δεδομένα για τον τελικό σχεδιασμό του συστήματος όσον αφορά:

- τον καθορισμό της ζώνης-στόχου επεξεργασίας
- την πρόταση ενός εννοιολογικού μοντέλου για τη διανομή του αέρα στη ζώνη επεξεργασίας
- τους βιώσιμους ρυθμούς αέριας ροής
- το συνολικό ρυθμό άντλησης αερίου
- τα αναμενόμενα ποσοστά απομάκρυνσης αέριων ρύπων
- τον προτιμώμενο προσανατολισμό της υπόγειας ροής αέρα
- την αποτελεσματική ακτίνα επιρροής και τον προσδιορισμό για το εάν οι αποστάσεις των φρεατίων είναι απαγορευτικές για το κόστος, και εάν ναι, τον προσδιορισμό της ελάχιστης απόστασης των φρεατίων έγχυσης ώστε να μην είναι απαγορευτική για το κόστος
- να προτείνει το βάθος, τη θέση και τις κατασκευαστικές ιδιαιτερότητες των φρεατίων
- τον αριθμό των απαιτούμενων φρεατίων άντλησης αερίων
- την τεχνολογία επεξεργασίας αερίων για τα απαέρια του συστήματος



Εικόνα 4.1- Ακτίνα επιρροής μετά από πιλοτική δοκιμή (Confalonieri et al., βλέπε παράρτημα 1)

Οι πρωταρχικοί παράγοντες που καθορίζουν αυτές τις παραμέτρους σχεδιασμού ΑΕΑ είναι: (1) η φύση και η έκταση της ρύπανσης στο έδαφος, (2) η κατανομή της διαπερατότητας (δηλαδή οι ετερογένειες) στο έδαφος και (3) οι συγκεντρώσεις των ρύπων στο εξαγόμενο εδαφικό αέριο. Οι πληροφορίες αυτές αναμένεται να είναι διαθέσιμες από ένα εξελισσόμενο εννοιολογικό χωρικό μοντέλο.

Εκτός από την παροχή δεδομένων για το σχεδιασμό του συστήματος πλήρους κλίμακας, μια σωστά διεξαχθείσα πιλοτική δοκιμή θα πρέπει να βοηθήσει το σύμβουλο να καθορίσει κατά πόσον οι υφιστάμενοι χρονικοί περιορισμοί για το κλείσιμο του έργου μπορούν να τηρηθούν, δεδομένων των επιτεύξιμων ποσοστών απομάκρυνσης αερίων.

ΔΡΑΣΤΗΡΙΟΤΗΤΑ	ΕΡΩΤΗΣΗ(ΕΣ) ΠΡΟΣ ΑΠΑΝΤΗΣΗ
Δοκιμή πίεσης/παροχής	Είναι δυνατή η επίτευξη της επιθυμητής ροής σε λογικές πιέσεις;
Δοκιμή με ιχνηθέτη ηλίου	Ποια είναι η προσέγγιση της πλευρικής έκτασης της διανομής του αέρα; Υπάρχουν ενδείξεις προτιμώμενων κατευθύνσεων;
Αέριο εδάφους/Δειγματοληψία απαερίου	Ποιος είναι ο ρυθμός εξατμησης; Υπάρχουν προφανείς κίνδυνοι για την ασφάλεια;
DO μετρήσεις	Ποια είναι η προσέγγιση της πλευρικής έκτασης της διανομής του αέρα; Υπάρχουν ενδείξεις προτιμώμενων κατευθύνσεων;

4.1 Συμβατική πιλοτική δοκιμή

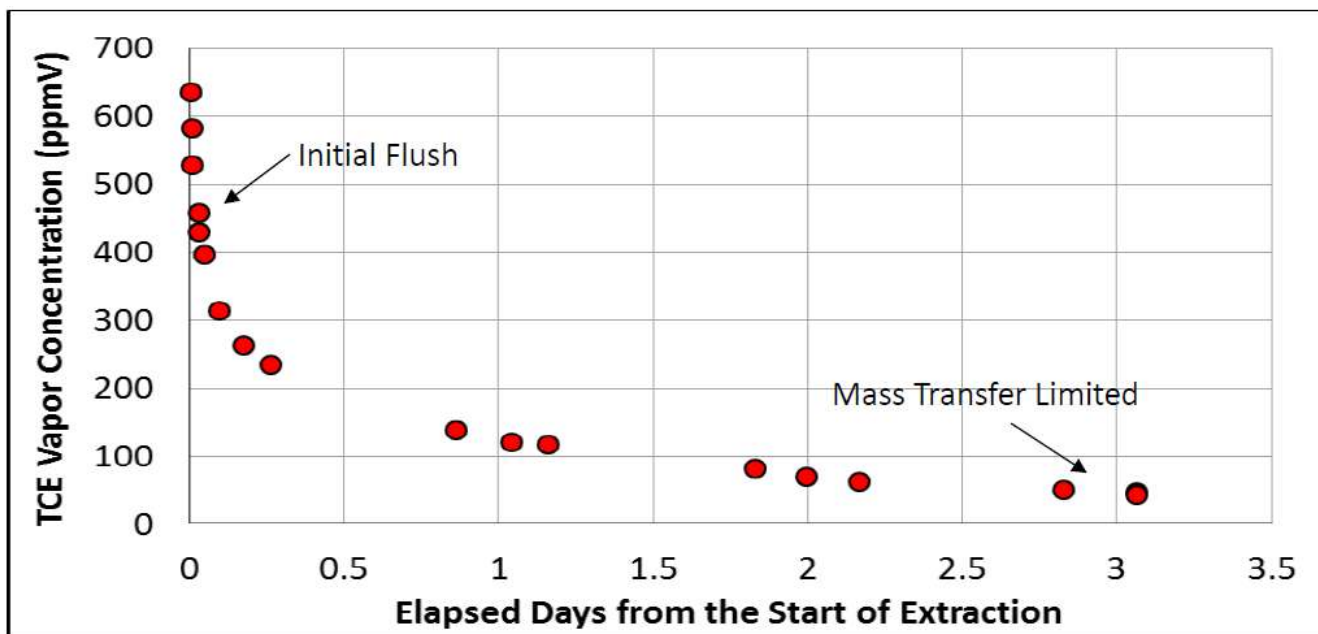
Τα δεδομένα συμβατικού χωρικού χαρακτηρισμού είναι σημαντικά για την αξιολόγηση της ΑΕΑ- ωστόσο, τα δεδομένα αυτά είναι σχετικά στατικά και δεν παρέχουν επαρκή δεδομένα για το σχεδιασμό πλήρους κλίμακας. Ειδικότερα, η δυναμική συμπεριφορά του ρυθμού μαζικής άντλησης των ρύπων είναι δύσκολο να προβλεφθεί χωρίς την εκτέλεση πιλοτικής δοκιμής ΑΕΑ. Η συμπεριφορά της εξαγωγής διέπεται σε μεγάλο βαθμό από τον όγκο του ρυπασμένου εδάφους, τα κλάσματα του όγκου του εδάφους που χαρακτηρίζονται ως συµμεταφερόµενα έναντι των διαχεόµενων, τα χαρακτηριστικά µεταφοράς µάζας των ζωνών πηγής περιορισµένης διάχυσης, τη θέση των οθονών άντλησης σε σχέση µε τις πηγές και την ύπαρξη ΥΜΥΦ. Στη συζήτηση που ακολουθεί δεν εξετάζεται η ύπαρξη ΥΜΥΦ, αν και µια ζώνη επίµονης συγκέντρωσης που επανέρχεται σε σχεδόν ίδια συγκέντρωση ισορροπίας µετά από πολλαπλές περιόδους άντλησης αποτελεί ένδειξη ΥΜΥΦ.

Όσο νωρίτερα γίνονται πιλοτικές δοκιμές στη διαδικασία σχεδιασμού αποκατάστασης (κατά προτίμηση ως μέρος του χωρικού χαρακτηρισμού), τόσο λιγότερο πιθανό είναι να χρειαστούν τροποποιήσεις του σχεδιασμού µετά την έναρξη λειτουργίας του συστήµατος. Οι πιλοτικές δοκιμές συνιστώνται ιδιαίτερα σε µεγαλύτερες, πιο σύνθετες περιοχές.

Ο σχεδιασµός της πιλοτικής δοκιµής απαιτεί τον προσδιορισµό ενός επιθυµητού συνολικού ρυθµού άντλησης αερίου ή της διάρκειας άντλησης. Ιδανικά, η πιλοτική δοκιµή θα αντλήσει το ισοδύναµο ενός ή περισσότερων όγκων, που πληρούνται από εδαφικό αέριο, από το ρυπασµένο έδαφος. Σκοπός της δοκιµής αυτής είναι να λειτουργήσει το σύστηµα για αρκετό χρονικό διάστηµα ώστε να παρατηρηθεί η αρχική µείωση της συγκέντρωσης των εξαγόμενων πτητικών οργανικών ενώσεων και οι μειώσεις της συγκέντρωσης στους ανιχνευτές εδαφικών αερίων σε διαφορετικές αποστάσεις. Αυτό θα παράσχει µια πρώτη εκτίµηση για τους περιορισµούς µεταφοράς µάζας και την ακτίνα αποτελεσµατικής αποκατάστασης από ένα µόνο φρεάτιο [DiGiulio and Varahan, 2001a]. Ως γενικός κανόνας, ο ρυθµός και η διάρκεια για την πιλοτική δοκιµή µπορούν να βασιστούν στον συνολικό όγκο (V) του ρυπασµένου εδάφους στο χωρικό εννοιολογικό µοντέλο, στο εδαφικό πορώδες και στην περιεκτικότητα σε υγρασία του εδάφους ως εξής:

$$Q = V_{\text{εδάφους}} (1-S)$$

Οι συγκεντρώσεις αερίων τριχλωροαιθυλενίων κατά τη διάρκεια 3 ηµερών άντλησης σε 64 Nm³/hr σε ένα φρεάτιο τοποθετηµένο κοντά στο κέντρο µιας ύποπτης ζώνης πηγής αυτών των αερίων παρουσιάζονται στο παρακάτω σχήµα. Η εξαγόμενη συγκέντρωση μειώθηκε γρήγορα κατά τις πρώτες ώρες της άντλησης σύµφωνα µε τον εκτιµώµενο ρυθµό εξαγωγής και ανταλλαγής εδαφικών αερίων. Εν συνεχεία, η συγκέντρωση τριχλωροαιθυλενίων ακολουθεί µια πολύ πιο αργή µείωση κατά τη διάρκεια της επακόλουθης άντλησης που συνδέεται µε περιορισµούς διάχυσης µεταφοράς µάζας σε µια περιοριστική µονάδα αργίλου στο µέσο της ζώνης κατεισδύσεως. Οι παρατηρήσεις αυτές δείχνουν ότι το πιλοτικό σύστηµα ήταν επαρκές για να χρησιµεύσει ως σύστηµα πλήρους κλίµακας σε αυτή τη µικρή τοποθεσία. Η χρήση ενεργού άνθρακα για την επεξεργασία των απαερίων αποδείχθηκε επίσης ως οικονοµικά αποδοτική.

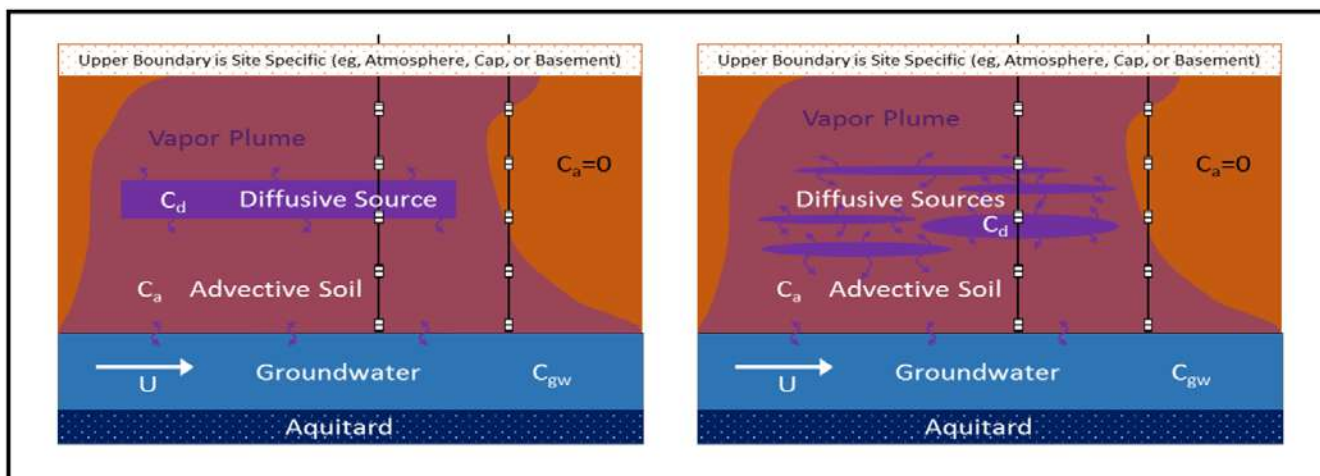


Εικόνα 4.2- Παράδειγμα δεδομένων συγκέντρωσης αερίων από πιλοτική δοκιμή ΑΕΑ

Στην περίπτωση χαμηλότερης διαπερατότητας του εδάφους, μπορεί να απαιτηθεί ένα δεύτερο φρεάτιο για να επιτευχθεί η επιθυμητή ροή ή μια μεγαλύτερη περίοδος έκπλυσης ώστε να εντοπιστούν οι περιορισμοί μεταφοράς μάζας. Όπως περιγράφεται αργότερα, πρόσθετες πληροφορίες σχετικά με τους περιορισμούς μεταφοράς μάζας ελήφθησαν με τη μέτρηση της ανάκαμψης της συγκέντρωσης αερίων τριχλωροαιθυλενίων στο φρεάτιο μετά τη διακοπή της άντλησης. Επιπλέον, εάν η συγκέντρωση αερίων τριχλωροαιθυλενίων ήταν αρχικά υψηλότερη και παρέμενε σε σημαντικά υψηλότερη τιμή μετά την αρχική πτώση, υποδηλώνοντας την ύπαρξη ενός πυκνού ρευστού μη υδατικής φάσης, η προσρόφηση άνθρακα μπορεί να μην είναι οικονομικά αποδοτική για τον υψηλότερο μαζικό ρυθμό άντλησης.

Σημεία παρακολούθησης μπορούν επίσης να εγκατασταθούν σε πολλαπλά βάθη, συμπεριλαμβανομένου του υποεπιφανειακού όπου είναι δυνατόν, και εντός της ακτίνας επιρροής (π.χ. 3-15m) ενός πιλοτικού φρέατος άντλησης, εάν δεν είναι ήδη διαθέσιμα από προηγούμενες δραστηριότητες χωρικού χαρακτηρισμού. Κάθε θέση παρακολούθησης θα μπορούσε να έχει πολλαπλά ένθετα σημεία σε όλη την κατακόρυφη έκταση της ζώνης κατεισδύσεως ανάλογα με το βάθος των υπόγειων υδάτων και τη γεωλογική διαστρωμάτωση.

Όπως αναπαρίσταται στη παρακάτω εικόνα, τα σημεία μπορούν να τοποθετηθούν πάνω, κάτω και μέσα σε ύποπτες πηγές. Κατά τη διάρκεια των πιλοτικών δοκιμών, οι θέσεις αυτές χρησιμοποιούνται για τη μέτρηση τόσο της συγκέντρωσης αερίων όσο και των αποκρίσεων του κενού.



Εικόνα 4.3- Εννοιολογικά σενάρια για περιορισμένης διάχυσης μαζική μεταφορά και τυπικά σημεία παρακολούθησης εδαφικών αερίων

Η χρησιμότητα των δεδομένων κενού εξαρτάται σε μεγάλο βαθμό από τη διαπερατότητα των εδαφών και τα δεδομένα αυτά δεν μπορούν να χρησιμοποιηθούν για την εκτίμηση της ακτίνας επιρροής της ΑΕΑ. Μεγαλύτερη σημασία έχει η απόκριση της συγκέντρωσης αερίων. Σε διαπερατές άμμους, μια πολύ μικρή απόκριση κενού μπορεί να συνδέεται με μια σχετικά υψηλή ροή αέρα, ενώ μια σημαντική απόκριση κενού σε άργιλο δεν παρέχει καμία ένδειξη ότι η αξιοσημείωτη ροή συνδέεται με το κενό. Ωστόσο, τα δεδομένα παρακολούθησης του κενού μπορούν να χρησιμοποιηθούν για την αξιολόγηση της πλευρικής έναντι της κατακόρυφης έκτασης της ροής και της επίδρασης των επιφανειακών συνθηκών (π.χ. διαρροή χαμηλής διαπερατότητας σε ένα επίπεδο ή μια επιφάνεια εδάφους ανοικτή στην ατμόσφαιρα) στην έκπλυση των επιφανειακών εδαφικών όγκων.

Κατά τη διάρκεια των πιλοτικών δοκιμών, συνιστάται ένα ισχυρό πρόγραμμα παρακολούθησης της συγκέντρωσης αερίων πτητικών οργανικών ενώσεων (Π.Ο.Ε.) για τον εντοπισμό τάσεων στα σημεία παρακολούθησης εδαφικών αερίων. Αυτές οι τάσεις μπορούν να συσχετιστούν με τον όγκο πόρων του εδάφους που σαρώθηκε κατά τη διάρκεια της πιλοτικής δοκιμής για να παρέχουν μια βάση για την απόσταση των φρεατίων άντλησης κατά το σχεδιασμό πλήρους κλίμακας στηριζόμενη στην επιθυμητή συχνότητα έκπλυσης (δηλ. τον ρυθμό ανταλλαγής όγκου πόρων), όπως συζητείται στην επόμενη ενότητα. Η χρήση ενός αερίου χρωματογράφου πεδίου, από έναν έμπειρο χειριστή, ενθαρρύνεται, για την αποτελεσματική αύξηση του μεγέθους του συνόλου δεδομένων των εδαφικών αερίων Π.Ο.Ε..

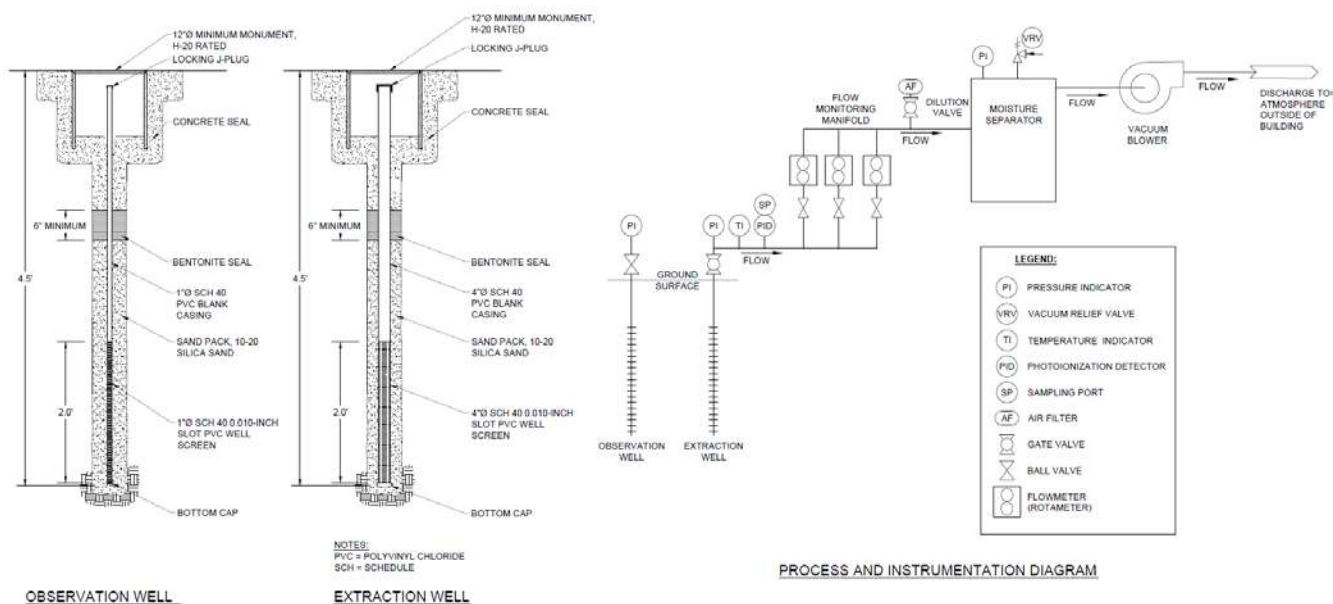
Συχνά, η άμεση απόρριψη των απαερίων χωρίς επεξεργασία είναι μη αποδεκτή λόγω ανησυχιών σχετικά με την υγεία, την ασφάλεια ή την κοινή γνώμη των πολιτών. Εάν οι συνθήκες υποδεικνύουν ότι αυτό είναι απαραίτητο, μπορούν να εφαρμοστούν τεχνολογίες επεξεργασίας των απαερίων, όπως ο ενεργός άνθρακας, η θερμική οξείδωση ή άλλες σχετικές τεχνολογίες για τη βελτίωση της ποιότητας των απαερίων για την απελευθέρωση τους στην ατμόσφαιρα.

4.1.1 Συμβατικός εξοπλισμός πιλοτικών δοκιμών

Ο εξοπλισμός της πιλοτικής μελέτης ΑΕΑ μπορεί να αποτελείται από τα ακόλουθα [Farallon 2019], ή ισοδύναμα:

- Έναν αναγεννητικό φυσητήρα με αναγεννητικό σύστημα 1 ίππου τουλάχιστον (ισοδύναμο με Rotron DR 404), ικανό για κενό στήλης νερού 50 ιντσών και ροή έως και 105 τυποποιημένα κυβικά πόδια ανά λεπτό.
- Διαχωριστή υγρασίας με δείκτη κενού, βαλβίδα ανακούφισης κενού και βαλβίδα αποστράγγισης.
- Ένας συλλέκτης που αποτελείται από μια σειρά βαλβίδων, δείκτες κενού και ένα ροόμετρο ικανό να παρακολουθεί ρυθμούς ροής αέρα άντλησης που κυμαίνονται από 0,66 έως 100 τυποποιημένα κυβικά πόδια ανά λεπτό και κενό που κυμαίνεται από 0,1 έως 80 ίντσες στήλης νερού.
- Ελαστικοποιημένοι εύκαμπτοι σύνδεσμοι, εύκαμπτοι σωλήνες και/ή εξαρτήματα πολυβινυλοχλωριδίου Schedule 40 για τη σύνδεση του εξοπλισμού από το φρεάτιο άντλησης ΑΕΑ σε ένα σημείο απόρριψης αερίων.

Τα φρεάτια παρατήρησης θα πρέπει να διαθέτουν εξαρτήματα στεγανά σε κενό που να καταλήγουν σε σφαιρική βαλβίδα για τη σύνδεση με το μετρητή κενού για την παρακολούθηση του παρατηρούμενου κενού καθ' όλη τη διάρκεια των δραστηριοτήτων της πιλοτικής μελέτης. Ένα διάγραμμα διεργασίας και οργάνων παρέχεται στην εικόνα που ακολουθεί.



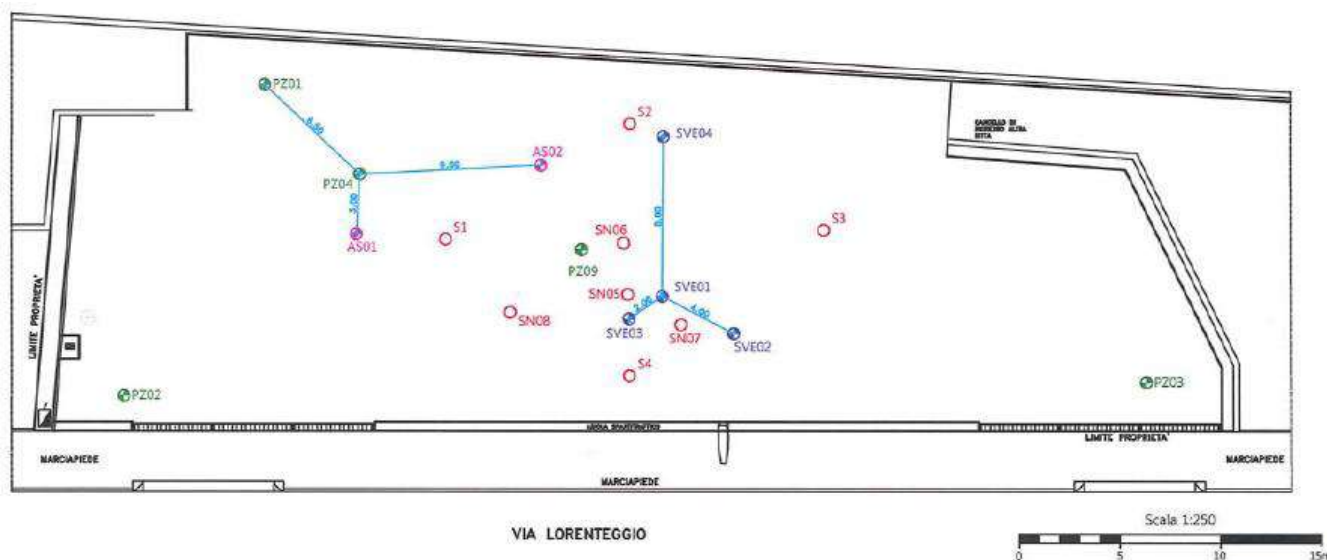
Εικόνα 4.4- Παράδειγμα διαγράμματος διεργασίας και οργάνων (Farallon Consulting)

4.1.2 Δοκιμή αυξανόμενης βαθμίδας κενού ΑΕΑ

Η πιλοτική δοκιμή ΑΕΑ θα πρέπει να διεξάγεται ως δοκιμασία σταδίων με τη χρήση τουλάχιστον τριών βημάτων ρυθμού αέριας ροής. Η διάρκεια κάθε βήματος της δοκιμής θα πρέπει να είναι τουλάχιστον ίση με το χρόνο που απαιτείται για να φθάσουν οι υπό μέτρηση παράμετροι των σημείων παρακολούθησης κενού σε σταθερή κατάσταση. Ενώ διατηρείται σταθερός ο ρυθμός ροής και το κενό που εφαρμόζεται στο φρεάτιο άντλησης ατμών (με συχνές μετρήσεις που εξασφαλίζουν αυτή την κατάσταση), θα πρέπει να λαμβάνονται μετρήσεις πίεσης στο φρεάτιο άντλησης και σε όλα τα σημεία παρακολούθησης κενού στο έδαφος. Η παρακολούθηση πρέπει να είναι συχνή στην αρχή της πιλοτικής δοκιμής (κάθε πέντε έως δέκα λεπτά) το χρονικό διάστημα μεταξύ των μετρήσεων κενού μπορεί να αυξηθεί κατά τη διάρκεια της δοκιμής.

Για την πιλοτική δοκιμή συνιστάται τουλάχιστον ένα φρεάτιο άντλησης εδαφικών ατμών και τρία σημεία παρακολούθησης κενού, τα οποία βρίσκονται σε διαφορετικές αποστάσεις από το φρεάτιο άντλησης. Συνιστώνται ειδικά φρεάτια άντλησης εδαφικών ατμών και σημεία παρακολούθησης, ωστόσο, φρεάτια

παρακολούθησης των υπόγειων υδάτων μπορούν να γίνουν αποδεκτά, εάν η θέση και η κατασκευή τους είναι κατάλληλες για την περιοχή. Η έγκριση της χρήσης φρεατίων παρακολούθησης των υπόγειων υδάτων για φρεάτια άντλησης ΑΕΑ ή σημεία παρακολούθησης θα γίνεται σε συγκεκριμένη τοποθεσία. Κατά γενικό κανόνα, τα σημεία παρακολούθησης κενού θα πρέπει να βρίσκονται σε απόσταση πέντε έως δέκα ποδιών, δέκα έως είκοσι ποδιών, είκοσι έως σαράντα ποδιών και μεγαλύτερη των σαράντα ποδιών από το φρεάτιο άντλησης ατμών. Τα σημεία παρακολούθησης κενού θα πρέπει να εγκαθίστανται ακτινωτά από το φρεάτιο απαγωγής ατμών (δηλ. σε απόσταση 120° μεταξύ τους) και όχι σε μια γραμμή, προκειμένου να αξιολογούνται καλύτερα οι πιθανές προτιμώμενες διαδρομές ροής αέρα στην περιοχή. Εάν η ρύπανση του εδάφους εκτείνεται σε πολλαπλές μονάδες διαφορετικής διαπερατότητας, κάθε ξεχωριστή στρωματογραφική μονάδα θα πρέπει να αξιολογείται με το δικό της φρεάτιο άντλησης ατμών και τρία σημεία παρακολούθησης ατμών.



Εικόνα 4.5- Τυπική τοποθέτηση στους 120° του σημείου παρακολούθησης ΑΕΑ (Confalonieri et al., βλέπε παράρτημα 1)

Ένα τυπικό φρεάτιο άντλησης αέρα είναι ένα κατακόρυφο φρεάτιο διαμέτρου 1 έως 4 ιντσών με διάστημα διαλογής μήκους 1 έως 5 ποδιών, ενώ τα δεδομένα αυτά πρέπει να καθορίζονται σε συγκεκριμένη τοποθεσία.

Πριν από την εφαρμογή της κλιμακωτής δοκιμής ΑΕΑ, θα συλλεχθούν βασικές μετρήσεις κενού από φρεάτια παρατήρησης. Συνιστάται επίσης επιτόπιος έλεγχος για οργανικούς ατμούς που θα πρέπει να διενεργείται με ανιχνευτή ιονισμού φλόγας (ΑΙΦ) ή σε συνδυασμό με ανιχνευτή φωτοϊονισμού (ΑΦΙ) και εκρηξιμέτρου.

Η κλιμακωτή δοκιμασία ΑΕΑ διεξάγεται με σταδιακή αύξηση του κενού που εφαρμόζεται στο φρεάτιο άντλησης ΑΕΑ. Η μέγιστη ποσότητα κενού που μπορεί να εφαρμοστεί στο φρεάτιο εξαγωγής ΑΕΑ βασίζεται στην απόσταση από την κορυφή της εκτεθειμένης οθόνης του φρέατος έως την κορυφή του υπόγειου υδροφόρου ορίζοντα ή στον διαθέσιμο εξοπλισμό. Με βάση την καμπύλη φυσητήρα για έναν αναγεννητικό φυσητήρα ισχύος 1 ίππου, το αναμενόμενο μέγιστο κενό που εφαρμόζεται στο φρεάτιο άντλησης ΑΕΑ θα είναι 50 ίντσες στήλης νερού [Farallon 2019]. Τα κλιμακωτά βήματα θα εφαρμόζονται στο 30, 70 και 100 % της μέγιστης αριθμητικής τιμής κενού για τον φυσητήρα. Κατά τη διάρκεια κάθε σταδίου της δοκιμής βαθμίδας,

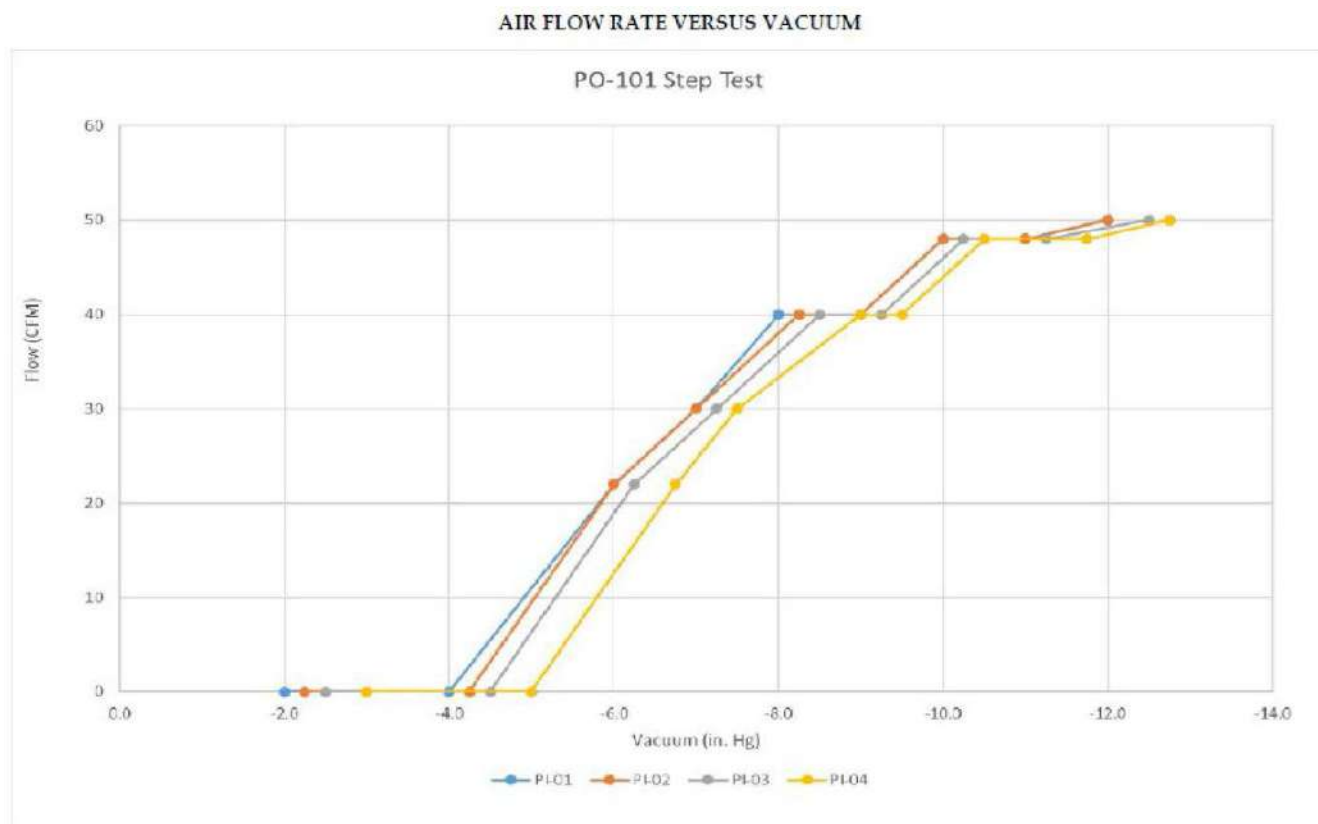
οι ακόλουθες παράμετροι θα πρέπει να παρακολουθούνται σε διαστήματα 15 λεπτών, τουλάχιστον, έως ότου σταθεροποιηθούν τα κριτήρια (λιγότερο από 5 τοις εκατό διαφορά μεταξύ των συμβάντων) ή για μέγιστη διάρκεια 2 έως 3 ωρών σε κάθε βαθμίδα κενού:

- Κενό που εφαρμόζεται στο φρεάτιο άντλησης ΑΕΑ
- Ρυθμός αντλητικής ροής από το φρεάτιο άντλησης ΑΕΑ
- Θερμοκρασία εξαγόμενου ατμού
- Μετρήσεις πτητικών οργανικών ενώσεων του αντλούμενου ρεύματος ατμών με ανιχνευτή φωτιοϊονισμού
- Κενό στα φρεάτια παρατήρησης
- Οι μετρήσεις κενού θα καταγράφονται ως μετρήσεις πίεσης μανόμετρου

minutes	Pid ppm	Lel %	O2 %	CO2 %	Depress mbar	V m/s	T °C	Q mc/h
0	480.1	18	21.3	1.22	-286.0	7.74	1.4	47
10	2147.0	16	21.5	3.45	-258.0	6.57	0.8	47
30	2371.0	13	20.9	3.16	-249.0	6.23	4	43
60	4106.0	13	20.9	2.7	-236.0	6.77	4.1	50
90	4469.0	10	20.9	2.26	-232.0	7.46	4.6	53
120	5000.0	10	20.9	2.08	-229.0	8.27	5.2	57
180	5000.0	9	20.9	1.83	-225.0	9.03	5.9	64
240	5000.0	9	20.9	1.62	-222.0	9.53	6.9	67
300	5000.0	8	20.9	1.44	-220.0	9.6	7	72

Εικόνα 4.6- Παράδειγμα πίνακα παρακολούθησης (Confalonieri et al., βλ. παράρτημα 1)

Τα δείγματα ατμών θα μπορούσαν να συλλέγονται σε δοχεία Summa και/ή σε σακούλες Tedlar και/ή σε παρόμοια δοχεία και να αποστέλλονται για εργαστηριακή ανάλυση στο τέλος κάθε δοκιμής σταδίου, στη μέγιστη συγκέντρωση αντλούμενων ατμών, όπως μετράται με τον ανιχνευτή φωτιοϊονισμού.



Εικόνα 4.1- Παράδειγμα της ΑΕΑ υπό την κλιμακωτή αύξηση της δοκιμής κενού (Menozzi et al., see Annex1)

4.1.3 Δοκιμή σταθερού κενού ΑΕΑ

Με βάση τα αποτελέσματα της κλιμακωτής δοκιμής ΑΕΑ, το ιδανικό κενό και ο ρυθμός ροής άντλησης μπορούν να προσδιοριστούν για να ολοκληρωθεί η δοκιμή σταθερού κενού ΑΕΑ, η οποία αποτελεί το δεύτερο στοιχείο της πιλοτικής μελέτης ΑΕΑ. Το βέλτιστο κενό και ο ρυθμός ροής θα πρέπει να προσδιοριστούν από το παρατηρούμενο κενό και τους ρυθμούς ροής του φρεατίου άντλησης, την ανάκτηση ατμών, την απόκριση που παρατηρείται στα φρεάτια παρατήρησης και την επίδραση στα επίπεδα των υπόγειων υδάτων. Ο βέλτιστος ρυθμός ροής θα μπορούσε επίσης να προσδιοριστεί από την ακτίνα επιρροής που προσδιορίζεται στη κλιμακωτή δοκιμή.

Η δοκιμή σταθερού κενού ΑΕΑ θα πρέπει να πραγματοποιείται αμέσως μετά τη κλιμακωτή δοκιμή ΑΕΑ και να λειτουργεί για περίπου 24 ώρες. Οι παρακολουθούμενες παράμετροι δοκιμής για τη κλιμακωτή δοκιμή θα παρακολουθούνται και θα καταγράφονται επίσης ανά 15 λεπτά κατά τη διάρκεια της δοκιμής σταθερού κενού ΑΕΑ:

- Κενό που εφαρμόζεται στο φρεάτιο άντλησης ΑΕΑ
- Ρυθμός ροής άντλησης από το φρεάτιο άντλησης ΑΕΑ
- Θερμοκρασία εξαγόμενου ατμού
- Μετρήσεις πτητικών οργανικών ενώσεων του αντλούμενου ρεύματος ατμών με ανιχνευτή φωτοϊονισμού
- Κενό στα φρεάτια παρατήρησης
- Οι μετρήσεις κενού θα καταγράφονται ως μετρήσεις πίεσης μανόμετρου

Το χρονικό διάστημα παρακολούθησης μπορεί να τροποποιηθεί κατά τη διάρκεια της πιλοτικής δοκιμής με βάση τις επιτόπιες παρατηρήσεις. Η δοκιμή σταθερού κενού ΑΕΑ μεγαλύτερης διάρκειας θα βοηθήσει στην αξιολόγηση των συγκεντρώσεων εκπομπών σταθερής κατάστασης, της λειτουργικής ροής αέρα και του κενού ΑΕΑ για κάθε τοποθεσία.

Τα δείγματα ατμών θα μπορούσαν να συλλεχθούν σε δοχεία Summa και/ή σε σακούλες Tedlar και/ή σε παρόμοια και ισοδύναμα μέσα και να αποσταλούν για εργαστηριακή ανάλυση στο τέλος της δοκιμής σταθερού κενού ΑΕΑ.

4.2 Δοκιμή διανομής και ανάκτησης ηλίου

Αν και η δοκιμή με ιχνηθέτη ηλίου δεν αποτελεί συνήθη πρακτική λόγω περιορισμένης προσφοράς, ένα από τα πλεονεκτήματά της είναι ότι μπορεί να επαναληφθεί εύκολα, συνήθως με καθυστέρηση μόνο λίγων ωρών μεταξύ τους. Αυτό επιτρέπει την ταχεία αξιολόγηση των επιπτώσεων των αλλαγών της διαδικασίας (π.χ. κατανομή της ροής του αέρα από διάφορα φρεάτια).

Το ήλιο είναι το πιο συνηθισμένο αέριο-δείκτης που χρησιμοποιείται, δεδομένου ότι είναι σχετικά φθινό, άμεσα διαθέσιμο και τα αναλυτικά όργανα είναι διαθέσιμα για χρήση στο πεδίο. Οι συνήθεις ανιχνευτές μπορούν να ανιχνεύσουν συγκεντρώσεις ηλίου από 0,1% έως 100%. Είναι βαθμονομημένο στο εργοστάσιο, οπότε δεν μπορεί να βαθμονομηθεί στο πεδίο, αλλά θα πρέπει να ελέγχεται με πρότυπα ηλίου για να διαπιστωθεί ότι το όργανο λειτουργεί σωστά. Συνήθως, τα δείγματα ατμών πρέπει να συλλέγονται σε σάκους ή δοχεία Tedlar. Στη συνέχεια, ο ανιχνευτής ηλίου συνδέεται απευθείας στο δοχείο του δείγματος για τη μέτρηση. Εναλλακτικά, ο ανιχνευτής ηλίου μπορεί να τροποποιηθεί για συνεχή δειγματοληψία. Η συνεχής δειγματοληψία είναι πολύ βολική κατά τη μέτρηση των απαερίων ΑΕΑ όπου υπάρχει συνεχής ροή.

Οι δοκιμές ανάκτησης ιχνηθέτη που περιγράφονται εδώ μπορούν να διεξαχθούν ως μέρος μιας πιλοτικής δοκιμής ή κατά τη διάρκεια λειτουργίας πλήρους κλίμακας. Η δοκιμή είναι πολύ απλή στη διεξαγωγή και την ερμηνεία. Βασικά, ένας αδρανής ιχνηθέτης (συνήθως ήλιο) εισάγεται στο έδαφος με σταθερό, γνωστό ρυθμό και η συγκέντρωση του ιχνηθέτη παρακολουθείται στα απαέρια του ΑΕΑ αερίου. Μετά από κάποιο χρονικό διάστημα (π.χ. μία ώρα ή λιγότερο για πολλά συστήματα), η συγκέντρωση του ιχνηθέτη στο απαέριο αρχίζει να αυξάνεται. Συνεχίζει να αυξάνεται και τελικά φτάνει σε ένα σταθερό πεδίο. Το ποσοστό του αέρα που συλλαμβάνεται μπορεί να υπολογιστεί πολλαπλασιάζοντας τη ροή ΑΕΑ με το κλάσμα του ηλίου στον αέρα της ΑΕΑ μόλις σταθεροποιηθεί η συγκέντρωση και διαιρώντας τον αριθμό αυτό με τον ρυθμό έγχυσης του ιχνηθέτη, όπως φαίνεται παρακάτω.

$$\% \text{Ανάκτηση} = \frac{\text{Ρυθμός ροής ΑΕΑ}}{\text{Ρυθμός έγχυσης ιχνηθέτη}} \times \% \text{ ιχνηθέτη στα απαέρια} \times 100$$

$\% \text{Ανάκτηση} = \text{Ρυθμός ροής ΑΕΑ} \% \text{ ιχνηθέτη σε απαέρια} / 100$

Μια πιο ισχυρή τεχνική πεδίου για τον υπολογισμό της ανάκτησης είναι να μετρηθεί πρώτα η "συγκέντρωση ανάκτησης 100%" στο αέριο ΑΕΑ με απευθείας έγχυση ηλίου στον συλλέκτη ΑΕΑ. (Πρέπει να ληφθεί μέριμνα ώστε να διασφαλιστεί ότι η ροή είναι η ίδια και στις δύο περιπτώσεις, δεδομένου ότι οι οπισθοπιέσεις για τα δύο συστήματα είναι σημαντικά διαφορετικές). Στην περίπτωση αυτή, το ποσοστό ανάκτησης είναι απλώς η συγκέντρωση ηλίου που μετράται στο απαέριο της ΑΕΑ διαιρούμενη με τη "100% συγκέντρωση ανάκτησης".

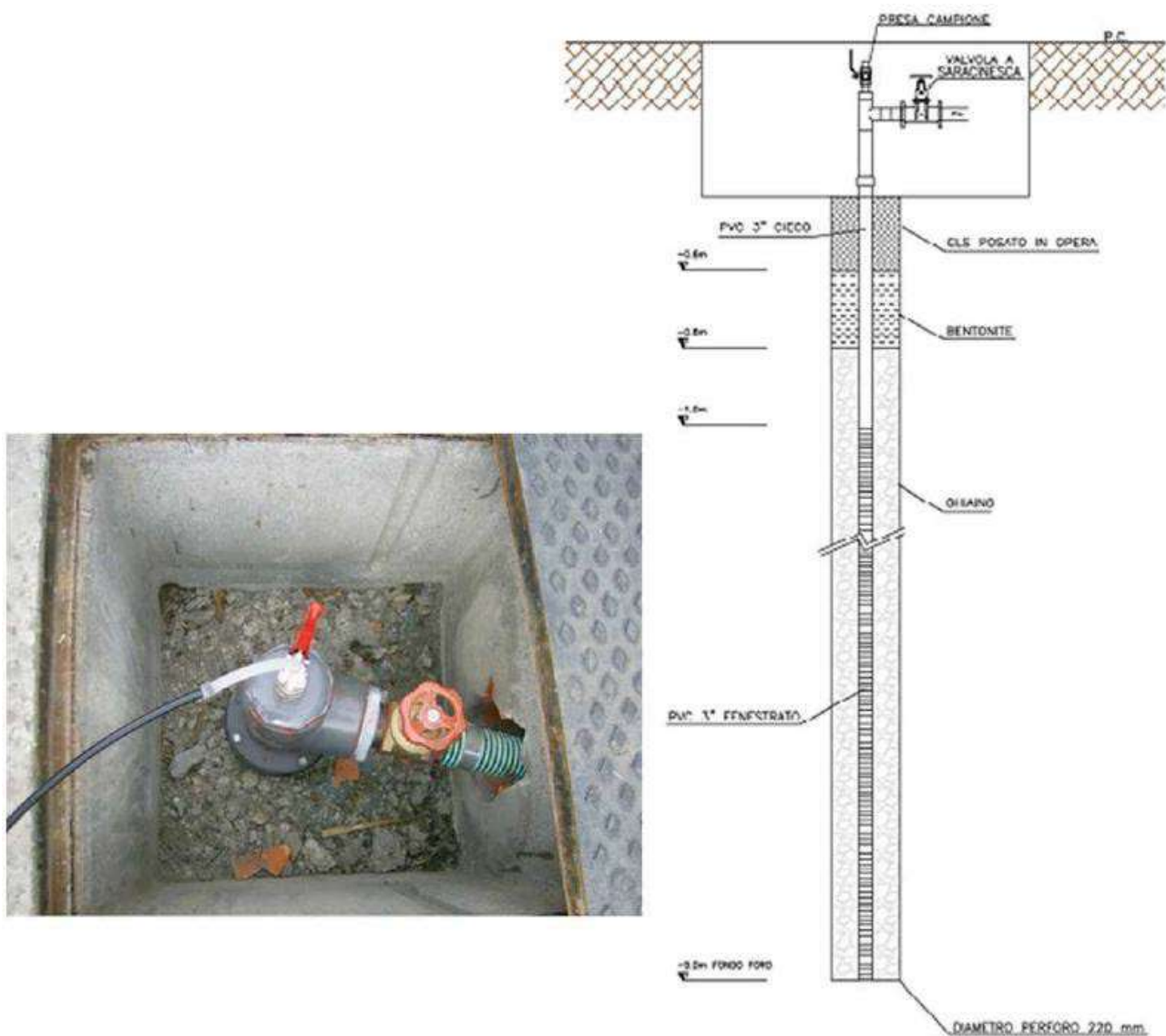
Εάν χρησιμοποιείται ήλιο ως ιχνηθέτης, η συγκέντρωση έγχυσης θα πρέπει να διατηρείται κάτω από 10% κατ' όγκο για να αποφευχθούν φαινόμενα άνωσης στη ζώνη κατείδυσης. Για να εξασφαλιστεί συνεπής ροή ηλίου υπό συνθήκες μεταβαλλόμενης οπισθοπίεσης, θα πρέπει να χρησιμοποιείται βαθμονομημένος μετρητής ροής άμεσης ανάγνωσης μαζί με ένα μανόμετρο και μια βαλβίδα μέτρησης για την παροχή σταθερής, υψηλής οπισθοπίεσης στο μετρητή ροής.

Η δοκιμή ανάκτησης ιχνηθέτη έχει σχεδιαστεί ως "κόκκινη σημαία" για την απόδοση του συστήματος. Εάν η ανάκτηση του ηλίου είναι χαμηλή, τότε είναι πιθανό ο αέρας (και το ήλιο) να παγιδεύονται κάτω από τον υδροφόρο ορίζοντα κάτω από στρώματα χαμηλότερης διαπερατότητας και να μετακινούνται πλευρικά πέρα από την εμβέλεια του συστήματος ΑΕΑ.

Σε ορισμένες περιπτώσεις, είναι πιθανό να μην επιστρέψει ήλιο στο φρεάτιο λόγω της παρουσίας συνεχών στρωμάτων. Η παρουσία αυτών των στρωμάτων θα πρέπει επίσης να είναι ανιχνεύσιμη με την παρακολούθηση της πίεσης των υπόγειων υδάτων κατά την έναρξη και τη διακοπή της λειτουργίας του συστήματος. Ως εκ τούτου, συνιστάται η δοκιμή ανάκτησης ηλίου να διεξάγεται σε συνδυασμό με μετρήσεις της πίεσης των υπόγειων υδάτων.

Εάν η ανάκτηση ηλίου είναι υψηλή (π.χ. >80%), τότε το σύστημα ΑΕΑ λειτουργεί καλά και η πλευρική μετανάστευση των ατμών είναι απίθανο να αποτελεί πρόβλημα.

4.3 Παρακολούθηση εδαφικών αερίων



Εικόνα 4.8- Παράδειγμα εγκατάστασης Nesty Probe (Trezzi et al., βλ. παράρτημα 1)

Κατά τη διάρκεια της πιλοτικής δοκιμής, θα πρέπει να συλλέγονται δείγματα εδαφικών αερίων από το φρεάτιο άντλησης εδαφικών ατμών σε κάθε στάδιο ρυθμού ροής για πιθανή εργαστηριακή ανάλυση. Η συχνότητα και ο αριθμός των δειγμάτων που υποβάλλονται για εργαστηριακή ανάλυση θα πρέπει να βασίζονται στις ειδικές συνθήκες του χώρου· ωστόσο, τουλάχιστον ένα δείγμα, που συλλέγεται από το στάδιο με την υψηλότερη ένδειξη του οργάνου που χρησιμοποιείται στο πεδίο, θα πρέπει να υποβάλλεται για εργαστηριακή ανάλυση. Η δειγματοληψία ατμών πρέπει να πραγματοποιείται στο σημείο εξαγωγής ατμών από μια θύρα δειγματοληψίας που βρίσκεται μεταξύ της κεφαλής του φρέατος και του φυσητήρα. Για τη συλλογή εργαστηριακών δειγμάτων για αναλύσεις Π.Ο.Ε., CO₂ και O₂ μπορεί να χρησιμοποιηθεί σακούλα tedlar, σωλήνας άνθρακα ή δοχείο τύπου Summa, αν και προτιμάται το τελευταίο. Η μέθοδος ανάλυσης θα πρέπει να εγκριθεί από το τεχνικό προσωπικό του έργου. Οι σωλήνες Draeger χρησιμοποιούνται συνήθως για τη μέτρηση του CO₂ και μπορούν επίσης να είναι αποδεκτοί για την παρακολούθηση της συγκέντρωσης των Π.Ο.Ε.. Εάν δεν μπορούν να επιτευχθούν συγκεκριμένες ελάχιστες απαιτήσεις αναφοράς λόγω των ειδικών συνθηκών του χώρου, αυτό θα πρέπει να επεξηγηθεί ή να συζητηθεί.

Οι αυξήσεις των συγκεντρώσεων των ρύπων στα απαέρια και ο ρυθμός άντλησης ΑΕΑ μπορούν να χρησιμοποιηθούν για τον προσδιορισμό του ρυθμού μαζικής απομάκρυνσης. Φυσικά, οι μετρήσεις που πραγματοποιούνται κατά τη σύντομη διάρκεια μιας πιλοτικής δοκιμής δεν είναι ενδεικτικές της μακροπρόθεσμης απόδοσης. Ωστόσο, μπορεί γενικά να υποτεθεί ότι τα δεδομένα της πιλοτικής δοκιμής αντιπροσωπεύουν το μέγιστο ποσοστό απομάκρυνσης από το σύστημα. Σε αυτό το πλαίσιο, εάν τα ποσοστά μαζικής απομάκρυνσης κατά τη διάρκεια (π.χ. κατά την ολοκλήρωση) της πιλοτικής δοκιμής είναι πολύ χαμηλά, τότε θα πρέπει να υπάρχει σημαντική ανησυχία σχετικά με τη βιωσιμότητα της ΑΕΑ στην περιοχή.

4.4 Ελάχιστος εξοπλισμός για δοκιμή πεδίου ΑΕΑ

Μια πιλοτική δοκιμή για ένα σύστημα άντλησης ατμών από το έδαφος περιλαμβάνει ένα φρεάτιο άντλησης που βρίσκεται εντός της ρυπασμένης περιοχής, ένα φρεάτιο παρόμοιας κατασκευής που βρίσκεται σε μια περιοχή χωρίς τεκμηριωμένη ρύπανση και έναν αριθμό αντίστοιχων φρεατίων παρατήρησης. Άλλα σημαντικά μέρη της διαμόρφωσης της πιλοτικής δοκιμής μπορεί να περιλαμβάνουν:

- φορητό φυσητήρα ή εξαγωγέα κενού
- θύρες δειγματοληψίας φρέατος
- όργανα μέτρησης για τα φρεάτια άντλησης
- εξοπλισμό συλλογής δειγμάτων

Τα συνήθη όργανα μέτρησης περιλαμβάνουν:

- μετρητή φωτο-ιονισμού (ΜΦΙ), ο οποίος μετρά την ποσότητα των πτητικών ενώσεων που απελευθερώνονται
- έναν αριθμό μετρητών κενού ή ροής αέρα για τον προσδιορισμό της ακτίνας επιρροής για κάθε φρεάτιο άντλησης
- μετρητές θερμοκρασίας που βοηθούν στον προσδιορισμό της θερμοκρασίας των ατμών του εδάφους, η οποία μπορεί να επηρεάσει το συνολικό ρυθμό ροής αέρα

Ο εξοπλισμός δειγματοληψίας μπορεί να περιλαμβάνει:

- σακούλες tedlar και φορητές αντλίες αέρα για τη συλλογή δειγμάτων εισροής ή εκροής
- δοχεία μίας χρήσης για τη συλλογή δειγμάτων νερού ή προϊόντων από τα φρεάτια παρατήρησης

4.5 Το φρεάτιο άντλησης

Τα φρεάτια άντλησης αποτελούν αναπόσπαστο μέρος μιας πιλοτικής δοκιμής συστήματος αποκατάστασης ΑΕΑ. Τα φρεάτια αυτά αποτελούν έναν τρόπο απομάκρυνσης της ρύπανσης από τη ζώνη κατείδυσης μέσω της δημιουργίας αρνητικής βαθμίδας πίεσης. Η ρύπανση "αναρροφάται" προς το φρεάτιο άντλησης επειδή υπάρχει μικρότερη πίεση στο φρεάτιο εκχύλισης. Το κλειδί σε κάθε σχέδιο αποκατάστασης που χρησιμοποιεί την εξαγωγή ατμών ως τεχνική απομάκρυνσης είναι ο καθορισμός του σωστού ποσού μεταβολής της βαθμίδας πίεσης που απαιτείται για να είναι αποτελεσματική. Μια πιλοτική δοκιμή είναι ένας συνήθης τρόπος για τον προσδιορισμό αυτών των πληροφοριών.

Φυσικά, εάν λαμβάνονται δείγματα μόνο στα φρεάτια άντλησης, η εικόνα που θα αποκτηθεί θα είναι ελλιπής. Ενώ οι παρατηρήσεις στα φρεάτια άντλησης θα δίνουν πληροφορίες για το πώς μεταβάλλονται οι συνθήκες στο σημείο της άντλησης, μπορεί να μην επεκταθούν πολύ πέρα από αυτό. Γι' αυτό το λόγο τα πηγάδια παρατήρησης είναι τόσο σημαντικά. Τα πηγάδια παρατήρησης, τα οποία ελέγχονται με παρόμοιο τρόπο με τα αντίστοιχα πηγάδια άντλησης, θα παρέχουν πληροφορίες όπως η διακύμανση του υπόγειου νερού, οι διαβαθμίσεις της πίεσης ατμών, ακόμη και οι αλλαγές στη μετανάστευση του ρυπασμένου αγωγού. Με τη λήψη τακτικών δειγμάτων και μετρήσεων, τόσο στα πηγάδια παρατήρησης όσο και στα πηγάδια άντλησης, ο επιστήμονας μπορεί να αποκτήσει μια πιο ολοκληρωμένη και συγκεκριμένη εικόνα απ' ό,τι θα μπορούσε να δώσει μόνο του ένα από τα δύο μέρη. Ιδανικά, οι μετρήσεις που λαμβάνονται θα πρέπει να περιλαμβάνουν τη στάθμη του υπόγειου νερού, όπως μετράται με το δείκτη στάθμης νερού, το πάχος οποιουδήποτε προϊόντος ελεύθερης φάσης, όπως μετράται με ανιχνευτή διεπιφάνειας, και τη συγκέντρωση των πτητικών οργανικών ενώσεων, όπως προσδιορίζεται με μετρητή φωτο-ιονισμού. Τα δείγματα που λαμβάνονται θα πρέπει να περιλαμβάνουν δείγματα αέρα του εξοπλισμού εισροής και εκροής, καθώς και τυχόν απαέρια που σχετίζονται με την προτεινόμενη επεξεργασία του εξαγόμενου ατμού. Αυτά τα συλλεχθέντα δείγματα θα πρέπει να εξετάζονται σε εργαστηριακό περιβάλλον για αναλύσεις όπως οι πτητικές οργανικές ενώσεις (Π.Ο.Ε.) και οι ολικοί πετρελαϊκοί υδρογονάνθρακες (Ο.Π.ΥΔ.). Οι συγκεκριμένες ανάγκες ανάλυσης διαφέρουν από πολιτεία σε πολιτεία, οπότε η επικοινωνία με την τοπική ρυθμιστική αρχή για καθοδήγηση είναι μια καλή ιδέα όπου και εάν χρειάζεται.

4.6 Πρόταση πιλοτικής δοκιμής - Ελάχιστες απαιτήσεις υποβολής

1. Περιγραφή που αφορά τις διαδικασίες πεδίου, τα αποτελέσματα της πιλοτικής δοκιμής, συμπεριλαμβανομένου του προσδιορισμού της αποτελεσματικής ακτίνας επιρροής, και συζήτηση της σύνθεσης των ρύπων και των ποσοστών απομάκρυνσης ατμών.

2. Στατικά δεδομένα (πριν από τη δοκιμή):

- στατικά δεδομένα στάθμης νερού (με ακρίβεια 0,01 ft.) εάν τα φρεάτια παρακολούθησης χρησιμοποιούνται ως σημεία παρακολούθησης κενού ή σημεία άντλησης ατμών,
- θερμοκρασία εδάφους και αέρα,
- στατική πίεση (ίντσες H₂O) και ατμοσφαιρικές συνθήκες (πίεση και θερμοκρασία).

3. Δεδομένα δοκιμών που συλλέγονται στο σημείο εξαγωγής (αναφέρονται για συγκεκριμένα χρονικά διαστήματα):

- ρυθμός ροής του αέρα,
- ανύψωση της στάθμης του νερού με ακρίβεια 0,01 ft (εάν χρησιμοποιείται φρεάτιο παρακολούθησης),
- συγκεντρώσεις Π.Ο.Ε., CO₂ και O₂,
- μετρήσεις FID (ή PID και εκρηξιμέτρου),
- πίεση,

- Θερμοκρασία εδάφους και αέρα.

4. Δεδομένα δοκιμών που συλλέγονται στο σημείο παρακολούθησης κενού (αναφέρονται για συγκεκριμένα χρονικά διαστήματα):

- κενό (ίντσες H₂O),
- Υψόμετρο στάθμης νερού (με ακρίβεια 0,01 ft.).

5. Εικόνες

- χάρτες του χώρου (με κλίμακα) που απεικονίζουν τη θέση της περιοχής (των περιοχών) προέλευσης, των σημείων παρακολούθησης της άντλησης και του κενού, των κτιρίων, της πλακόστρωτης περιοχής και των ορυγμάτων κοινής ωφέλειας, την έκταση της ρύπανσης του εδάφους και των υπόγειων υδάτων και τον υδροφόρο ορίζοντα για την ημέρα της πιλοτικής δοκιμής,
- γεωλογικές τομές του χώρου που απεικονίζουν τα κύρια γεωλογικά χαρακτηριστικά, την κατανομή των ρύπων και τη θέση των σημείων άντλησης και παρακολούθησης,
- κατασκευαστικά διαγράμματα των φρεατίων άντλησης και των σημείων παρακολούθησης κενού.
- κατασκευαστικό σκαρίφημα που απεικονίζει τον σχεδιασμό του συλλέκτη, συμπεριλαμβανομένων των ακόλουθων στοιχείων: σωλήνες, όργανα, βαλβίδες, θύρες δειγματοληψίας και κάθε άλλο στοιχείο του συστήματος της πιλοτικής δοκιμής.

6. Γραφήματα:

- κανονικοποιημένο κενό (κενό σημείου παρακολούθησης/ κενό σημείου άντλησης) συναρτήσει της απόστασης από το φρεάτιο άντλησης για κάθε βήμα του ρυθμού ροής (απεικονίζονται σε χαρτί ημιλογαρίθμου),
- εφαρμοζόμενο κενό (ίντσες H₂O) σε σχέση με τη ροή αέρα στο φρεάτιο άντλησης για κάθε βήμα του ρυθμού ροής αέρα,
- συνολική συγκέντρωση ατμών Π.Ο.Ε. σε συνάρτηση με το χρόνο,
- ανύψωση των υπόγειων υδάτων συναρτήσει του χρόνου.

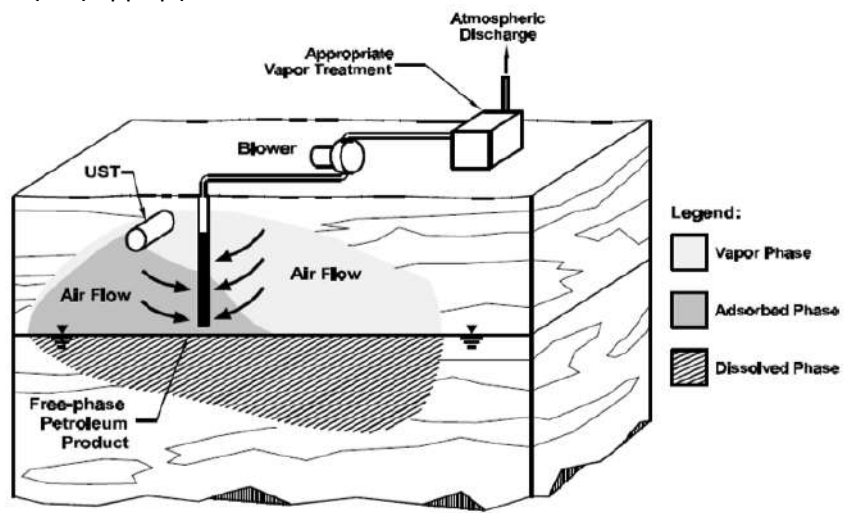
4.7 Εναλλακτική πιλοτική δοκιμή

Η εκτέλεση μιας πιλοτικής δοκιμής για το σύστημα αποκατάστασης είναι ιδανική, τόσο για τη μακροπρόθεσμη αποκατάσταση όσο και για μια οικονομική λογική. Σε ορισμένες περιπτώσεις, αυτές οι επιλογές δεν είναι βιώσιμες και υπάρχουν άλλες διαθέσιμες επιλογές. Παρόλο που μπορεί να μην είναι τελικά τόσο αποδοτικές όσο η διενέργεια μερικών προκαταρκτικών δοκιμών πριν από την εγκατάσταση, είναι γνωστό ότι παρέχουν αποδεκτά αποτελέσματα.

Η πρώτη εναλλακτική λύση αντί της εκτέλεσης μιας πιλοτικής δοκιμής είναι η απλή εγκατάσταση ενός προσωρινού συστήματος αποκατάστασης στον χώρο και η άμεση έναρξη της διαδικασίας αποκατάστασης. Οι τεχνολογικές εξελίξεις σήμερα έχουν δημιουργήσει μικρότερα, πιο ευέλικτα συστήματα ΑΕΑ, που πολλά από αυτά προσφέρονται με ενοικίαση. Αυτά τα μικρότερα, κινητά συστήματα επιτρέπουν την πραγματοποίηση αλλαγών, εάν κριθεί απαραίτητο.

Η δεύτερη εναλλακτική λύση για τη διενέργεια πιλοτικής δοκιμής είναι η χρήση γενικευμένων πληροφοριών αναφοράς σχετικά με την τοποθεσία για την εκτίμηση των χαρακτηριστικών της. Εάν είναι γνωστή η λιθολογία και η βασική έκταση της ρύπανσης, τότε η ανάλυση μεγέθους κόκκων μπορεί να χρησιμοποιηθεί για την εκτίμηση της διαπερατότητας του εδάφους και τελικά της ροής του αέρα. Αυτή η μέθοδος είναι καλή για περιοχές με σχετικά μικρές ποσότητες ρύπανσης. Τα μειονεκτήματα αυτής της μεθόδου είναι ότι μερικές φορές οι αντιληπτές φυσικές και χημικές παράμετροι δεν είναι οι ίδιες σε όλη την περιοχή και υπάρχει μια

σημαντική δυσκολία στην αξιολόγηση των πολυεπίπεδων γεωλογικών συνθηκών. Επιπλέον, εάν το σύστημα αποκατάστασης περιλαμβάνει εκπομπές αερίων, οι εκτιμήσεις των συγκεντρώσεων στον αέρα δεν θα είναι διαθέσιμες πριν από την εφαρμογή.



Εικόνα 4.9- Σχέδιο με έναν φυσητήρα

Τα βήματα αυτά μπορεί να διεξάγονται ή να μην διεξάγονται με διαδοχικό τρόπο.

5 ΠΑΡΑΚΟΛΟΥΘΗΣΗ ΤΗΣ ΕΠΙΔΟΣΗΣ

Η παρακολούθηση διεξάγεται κατά τη διάρκεια της λειτουργικής φάσης για την αξιολόγηση της προόδου της αποκατάστασης και πριν από τη διακοπή λειτουργίας του συστήματος, για την επαλήθευση της επίτευξης των κριτηρίων καθαρισμού.

Το σχέδιο παρακολούθησης θα πρέπει να περιλαμβάνει συχνότερες δειγματοληψίες κατά την έναρξη λειτουργίας του συστήματος και για την επιβεβαίωση του καθαρισμού. Κατά τη διάρκεια της παρακολούθησης της λειτουργικής φάσης, μόλις το σύστημα βελτιστοποιηθεί, η συχνότητα και η ένταση της δειγματοληψίας μπορεί να μειωθεί [USACE 2002].

5.1 Παρακολούθηση της επιχειρησιακής φάσης

Μια σύντομη περιγραφή των κύριων παραμέτρων που είναι απαραίτητο να λαμβάνονται υπόψη κατά την παρακολούθηση ρουτίνας δίνεται παρακάτω.

5.1.1 Χημικές παράμετροι

- Η χημική παρακολούθηση των αερίων του εδάφους είναι απαραίτητη για την αξιολόγηση της αποτελεσματικότητας της διαδικασίας αποκατάστασης. Τα εδαφικά αέρια πρέπει να συλλέγονται από μεμονωμένα φρεάτια άντλησης και ανιχνευτές εδαφικών αερίων. Κατά τη φάση λειτουργίας χρησιμοποιούνται συχνά όργανα πεδίου, όπως ανιχνευτές φλόγας ή φωτο-ιονισμού, για συχνές ή συνεχείς μετρήσεις της συνολικής ποσότητας των Π.Ο.Ε.. Οι μετρήσεις που πραγματοποιούνται με τα προαναφερθέντα όργανα θα πρέπει να θεωρούνται ως μέθοδοι διαλογής, λόγω των μη ειδικών αποκρίσεων τους και των ακόλουθων άλλων περιορισμών [EPA 2001]:
 - Το υψηλό δυναμικό ιονισμού πολλών κοινών πτητικών οργανικών ενώσεων θα οδηγήσει σε μη ανίχνευση με τη χρήση συμβατικής λυχνίας PID.
 - Οι επιδράσεις της μήτρας αερίων, όπως η υγρασία, το διοξείδιο του άνθρακα και το αλκάνιο (ιδίως το μεθάνιο), ενδέχεται να μειώσουν την απόκριση PID. Ωστόσο, όταν η σχετική υγρασία είναι πολύ υψηλή, κοντά στο 100%, οι υδρατμοί μπορεί να συμπυκνωθούν στον αισθητήρα προκαλώντας ψευδώς θετική απόκριση. Το σήμα αυτό οφείλεται σε διαρροή ρεύματος μεταξύ των ηλεκτροδίων του αισθητήρα [RAE System 2013].
 - Η υψηλή περιεκτικότητα σε αλογόνα πολλών κοινών πτητικών οργανικών ενώσεων θα έχει ως αποτέλεσμα την υποεκτίμηση ή τη μη ανίχνευση των πτητικών οργανικών ενώσεων με τη χρήση FID.
- Οι μετρήσεις των Π.Ο.Ε. και του ρυθμού ροής στην εισροή του συστήματος ΑΕΑ, και ενδεχομένως σε μεμονωμένα φρεάτια άντλησης, θα πρέπει να χρησιμοποιούνται για τον υπολογισμό των ρυθμών μαζικής απομάκρυνσης των ρύπων από το ακόρεστο έδαφος.
- Οι συγκεντρώσεις των ρύπων μετρώνται συνήθως στην εισροή και την εκροή της επεξεργασίας των απαερίων (πριν και μετά τα δοχεία άνθρακα) για την αξιολόγηση της αποτελεσματικότητας του συστήματος ελέγχου των αέριων εκπομπών.
- Χημική παρακολούθηση των υπόγειων υδάτων: η αποκατάσταση στη ζώνη κατεισδύσεως δεν πρέπει να διεξάγεται ανεξάρτητα από τις συνθήκες των υπόγειων υδάτων. Το ακόρεστο έδαφος μπορεί, στην πραγματικότητα, να επαναμολυνθεί από την τριχοειδή δράση και τις διακυμάνσεις του υδροφόρου ορίζοντα. Οι συγκεντρώσεις των ρύπων στα υπόγεια ύδατα θα πρέπει επίσης να παρακολουθούνται για την αξιολόγηση της μαζικής μεταφοράς από την υδατική φάση στο εδαφικό αέριο.

5.1.2 Φυσικές παράμετροι

- Μέτρηση θερμοκρασίας εδάφους και ατμών: Τα δεδομένα θερμοκρασίας των ατμών μπορούν να βοηθήσουν στην αξιολόγηση της αποτελεσματικότητας του συστήματος ελέγχου των ατμών και να επιτρέψουν την κανονικοποίηση των δεδομένων των παροχών, όπως αναφέρεται παρακάτω. Οι θερμοκρασίες του εδάφους θα μπορούσαν να αποτελέσουν δείκτη των διεργασιών βιοαποικοδόμησης που λαμβάνουν χώρα στη ζώνη κατεισδύσεως.
- Σχετική υγρασία: Η περιεκτικότητα σε υγρασία μειώνει τον όγκο του χώρου των πόρων που συμβάλλει στη ροή των ρευστών. Ως εκ τούτου, ένα υψηλό επίπεδο υγρασίας μπορεί να μειώσει τη διαπερατότητα του αέρα και τη ροή αέρα μέσω της ζώνης κατεισδύσεως για τον ίδιο λόγο μπορεί να επηρεάσει τα αποτελέσματα της παρακολούθησης των εδαφικών αερίων. Επιπλέον, η σχετική υγρασία του εξαγόμενου αερίου μπορεί να μειωθεί για την προστασία του φυσητήρα και την προώθηση της αποτελεσματικότητας του συστήματος ελέγχου των εκπομπών ατμών (η προσροφητική ικανότητα του ενεργού άνθρακα μειώνεται σημαντικά όταν η σχετική υγρασία είναι μεγαλύτερη από 50%). Η σχετική υγρασία του ρεύματος ατμών μπορεί συνήθως να μειωθεί με τη χρήση ενός συστήματος θέρμανσης αέρα [USACE 2002]. Συχνά ο εγκατεστημένος φυσητήρας παρέχει την απαιτούμενη θερμότητα. Η θέρμανση του ρεύματος ατμού περιορίζεται από την υψηλότερη επιτρεπόμενη θερμοκρασία κατά τη χρήση ενεργού άνθρακα.
- Επίπεδα ύδατος: Θα πρέπει να παρακολουθούνται στην περιοχή του φρέατος (των φρεατίων) άντλησης για τον προσδιορισμό της ποσότητας ανύψωσης που εμφανίζεται ως αποτέλεσμα του εφαρμοζόμενου κενού. Είναι απαραίτητο να δίνεται ιδιαίτερη προσοχή στη διακύμανση της στάθμης του νερού, διότι θα μπορούσε να ενισχύσει τη μαζική μεταφορά των ρύπων μεταξύ στερεάς, υγρής και αέριας φάσης. Επιπλέον, η ανύψωση μπορεί να προκαλέσει περίσσεια υγρασίας στη ζώνη επεξεργασίας, μειώνοντας την απορροφητική ικανότητα των ενεργών ανθράκων. Το πρόβλημα αυτό μπορεί να μετριαστεί με τη βελτίωση του διαχωρισμού της υγρασίας και/ή την ενεργή άντληση υπόγειων υδάτων για την επιτόπια αντιμετώπιση της ανύψωσης [USACE 2002].
- Μέτρηση της παροχής: τα δεδομένα της παροχής από κάθε φρεάτιο, σε συνδυασμό με το αντίστοιχο εφαρμοζόμενο κενό, μπορούν να παρέχουν πληροφορίες σχετικά με τη διαπερατότητα του αέρα της ζώνης κατείσδυσης. Συνιστάται η κανονικοποίηση των ρυθμών ροής σε μια πρότυπη θερμοκρασία και πίεση, έτσι ώστε τα δεδομένα που συλλέγονται σε διαφορετικές έρευνες να μπορούν εύκολα να συγκριθούν.
- Μέτρηση κενού/πίεσης: η μέτρηση του παρατηρούμενου κενού σε διαφορετικές θέσεις και βάθη παρέχει ενδείξεις για τις διαδρομές ροής του αέρα. Οι διαβαθμίσεις της πίεσης που προσδιορίζονται από τις μετρήσεις κενού θα πρέπει να συνδυάζονται με εκτιμήσεις της οριζόντιας και κατακόρυφης αγωγιμότητας του αέρα για την εκτίμηση των χρόνων διαδρομής ή της ταχύτητας [Truex 2013].

5.1.3 Μετεωρολογία

Τα μετεωρολογικά δεδομένα (π.χ. βροχόπτωση, βαρομετρική πίεση, θερμοκρασία περιβάλλοντος) θα πρέπει να καταγράφονται και να λαμβάνονται υπόψη για τη σωστή αξιολόγηση των αποτελεσμάτων της παρακολούθησης.

- Κατακρημνίσεις: οι βροχοπτώσεις, που περιορίζουν τη μεταφορά πτητικών ρύπων στο ακόρεστο έδαφος, μπορούν να έχουν σημαντική επίδραση στην απόδοση των ΑΕΑ/BV και στα αποτελέσματα της παρακολούθησης των εδαφικών αερίων. Ως εκ τούτου, η δειγματοληψία εδαφικών αερίων δεν θα πρέπει να πραγματοποιείται μετά από ένα σημαντικό γεγονός βροχής (1/2 ίντσα ή μεγαλύτερη

βροχόπτωση κατά τη διάρκεια μιας 24ωρης περιόδου). Η περίοδος αναμονής θα πρέπει να βασίζεται στις καμπύλες αποστράγγισης του εδάφους [CaIEPA 2015].

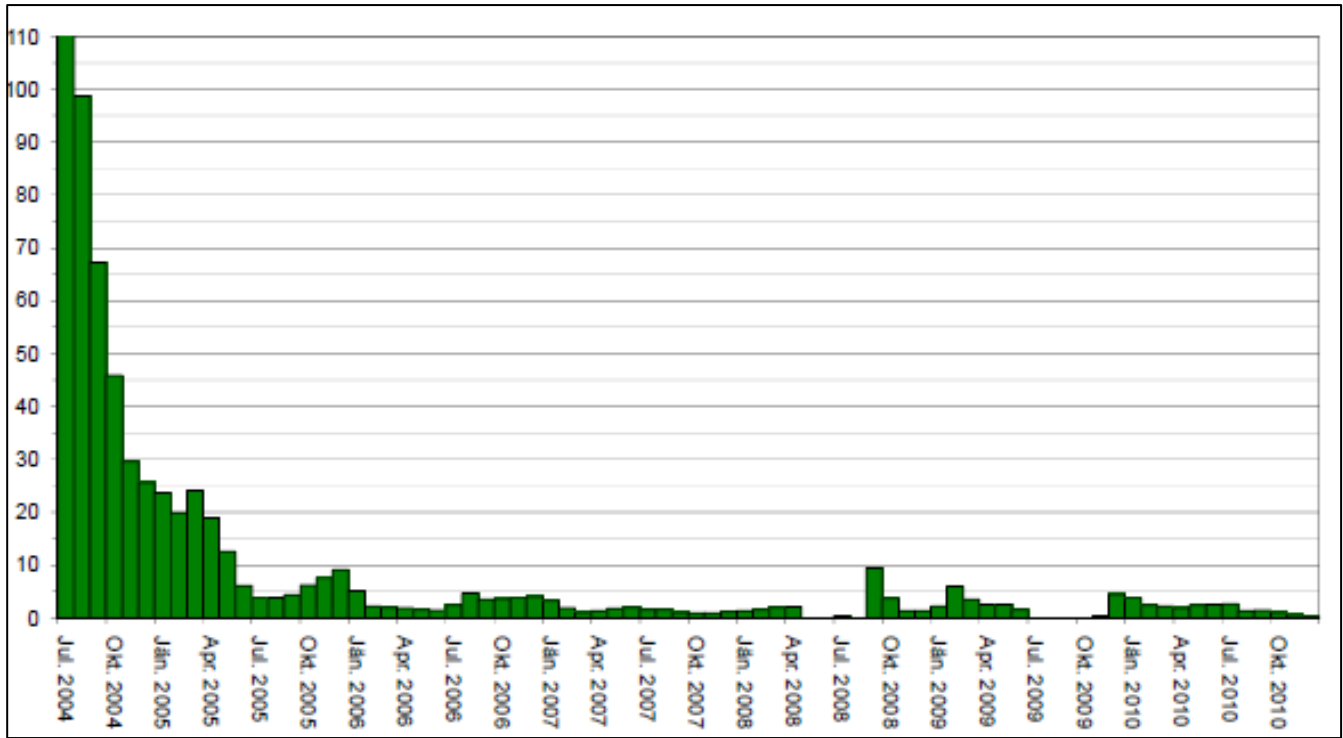
- Βαρομετρική πίεση: Οι διακυμάνσεις της ατμοσφαιρικής πίεσης προκαλούν κίνηση αερίων μεταξύ της ατμόσφαιρας και του υπεδάφους. Η κίνηση αερίου στην ακόρεστη ζώνη που προκαλείται από τις φυσικές διακυμάνσεις της ατμοσφαιρικής πίεσης αναφέρεται ως βαρομετρική άντληση. Όταν η ατμοσφαιρική πίεση πέφτει, τα αέρια έλκονται προς τα πάνω από το υπέδαφος προς την ατμόσφαιρα. Αντίθετα, όταν η ατμοσφαιρική πίεση αυξάνεται, ο φρέσκος αέρας ωθείται προς τα κάτω στο υπέδαφος [Kuang 2013]. Η επίδραση των διακυμάνσεων της βαρομετρικής πίεσης στη μεταφορά ατμοσφαιρικών αερίων μπορεί να είναι πιο εμφανής κατά τη διάρκεια περιόδων διακοπής λειτουργίας.

5.2 Επιβεβαίωση του καθαρισμού και του τερματισμού λειτουργίας του συστήματος

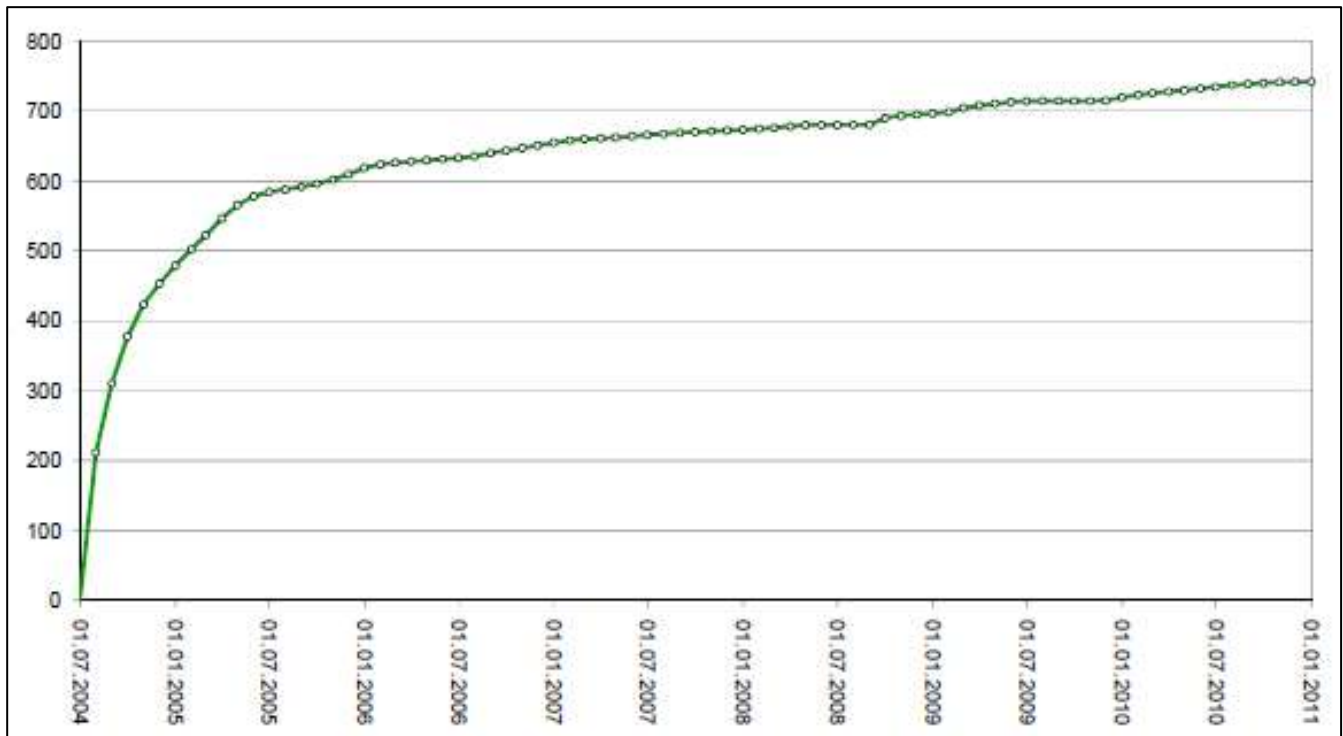
Ο στόχος της διαδικασίας αποκατάστασης είναι, γενικά, η επίτευξη προκαθορισμένων προτύπων ποιότητας για διάφορες περιβαλλοντικές μήτρες. Τα τελικά κριτήρια διακοπής λειτουργίας ενός συστήματος ΑΕΑ βασίζονται συνήθως στην επίτευξη ενός ρυθμιστικού προτύπου συγκέντρωσης στο έδαφος ή ενός προτύπου συγκέντρωσης στο έδαφος βάσει κινδύνου. Ωστόσο, η δειγματοληψία εδάφους είναι δαπανηρή και δυνητικά ενοχλητική, επιπλέον η ακριβής παρακολούθηση της υπολειμματικής ρύπανσης απαιτεί την ανάλυση μεγάλου αριθμού δειγμάτων, επειδή το έδαφος, ως μη αναμεμιγμένο μέσο, είναι ετερογενές [USACE 2002]. Ως εκ τούτου, πριν από την έναρξη μιας μεγάλης κλίμακας έρευνας δειγματοληψίας εδάφους εξετάζονται/παρακολουθούνται άλλες παράμετροι (γραμμές αποδείξεων) για την αξιολόγηση της προόδου της αποκατάστασης και για να εκτιμηθεί κατά πόσον οι στόχοι αποκατάστασης είναι πιθανό να έχουν επιτευχθεί.

5.2.1 Πιθανές γραμμές αποδεικτικών στοιχείων που πρέπει να ληφθούν υπόψη για την επιβεβαίωση του καθαρισμού

- Δειγματοληψία εδάφους: δαπανηρή και αποδιοργανωτική. Η χρήση της δειγματοληψίας εδάφους για την επιβεβαίωση του καθαρισμού και τη διακοπή λειτουργίας του συστήματος πρέπει να λαμβάνει προσεκτικά υπόψη την ετερογενή κατανομή των συγκεντρώσεων στο έδαφος σε μια τοποθεσία και τις αβεβαιότητες που συνδέονται με τη δειγματοληψία εδάφους για πτητικές οργανικές ενώσεις [USACE 2002].
- Τάση συγκέντρωσης των εξαγόμενων ατμών: Η συγκέντρωση των πτητικών οργανικών ενώσεων στα φρεάτια άντλησης μπορεί να παρέχει ένα μέτρο της μάζας των ρύπων που απομακρύνθηκαν και μια ένδειξη της προόδου της αποκατάστασης. Συνήθως, μετά από μερικούς μήνες λειτουργίας η τάση των δεδομένων παρουσιάζει ταχεία μείωση, μετά από την οποία οι συγκεντρώσεις προσεγγίζουν ασυμπτωτικά επίπεδα (βλ. Εικ. 5.1 και Εικ. 5.2). Σε πολλές περιπτώσεις, η επίτευξη ασυμπτωτικής κατάστασης θεωρείται καθοριστική για τον καθορισμό των ορίων απόδοσης της τεχνολογίας και το κλείσιμο των συστημάτων εξαερισμού. Ωστόσο, η παρατήρηση χαμηλών ασυμπτωτικών συγκεντρώσεων ατμών στο αέριο εκροής αποτελεί αναγκαία αλλά όχι επαρκή συνθήκη για να καταδειχθεί η πρόοδος στην μαζική απομάκρυνση από ρυπασμένα εδάφη. Μια ασυμπτωτική τιμή εκροής μπορεί, στην πραγματικότητα, να σχετίζεται με το σχεδιασμό του εξαερισμού (π.χ. απόσταση φρεατίων) ή τις συνθήκες λειτουργίας (π.χ. ρυθμός ροής) χωριστά ή επιπρόσθετα της μεταφοράς αερίων περιορισμένου ρυθμού [EPA 2001].



Εικόνα 5.1 - Τάσεις στη μαζική απομάκρυνση ρύπων (ΑΕΑ): kg PCB/ημέρα



Εικόνα 5.2 - Τάσεις στη μαζική απομάκρυνση ρύπων (ΑΕΑ): kg PCE (συνολικά με την πάροδο του χρόνου)

- Η άντληση ατμών είναι πιο αποτελεσματική σε τμήματα του εδάφους κοντά ή μεταξύ των φρεατίων που ξεπλένονται καλά, επομένως οι συγκεντρώσεις των πτητικών οργανικών ενώσεων μπορεί να φτάσουν σε πολύ χαμηλά ασυμπτωτικά επίπεδα, ενώ μια σημαντική ποσότητα μάζας ρύπων παραμένει στο έδαφος, ιδίως κοντά στις ζώνες στασιμότητας.
- Η επίτευξη ασυμπτωτικών επιπέδων συγκέντρωσης στους εξαγόμενους ατμούς μπορεί επιπλέον να υποδηλώνει ότι η μεταφορά μάζας με περιορισμένο ρυθμό λαμβάνει χώρα κατά την εξαέρωση του εδάφους. Εάν οι ρυθμοί άντλησης αέρα υπερβαίνουν τον ρυθμό διάχυτης μεταφοράς μάζας μεταξύ των φάσεων (στερεών, υγρών και αερίων) στην ακόρεστη ζώνη, οι συγκεντρώσεις των ρύπων στους εξαγόμενους ατμούς μπορεί να μειωθούν χωρίς να απομακρυνθεί όλη η μάζα του ρύπου από το έδαφος και το νερό των πόρων [USACE 2002].
- Παρακολούθηση εδαφικών αερίων: τα δείγματα εδαφικών αερίων είναι λιγότερο δαπανηρά για τη συλλογή τους και, δεδομένου ότι ο αέρας είναι ένα μικτό μέσο, αντιπροσωπεύουν γενικά πιο ολοκληρωμένα (δηλαδή από μεγαλύτερη περιοχή) δεδομένα. Ως εκ τούτου, η παρακολούθηση των πτητικών οργανικών ενώσεων σε ανιχνευτές εδαφικών αερίων είναι πιθανώς μια πιο αποτελεσματική και αποδοτική μέθοδος για την αξιολόγηση της προόδου της αποκατάστασης από εκείνες που περιγράφηκαν προηγουμένως στα σημεία α) και β). Η δειγματοληψία εδαφικών αερίων θα πρέπει ωστόσο να ακολουθεί μια τυποποιημένη διαδικασία που λαμβάνει υπόψη την επίδραση των συνθηκών πεδίου (π.χ. λιθολογία, υγρασία) και των παραμέτρων δειγματοληψίας (π.χ. ρυθμός ροής δειγματοληψίας, όγκος δειγματοληψίας) στα αποτελέσματα της παρακολούθησης. Οι ανιχνευτές εδαφικών αερίων θα πρέπει να εγκατασταθούν επίσης σε περιοχές μακριά από τα φρεάτια άντλησης, που είναι πιο δύσκολο να αποκατασταθούν, για την παρακολούθηση της υπολειμματικής ρύπανσης.
- Ανάκαμψη: κατά τη διάρκεια της φάσης λειτουργίας παρατηρείται γενικά μείωση των συγκεντρώσεων των πτητικών οργανικών ενώσεων στο έδαφος ως συνέπεια της μεταφοράς μάζας με περιορισμένο ρυθμό (φαινόμενο αποβάθμισης) και της αραίωσης με τον αέρα του περιβάλλοντος. Ως εκ τούτου, όταν το σύστημα ΑΕΑ απενεργοποιείται, οι συγκεντρώσεις των πτητικών οργανικών ενώσεων μπορεί να αυξηθούν λόγω διάχυσης μεταξύ των διαφόρων φάσεων και ζωνών του ακόρεστου εδάφους. Το φαινόμενο αυτό, που συνήθως περιγράφεται ως ανάκαμψη, μπορεί να θεωρηθεί αξιόπιστος δείκτης της αποτελεσματικότητας της επεξεργασίας. Η ελάχιστη ανάκαμψη ή η έλλειψη ανάκαμψης, ούτε σε στάσιμες ζώνες, μετά από κάποια περίοδο παύσης του συστήματος υποδεικνύει ότι η διαθέσιμη μάζα έχει πιθανώς απομακρυνθεί. Η χρονική περίοδος που απαιτείται για την επίτευξη ισορροπίας εξαρτάται από τον ρυθμό και τον τύπο του εδάφους. Τα αμμώδη εδάφη θα φθάσουν γενικά σε ισορροπία σε αρκετές εβδομάδες, ενώ για τα εδάφη με μεγάλη διαστρωμάτωση μπορεί να απαιτηθούν αρκετοί μήνες. Συνιστάται ετήσια δοκιμή ισορροπίας (επαναφοράς) [AFCEE 2001].

5.2.2 Προτεινόμενη διαδικασία δειγματοληψίας κατά τη διακοπή λειτουργίας

Τα κριτήρια τελικής διακοπής λειτουργίας ενός συστήματος ΑΕΑ βασίζονται συνήθως στην επίτευξη των καθιερωμένων προτύπων συγκέντρωσης στο έδαφος. Ωστόσο, όπως συζητήθηκε προηγουμένως, δεδομένου ότι η δειγματοληψία εδάφους είναι δαπανηρή και δυνητικά ενοχλητική, πριν από την έναρξη μιας μεγάλης κλίμακας έρευνας δειγματοληψίας εδάφους, παρακολουθούνται άλλες παράμετροι (γραμμές αποδείξεων) για να αξιολογηθεί εάν οι στόχοι αποκατάστασης είναι πιθανό να έχουν επιτευχθεί. Ως εκ τούτου, προτείνεται η ακόλουθη διαδικασία για την επιβεβαίωση της εξυγίανσης, η οποία βασίζεται σε μια διαδικασία επαλήθευσης τριών βημάτων.

- επίτευξη μιας στοχευόμενης συγκέντρωσης εδαφικών αερίων κατά τη διάρκεια της λειτουργικής φάσης,
- επίτευξη της στοχευόμενης συγκέντρωσης εδαφικών αερίων μετά από προσωρινή διακοπή λειτουργίας του συστήματος,
- σύγκριση των αποτελεσμάτων της δειγματοληψίας εδάφους με τα κριτήρια καθαρισμού.

6 ΣΥΜΠΕΡΑΣΜΑΤΑ

Η Άντληση Εδαφικού Αέρα (ΑΕΑ) είναι μια επι τόπια τεχνολογία, κατάλληλη για τη μείωση της συγκέντρωσης πτητικών ρύπων στην ακόρεστη ζώνη.

Η ΑΕΑ έχει γενικά αποδειχθεί ότι είναι αποτελεσματική για τις πτητικές οργανικές ενώσεις (Π.Ο.Ε.) και μπορεί να υποστηρίξει την αποκατάσταση των ημιπτητικών οργανικών ενώσεων (ΗΠ.Ο.Ε.). Σε συγκεκριμένα έργα, κατά την αποκατάσταση χώρων που έχουν ρυπανθεί από χλωριωμένους διαλύτες, όπως τα χλωροαιθυλένια (PCE και TCE), ή τα πτητικά προϊόντα πετρελαίου, όπως η βενζίνη, η ΑΕΑ εφαρμόζεται συχνά σε συνδυασμό με άλλες τεχνολογίες.

6.1 Αποτελεσματικότητα, πλεονεκτήματα και μειονεκτήματα

Οι βασικοί παράγοντες που καθορίζουν την αποτελεσματικότητα της ΑΕΑ είναι:

- διαπερατότητα εδάφους για αέρια (επηρεάζει την ποσότητα του αέρα και του ατμού που μπορεί να μετακινηθεί μέσω του εδάφους),
- η δομή και η διαστρωμάτωση του εδάφους (σημαντικές επειδή μπορούν να επηρεάσουν τους τρόπους ροής των ατμών στο έδαφος κατά τη διάρκεια της άντλησης),
- η υγρασία του εδάφους (μπορεί να περιορίσει τη ροή των αερίων μέσω των πόρων),
- βάθος του υδροφόρου ορίζοντα.

Τα κύρια πλεονεκτήματα είναι:

- Γνωστή αποτελεσματικότητα, εύκολα διαθέσιμα εργαλεία, απλή εγκατάσταση,
- Μικρή όχληση των δραστηριοτήτων του εργοταξίου: ο σχεδιασμός ενός συστήματος ΑΕΑ είναι αρκετά ευέλικτος ώστε να προσαρμόζεται σε οποιεσδήποτε χωρικές συνθήκες και δομημένα περιβάλλοντα, με ελάχιστα παρεμβατική και συγκριτικά προσαρμοστική κατασκευή,
- Σύντομοι χρόνοι επεξεργασίας (6 μήνες - 2 χρόνια σε βέλτιστες συνθήκες): οι χρόνοι επεξεργασίας εξαρτώνται σε μεγάλο βαθμό από τις χωρικές συνθήκες, συνεπώς σε σύγκριση με άλλες τεχνολογίες είναι σχετικά σύντομη, ενώ συνήθως μπορεί να διαρκέσει από μερικούς μήνες έως μερικά χρόνια, με αποτελεσματική απομάκρυνση μάζας έως και 90% για τις πολύ πτητικές ενώσεις και περίπου 30-40% για τις ημιπτητικές ενώσεις,
- Εύκολη στη λειτουργία, σχετικά φθηνή και οικονομικά αποδοτική σε σύγκριση με άλλες τεχνολογίες που είναι κατάλληλες για την αποκατάσταση πτητικών ρύπων (ανταγωνιστικό κόστος: περίπου 15-60 ευρώ/τόνο ρυπασμένου εδάφους),
- Εφαρμόζεται σε περιοχές με ελεύθερα προϊόντα, μπορεί να συνδυαστεί με άλλες τεχνολογίες. Το κενό που προκαλείται στα στρώματα του εδάφους ελέγχει και την υπόγεια μετανάστευση των ατμών, και προστατεύει τα κτίρια καθώς και τις υπόγειες υποδομές από την εισχώρηση εύφλεκτων ή τοξικών πτητικών ρύπων.

Οι κύριοι περιορισμοί είναι:

- Δύσκολο να επιτευχθεί μείωση της συγκέντρωσης πάνω από 90%,
- Χαμηλή αποτελεσματικότητα σε περιοχές με χαμηλή διαπερατότητα ή ετερογενώς στρωματοποιημένα εδάφη.

6.2 Λειτουργικός έλεγχος για την εφαρμογή ΑΕΑ

Μεταξύ των κύριων προκαταρκτικών ελέγχων που πρέπει να διενεργούνται για την αξιολόγηση της δυνατότητας εφαρμογής της τεχνολογίας, πρέπει να έχουν καθοριστεί τα γεωμετρικά, λιθολογικά και υδρογεωλογικά χαρακτηριστικά του ακόρεστου μέσου και να έχει εκτιμηθεί τυχόν αύξηση ή μείωση του υδροφόρου ορίζοντα. Κατά την εξέταση μιας τρισδιάστατης οριοθέτησης της ακόρεστης ζώνης προς επεξεργασία, είναι τέλος χρήσιμο να εκτιμηθεί η συνολική μάζα του/των ρύπου/ων που προκαλούν ανησυχία πριν από την αποκατάσταση, ώστε να είναι δυνατή η σύγκριση με τους ρυθμούς απομάκρυνσης μάζας, τις μεταβολές της απόδοσης με την πάροδο του χρόνου και τη συνολική απομάκρυνση μάζας κατά τον τερματισμό της εφαρμογής.

Μεταξύ των παραμέτρων που πρέπει να επαληθευτούν κατά τη διάρκεια της κατασκευής, οι κυριότερες είναι: η ακτίνα επιρροής (R) και η ακτίνα επεξεργασίας (ROT). Άλλες παράμετροι που πρέπει να ελεγχθούν και επηρεάζουν τη λειτουργία είναι: οι διακυμάνσεις της στάθμης των υπόγειων υδάτων, τα συστήματα εισαγωγής αέρα, η αποτελεσματικότητα με την πάροδο του χρόνου του συστήματος επεξεργασίας των αντλούμενων αερίων, πριν από την απελευθέρωσή τους στην ατμόσφαιρα. Το σύστημα πρέπει να ελέγχεται κατά τη διάρκεια της λειτουργίας του, ώστε να καθοριστεί και ο κατάλληλος χρόνος για τον τερματισμό της επεξεργασίας.

Στο τέλος της επέμβασης αποκατάστασης μέσω ΑΕΑ, είναι απαραίτητο να γίνουν κάποιοι έλεγχοι για να αξιολογηθεί το ενδεχόμενο κλείσιμο της αποκατάστασης. Για το σκοπό αυτό είναι απαραίτητο ο φορέας εκμετάλλευσης να αξιολογήσει μια σειρά πληροφοριών, και να υποβάλει στις Αρχές, έκθεση σχετικά με την περιβαλλοντική κατάσταση που διαπιστώθηκε μετά τις έρευνες που πραγματοποιήθηκαν, και στη συνέχεια να υποβάλει στις Αρχές όλα τα στοιχεία που είναι χρήσιμα για να διασταυρωθεί ότι η αποκατάσταση έχει επιτύχει τους στόχους της.

ΑΝΑΦΟΡΕΣ

Τα έγγραφα παρατίθενται με αλφαβητική σειρά ως εξής: [Συγγραφέας/ες, Έτος, Τίτλος, #]

- AFCEE, 2001. United States Air Force Environmental Restoration Program: Guidance on Soil Vapor Extraction Optimization. Air Force Center for Environmental Excellence, Brooks Air Force Base, Texas. Last accessed July 17, 2012, at <http://www.dtic.mil/docs/citations/ADA392205>;
- Air Sparging: Technology Transfer and Multi-Site Evaluation ESTCP Project ER-9808, freely downloadable at <https://www.serdp-estcp.org/content/download/3734/59418/file/ER-9808%20Design%20Paradigm.pdf>
- Analysis of Selected Enhancements for Soil Vapor Extraction, September 1997, EPA-542-R-97-007, consulted at <https://clu-in.org/download/remed/sveenhmt.pdf>
- Baker, R. S., and Wiseman, J. T. 1992. Importance of vadose zone monitoring during soil vapor extraction pilot studies. Proceedings: International Symposium on In Situ Treatment of Contaminated Soil and Water. Cincinnati, OH. February 3-6, 1992. Air and Waste Management Association, pp. 26-41.
- Ball, R., and Wolf, S. 1990. Design considerations for soil cleanup by soil vapor extraction. Environmental Progress. 9(3):187-90
- Breckenridge, R. P., Williams, J. R., and Keck, J. F. 1991. Characterizing Soils for Hazardous Waste Site Assessments. Ground-Water Issue, EPA/540/4-91/003, Office of Research and Development, Office of Solid Waste and Emergency Response.
- CalEPA, 2015: California Environmental Protection Agency, Advisory – Active Soil Gas Investigations, Department of Toxic Substances Control.
- Davies, S. H. 1989. The influence of soil characteristics on the sorption of organic vapors. The Workshop on Soil Vacuum Extraction. R.S. Kerr Environmental Research Laboratory, Ada, OK. April 27-28, 1989.
- DiGiulio, D.C., and R. Varahan. 2001a. Limitations of ROI testing for venting design: description of an alternative approach based on attainment of a critical pore-gas velocity in contaminated media. Ground Water Monitoring & Remediation 21(1): 97-114.
- Engineering Issue: Soil Vapor Extraction (SVE) Technology, February 2018, EPA/600/R-18/053, consulted at https://cfpub.epa.gov/si/si_public_file_download.cfm?p_download_id=538425&Lab=NRML.
- Farallon consulting, Final capital industries plant 4soil vapor extraction pilot study work plan freely downloadable at <https://www.farallonconsulting.com/wp-content/uploads/2020/09/2019-Final-SVE-Pilot-Study-WP.pdf>
- Freeze, R. A., and Cherry, J. A. 1979. Groundwater. Prentice Hall, Englewood Cliffs, NJ. 604 pp.
- FRTR Technology Screening Matrix: Thermal Treatment, March 2020, consulted at <https://frtr.gov/matrix2/section4/4-9.html>.
- Interim Final. Directive 9234.2-25, September 1993. OSWER. Washington, DC. 26 pp.
- Johnson, Jeffrey, DeWitt, Christopher B., Wolfe, Bryan, and Mark Garman. 1999. Moisture and Ammonia-Enhanced Bioventing in Arid Environments, abstract, in "Proceedings of the Fifth International Symposium on In-Situ and On-Site Bioremediation, San Diego, CA, April 19-22, 1999"
- Jury, W. A., Winer, A. M., Spencer, W. F., and Focht, D. D. 1987. Transport and transformations of organic chemicals in the soil-air-water ecosystem. Reviews of Environmental Contamination and Toxicology. 99:120-64.
- Kuang et al., 2013 Review on airflow in unsaturated zones induced by natural forcings. Water Resour. Res., 49 (2013), pp. 6137-6165
- Minnesota Pollution Control Agency Voluntary Investigation and Cleanup Design Criteria and Reporting Requirements Guidance Document #17 (Vapor Extraction, Air Sparging), freely downloadable at <https://www.pca.state.mn.us/sites/default/files/vic-gd17.pdf>
- PNNL. SVE System Operation, Transition, and Closure Guidance (2013)
- RAE System, 2013 The PID handbook. Theory and Applications of Direct-Reading Photoionization

Detectors, ISBN: 0-9768162-1-0

- Soares, A.A., Pinho, M.T., Albergaria, J.T. et al. Sequential Application of Soil Vapor Extraction and Bioremediation Processes for the Remediation of Ethylbenzene-Contaminated Soils. *Water Air Soil Pollut* 223, 2601–2609 (2012).
- Soil Vapor Extraction (SVE) treatment technology resource guide, September 1994, EPA/542-B-94-007, freely downloadable at https://www.epa.gov/sites/production/files/2015-08/documents/sve_tt_res_guide.pdf
- State of Florida, Soil Vapor Extraction Pilot Test Guidance <https://floridadep.gov/sites/default/files/BPSS12B-SVEGuidance.pdf>
- Suthersan, S. S. (1999). Soil vapour extraction. In *Remediation engineering: Design concepts* (pp. 27–88). Boca Raton: Lewis Publisher Inc.
- The SVE Pilot Test, consulted 16/03/2021 at <https://www.enviroequipment.com/blog/soil-vapor-extraction-sve-pilot-test>
- Truex, M. J., D. J. Becker, M. A. Simon, M. Oostrom, A. K. Rice, AND C. D. Johnson. *Soil Vapor Extraction System Optimization, Transition, and Closure Guidance*, PNNL-21843. U.S. Department of Energy, Washington, DC, 2013.
- USACE. 2002. *Engineering and Design: Soil Vapor Extraction and Bioventing*. EM 1110-1-4001, U.S. Army Corps of Engineers, Washington, D.C. Last accessed July 17, 2012, at http://publications.usace.army.mil/publications/eng-manuals/EM_1110-1-4001_sec/toc.htm
- USAF. *Guidance on Soil Vapor Extraction Optimization* (2001)
- US EPA. 2001. *Development of Recommendations and Methods to Support Assessment of Soil Venting Performance and Closure*. EPA/600/R-01/070, U.S. Environmental Protection Agency, Washington, D.C.
- USEPA. 1991h. *Description and Sampling of Contaminated Soils, A Field Pocket Guide*. EPA 625/12-91/002, Center for Environmental Research Information, Cincinnati, OH.
- USEPA. 1989c. *Laboratory Investigation of Residual Liquid Organics from Spills, Leaks, and the Disposal of Hazardous Wastes in Groundwater*. EPA/600/6-90/004. New Mexico Institute of Mining and Technology, Socorro, NM.
- USEPA. 1993g. *Guidance for Evaluating the Technical Impracticability of Ground-Water Restoration*.



European Union Network for the Implementation
and Enforcement of Environmental Law

Annex 1

Soil Vapour Extraction – Case studies

IMPEL Project no. 2020/09



1. Contact details - CASE STUDY: SVE n.1

1.1 Name and Surname	Aline Jordens, Mathieu Petitjean, Hatem Saadaoui, Jan Haemers
1.2 Country/Jurisdiction	Belgium
1.3 Organisation	Haemers Technologies
1.4 Position	Innovation Engineer
1.5 Duties	R&D
1.6 Email address	innovation@haemers-tech.com
1.7 Phone number	+32 2 786 39 43



2. Site background

2.1 History of the site

The site is located in the military airbase of Biên Hòa, Dong Nai, Vietnam. During the US-Vietnam War (1955-1975), millions of litres of herbicides were dropped over Vietnam: The Rainbow agents. Those Rainbow Agents were sprayed throughout the Operation Ranch Hand to clear thick jungle, by defoliating crops and forest. Bien Hoa Airbase was a joint operating base for the South Vietnam Air Force and the United States Air Force. According to the U.S. Department of Defense, 98 000 barrels of Agent Orange, 45 000 barrels of Agent White and 16 000 barrels of Agent Blue were stored at Bien Hoa Airbase [1].

As a consequence, the Biên Hòa airbase is currently the largest dioxin hotspot in Vietnam [2].

Nowadays, it is estimated that between 408,500 and 495,300 m³ of dioxin-contaminated soil and sediment are present in the site [3]. This is almost 4 times the volume of the last airbase that underwent treatment (Danang).

More than four decades after the Vietnam War ended (in 1975), the stability and bioaccumulation of dioxins still affect the inhabitants. Measures had to be taken to improve living conditions for residents, starting with the remediation of dioxin contaminated soil. In 2018, at the request of the Government of Vietnam (GVN), the U.S. Government agreed to cooperate on dioxin remediation at Bien Hoa Airbase Area. Haemers Technologies was invited to perform a pilot remediation in the process of the technology selection for the full-scale project.

[1] DOD. 2007. Presentation made at the Second Agent Orange and Dioxin Remediation Workshop, Hanoi, Vietnam, June 18-19, 2007. Co-sponsored by U.S. Department of Defense and Vietnam Ministry of National Defense.

[2]: USAID, FACT SHEET: DIOXIN REMEDIATION AT BIEN HOA AIRBASE AREA, consulted 16/12/2020, <https://www.usaid.gov/vietnam/documents/fact-sheet-dioxin-remediation-bien-hoa-airbase-area>

[3] USAID. 2016. Environmental Assessment of dioxin contamination at Bien Hoa Airbase

2.2 Geological setting

There are mainly two types of soils that need to be remediated : low-humidity soil as well as high-humidity muds from swamp-like areas.





2.3 Contaminants of concern

Agent Orange was proven to cause severe health issues, including birth defects, neurological problems and cancers. Agent Orange is a mixture of 2,4-dichlorophenoxyacetic acid and 2,4,5-trichlorophenoxyacetic. Traces of dioxins were also found in some Agents. Indeed, dioxin 2,3,7,8-Tetrachlorodibenzo-p-dioxin (2,3,7,8-TCDD) can be formed by condensation of 2,4,5-trichlorophenol during 2,4,5-trichlorophenoxyacetic synthesis.

Hereafter is shown the breakdown of a sample taken from the site (Contaminated sample column). The “treated sample” column refers to the sample after a lab test. The increase in secondary contaminants after treatment is most likely due to the sample heterogeneity.



	<i>Contaminated sample</i>	<i>Treated sample</i>	<i>Unit</i>
Dry matter	94,9	99,7	% (dry matter mass)
2,3,7,8-Tétra CDD	2800	630	ng/kg DM
1,2,3,7,8-PentaCDD	14	84	ng/kg DM
1,2,3,7,8,9-Hexa CDD	13	27	ng/kg DM
1,2,3,6,7,8-HexaCDD	20	42	ng/kg DM
1,2,3,4,7,8 -Hexa CDD	3,5	7,5	ng/kg DM
1,2,3,4,7,8,9-Hepta CDD	99	46	ng/kg DM
Octa CDD	450	200	ng/kg DM
1,2,3,7,8 Penta CDF	1,7	3,2	ng/kg DM
2,3,4,7,8-Penta CDF	1,2	2,8	ng/kg DM
2,3,7,8-Tétra CDF	75	28	ng/kg DM
1,2,3,7,8,9 - Hexa CDF	<1,0	<1,0	ng/kg DM
2,3,4,6,7,8 - Hexa CDF	2,3	1,9	ng/kg DM
1,2,3,4,7,8 Hexa CDF	1,5	2,0	ng/kg DM
1,2,3,6,7,8 Hexa CDF	<1,0	1,4	ng/kg DM
1,2,3,4,7,8,9 -Hepta CDF	<5,0	<5,0	ng/kg DM
1,2,3,4,6,7,8 -Hepta CDF	9,4	<5,0	ng/kg DM
Octa CDF	<10	<10	ng/kg DM
I-TEQ-PCDD/F-OTAN/CCMS (lower limit)	2820 ⁴	685	ng/kg DM
I-TEQ-PCDD/F-OMS 1998 (lower limit)	2830 ⁴	727	ng/kg DM
I-TEQ-PCDD/F-OMS 2005 (lower limit)	2830 ⁴	726	ng/kg DM
I-TEQ-PCDD/F-OTAN/CCMS (upper limit)	2820 ⁵	685	ng/kg DM
I-TEQ-PCDD/F-OMS 1998 (upper limit)	2830 ⁵	727	ng/kg DM
I-TEQ-PCDD/F-OMS 2005 (upper limit)	2830 ⁵	727	ng/kg DM



2.4 Regulatory framework

Haemers Technologies was invited by the Vietnam Government to perform a pilot project in the context of the technology selection for the Bien Hoa airbase remediation led by USAID and GVN.

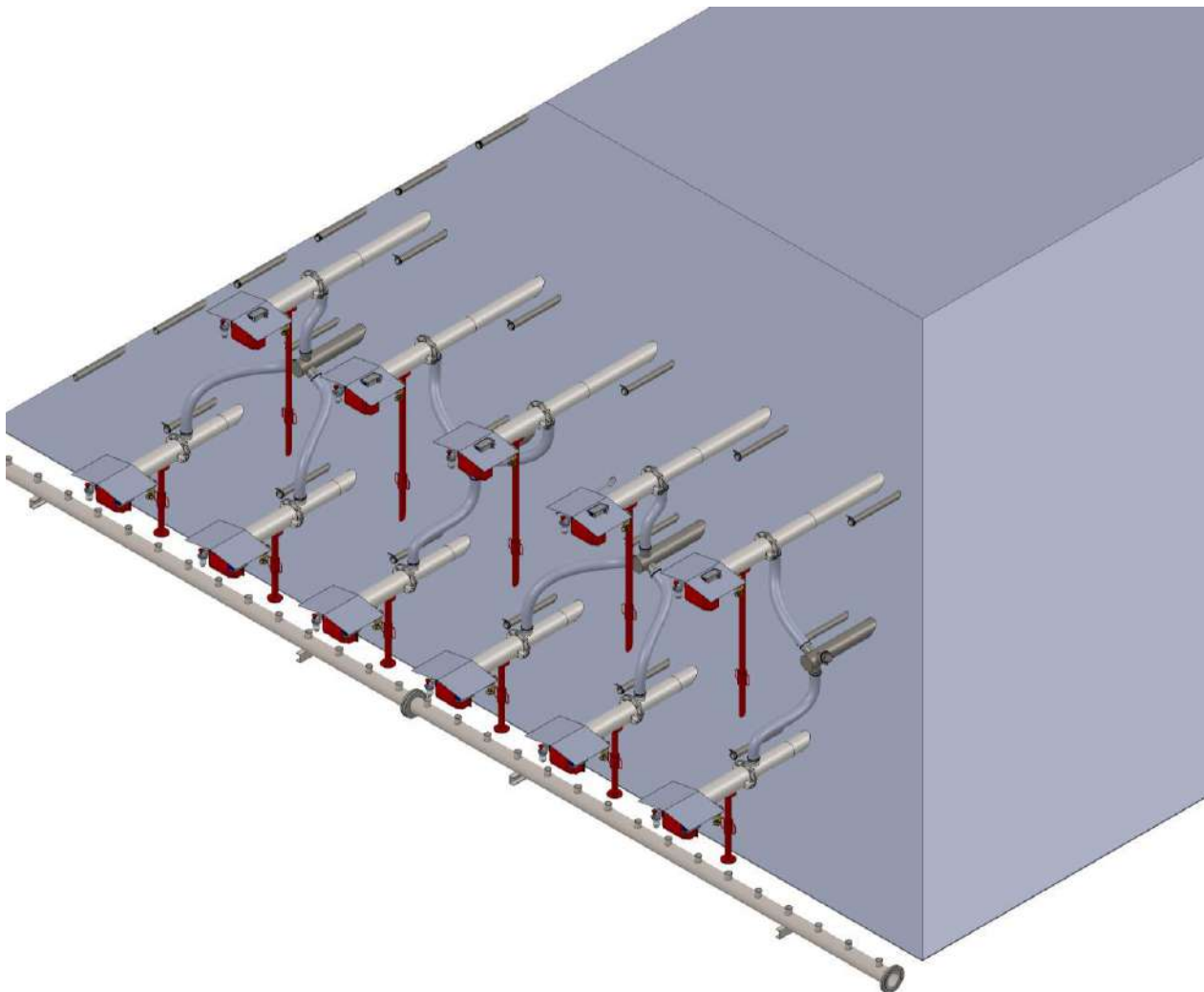
The soil concentration limits after treatment have been defined as following:

- Industrial use: 1,200 ppt
- Urban area: 300 ppt
- Sediment: 150 ppt

3. Pilot-scale application in field

3.1 Extraction system

The treatment proposed by Haemers Technologies is a thermopile (ex-site thermal treatment). The thermopile is a small pilot-scale pile of 500 tons (11m x 14m at its base). In a thermopile, the soil is heated by conduction until it reaches the temperature of volatilization of the pollutants (a process known as thermal desorption). The vapours are then extracted to be treated. In the pile are installed 15 heating tubes and 13 exchanger tubes that transfer thermal energy to the soil. The vapours are extracted by 15 perforated tubes that are connected to a 15 kW blower in order to generate a low but constant depression sucking the gasses out. The typical depression generated is in the order of -0.2 mbar.





3.2 Injection system

In thermal desorption treatment, there is no injection system. The gases are generated when the contaminants and the water are vaporized due to the thermal energy transfer.

3.3 Radius of influence

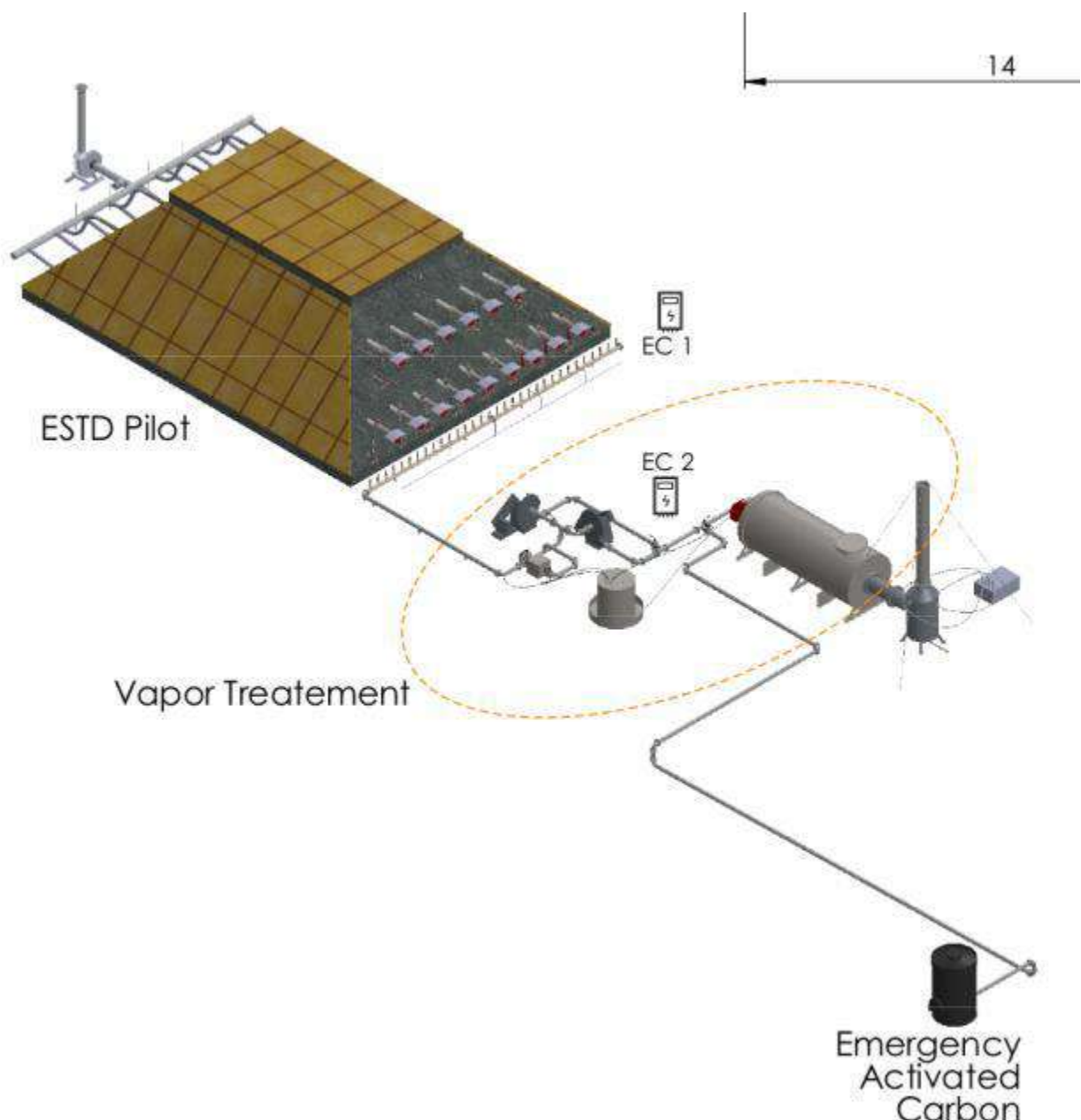
The treatment is effective on the whole pile. Lab tests have shown that if the soil reaches 350°C and that the temperature is maintained for at least 5 days, the target treatment concentrations are met.

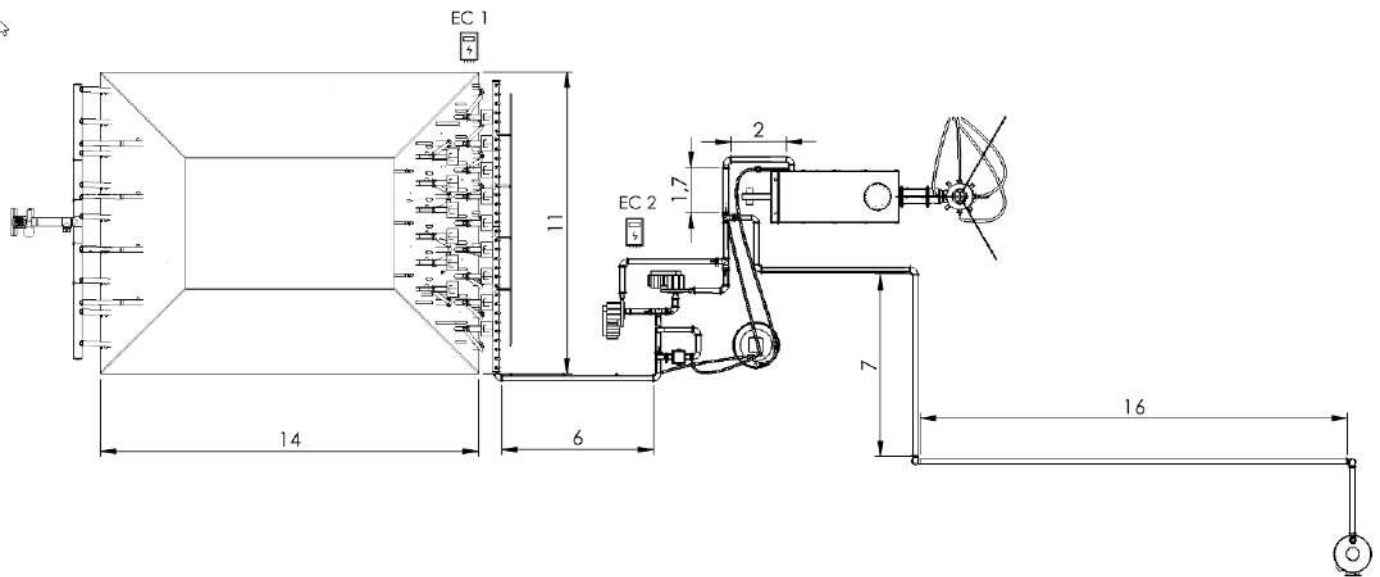
The main factor of influence is the interdistance between heating wells in the pile, but they only affect the **heating time**, i.e. the time needed to reach 350°C. The treatment effectiveness is unchanged.

In this case, the soil vapour extraction wells are approx 1.2m apart. This short range is not the actual radius of influence of each well, as this radius varies in the course of the treatment. As temperature increases, soil is drying out, affecting the permeability to vapours. Therefore, the actual radius of influence of each pipe is likely much larger than 1.2m, even if the applied negative pressure is very low (in the order of 0.2mbar). E The high density of soil vapour extraction wells is commanded by the necessity to collect all vapours despite the low negative pressure and avoid fugitive emissions.

3.4 Off gas Treatment

The contaminated vapours are sucked from the pile and transit through the Vapor Treatment Unit (VTU). Contrary the approach taken by USAID at Danang which used activated carbon, Haemers Technologies uses a Thermal Oxidizer in order not to leave any waste requiring further treatment.





Before entering the Thermal Oxidizer, the vapours may circulate through an Arsenic filter if needed.

The vapours are then directly incinerated in order to destroy all PCDD and PCDF's. Proper oxidation guarantees compliant air emissions. It has to be noted that condensation will certainly happen along the network. To reduce liquid formation, the network is thermally insulated. Nevertheless, the liquid formed can be reinjected in the Thermal Oxidizer. To reach a destruction rate efficiency over 99,99%, the following criteria must be fulfilled in the oxidation chamber [4][5]:

1. Temperature of minimum 1100°C (preferably 1200°C)
2. Oxygen content of min 6% (preferably 10%)
3. Residence time of minimum 1 second (preferably 2 seconds)
4. High Turbulence ($Re \gg 2500$).

It is well known that dioxin compounds reformation can happen in the cooling phase, in a temperature range between 200°C and 500°C. Dioxins can be reformed in the presence of oxygen, chlorine (Cl_2) and hydrocarbons [6]. Other parameters such as presence of dust and/or presence of metals, can also promote the dioxins/furans formation. To avoid the reformation process, the vapours are directed towards a cooling quench tower to a temperature below 180°C before being released in the atmosphere.

In case of issue, a back-up activated carbon tank is also present.

[4] Gao, Y. &. (2015). Assessment of Reynolds Averaged Navier–Stokes Modeling of Scalar Dissipation Rate Transport in Turbulent Oblique Premixed Flames. *Combustion Science and Technology*, 18

[5] Jacob E. Temme, T. M. (2015). Measurements of Premixed Turbulent Combustion Regimes of High Reynolds Number Flames. 53rd AIAA Aerospace Sciences Meetin (p. 21). Kissimmee, Florida : AIAA SciTech Forum.

[6] Buekens, A. (2001). Dioxins from thermal and metallurgical processes: recent studies for the iron and steel industry,. *Chemosphere* 42, 729-735.



3.5 Control parameters

Of course, the dioxin content in the soil is analyzed before and after treatment to assess the treatment effectiveness. However, thermal desorption has already been implemented at the Danang airport and has been proved to be effective against dioxin contamination.

The parameters that are continuously monitored during the treatment are the following:

- The temperature at the coldest points in the thermopiles
- The emissions at all chimneys to guarantee regulatory compliance
- The depression in the pile to ensure proper extraction
- The temperature in the Thermal Oxidizer
- The oxygen content in the Thermal Oxidizer
- The temperature of gases at the quench tower output to avoid dioxin reformation

4. Full-scale application

The pilot project was interrupted by the Covid-19 pandemic and the full-scale application has not started yet.

5. Enhancements to SVE

5.2 Any other enhancement

The Thermal Oxidizer in combination with a heat exchanger can be used to improve the overall thermal efficiency of the thermal desorption process by recovering energy and preheating the combustion air and the vapours themselves.

6. Post treatment and/or Long Term Monitoring

6.1 Post treatment and/or Long Term Monitoring

Post treatment monitoring consists of soil analysis.

Monitoring is based on the extracted vapours as well as temperatures inside the soil.



7. Additional information

7.1 Lesson learnt

The biggest hurdle in this project was the heavy burden of procedures and authorizations required to perform the actual projects, due to the high sensitivity of the site with respect to its danger and history, as well as the military control over all operations.

7.2 Additional information

Even if the project is not finished, it has already been established that thermal desorption is effective against dioxin contamination. The addition of a Thermal Oxidizer improves the Danag process, given that:

- Soil is indeed treated according to standards
- The exhaust gas after thermal oxidation are compliant (no reformation of dioxin)
- No solid nor liquid waste is generated, not needed further off-site disposal

7.3 Training need

Training needs are specific both the heating and extraction system, as well as to the Health and Safety measures to be taken on site.

Additional communication is required given the nature of the contaminants in order to fully inform operators and local community about the safety of the process for their own health.

Glossary of Terms

Term (alphabetical order)	Definition
VTU Vapor Treatment Unit	VTU Vapor Treatment Unit
ppt	part-per-thousand

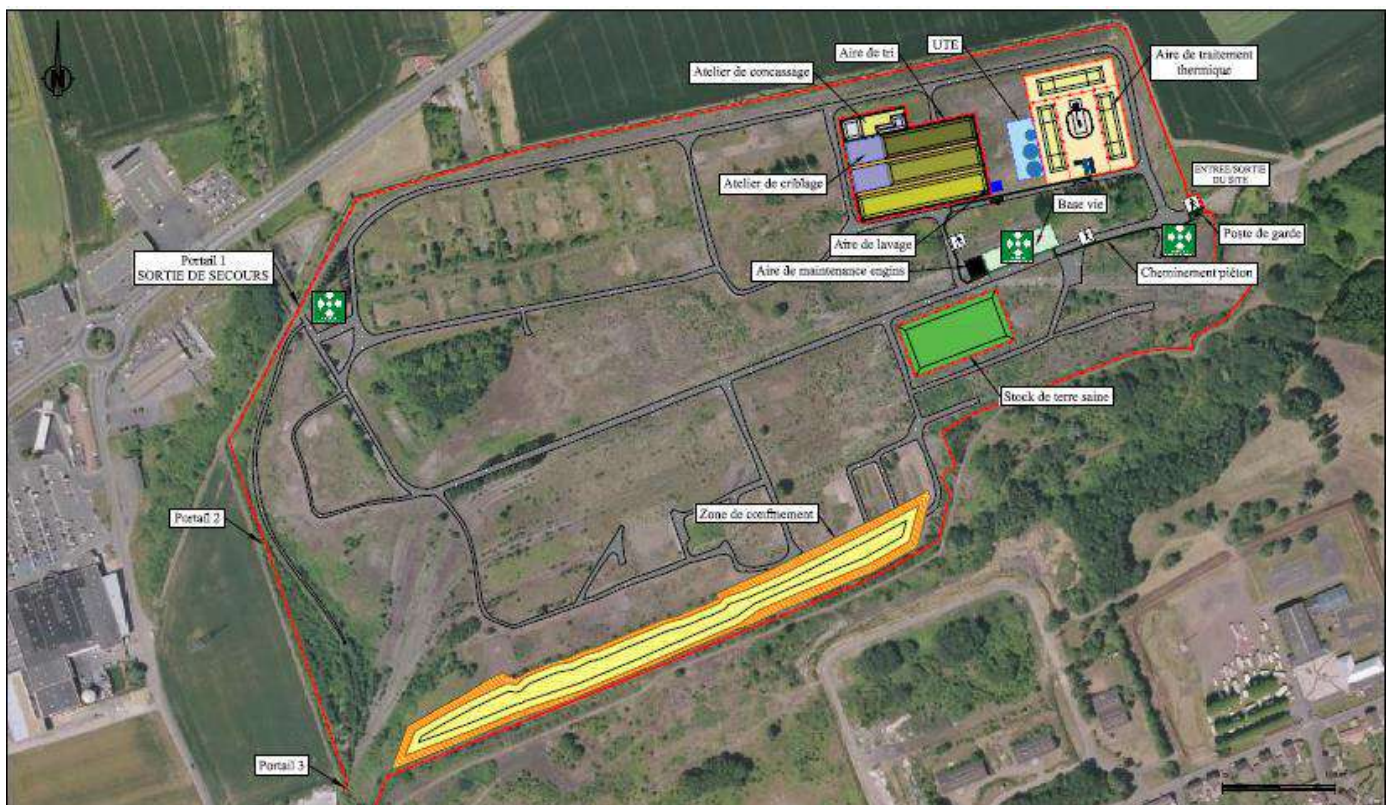
1. Contact details - CASE STUDY: SVE n.2

1.1 Name and Surname	Jean Rhone, Mathieu Petitjean, Alain Duchene, Hatem Saadaoui, Jan Haemers
1.2 Country/Jurisdiction	Belgium
1.3 Organisation	Haemers Technologies
1.4 Position	Innovation Engineer
1.5 Duties	R&D
1.6 Email address	innovation@haemers-tech.com
1.7 Phone number	+32 2 786 39 43

2. Site background

2.1 History of the site

The site is located in the North of France. It used to be a manufacturing site producing different chemicals, acids and catalysers. Many soil and water investigations were carried out from 1998 to 2015. They showed a presence of impacts of many pollutants in multiple spots of the 0.32 km². The results of those analyses were not different from classic industrial pollution and the main pollutants found were hydrocarbons, BTEX, PAH and heavy metals. The site is located next to agricultural fields and the soil is mainly made of backfills and loam. Once the analyses confirmed the concentrated polluted spots, a “Plan de Gestion” (remediation plan) was drafted, leading to various site uses and different remediation target concentrations.





2.2 Geological setting

The whole site covers about 34 hectares. It is located between a commercial area and an agricultural area. Indeed, agricultural fields are present at North and East of the site. The main issue with high concentrated spots on a large area is the difficulty to treat all the spots onsite and therefore an Ex-Situ Thermal Desorption (ESTD) was selected. Soils with hydrocarbons concentrations higher than the remediation target were excavated and stored in a single location and eventually erected in several polluted soil piles.

Item	Value	Units
Average Soil Density	1.8	kg/m ³
Average Porosity	0,3	V_v/V_T
Moisture Content	0,24	$\frac{W_{water}}{W_{soil}}$

The thermal treatment area is isolated from groundwater with a waterproof geotextile placed at a depth of 0.4 m. The site's topography was designed to have no accumulation of rainwater in the area. Slight slopes were designed and a rainwater collecting system was constructed to send the rainwater to the water treatment plant.



2.3 Contaminants of concern

The contaminants are the COCs identified hereafter:

Contaminant Type	Number of samples	Average concentration (mg/kg DM)	Targets (mg/kg DM)	
C ₅ -C ₁₀			Clay/loam	250
			Backfill	100
C ₅ -C ₄₀	218	4145,5	Clay/loam	2000
			Backfill	1000
BTEX	218	1,16	Benzene	1,5
			Toluene	5
			Ethylbenzene	10
			Xylene	40
HAP	218	30,3	50	

Soils with hydrocarbons concentrations higher than the remediation target were excavated and stored in a single location and eventually erected in several polluted soil piles. The treatment area was chosen to be able to run 2 piles simultaneously, with a third one in mobilization/demobilization.

Because of the client's concern about Mercury (Hg) soil concentration, a classic ESTD treatment was chosen with the addition of an ad-hoc Vapor Treatment Unit situated at in the middle of the treatment area.

2.4 Regulatory framework

The site has been owned by different companies over the course of the last century. A prefectural order was issued in 2015 for the soil remediation in the context of a remediation plan (one commercial and activity area and one park and walking area). The owner issued Golder Associates to be the prime contractor. The contractor chosen by Golder Associates was Seché EcoService, which partnered with Haemers Technologies.

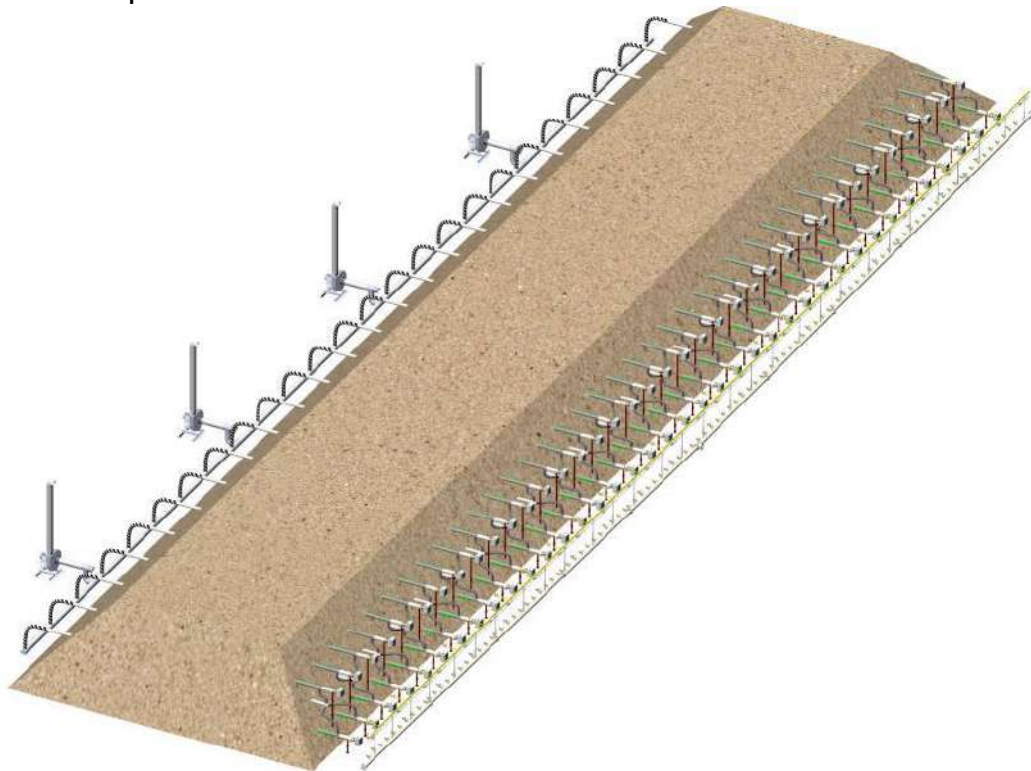
3. Pilot-scale application in field

No pilot-scale application was performed

4. Full-scale application

4.1 Extraction system

The treatment proposed by Haemers Technologies is a rotating thermopile (ex-situ thermal treatment). Each pile consists of 2000m³ of polluted soil. In the pile are installed 75 heating tubes and 25 exchanger tubes that transfer thermal energy to the soil. The vapours are extracted by perforated tubes that are connected to a blower in order to generate a low but constant depression sucking the gas out. The typical generated depression is in the order of -0.2 mbar.





4.2 Injection system

In thermal desorption treatment, there is no injection system. The gases are generated when the contaminants and the water are vaporized due to the thermal energy transfer.

4.3 Radius of influence

The treatment is effective on the whole pile. Lab tests have shown that if the soil reaches 200°C and that the temperature is maintained for at least 3 days, the target treatment concentrations are met.

The main factor of influence is the interdistance between heating wells in the pile, but they only affect the heating time, i.e. the time needed to reach 200°C. The treatment effectiveness is unchanged.

In this case, the soil vapour extraction wells are approx 1.5m apart. This short range is not the actual radius of influence of each well, as this radius varies in the course of the treatment. As temperature increases, soil is drying out, affecting the permeability to vapours. Therefore, the actual radius of influence of each pipe is likely much larger than 1.5m, even if the applied negative pressure is very low (in the order of 0.2mbar).

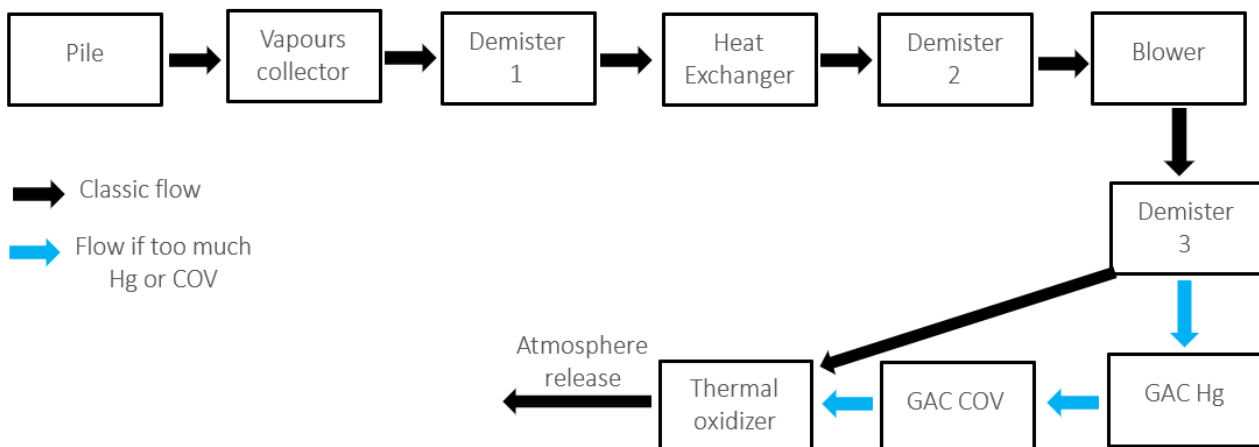
The high density of soil vapour extraction wells is commanded by the necessity to collect all vapours despite the low negative pressure and avoid fugitive emissions.

4.4 Off gas Treatment

The contaminated vapours are sucked from the pile and transit through the Vapor Treatment Unit (VTU). The VTU is able to handle the off gases of two simultaneous piles. This way, a rotating schedule was implemented where two piles are in treatment while the third is dismantled and the next one is built.

The VTU aims to treat the contaminant's vapours coming from the piles' treatment to stay within national environmental release norms. The VTU is composed of various elements designed to achieve the treatment. Most of the VTU's installation is focused on the contaminant's vapours suction and condensation. The other part is focused on direct treatment through adsorption or thermal oxidation.

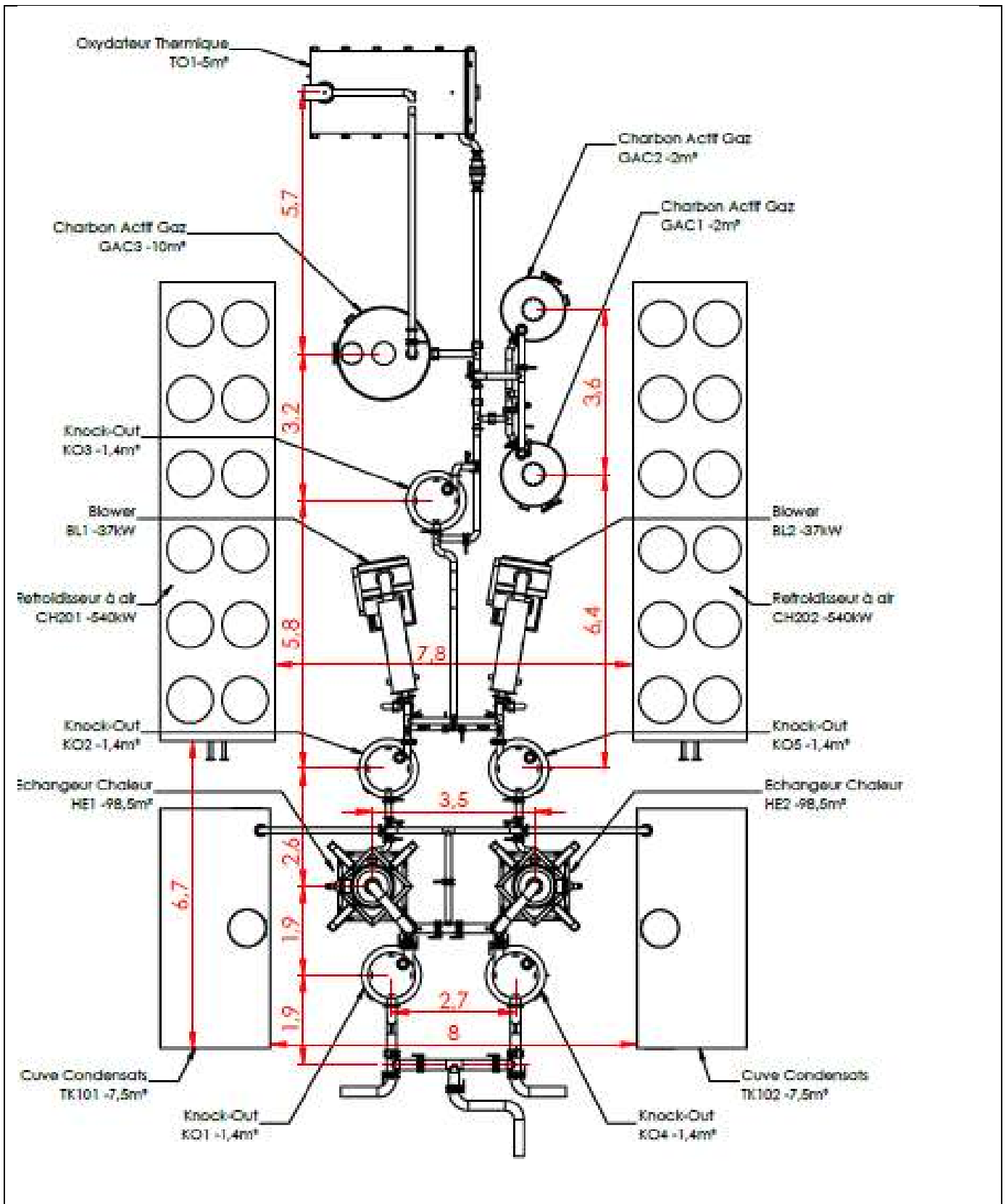
The following Figure presents the contaminated vapours flow from the Pile to the VTU.



The VTU consists of three demisters and a heat exchanger. The non-condensable vapours (mainly air and light hydrocarbons) are sent to a thermal oxidizer (operating at 820°C), with a residence time of 2 seconds. If high concentration of Mercury is detected, the vapours are routed to a sulphured Activated carbon filter.

The process is partly duplicated to be able to continue the thermal treatment during maintenance of each VTU element. A Programmable Logic Controller was used to automate the switch between the two line.

The next figure will show the duplicated VTU scheme.



Vapours collector

One 5'' vapour collector was built for each pile. It was made of 10 sections of 6 meters

each. Each collector has a low cant in order to collect the condensates. The collector is connected to an underground tank. Vapour flexible are connected to the collector as shown in the next picture.



The underground tank is connected to an 8" vapour collector that goes to the VTU as shown in the next picture.



Water collected on the underground tanks is sent to the condensate tanks.

Demisters

A demister equipment is made to remove liquid droplets from gases.

Condensates are collected at the bottom of the tank and sent to be treated by Seché ES. One demister is placed at the VTU entry in order to remove the droplets formed on the 8" collector. One is then placed after the heat exchanger to remove the droplets formed during the vapours' cooling. The final demister is placed after the blower. Indeed, pressure changes in the blower can also create droplets. The aim was to remove humidity before entering the thermal oxidizer.

Heat exchanger

Installation of one heat exchanger was mandatory for two main reasons: vapour cooling before the blower, water removal using condensation process. In a tubular exchanger, vapours pass through copper thin pipes and gets cool down by water passing between the pipes. Each of the heat exchanger has a 98.5 m² exchange surface. Water is then cooled down using a dry air cooler (540 kW). Glycol was added to the water to prevent freezing during winter. The next pictures show the heat exchanger and the dry air cooler.



Blower

The blower is the most important part of the VTU. Its aim is to depressurize the pile by vacuuming the air and the contaminated vapours. Each of the two blowers was designed to vacuum two piles simultaneously. Thus, each blower has a maximum flow capacity of 3,200 m³/h. They are set using one frequency regulator. The maximum acceptable temperature at the input is set to 80°C. The next picture shows one blower.



GAC Hg

Mercury traces were found in previous soil analysis. Exxon suggested Haemers Technologies to provide a solution in order to prevent any mercury atmospheric releases. Two sulphurous activated carbon tanks of 3 m³ and one Hg analyser (VM-3000) were added to the VTU. The aim was to analyse the vapours after the blower in order to know the mercury concentration. If the concentration was over the norms, an electrovalve redirected the vapour flow to the activated carbon. Another sampling point was placed after the activated carbon in order to assess the mercury removal. The chosen activated coal has an apparent density of 0.63 kg/l and a sulphur concentration of 13-16%. The following picture shows the mercury tanks.

GAC COV

Vapours should be treated through the thermal oxidizer. However, in case of thermal oxidizer breakdown, an activated coal tank of 10 m³ was added. In case of thermal oxidizer breakdown, the flow was redirected to this new tank. The outlet was connected to the thermal oxidizer's chimney. An activated coal with the following specifications was chosen: apparent density of 0.475 kg/l and US Standard Mesh granulometry of 4*8. It was chosen to remove COV from the vapours. The following picture shows the tank and its chimney connection.



Thermal oxidizer

The thermal oxidizer is the key equipment for the vapour treatment. Indeed, the other equipment (except for the GACs) were not chosen for the hydrocarbons removal but mainly to remove the water from the vapours for a better thermal oxidation. Its aim was to remove the pollutants from the vapours and to release clean gases. A residency time of minimum 2 seconds was calculated in order to have an efficient pollutants thermal oxidation. The thermal oxidizer is 5 m³ and has a 3 meters chimney. It is designed to resist to a maximal temperature of 1,000 °C. A 850 kW burner is connected to the thermal oxidation chamber and fuelled with gas. The burner power is regulated depending on the temperature inside the thermal oxidizer. The normal conditions to have the best pollutants removal efficiency were fixed from 780°C to 820°C. The next picture shows the thermal oxidizer.





4.5 Control parameters

The VTU operation is monitored by a Programmable Logic Controller (PLC). The following key data is monitored:

- Vapor temperatures at all steps of the process
- Pile depression to ensure proper aspiration of the vapours
- Pressure points at all steps of the VTU
- Mercury content after the blower
- Gas emissions at the Thermal Oxidizer chimney (COV, CO, NO_x, PM2.5, PM10, PCDD, HCl, HF, SO₂)

6. Post treatment and/or Long Term Monitoring

6.1 Post treatment and/or Long Term Monitoring

Post treatment monitoring consists of soil samples analysis.

7. Additional information

7.1 Lesson learnt

Special care needs to be taken when operating in countries where below-zero temperatures can be reached. In the case of this project, glycol needed to be mixed with water in the cooling sections.

- It can be beneficial to perform more advanced analysis than the ones provided by the end customer. In particular, the presence of acidic compounds is not relevant per se to the remediation but can damage the equipment.



7.2 Additional information

The success of remediation is determined by the compliant pollutants content in the soil after treatment as well as compliant emissions throughout the treatment.

Glossary of Terms

Term (alphabetical order)	Definition
VTU	Vapor Treatment Unit

1. Contact details - CASE STUDY: SVE n.3

1.1 Name and Surname	Luca Sacilotto
1.2 Country/Jurisdiction	Italy
1.3 Organisation	Ramboll Italy S.r.l.
1.4 Position	Senior Managing Consultant
1.5 Duties	Project management of contaminated sites and brownfield assessments for industries; development and implementation of complex remedial projects addressing a wide variety of contaminants in several hydrogeological settings.
1.6 Email address	lsacilotto@ramboll.com
1.7 Phone number	+39-3341319233



2. Site background

2.1 History of the site

The site extends over a surface of around 90,000 m², of which around 82,000 m² is paved or covered by buildings (buildings cover an area around 41,000 m²).

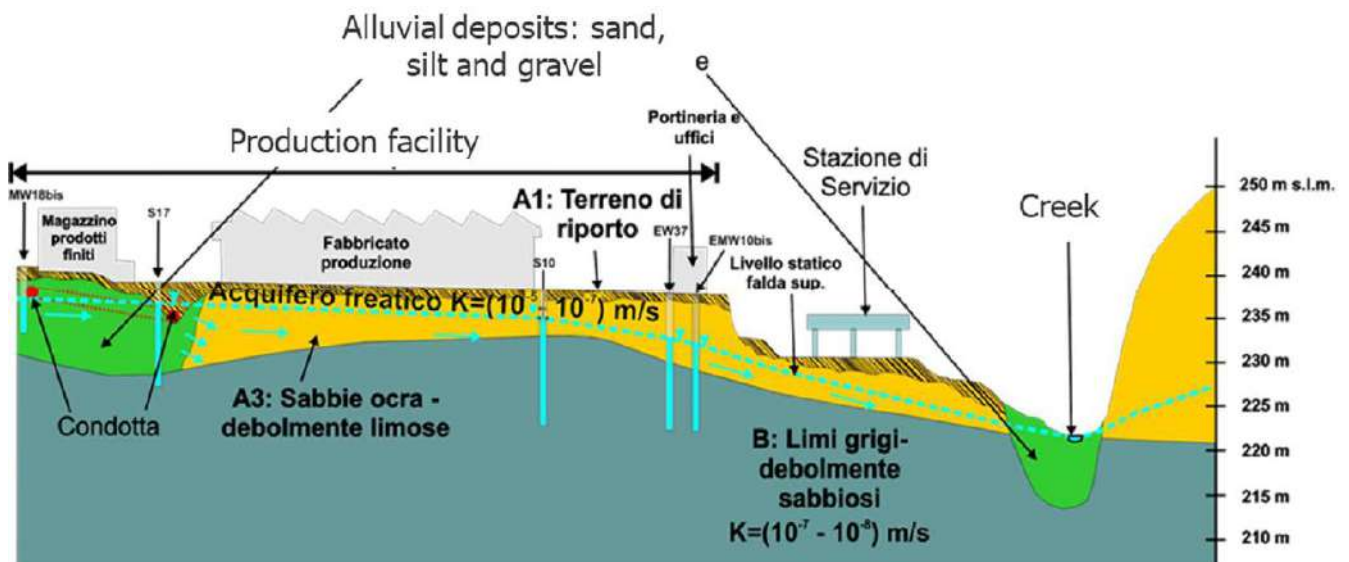
The plant began the production of freezers and refrigerators for food preservation in 1967, production which is still ongoing even if at a reduced rate. The contamination of the site was discovered in 2009 during site characterization activities, and exceedances of the CSC have been identified in deep soils (depth > 1 m bgl) for organochlorinated compounds (vinyl chloride, 1,2-Dichloroethane, Trichloroethylene, 1,2-Dichloropropane), and in groundwater for the following compounds:

- Non-Volatile Metals: Iron, Manganese;
- inorganic compounds: Nitrite, Sulphate;
- BTEX: Toluene, Benzene;
- chlorinated aliphatic compounds: Tetrachlorethylene, Trichloroethylene, Vinyl Chloride, Chloroform, 1,2-Dichloroethane, 1,1-Dichloroethylene, 1,2-Dichloroethylene, 1,2-Dichloropropane, 1,1,2-Trichloroethane.

Furthermore, local areas of buried wastes were found at the site, and removed during subsequent intervention, but it cannot be excluded that additional buried wastes are still present.

2.2 Geological setting

Only the shallow portion of soil and groundwater, till a depth of about 15 m b.g.l., was investigated during the site characterization. The subsoil is formed by alluvial deposit formed by interbedded sandy and silty layers as indicated below, overlaying a silty aquitard (see figure below). At a regional scale, a thin semiconfined aquifer contained in a conglomerates formation is present at 70 m b.g.l.



The figure represents the hydro-geological cross-section of the site along the groundwater flow main direction (North-East to South-West).

During site characterization, shallow groundwater levels were ranging between 2 and 9 m b.g.l. (on average 4 m b.g.l.), with flow direction mainly from the upgradient hill (North, North-West) to South, South-Est, towards a Creek; however, groundwater flow at the N-E corner of the facility is affected by the presence of an intubated stream existing at the northern portion of the facility with direction from N-E to S-W, generating a local depression of the groundwater table. Backfilling materials used in the past in earth moving activities for underground installation of the intubated stream appear to be characterized by a low permeability, even if presence of more permeable alluvial materials (sand and gravel) is documented along the pipe at depths between around 8 and 11 m b.g.l. Average groundwater gradient was estimated equal to 3% and hydraulic conductivity (k) ranges between 10^{-6} (North-West side) and 10^{-8} m/s (North-Est side), with an average value of 5×10^{-7} m/s.



2.3 Contaminants of concern

Soil:

- vinyl chloride: 0.42 ÷ 0.45 mg/kg
- 1,2-Dichloroethane: 7 ÷ 672 mg/kg
- Trichloroethylene: 20 ÷ 43 mg/kg
- 1,2-Dichloropropane: 27 ÷ 154 mg/kg

Groundwater:

Non-Volatile Metals:

- Iron: 3.1 ÷ 41,400 µg/l
- Manganese: 0.89 ÷ 18,500 µg/l

BTEX:

- Toluene: 0.05 ÷ 200 µg/l
- Benzene: 0.053 ÷ 56 µg/l

Chlorinated aliphatic compounds:

- Tetrachlorethylene: 0.05 ÷ 38 µg/l
- Trichloroethylene: 0.05 ÷ 31,000 µg/l
- Vinyl Chloride: 0.031 ÷ 410 µg/l
- Chloroform: 0.018 ÷ 69 µg/l
- 1,2-Dichloroethane: 0.018 ÷ 4,800,000 µg/l
- 1,2-Dichloroethylene: 0.054 ÷ 22,000 µg/l
- 1,2-Dichloropropane: : 0.019 ÷ 89,000 µg/l



2.4 Regulatory framework

Clean-up goals for soil and groundwater were defined in the Risk Assessment, and are included in the on-going remedial plan, approved in 2012 (the updated approval in 2017 did not modify them).

According to Italian regulation, although the remedial targets are defined on a Risk Assessment basis inside the facility (SSTLs or CSR), groundwater quality at the end of remedial action must comply with regulatory limits (CSC, much more conservative than calculated SSTLs) at the downgradient boundary of the site. Therefore, once reduced the concentration below the CSR for inhalation risk inside the facility, the ultimate clean-up goal for groundwater is to reduce and control the off-site migration at the Southern and Eastern borders of the site. In particular, a general conformity of the Southern border of the site is registered, with an exception at one piezometer at the south-eastern site boundary, where concentrations for TCE are slightly over the potable limit ($10 \mu\text{g/L}$) and one order of magnitude above the regulatory limit (CSC = $1.5 \mu\text{g/L}$). Along the Eastern border, one piezometer exceeds regulatory limits both for 1,2-DCA and 1,2DCP, with a contamination 2-3 orders of magnitude above the respective regulatory limits (CSC for 1,2-DCA = $3 \mu\text{g/L}$; CSC for 1,2-DCP = $0.15 \mu\text{g/L}$).



3. Pilot-scale application in field

No pilot test was performed

4. Full-scale application

4.1 Extraction system

The SVE system is composed of two extraction wells and an horizontal trench, and it is combined with an Air Sparging (AS) system which includes four wells. The characteristics of the installed systems are as follows:

- N.2 SVE wells (namely SVE1 and EMW30 both 7 meters deep, with a screened interval from 3 to 7 m bgl. SVE1 is 4" diameter, and EMW30 3");
- N.1 horizontal trench (100 meters long, with a diameter of 200 mm);
- N. 4 AS wells (one close to the trench and EMW30, namely AS1p, and three close to SVE1, namely AS14, AS15, AS16). AS wells are 15 meters deep, and with a 2" diameter. They are all screened in the interval 14-15 m bgl;
- the SVE system is powered by a blower "MAPRO 36/21" (5.5 kW, 220V, triphase 50 Hz);
- the AS system is powered by a scroll compressor "Atlas Copco SF2" (2.2 kW, 220V, triphase, 50 Hz).

4.2 Injection system

As previously mentioned, four injection wells are installed to circulate air in groundwater (Air Sparging) with the scope to strip contaminants that would then be collected by the SVE system. Air is injected at an average pressure of 1 bar.

4.3 Radius of influence

The theoretical value of ROI, calculated in the design phase for the Air Sparging was estimated as 5 to 10 meters.



4.4 Off gas Treatment

As for off-gas treatment, there are two granular activated carbon (GAC) filters (1 cubic meter each) in series connection.

4.5 Control parameters

- Air flow and extraction rates
- Air pressure measurements
- Water levels
- Dissolved oxygen and contaminant concentrations in groundwater
- Oxygen, carbon dioxide and contaminant concentrations in SVE off-gas or soil vapour
- Mass removal

7. Additional information

7.1 Lesson learnt

- Low permeability soils difficult to treat through AS technology.
- The presence of heterogeneous subsoil is a big challenge for this types of in-situ technologies.



7.2 Additional information

To assess the success of remediation is fundamental to perform:

- trend analysis of each contaminant monitored over time with respect to the initial baseline value
- quantification of extracted mass over time

7.3 Training need

To ensure the achievement of remediation goals is fundamental to perform a good operation and maintenance of the overall system. To do that is important that the system is managed by trained personnel. Despite a general training can be done from webinars and e-learning to obtain a targeted training specific for the single system installed few on-the job session, especially in the first weeks of system running, can be a good way to have site personnel sufficiently trained with respect to the specific performances of the system installed.

Glossary of Terms

A glossary will help a you to maintain the level of precision necessary for key terms and maintain consistency across the text. We found out that sometimes terms that sounds similar like “contaminated” and “polluted” are used in the same way as synonyms in some country, while in other they have different meanings (due to legislation or for other reasons). So fill in this glossary for your key elements and of course for acronyms.

Term (alphabetical order)	Definition
SSTLs or CSR	Site Specific Target Level, which are named CSR in Italian regulation, are concentration target levels defined according to Risk Analysis procedure

1. Contact details - CASE STUDY: SVE n.4

1.1 Name and Surname	Luca Sacilotto
1.2 Country/Jurisdiction	Italy
1.3 Organisation	Ramboll Italy S.r.l.
1.4 Position	Senior Managing Consultant
1.5 Duties	Project management of contaminated sites and brownfield assessments for industries; development and implementation of complex remedial projects addressing a wide variety of contaminants in several hydrogeological settings.
1.6 Email address	lsacilotto@ramboll.com
1.7 Phone number	+39-3341319233

2. Site background

2.1 History of the site

Since its first installation (1970), within the site have been produced compressors for refrigerators and air conditioning units. The analysis of the production processes within the facility highlighted the use in the past of potentially polluting substances such as heavy metals and chlorinated solvents, mainly PCE, TCE and Cr IV. The production was active up to 2018 and then the assembly lines have been dismantled.

2.2 Geological setting

Site soil consists largely of silts and clays interbedded with thicker layers of fine sands. This succession mainly consists of silty-clayey layers with two major sandy layers of different thickness, ranging from few centimetres to about 1 meter, located in the following ranges of depth:

- Level 1: between 10 and 15m b.g.s.
- Level 2: between 25 and 30m b.g.s.

The depth to ground water is approximately 5-7 meters below ground surface.

The following image depict the geological setting of the first two meters of soil subjected to ventilation through the SVE system.





2.3 Contaminants of concern

The main compounds of concern are:

- tetrachlorethylene (PCE),
- trichloroethylene (TCE),
- cis 1,2-dichloroethylene (cis 1,2-DCE),
- trans 1,2-dichloroethylene (trans 1,2-DCE),
- 1,1-dichloroethylene,
- chloroform,
- vinyl chloride (VC),
- freon-11,
- freon-113

2.4 Regulatory framework

The administrative path of the remediation process started on 2001 when the client informed the Public Authorities of a potential contamination resulting from the presence of chlorinated solvents in groundwater detected during a series of investigations carried out in order to verify the quality of the subsoil at the Site. Subsequently, the following activities have been done: Site Characterization, Preliminary Remediation Design, Final Remediation Design for the treatment of the contamination from groundwater. In 2016 an ambient-air survey highlighted the absence of risks for workers to be exposed to contaminant chlorinated vapours stemming from the contaminated groundwater.

Nevertheless, the client, as a preventive and precautionary measure for workers decided to install a Soil Venting system (same technology of a classical SVE system) to brake any possible migration pathway of contaminated vapours from the groundwater to the productive building.



3. Pilot-scale application in field

3.1 Extraction system

Before the installation of the full scale system, a pilot scale application has been performed to estimate the effective radius of influence that potentially can be achieved from each extraction well. The test was carried out connecting, through flexible pipes, one vertical well of 4" diameter, 2 m depth screened from 0.5 m below ground level to 2 m depth, with a blower for vapour extraction (with filters and silencers). In addition, the system included a condensate separator to remove water from the extracted gas before to pass through the blower and a granular activated carbon unit (200 L) to treat the contaminated vapour streams before the emission in atmosphere. Moreover, the well head of the extraction well was equipped with a pressure gauge and connected to the extraction system through a flexible pipe. Along the extraction line (2" diameter) there was a manual adjustment valve, vacuum gauge, sampling points and two asameters for air flow measurement.



3.3 Radius of influence



Examples of vacuum measurements at wellhead (left) and monitoring point (right)

Two tests were performed to estimate the radius of influence: step test and long duration test.

For the step test increasing flow rates have been considered with values centred around the design value:

- 26 m³/h
- 40 m³/h (design value)
- 50 m³/h
- 80 m³/h
- 125 m³/h

During each step test, the following parameters were monitored:

- suction depression at the blower,
- depression on the wellhead of the suction point,
- depression induced on the soil gas monitoring points,
- flow rate of extracted gases,
- VOC concentrations.

On the basis of the step test outcomes a flow rate of 60 m³/h has been sustained



constant for about 48 hours during which the same parameters of the step tests have been monitored.

Plotting in semi-logarithmic graph the depressions induced in the monitoring points at different distances from the extraction well and considering a cut-off pressure of 1% of the depression measured at the wellhead (Johnson and Ettinger, 1994), namely 0.12 mbar, a ROI of about 120 m has been estimated from the suction shaft considered for pilot test.

3.4 Off gas Treatment

During the pilot scale application in field, off gas were treated by a granular activated carbon unit of 200 L to treat the contaminated vapour streams before the emission in the atmosphere.

3.5 Control parameters

To assess the effectiveness of the treatment the following parameters were monitored during the pilot scale application:

- suction depression at the blower,
- depression on the wellhead of the suction point,
- depression induced on the soil gas monitoring points at different distances from the extraction well,
- flow rate of extracted gases,
- VOC concentrations.

4. Full-scale application

4.1 Extraction system

The full scale SVE system basically consist of 5 extraction wells, 4 of which within the productive building and 1 in the external area still within the site boundary. Each vertical extraction well is of 4" diameter, 2 m depth screened from 0.5 m below ground level to 2 m depth. Each vacuum well is connected to the vacuum unit through HDPE underground and aboveground pipes of 2", 3" and 4" to take into account pressure drop along the line.

The vacuum unit is basically composed of 2 vacuum blowers (one as backup blower), air flow rate $230 \text{ Nm}^3/\text{h}$ each, with filters and silencers, 1 condensate separator to remove water from the extracted gas before to pass through the blower and 1 electrical panel to control the blowers. Outside the vacuum unit there are 2 granular activated carbon units (1 m^3 each with about 600 kg of carbons) and a chimney for treated gas emissions. Each well head is equipped with a pressure gauge and along each of the 5 extraction lines there are from the bottom to the top: sampling port, flow meter, pressure gauge, regulation valve, on/off valve.



Examples of instruments along each extraction line

The system is completed by 32 monitoring points spatially distributed to cover the overall treated area.

To assess the different performances for different monitoring system we installed:

- N. 9 “nesty probes”, 7 of which in external area and 2 within the facility;
- N. 23 “vapor pin” within the facility.



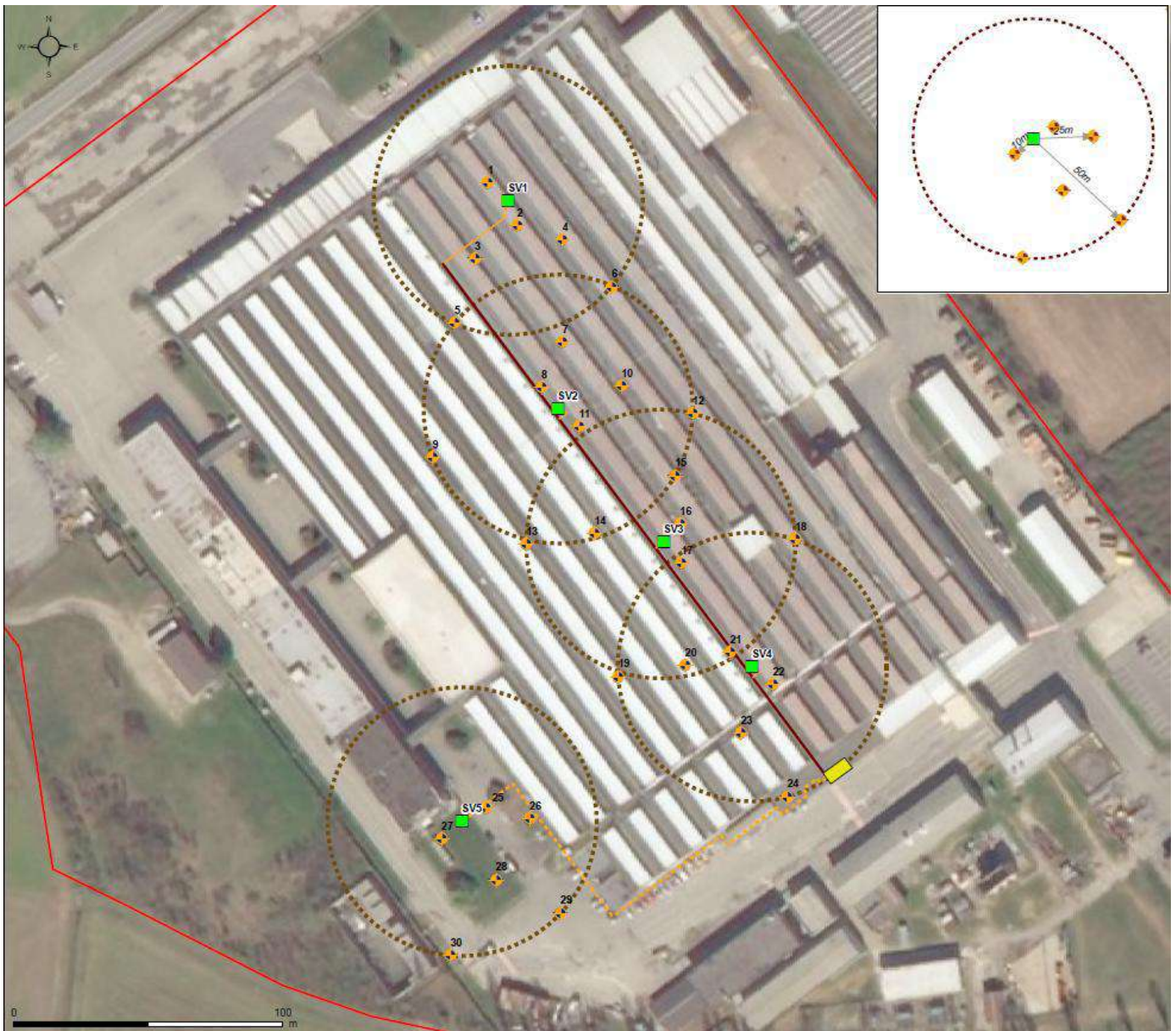
Nesty probe



Vapor Pin

4.3 Radius of influence

As a result of pilot test an extraction flow rate of about $50 \text{ m}^3/\text{hour}$ for each of the 5 extraction wells has been set and a ROI of about 50 m has been associated with each extraction well in order to cover the planar extension of the groundwater plume which has basically an orientation north-south. The following image depict the expected ROI (brown dotted lines) from each extraction well (green squares).



System layout with expected ROI

4.4 Off gas Treatment

Off gas treatment is basically composed of 2 granular activated carbon units (1 m³ each with about 600 kg of granulated activated carbons) and a chimney for treated gas emissions in the atmosphere.





4.5 Control parameters

To assess the effectiveness of the treatment the following parameters were monitored with the following frequency

With a weekly basis:

- flow rate of each extraction well,
- temperature and pressure/ suction depression both upstream and downstream the blower,
- the occurrence of condensate waters,

With a 3 months basis:

- VOC, O₂, CH₄, CO₂ and depression induced at each monitoring point,
- soil gas concentration for each monitoring point, well heads and off gases before the emission in atmosphere

5. Enhancements to SVE

No pneumatic and/or hydraulic fracturing systems has been employed to enhance the SVE application which was designed only to ventilate and hence brake any possible pathways of contaminated streams from the groundwater to the productive building.

6. Post treatment and/or Long Term Monitoring

6.1 Post treatment and/or Long Term Monitoring

The treatment is still ongoing but as a long term monitoring plan it can be scheduled monitoring campaigns on a six months basis on each soil gas control point available at the site and an ambient-air monitoring survey on a year basis to verify if any changes with respect to the status achieved at the end of ventilation.



7. Additional information

7.1 Lesson learnt

1) Methodology and procedures

Before the installation of a full scale system perform a pilot test to verify, with field data, the design hypothesis related to ROI extension and flow rate achievable from each extraction well since due to local heterogeneities not all wells perform at the same way.

2) Technical aspects

Prior the installation of the extraction wells perform a detailed screening and review of historical maps of the areas that need to be treated with a sub slab ventilation to assess the occurrence of any subsurface services which can reduce the extension of expected ROI, hence reducing the overall efficacy of the system.

3) Legislative, organizational aspects

To be compliant with regulation limits for off gas emission is key the periodic check of the efficacy of the treatment system to avoid the emission in atmosphere of contaminated gases.

7.2 Additional information

To assess the success of remediation is fundamental to perform:

- trend analysis of each contaminant monitored over time with respect to the initial baseline value
- quantification of extracted mass over time

7.3 Training need

To ensure the achievement of remediation goals is fundamental to perform a good operation and maintenance of the overall system. To do that is important that the system is managed by trained personnel. Despite a general training can be done from webinars and e-learning to obtain a targeted training specific for the single system installed few on-the job session, especially in the first weeks of system running, can be a good way to have site personnel sufficiently trained with respect to the specific performances of the system installed.

1. Contact details - CASE STUDY: SVE n.5

1.1 Name and Surname	Federico Caldera
1.2 Country/Jurisdiction	Italy
1.3 Organisation	Mares S.r.l.
1.4 Position	Analista Sviluppo & Compliance
1.5 Duties	Sanitary and environmental risk assessment, innovative remediation and characterization technologies development
1.6 Email address	federicocaldera@maresitalia.it
1.7 Phone number	+39 3497616386

2. Site background

2.1 History of the site

The site is a gas station in peripheral area south of a city of central Italy, along a road with medium vehicular traffic.





2.2 Geological setting

The geological structure of the area is characterized by the presence of soils of volcanic origin and deposits of alluvial origin.

In the area under examination the volcanic deposits of the Pleistocene age produced by the volcanic systems of Lazio emerge.

From a geomorphologic point of view, the site is located on the slope in a hilly area artificially terraced for the construction of the square.

Hydrography essentially consists of a series of ditches which, with dendritic branching, flow north-east. They have a torrential regime, with superficial outflows that occur during intense rainfall and of a certain duration, mainly in the winter season.

The area is characterized in general by soils with variable permeability, both in relation to the variety of soils constituting the stratigraphic succession, and to the frequent variability of the lithological and structural aspects found within the individual units that make up this succession.

The site stratigraphy is characterized by the presence of the following two main units:

- Anthropic material - Mixed material, essentially consisting of medium sand with the presence of gravel/pebbles, which extends from 0 m from ground level. about 3 m b.g.s.;
- Silt and Clays - Cohesive deposit made up of silts and clays with local intercalations of coarser sandy lenses, found up to the maximum investigated depth (10 m b.g.s.).

Literature data allow us to hypothesize the presence of a significant underground water circulation at high depths: in a well surveyed about 400 m south of the gas station area, a water table level of 78 m a.s.l. is reported, corresponding to a depth from the ground surface at the site of about 45-50 m.

2.3 Contaminants of concern

Contamination affected unsaturated soil, with BTEX, C_{≤12} and C_{>12} as CoCs, found at a depth of 3.4 m b.g.s.



2.4 Regulatory framework

In Italy the environmental regulatory system is regulated by Legislative Decree No. 152/2006 and for fuel stations by the Ministerial Decree No. 31/2015.

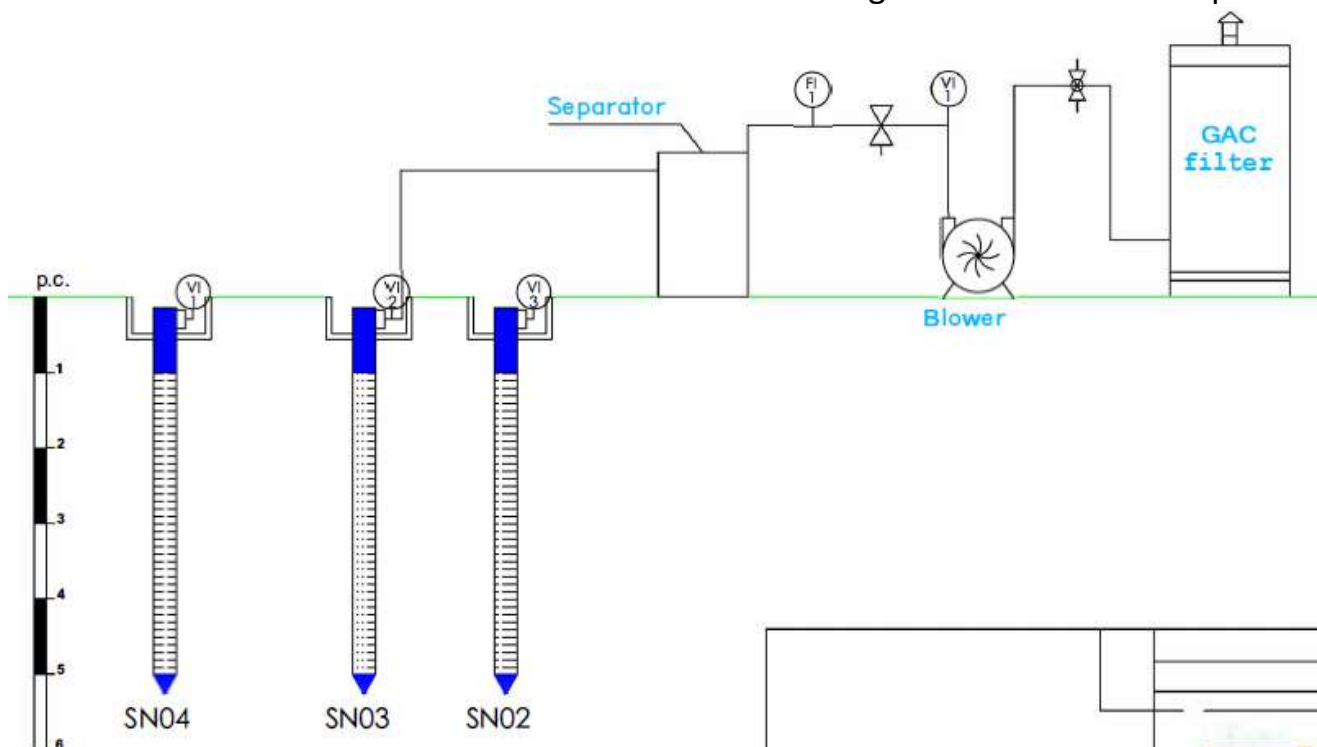
The target values for benzene, toluene, ethylbenzene, xylene, C<12 and C>12 are set equal to 50, 50, 50, 50, 250 and 750 mg/kg, respectively, for soils with commercial use. For the implementation of SVE technology (as well as for the implementation of any remediation plan) the approval by local authorities is needed.

3. Pilot-scale application in field

3.1 Extraction system

The execution of the pilot test, placing vertical wells SN03 and SN04 (5 meters depth, screened between 1 and 5 m b.g.s.) in depression by a blower, showed that:

- by varying the extraction rate (from 30 to 1000 L/min) within point SN03, rather small depressions were detected in the monitoring points, in any case lower than the value of 0.5 mbar (the maximum value was 0.3 mbar observed in SN04 with an extraction rate of 1000 L/min) indicated by literature as the minimum depression to have an induced influence from the well being extracted (“cut off” value);
- during the test a further test was performed by putting in depression point SN02: also in this case, depressions were observed within the point SN03 lower than the value of 0.5 mbar (the maximum value was 0.2 mbar observed in SN03 with an extraction rate of 2330 L/min);
- no condensation accumulation was detected during the test inside the separator.



The results obtained by means of the pilot study performed allowed to confirm the applicability of the SVE system to the site. The high permeability of the subsoil to vapor flows, in fact, made it possible to extract significant quantities of air without inducing significant depressions.



3.3 Radius of influence

The project parameters, obtained on the basis of the pilot study specifically performed on the site, are the following:

- Radius of influence, ROI: 3.0 m;
- Maximum flow rate of extracted air for each SVE point, Q_{Ea}: 70 m³/h;
- Working depression at each point, d_{Pp}: - 50 mbar.

3.4 Off gas Treatment

For the abatement of pollutants present in the extracted air was set, downstream of the air/liquid separation system, a pair of iron with epoxy treatment filters, filled with activated carbon in pellets, (H 1400 mm x D 780 mm).

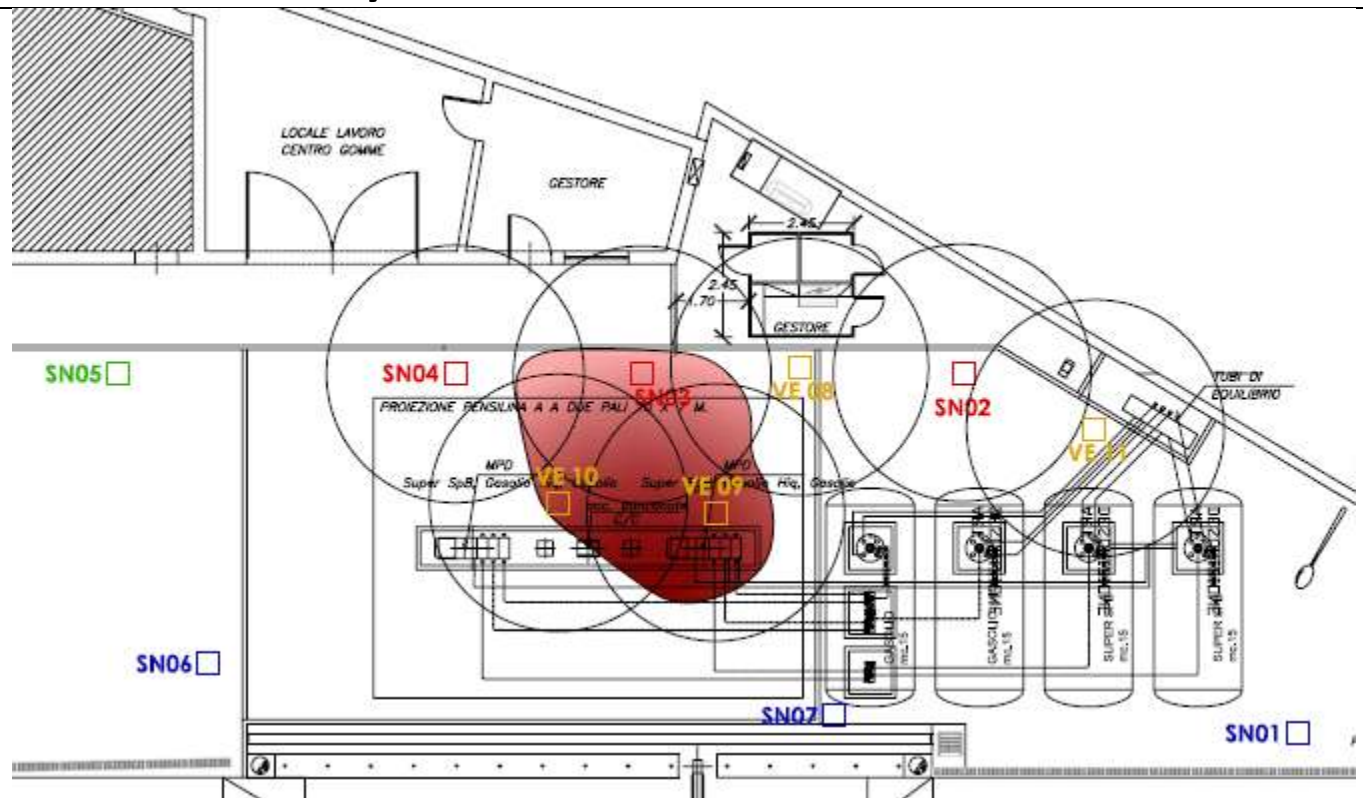
3.5 Control parameters

During the test, the data listed below were recorded:

- extraction rate;
- d_{Pp} work-related depression and d_{Pi}-induced depression;
- VOC, CH₄, CO₂ and O₂ in the extraction well.

4. Full-scale application

4.1 Extraction system



A blower is used to extract air from the remediation points; the extracted air favours the removal of contaminants from the solid phase to the gas phase. The air extracted from the same points is conveyed inside a condensate separator (S1) which separates the condensate from the gaseous flow.

The gaseous flow, once dehumidified and the particulate removed, passes through the blower which generates the vacuum. Downstream there is the air handling unit consisting of two filters in series, containing activated carbon. In any case, the processing unit is equipped to be arranged with the filters in parallel in case the incoming flow shows compatible VOC concentrations.

In order to maximize the treatment of the unsaturated soil and to reduce the moisture content of the extracted air, the plant is also provided with an evacuation, treatment and discharge system for the percolating waters that accumulate preferentially in the SN02 and SN03 piezometers.

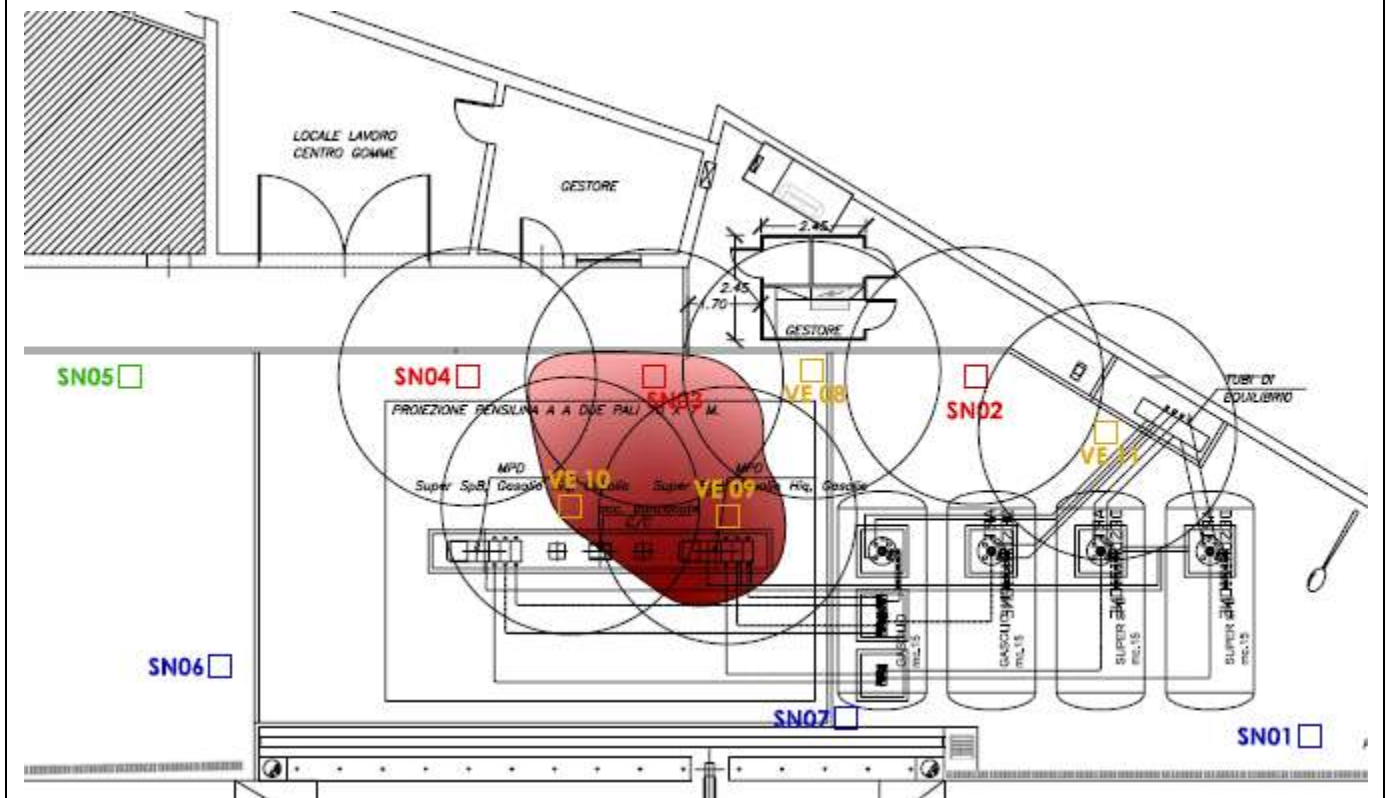
Two additional extraction points located outside the contaminated area were installed, with the aim of enhancing the recall of vapours from the subsoil to further safeguard the human targets located in the building next to the gas station.

The number of SVE points is therefore equal to 7. Specifically, the existing piezometers SN02, SN03 and SN04 and the new points VE08, VE09, VE10 and VE11 were used, see the picture below.

The suction from the points was operated by a pump capable of reach a vacuum of at least 150 mbar, and a flow rate of not less than 500 m³/h, in order to guarantee an air flow, for each extraction point, of at least 70 m³/h, with a nominal power of about 5.50 kW.

4.3 Radius of influence

Considering the ROI determined through the pilot test and the areal distribution of the contamination, the number of extraction wells and their spatial location were defined. A correct ROI value of 3 m was therefore adopted as a precaution.



4.4 Off gas Treatment

Same of pilot test



4.5 Control parameters

Before starting the system, at Time Zero, a complete monitoring was carried out. In particular, the following activities were carried out on all the extraction wells present on site (VE02, VE03, VE04, VE08, VE09, VE10 and VE11):

- measurement of the VOCs present in the extraction points;
- sampling of off air and analysis of parameters such as BTEX and TPH.

During the start up of the system, the following measurements were carried out on a weekly basis:

- measurement of the VOCs extracted from the points and leaving the stack (ppm);
- vacuum induced by the blower (mbar) in the extraction points;
- flows at each extraction point;
- depression induced on the water inside the extraction points.

The start up took about 30 working days and ended with the testing of the air and water treatment system by sampling and laboratory analysis of the vapours entering and leaving the system.

Then, on a monthly basis, control visits were carried out on the plant in order to verify the correct functioning of the system and monitor the operating parameters of the plant (measurement of VOCs, induced depressions, extracted air flows, extracted water flows) making any new adjustments if necessary.

6. Post treatment and/or Long Term Monitoring

6.1 Post treatment and/or Long Term Monitoring

The periodic monitoring of the SVE system (between 2018 and 2020) provided for:

- control, maintenance and monthly monitoring of the systems and verification of the correct functioning of the system;
- verification and reading of the operating parameters of the system (flows, temperatures, pressures, etc.);
- possible fine-tuning, in the case of variations detected with respect to the operating parameters;
- sampling of air inlet and outlet from the treatment system and analysis of the BTEX and TPH parameters.



7. Additional information

7.1 Lesson learnt

In presence of a VOC contamination located in a small part of unsaturated soil with a coarse texture the SVE technology can be a viable system to reach the remediation goals.

The intervention was successful - Authorities certification obtained after two years of remediation.

7.2 Additional information

The keystone issue for a successful remediation is to gain a right conceptual site model, with a proper definition, in terms of extent, soil texture and presence of preferential flow pathways of the underground contamination source, in order to find adequate technology to properly address and remediate the CoCs.

7.3 Training need

Firstly e-learning/webinars in order to understand the theoretical fundamentals of the technology, following training on the job so to gain experience with facing real problems.

Glossary of Terms

Term (alphabetical order)	Definition
BTEX	Benzene, Toluene, Ethylbenzene, Xylene
C \leq 12	Light hydrocarbons
C $>$ 12	Heavy hydrocarbons
VOC	Volatile organic compounds (VOCs) are organic chemicals that have a high vapour pressure at ordinary room temperature

1. Contact details - CASE STUDY: SVE n.6

1.1 Name and Surname	Davide Menozzi, René Filion, Sophia Dore
1.2 Country/Jurisdiction	United States of America
1.3 Organisation	GHD Group Pty Ltd
1.4 Position	Environmental scientist (Davide Menozzi) Senior Project Manager (René Filion) Senior Scientist Innovative Technology Group (Sophia Dore)
1.5 Duties	Contaminated land management
1.6 Email address	Davide.menozzi@ghd.com
1.7 Phone number	+61 2 4222 2316 (Davide Menozzi) 01 514 339 0611(René Filion); 716 205 1978 (Sophia Dore)

2. Site background

2.1 History of the site

Approximately 23,000 kg of acetone was released from a rail car during unloading in July 2016 at a facility that stores, repackages, and distributes chemical products to wholesalers and industrial users.

The Property is irregular in shape, covers an approximate area of 125,000 square meters (m²) and is located in a industrial area, with a neighbouring residential area located to the south. This residential neighbourhood is located within 35 meters (m) from the Property limit at its closest proximity. A series of railway sidings are present at and in the western portion of the Site.





2.2 Geological setting

The Site stratigraphy in the area of the spill consisted of very shallow fill material extending to 0.6 m below ground surface (mBGS), followed by a layer of natural deposits silt with traces of clay or clay with traces of silt to approximately to approximately 4.5 mBGS. A layer of coarse material composed of sand and gravel measuring approximately 0.3 m thick rests on a grey fractured limestone with fair to excellent rock quality (RQD >95).

Native soils were composed of an initial deposit of silty clay, becoming at around 3 m below ground surface, a deposit composed of more sandy material, either being described as silt with some sand and traces of gravel, or as sand with some silt and gravel.

During intrusive investigations, odours were strongest near the surface (0.6 m to 1.2 m deep) and again near the bottom (4.3 m to 4.9 m deep).

2.3 Contaminants of concern

Acetone (primary)

Secondary contaminants:

Ethylbenzene

Toluene

Xylene

2.4 Regulatory framework

Following implementation of a Pilot Scale test at the Site that demonstrated effective operating conditions for SVE, a remedial objective of 28 mg/kg was established for acetone in soil, based on similar land use regulatory standards. For the secondary contaminants, existing standards for industrial/commercial land use were selected as remedial objectives (Ethylbenzene = 50 mg/kg, Toluene = 30 mg/kg, Xylene=50 mg/kg).



3. Pilot-scale application in field

3.1 Extraction system

One shallow vertical extraction well screened to impart vacuum within the impermeable (shallow) layer of soil were installed throughout the treatment area. The effective radius of influence for these wells was approximately 3 metres. The shallow wells were equipped with 4-inch diameter PVC screens and risers, and terminated near the surface. Two existing 2-inch diameter vertical wells were used to extract vapours from the more permeable and deeper sand and gravel layer as the screened intervals for these wells intercepted the more permeable layer and extended to the top of bedrock/soil interface. The effective radius of influence measured during pilot testing for these wells was approximately 20 m.

A self contained mobile SVE equipment trailer was mobilized to the treatment area. The equipment included a high vacuum, high flow vacuum blower capable of producing up to 100 cubic feet per minute, and a vacuum of 10 inches of mercury, distribution header moisture separator, piping, valves and gauges, barometer, and vacuum gauges. The system was equipped with remote monitoring to the system control panel which could be programmed to run several configurations and on with definable operating timeframes.

3.2 Injection system

No injection of air or other substances were permitted.



3.3 Radius of influence

Radius of Influence

The radius of influence (ROI) for each pilot test is estimated based on the vacuum response measured at the SVE monitoring probes and nearby wells, as well as past experience gained from operating SVE systems in similar soils. A probe response of 0.5 to 1.0 percent of the applied SVE wellhead vacuum is generally considered significant in ROI estimation. Due to the soil heterogeneity at the site and surface conditions, a wide range of vacuum response was observed. While vacuum response was achieved in the distant monitoring wells, response at the probes installed in the tighter material was inconsistent and likely masked by fluctuations in ambient barometric pressure.

Upper Zone

As expected, the soil heterogeneity limited flow and vacuum response in certain directions due to pockets of tight native clays and silts that exist in the subsurface. In the upper zone, the monitoring probes showed a better response to the north compared to the south of SVE-01. The northern portion of the Site showed that an ROI of 3-4 meters would be achievable. The southern portion of the Site showed an ROI of less than 2 meters. ROI estimates showed very similar results when operated between 4 and 10" Hg vacuum. In this zone, the readings indicated that applying a less powerful vacuum may be more beneficial to achieving the best ROI as the 4" Hg vacuum showed the highest induced vacuum readings. The data also suggests that a period of hot, dry weather may have caused desiccation of shallow soils and well seals and resulted in short circuiting of ambient air from the surface. Hydration of surface soils in the pilot test area was successful in reducing the short-circuiting effects.

Lower Zone

The lower, more permeable zone showed a more significant ROI compared to the Upper Zone. Based on the readings taken, operating at 6" Hg vacuum would provide the greater ROI with distances exceeding 20 meters. Of note, operating at higher vacuums dropped the ROI significantly, to a distance of only 6-8 meters. The extended ROI observed in the lower zone test is likely due to the higher permeability lenses and gravel observed at the top of bedrock in soil borings within the impacted area.

Air Flow Rate versus Vacuum

Initially, for each step test, the unit was operated for short durations at various flow



rates and corresponding vacuum levels for the purpose of determining the SVE performance over the operating range of the blower and selecting the appropriate flow rate for the test (based on SVE flow rate and wellhead vacuum levels). Flow rate versus vacuum curves were constructed from these step test data to assist in the selection of the most desirable operating range for a full-scale system. An example of the results is shown in the figure below.

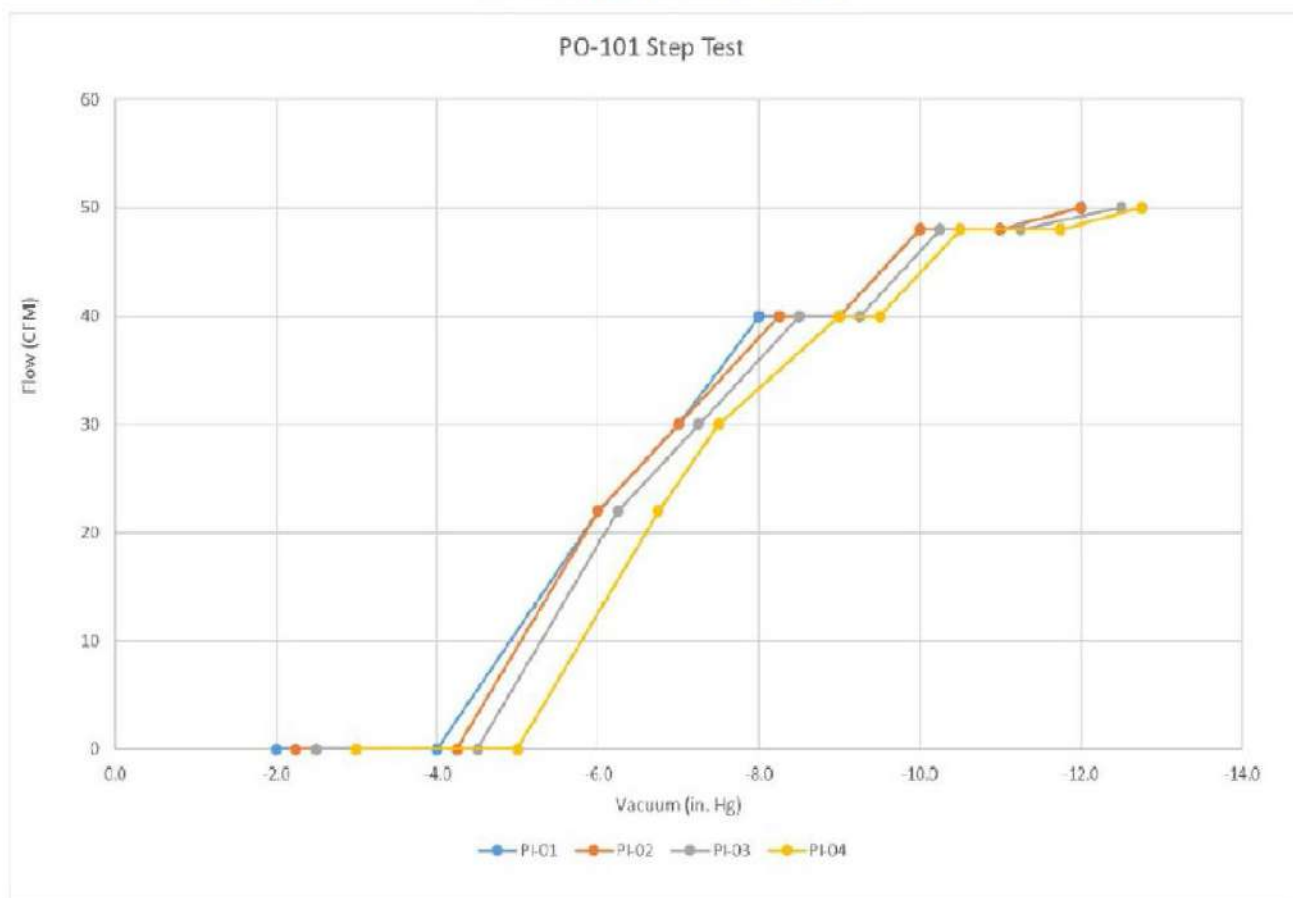
Upper Zone

The step test showed a desirable operating range between 25-40 CFM with an applied vacuum of 4-6" Hg.

Lower Zone

The step test at PO-101 (see Figure below) displayed good performance without a drop off up to a flow of 40 CFM with an applied vacuum of 8" Hg

AIR FLOW RATE VERSUS VACUUM





3.4 Off gas Treatment

Extracted vapour treatment was completed using a 205 L drum of activated carbon during the short duration pilot testing period. No samples were collected of the air emissions during the pilot test.

3.5 Control parameters

Soil analytical results were collected prior to and following each treatment phase to evaluate compliance with remedial objectives. These results were also used to configure the following phase of treatment (progressive reduction of treatment area). Groundwater samples were collected and submitted for analysis of volatile organic compounds (VOCs) within and downgradient of the treatment area to monitor for potential releases to groundwater from treatment activities.



4. Full-scale application

4.1 Extraction system

A total of 8 shallow vertical extraction wells screened to impart vacuum within the impermeable (shallow) layer of soil were installed throughout the treatment area. The effective radius of influence for these wells was approximately 3 m. The shallow wells were equipped with 4-inch diameter PVC screens and risers and terminated near the surface.

Five 2-inch diameter wells were used to extract vapours from the more permeable and deeper sand and gravel layer as the screened intervals for these wells intercepted the more permeable layer and extended to the top of bedrock/soil interface. The effective radius of influence measured during pilot testing for these wells was approximately 20 m.

A self contained mobile SVE equipment trailer was mobilized to the treatment area. The equipment included a high vacuum, high flow vacuum blower capable of producing up to 100 cubic feet per minute, and a vacuum of 10 inches of mercury, distribution header moisture separator, piping, valves and gauges, barometer, and vacuum gauges. The system was equipped with remote monitoring to the system control panel which could be programmed to run several configurations and on with definable operating timeframes.

4.3 Radius of influence

Based on the collected field data, the radius of influence of the deeper extraction wells measured was between 9.7 and 18 m, while the radius of influence of the SVE wells was between 5.1 m and 9.9 m.



4.4 Off gas Treatment

Discharge vapour monitoring of the system was performed in between and after the two 1,800-pound vapour phase carbon treatment vessels weekly by GHD using a photo ionization detector (PID) for measurement of undifferentiated VOCs.

Air Sampling

In addition to the field PID readings collected above, air samples were collected at the sample port located between the two vapour phase carbon treatment vessels to monitor their performance to ensure that air emissions were below the regulatory limits.

Additional air samples were collected over the course of the SVE treatment in the extracted vapour flow before being treated to evaluate the extracted acetone mass through the vapour stream.

Compliance

PID measurements in between and after the two vapour phase carbon treatment vessels showed readings of 0 ppm throughout the active SVE treatment period.

A dispersion model using SCREEN3 software was completed to assess compliance of air emissions equivalent to 2.5% of the regulatory limit for a 4-min exposure and 1.3% of the regulatory limit for a 1-hour exposure. Analytical results of samples collected throughout the treatment period identified concentrations of acetone reached approximately 1.1% of the permissible exposure rates.

Based on the PID measurements and analytical results from the air samples, air emissions did not present any exceedance of the applicable regulation during the operations of the SVE system.



4.5 Control parameters

Soil analytical results were collected prior to and following each treatment phase to evaluate compliance with remedial objectives. These results were also used to configure the following phase of treatment (progressive reduction of treatment area).

Groundwater samples were collected and submitted for analysis of VOCs within and downgradient of the treatment area to monitor for potential releases to groundwater from treatment activities.

6. Post treatment and/or Long Term Monitoring

6.1 Post treatment and/or Long Term Monitoring

Post treatment groundwater monitoring will be completed three times per year for a minimum of 3 years to evaluate potential impacts to groundwater.

7. Additional information

7.1 Lesson learnt

SVE was an effective method for remediation of highly volatile contaminants at this Site. The addition of an impermeable ground cover layer effectively controlled short circuiting in the area of highest concentrations immediately adjacent to the spill area.

7.2 Additional information

Success of remediation will be assessed in the post-remediation monitoring program.



7.3 Training need

Designing a remediation system requires experience. This cannot be easily built up through workshops, webinars and so on. Designing and implementation of a successful remedial system should be undertaken by an experienced company and scientists.

Glossary of Terms

A glossary will help a you to maintain the level of precision necessary for key terms and maintain consistency across the text. We found out that sometimes terms that sounds similar like “contaminated” and “polluted” are used in the same way as synonyms in some country, while in other they have different meanings (due to legislation or for other reasons). So fill in this glossary for your key elements and of course for acronyms.

Term (alphabetical order)	Definition
VOC	Volatile organic compounds (VOCs) are organic chemicals that have a high vapour pressure at ordinary room temperature
CFM	Cubic feet per minute

1. Contact details - CASE STUDY: SVE n.7

1.1 Name and Surname	Hadas Sharon
1.2 Country/Jurisdiction	Israel
1.3 Organisation	Ludan environmental technologies
1.4 Position	Environmental engineer
1.5 Duties	Project manager
1.6 Email address	hsharon@ludan.co.il
1.7 Phone number	+972 52-511-2139



2. Site background

2.1 History of the site

A gas station operated at the site located in Israel for many years. As part of the change in the designation of the land, from a gas station for a commercial activity area, soil sampling was carried out in the area where underground fuel tanks were located, in order to make sure that the soil was not contaminated.

2.2 Geological setting

The following is a description of the geological section in the area:
0-10 meters - loess and limestone.
10-300 meters - cardboard, gray mahogany cardboard.

2.3 Contaminants of concern

The following are the various contaminants that are suspected in the soil due to the type of activity carried out at the site. These are pollutants that originate from fuel components:

- TPH
- BTEX
- MTBE
- PAH



2.4 Regulatory framework

- The subject of soil contamination investigation is the responsibility of a government ministry - the Ministry of Environmental Protection - Department of contaminated soils.
- The soil investigation performed according to the professional guidelines of the Ministry of Environmental Protection, which approves the sampling plan before execution and the conclusions and recommendations given according to the sampling findings.
- The concentrations of the pollutants discovered were compared to the permitted concentrations according to the threshold values document for industrial areas in the State of Israel.

3. Pilot-scale application in field

3.1 Extraction system

- The system in the ground includes 17 Vertical wells
- The pumping was done using a vacuum truck.

3.2 Injection system

- Details of the SVE pilot system infrastructure:
- The system in the ground includes 17 wells with a diameter of 3 inches, to three different depths: 7, 11 and 16 m below the ground.
- The large number of wells and the varying depths allows to "capture" of all the contaminated soil area.
- Each well is constructed so that at its bottom is a fluted section (strainer) 5 m long.
- The pumping was done using a vacuum truck, which was connected to well manifold, so that at each stage the effect of using a single well or several wells simultaneously could be examined by using the SVE system regulating taps.
- The system also included a clean air inlet tap to prevent the creation of underpressure in the pumping wells.



3.3 Radius of influence

- The radius of impact was determined by performing pumping until the pressure stabilized, measuring the underpressure in the well being pumped with varying flow rates and measuring the underpressure in the other wells to examine the radius of impact.
- The soil at the site was found to have effective conductivity in the tested flows and the underpressure created allowed the suction of the gases above the ground. At a flow of 150 cubic meters/h, a negative pressure of 74 millibars was measured and the impact radius reached up to 10 meters from the suction well.
- Since the average distance between the wells ranged from 4 to 6 m, there was compatibility between the remediation method, the site characteristics and the existing pilot remediation infrastructure.
- According to the pilot findings, it appears that when operating the pump from all the wells, the entire contaminated soil cell intended for treatment will be underpressure and therefore no additional wells need to be installed.

3.4 Off gas Treatment

In order to select the appropriate treatment technology for the airflow from the SVE system, a number of technologies defined as "BAT" (best available technology) (by the EPA) were examined:

1. adsorption on activated carbon
2. thermal oxidation
3. biological filter
4. vapour condensation

Due to the high daily load of organic hydrocarbons, we recommend gas treatment with a thermal oxidation- **catalytic oxygen** method suitable for the treatment of emission stream at concentrations higher than several hundred PPM. Laboratory tests found no evidence of the presence of chlorinated hydrocarbons which can be a limiting factor when using this technology due to the fear of causing damage to the catalytic converter.



3.5 Control parameters

- To estimate the load of hydrocarbons pumped from the wells when the SVE system is working, performed gas sampling of several wells together and from a number of individual wells in which high PID values were detected. Some of the samples were performed on canisters sent for TO-15 analysis.
- In order to evaluate the effectiveness of the treatment for the gas pumped from the wells treated by the thermal oxidizer, a sampling was performed on the stack of the treatment facility.

4. Full-scale application

The full-scale system is compatible with the system built in the pilot and described in the previous sections

4.5 Control parameters

- Throughout the period the system operates, there was regular monitoring once every two weeks of parameters of the system and the soil and once every few months a performed laboratory analysis of TO-15 to the concentrations in the gas stream pumped from the soil.
- The following is the test that is performed every two weeks:
 1. The VOC concentration measured in the well by the PID.
 2. Checking the flow in the pumped stream.
 3. Measuring the pressure in the well.



6. Post treatment and/or Long Term Monitoring

6.1 Post treatment and/or Long Term Monitoring

In order to test the effectiveness of the treatment after its completion, a "rebound effect" test was performed, which included shutting down the system for about a month and a half and restarting it for two months.

The test revealed that the concentrations did not rise and there was no change in the concentrations in the various wells after reopening, with respect to values measured before closing. These findings indicate that the treatment performed on the soil is effective and the volatiles that were adsorbed to the soil have already been treated.



7. Additional information

7.1 Lesson learnt

From the results of the cost-benefit analysis, it can be seen that due to the low concentrations pumped from the soil during the period when the concentration of contaminants decreased, led to high power consumption to operate the system, significantly, as more energy has to be invested in heating the catalyst.

Increased use of electricity to heat the catalyst in the converter causes that per kilogram of pollutant treated emitted into the air during the power generation process at the IEC power plant about half a kilogram of nitrogen oxides and half a kilogram of sulphur oxides.

As the treatment of the site with the SVE method achieved, and the meaning of continued pumping and gas treatment has low efficiency on the one hand and on the other hand requires a lot of energy, its significant environmental consequences with regard to electricity generation emissions.

7.2 Additional information

The SVE system operated for about 9,000 hours during which it handled about 5,641 liters of hydrocarbons.

As part of the treatment, about 4,000,000 cubic meters of soil gases were extracted from the ground in the treated area of about 2,000 cubic meters.

7.3 Training need

Training through workshops, preferably by the Ministry of Environmental Protection in order for the remediation processes to comply with the regulator's guidelines.

1. Contact details - CASE STUDY: SVE n.8

1.1 Name and Surname	VION Mathieu (Expert at Technical Direction) DEVIC-BASSAGET Boris (Technical Director)
1.2 Country/Jurisdiction	FRANCE
1.3 Organisation	SUEZ RR IWS REMEDIATION FRANCE
1.4 Position	Head Office : 17 rue du Périgord, 69330 Meyzieu (France)
1.5 Duties	Engineer - Expertise department manager
1.6 Email address	mathieu.vion@suez.com ; boris.devic-bassaget@suez.com contact.remediation.europe@suez.com
1.7 Phone number	+33(4)72450222



2. Site background

2.1 History of the site

CHIMICOLOR is the former operator of a 1,500 m² site located in the town of La Garenne Colombes, in the outskirts of Paris, whose activity involved industrial painting on various supports.

The site is located in a mixed residential and tertiary district, bounded by:

- Apartment buildings on the west side;
- Apartment buildings on the south sides and is separated by a road and pedestrian crossing alley to access the entrance to a residential parking lot;
- A street on the north side, then apartment buildings beyond that street.

According to the information collected, the site was mainly occupied by the following activities:

- 1928 - 1971: Exploitation of the site by a company which carried out the repair and the assembly of electric refrigerators;
- 1971 - 1992: Operation of the premises by a company specializing in the chemical and electrochemical treatment of metals;
- 2001 - 2012: the company CHIMICOLOR becomes the operator of the site and carries out printing activities on aluminium plates, chemical colouring of aluminium plates, stainless steel engraving and screen printing. The cessation of activity took place in 2012.

The site deconstruction work was carried out between May and July 2014. The facade of the building in the north-west part has been preserved as well as the old administrative buildings.

In addition, during the month of July 2014, the soils located to the right of the south-eastern part of the site had been the subject of earthworks to a depth of 1.2 m.

The area to be cleaned up was in the south-eastern part of the land, covering an area of approximately 250 m².



2.2 Geological setting

According to the geological map of Paris and the data from the basement database (BSS), the geological context in the sector considered is as follows:

- Old quaternary alluvium;
- Limestone of Saint-Ouen made up of marls and limestone banks over a depth of 10 to 15 m;
- Then the sands of Beauchamp, with a thickness of 6 to 7 m.

The various investigations carried out on the site revealed the following average lithological section:

- From 0 to 1 m: predominantly sandy embankments;
- From 1 to 8 m: a layer of sands becoming marly from a depth of 4 m;
- From 8 m: limestone.

According to information taken from the subsoil database (BSS) and the hydrogeological map of the Paris basin, several water tables are present under the treatment area:

- The Saint-Ouen limestone aquifer, whose piezometric level was established at about 16 m deep;
- The Beauchamp sands aquifer, the piezometric level of which was established at about 24 m deep.

According to the groundwater quality monitoring campaigns carried out in 2012 and 2013, the water levels at the site were recorded between 15.7 and 16.4 m deep in the limestone water table of Saint-Ouen. Due to the location of the site in a bend of the Seine, 2 km north-west and south-east of the site, the flow direction is variable, with a very low hydraulic gradient.



2.3 Contaminants of concern

The investigations carried out on the site before the start of the works made it possible to characterize the impact on the right of the area to be decontaminated.

The results summarized below indicated the presence of a tetrachlorethylene impact (PCE):

- In soils. This impact mainly concerned surface soils down to a depth of 1 m (contents at the level of the S6B hole of the order of 4.3 mg/kg). The maximum level (6.7 mg/kg) was observed between 4 and 5 m deep at the level of a borehole located at the level of the former product storage area. The vertical extension of the pollution in the soils was not delimited beyond 6 m of depth but the detection of PCE in the groundwater seemed to suggest that this impact had locally migrated towards the groundwater;
- In soil gases at the level of the most superficial horizons between 0 and 5 m deep. The various campaigns carried out had made it possible to measure PCE contents of between 7.5 and 1,435 mg/m³;
- In groundwater in the area of structures located in the area but also on a structure outside the site right-of-way. Studies prior to 2014 revealed PCE contents varying between 3,900 and 8,300 µg/l. According to the groundwater quality monitoring campaigns dating back to 2015 at the site, the PCE contents varied between 100 and 4,100 µg/l. Previous studies had also revealed the presence in small quantities of PCE degradation by-products including trichloroethylene (contents between 0.37 and 8.5 µg/l) and dichloroethylene (content of 4.9 µg/l).



2.4 Regulatory framework

The decontamination work was undertaken with the aim of improving the quality of the underground environment (unsaturated zone) before the construction of residential buildings.

As part of this project, the decontamination objectives initially selected, on the basis of data relating to the state of the available environments, were as follows:

- Partly southeast of its site => Excavation of part of the land. According to the predictive analysis of the residual risks carried out in January 2014 by a consulting firm, the only measurement of excavation of the earth at a depth of 3 m was supposed to make it possible to obtain an admissible residual risk within the framework of the redevelopment project of the site (service provided by SUEZ RR IWS REMEDIATION FRANCE in December 2015).
- Forced extraction of PCE present in the soils and in the gaseous state in the air from the soil between the final excavation slope (-3 m compared to the natural ground) and the roof of the limestone of Saint-Ouen (located approximately 8 m deep). The objective of this operation was not to achieve compatible residual risks (which had already to be reached after the excavation work carried out to a depth of 3 m) but to pursue the elimination of the pollution more in depth, with a view to improving the quality of the environments. The initial objective was to achieve an 80% reduction in the mass content of PCE determined in soil gases before the start of treatment with SVE. To achieve this goal, the SVE treatment was scheduled to work over a period of 3 to 6 months.

3. Pilot-scale application in field

We did not carry out a pilot sizing test prior to the implementation of the soil vapour extraction treatment.



4. Full-scale application

4.1 Extraction system

In view of the environmental, geological and hydrogeological context of the site, to treat the source of soil pollution in the area of the former chemical storage area of the CHIMICOLOR plant at La Garenne Colombes, the choice fell on the implementation of an in situ treatment by SVE. This technique had the most relevant technical and economic interest in meeting the objectives of a rapid improvement in the quality of the subsoil.

The forced extraction of gases from the soil was accomplished using 9 wells implanted up to 6 meters deep from the bottom of the excavation, including 2 m in solid tubes and 4 m in screened tubes.

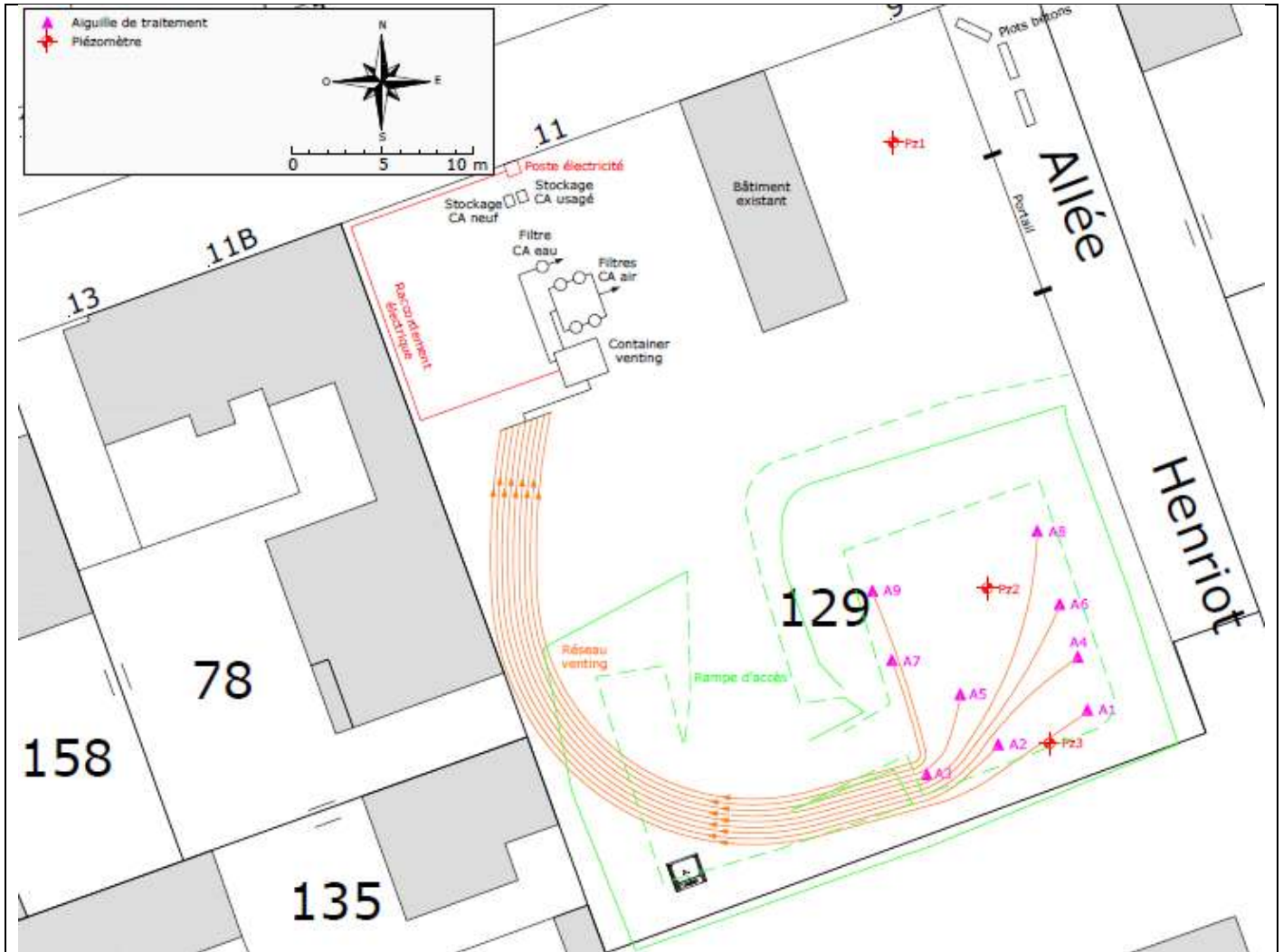
This configuration was determined from the pollution and soil characterization data made available and using sizing assumptions such as:

- The absence of a surface coating (concrete or coated slab) in line with the impacted area;
- A soil permeability estimated at $5 \cdot 10^{-6}$ m/s;
- Unit extraction rates of 2 to 15 m³/h;
- A vacuum at the head of each well less than 150 mbar;
- A provisional treatment period of 6 months.

The unit has been sized so as to be able to ensure a maximum total extraction flow of 660 m³/h for a maximum total depression of 350 mbar, compatible with the assumptions stated above.

The installation of the treatment wells was carried out in such a way as to densify the footprint of the treatment wells in the area of the highest impact (premises for chemical etching, storage of products).

The plan below shows the location of SVE wells and treatment facilities.



Layout plan for wells and facilities



Photograph of SVE treatment facilities



4.3 Radius of influence

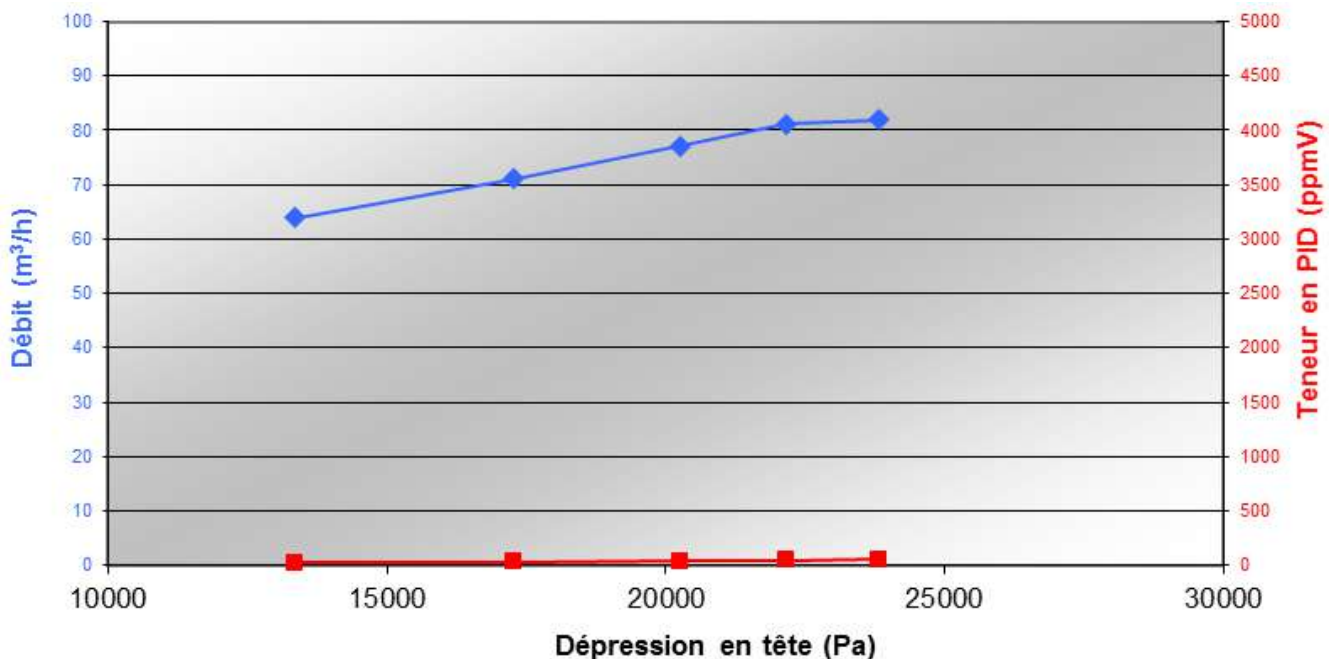
Prior to the commissioning of the treatment, SUEZ RR IWS REMEDIATION FRANCE implemented SVE tests in order to determine the characteristics specific to each well (optimal depression/flow rate) and to estimate the permeability of the unsaturated zone to the areas to be treated and thus determine the radius of influence of each well. These data were intended to confirm the sizing of the installation and optimize its performance.

Two types of SVE tests were carried out:

- Staged tests;
- A so-called "long-term" test carried out for 30 hours.

Staged tests

The objective of a step-by-step test is to determine the optimum vacuum/flow rate pair of the wells. During these tests, the air from the ground was extracted in stages of increasing depressions ranging from 200 to 350 mbar recorded at the level of the extractor. Five successive stages lasting 15 minutes were performed for each hand.



Vacuum/flow and vacuum/VOC content pairs for well A9

During the tests, regular monitoring (every 5 minutes) of the following parameters was



carried out:

- Extractor depression;
- Pressure difference in the flow measurement system (diaphragm device);
- Temperature, humidity and semi-quantitative VOC contents of the extracted gases.

For each well, vacuum/flow and vacuum/VOC content pairs could be determined. By way of example, the figure below corresponds to the depression/flow rate and depression/VOC content pairs measured from well A9.

The extraction flow rate increases steadily, going from 64 Nm³/h for a depression of 13.367 Pa to 81 Nm³/h with a depression of 22.167 Pa. From this last value, and despite an increase depression, the extraction flow hardly increases any more. For 23 833 Pa of depression, the observed flow rate is 82 Nm³/h. An asymptote is then observed. The optimum pressure/flow rate pair of the well is therefore of the order of 80 Nm³/h for a depression applied at the head of the structure of the order of 22.000 Pa. Well A9 is considered to be a productive well.

The semi-quantitative VOC contents in the gases extracted from this well are not very high compared to the other well tested. The minimum measured concentration is 24 ppmv at step 1 and the maximum concentration is 50 ppmv at step 5.

A summary of the measurements carried out at each well during the stepwise tests is presented in the table below. They correspond to the optimal extraction rate associated with a given depression.

Aiguilles	A1	A2	A3	A4	A5	A6	A7	A8	A9
Dépression optimale appliquée à l'ouvrage (mbar)	190	150	200	<140	240	200	190	230	220
Débit d'extraction optimal (Nm³/h)	57	37	44	40	43	36	41	41	81
Teneurs semi-quantitatives PID moyennes (ppmv)	623	429	143	3319	168	335	79	92	37

So-called "long-term" test

The advantage of the "long-term" test is that it can estimate the effective permeability



to air of the soils of the unsaturated zone in line with the zone to be treated. This parameter is essential for determining the radius of influence of each well under operating conditions.

The test was carried out on well A5 which was located in the centre of the area to be treated. The other 8 wells were located between 3.4 and 9.6 m from well A5. A fixed vacuum of 240 mbar was applied for 30 hours from well A5 and semi-quantitative measurements of VOCs and depressions were carried out at close frequency at the start of the test (every 5 minutes) and less frequently by thereafter, on each control well. The defined value of the applied vacuum (240 mbar) was determined by the step test. For well A5, the optimum depression is not known (it is less than 14,000 Pa). On the other hand, at such a depression, we were sure to apply to the well its optimum flow rate estimated at around 40 Nm³/h.

Estimation of effective air permeability

In order to determine the effective permeability to air of the treatment zone (k_a expressed in m² or permeability K expressed in m/s), various analytical solutions (more or less complex) are proposed in the literature. The configuration of the extraction well and the control wells of the area to be treated made it possible to use the adaptation of Dupuit's solution. This simplified relation derived from that for groundwater flow is used to represent the radial flow of air in steady state.

As the adaptation of Dupuit's solution was only valid in a steady state, the test was extended until the differential pressure values were obtained which were stable over time at the level of the control wells.

The calculated effective air permeability is 9.10⁻⁴ m/s. The value obtained is greater than the value used during sizing (5.10⁻⁶ m/s). This difference made it easier to reach the objectives by allowing more air volume to be extracted from the ground than expected.

Estimation of influence radii

By definition, the theoretical influence radius (R1000) of SVE wells corresponds to the radius in which the soil air (pore volume) is renewed at least 1000 times per year. The radius of influence depends on several factors including the geometry of the extraction system, the air permeability of the soil, the water content of the soil and the type of surface coating. Typically, R1000 can range from 2m (for fine soils) to 30m (for granular soils) for a single extraction well.

It should also be noted that the radii of influence of the wells are greater if the ground surface is waterproof (covered with bitumen or concrete), which is not the case in the treatment area of the CHIMOCOLOR site.

A calculation tool internal to SUEZ RR IWS REMEDIATION FRANCE makes it possible to



determine the estimated permeability values by taking advantage of the adaptation of Dupuit's solution. This same tool makes it possible to predict the extractable flow by considering the permeability value, the characteristics of the tested well (depth, length of the screened interval, etc.) and the depression applied at the head of the well. If the flow rate measured at the end of the long-term test is of the same order of magnitude as the calculated flow rate, then the estimated permeability value can be validated.

The results obtained at the end of the long-term test are presented in the table below.

Work	Applied depression	Estimated permeability	Measured extraction flow	Flow calculated according to permeability
AT 5	240 mbar	9.10^{-4} m/s	107.4 Nm ³ /h	168.1 m ³ /h

The permeability value estimated during the long-term test is consistent with regard to the nature of the soils (sands, marls, limestone).

The flow calculated from the permeability estimate is greater than the measured extraction flow (approximately 60 m³/h). The geology of the soils could suggest the presence of preferential flows. They are liable to vary the depressions at the head of wells and the unit flows. In addition, the flow rate of 107.4 m³/h measured during the "long-term" test is also greater than the flow rate of 43 m³/h measured on well A5 during the step tests. These two measured flow rates show the high productivity of well A5 and are much higher than the unit flow rates taken into account for the sizing (between 2 and 15 m³/h), which goes in the direction of better efficiency of the treatment.

The permeability thus obtained makes it possible to estimate the radius of influence of each well under operating conditions.

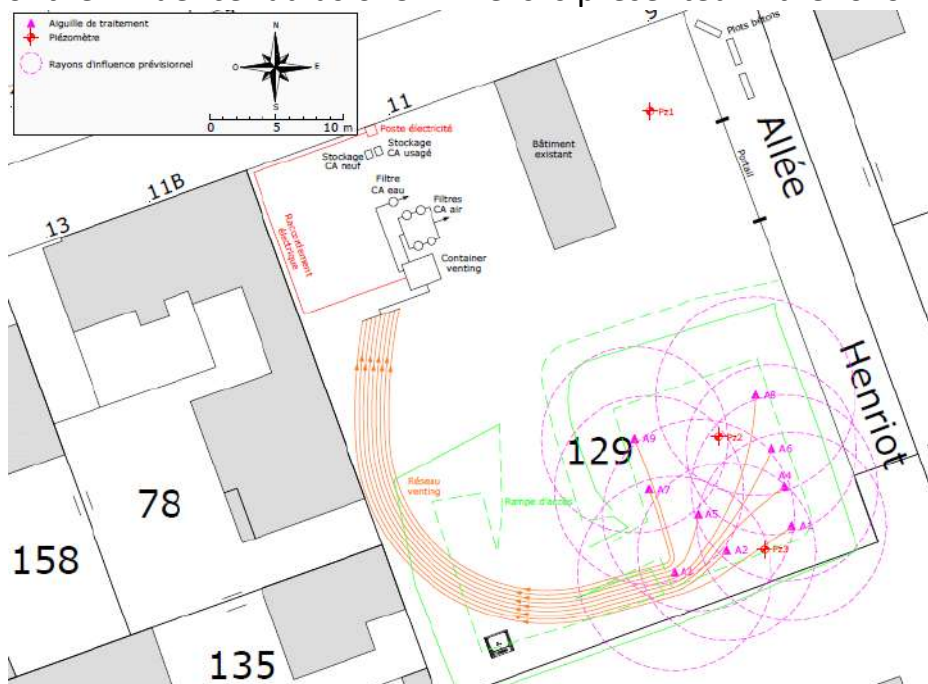
The table below compiles the values of the influence radius obtained under operating conditions of the SVE treatment.

Summary of the radius of influence calculated under operating conditions

Work	Depression applied at the well head (mbar)	Measured extraction flow (Nm ³ /h)	Radius of influence (m)
A1	27.8	29.9	7.1
A2	29.5	24.5	6.7
A3	32.3	33.8	7.3
A4	43.6	28.9	7
AT 5	28.2	32.1	7.2
A6	41.4	21.3	6.4
A7	36.5	31.0	7.1
AT 8	27.8	36.5	7.5
A9	27.6	28.5	7

The radius of influence obtained from the long-term test and the first operating data are between 6.4 and 7.5 m. Knowing that the maximum distance between two wells is 5 m, the calculated radius make it possible to validate the dimensioning of the SVE well network (number and positioning), namely a total coverage of the area of 250 m² in the south-eastern area of the site.

The mapping of the influence radius of SVE wells is presented in the following plan.





4.4 Off gas Treatment

The technical-economic analysis, based on the projected mass balance of the treatment, made it possible to demonstrate that the treatment of the gases extracted on activated carbon was the most economical solution, while allowing a significant reduction in the contents of volatile pollutants.

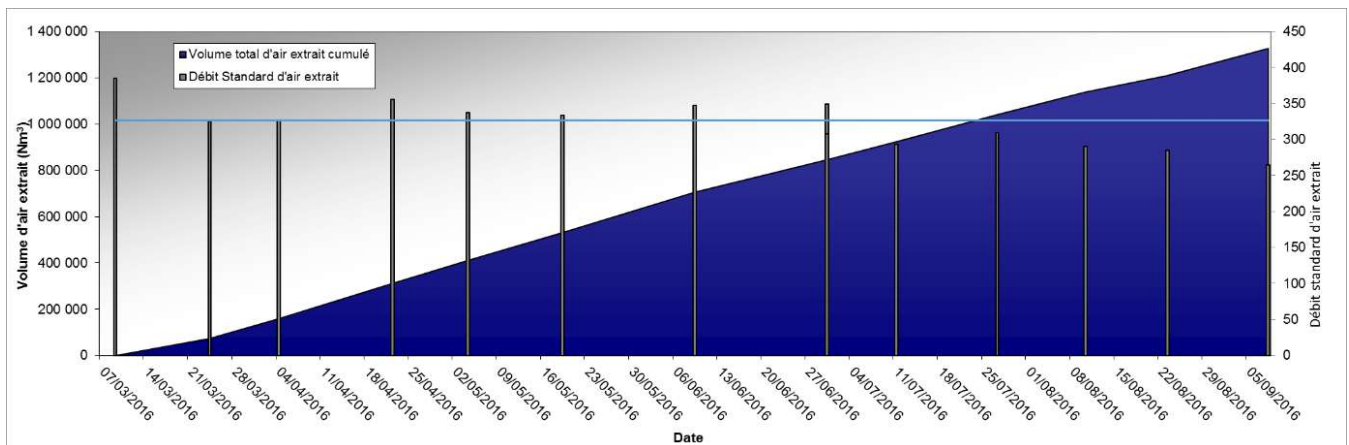
The initial choice of SUEZ RR IWS REMEDIATION FRANCE fell on a filtration line made up of two series of two 200-liter activated carbon filters arranged in parallel and connected in a common outlet (capacity of 80 kg of activated carbon per filter). When the activated carbon from the filters placed at the head reached saturation, said filters were emptied, tipped over at the end of the filtration line and then supplemented with healthy activated carbon. Such a device made it possible to measure the VOCs content in the air flow at the outlet of each barrel in order to effectively control the gaseous discharge into the atmosphere and free us from any exceeding of the limit value. In addition, this gaseous effluent treatment device guaranteed reduced downtime for the installation in order to change the activated carbon.

The contaminated activated carbon was evacuated to an approved treatment channel (hazardous waste storage facility).

4.5 Control parameters

The figure, below, presents in the form of histograms, the air extraction volume flow rates recorded during monitoring as well as the curve representing the evolution of the cumulative volume of extracted air during the period devoted SVE treatment.

Evolution of the extraction volume flow rates of the treatment unit and the total volume of extracted air

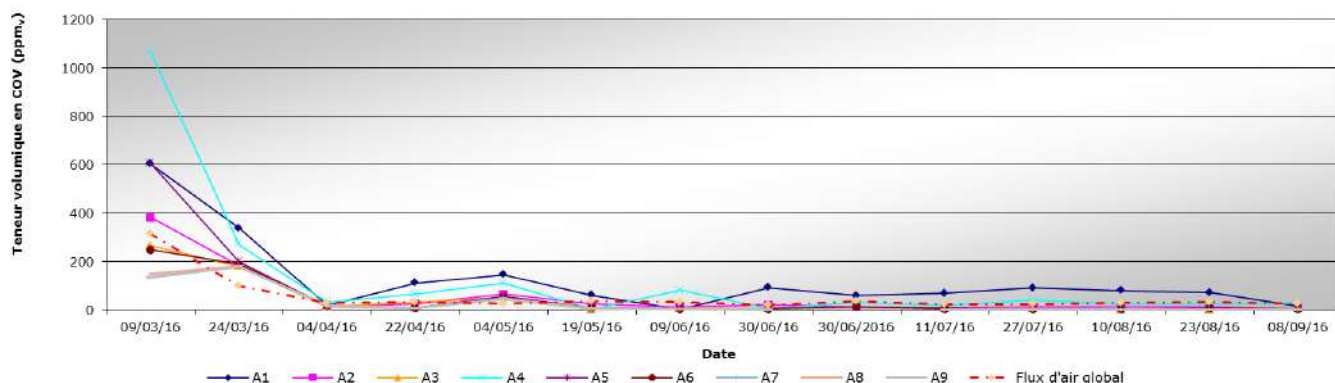


At the end of the operating period of the SVE unit:

- The average volume flow rate of air extraction estimated over the six months of operation is 327 Nm³/h (blue line shown in the figure above);
- The total volume of air extracted from the ground is estimated to be approximately 1,328,000 Nm³.

The figure below shows the evolution of the volume contents of VOCs measured by means of a photo ionization detector (PID) in the air flow extracted from each of the treatment wells as well as in the global air flow input to the unit during the operating period of the SVE treatment.

Evolution of the volume contents of VOCs in the air flow extracted from each treatment well



The volumetric VOC contents remained relatively stable after the significant decrease observed during the first month of treatment. After 6 months of treatment, the extracted air streams exhibited contents ranging between 1.1 ppmv for well A9 and 26.6 ppmv for well A4.

Monthly, air sampling, on a suitable sampling support (activated carbon tube) was carried out at the inlet of the activated carbon filtration device. This sampling made it possible to determine, through the performance of laboratory analyzes, the mass contents of VOCs in the overall air flow extracted from the ground via the treatment wells.

The table below compiles the analytical results obtained from the samples taken during the period devoted to SVE treatment.

Mass content of VOCs in the extract air flow

	09/03/2016	04/04/2016	04/05/2016	09/06/2016	11/07/2016	10/08/2016	08/09/2016
Unité	mg/Nm ³	mg/Nm ³	mg/Nm ³	mg/Nm ³	mg/Nm ³	mg/Nm ³	mg/Nm ³
1,2-dichloroéthane	<SQ	<SQ	<SQ	<SQ	<SQ	<SQ	<SQ
1,1-dichloroéthane	<SQ	<SQ	<SQ	<SQ	<SQ	<SQ	<SQ
cis-1,2-dichloroéthène	<SQ	<SQ	<SQ	<SQ	<SQ	<SQ	<SQ
trans 1,2-dichloroéthylène	<SQ	<SQ	<SQ	<SQ	<SQ	<SQ	<SQ
dichlorométhane	<SQ	<SQ	<SQ	<SQ	<SQ	<SQ	<SQ
1,2-dichloropropane	<SQ	<SQ	<SQ	<SQ	<SQ	<SQ	<SQ
1,3-dichloropropène	<SQ	<SQ	<SQ	<SQ	<SQ	<SQ	<SQ
tétrachloroéthylène	1490,8	193,6	107,4	101,0	66,6	74,2	99,2
tétrachlorométhane	<SQ	<SQ	<SQ	<SQ	<SQ	<SQ	<SQ
1,1,1-trichloroéthane	0,7	0,2	0,1	0,1	0,1	0,1	0,6
trichloroéthylène	2,0	0,3	0,1	0,1	0,1	0,1	0,2
chloroforme	<SQ	<SQ	<SQ	<SQ	<SQ	<SQ	<SQ
chlorure de vinyle	<SQ	<SQ	<SQ	<SQ	<SQ	<SQ	<SQ
hexachlorobutadiène	<SQ	<SQ	<SQ	<SQ	<SQ	<SQ	<SQ
bromoforme	<SQ	<SQ	<SQ	<SQ	<SQ	<SQ	<SQ
TOTAL COHV	1493,5	194,1	107,6	101,2	66,7	74,4	100,0
Teneur PID lors du prélèvement	315,0	32,1	26,0	27,0	28,0	29,0	30,0
Pourcentage d'abattement sur les COHV totaux par rapport au 09/03/2016	NA	87%	93%	93%	96%	95%	93%



<SQ: below the quantification threshold

NA: Not applicable

During the follow-up on September 8, 2016, i.e. before stopping the treatment device, the tetrachlorethylene content (a compound present at 99% in the air flow since the start of the treatment) had significantly increased compared to the levels determined from the samples from July 11 and August 10, 2016.

The total COHV content determined during the monitoring of September 8, 2016 was 100 mg/Nm³ and revealed a reduction percentage of 94% compared to the content measured on March 9, 2016, the day treatment was started.

An indicative value of the total mass of pollutants extracted could be calculated on the basis of analytical monitoring and air volumes extracted from the soil by the SVE system. The calculations only take into account the organic compounds analyzed.

The table below shows the detail of the estimate of the masses of VOCs extracted from the ground, in gaseous form, by the SVE device, on the basis of the data collected from the start of the treatment until its stop, the September 08, 2016. The average concentration over each period was calculated from the two air samples taken at the inlet of the activated carbon filters and limiting the monitoring period.

Mass balance of pollutants extracted from the ground by the SVE device since the start of treatment

Paramètre	Unité	1 ^{er} mois de suivi	2 ^{ème} mois de suivi	3 ^{ème} mois de suivi	4 ^{ème} mois de suivi	5 ^{ème} mois de suivi	6 ^{ème} mois de suivi
		Du 09/03/2016 au 04/04/2016	Du 04/04/2016 au 04/05/2016	Du 04/05/2016 au 09/06/2016	Du 13/06/2016 au 11/07/2016	Du 11/07/2016 au 10/08/2016	Du 10/08/2016 au 08/09/2016
Volume d'air extrait période	Nm ³	158 680	251 512	294 716	217 678	216 489	188 984
Concentration moyenne en COHV sur la période (échantillonnage mensuel)	mg/Nm ³	843,8	150,8	104,4	84,0	70,6	87,2
Masse totale en COHV extraite période	kg	134	38	31	18	14	16
Taux d'extraction journalier	kg/j	5	1	1	1	0,5	0,6
Masse totale extraite cumulée	kg	134	172	203	221	235	251

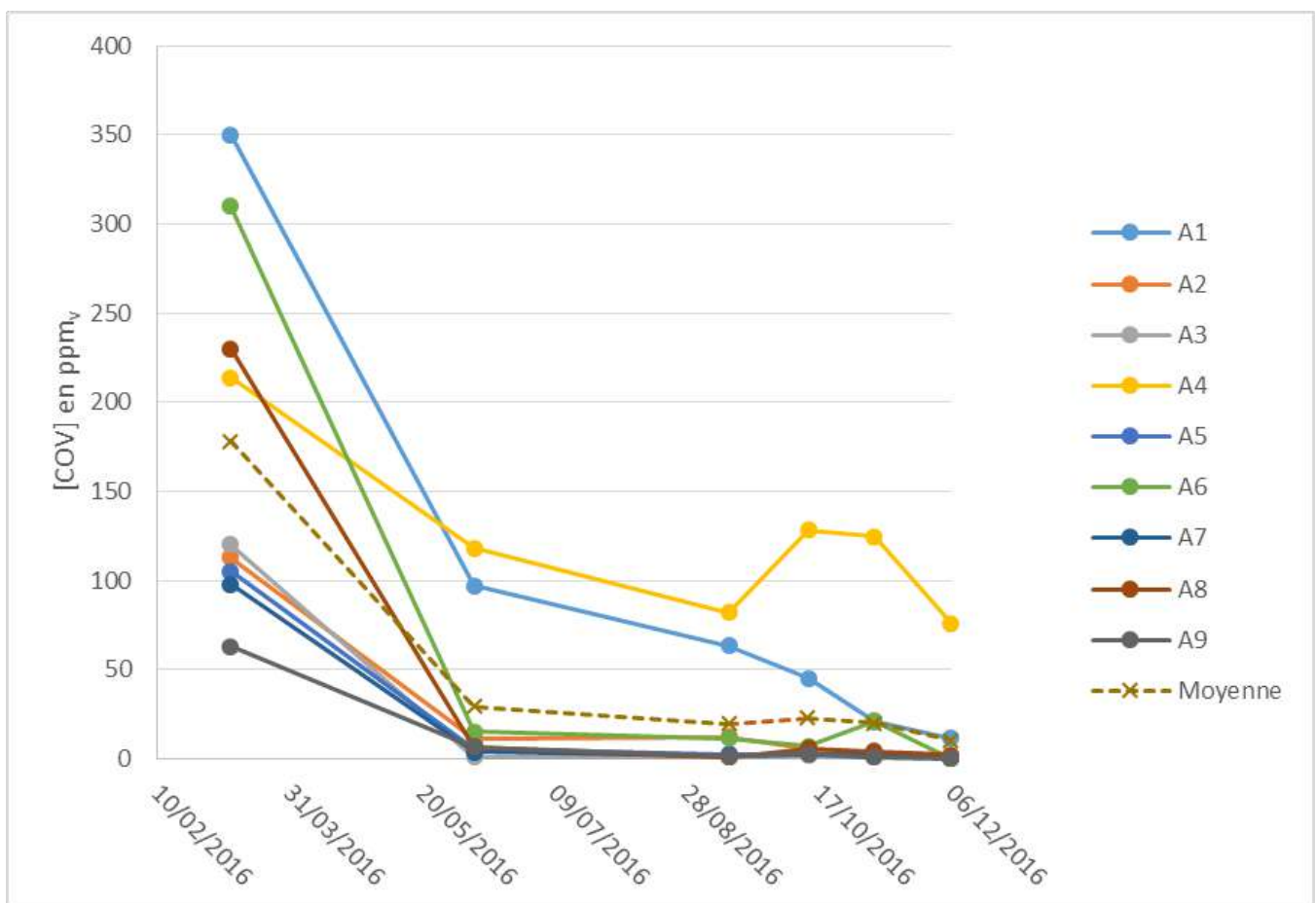
As of September 8, 2016, the date of termination of the SVE treatment system, it is estimated that approximately 251 kg of VOCs were extracted from the soils in gaseous form.

6. Post treatment and/or Long Term Monitoring

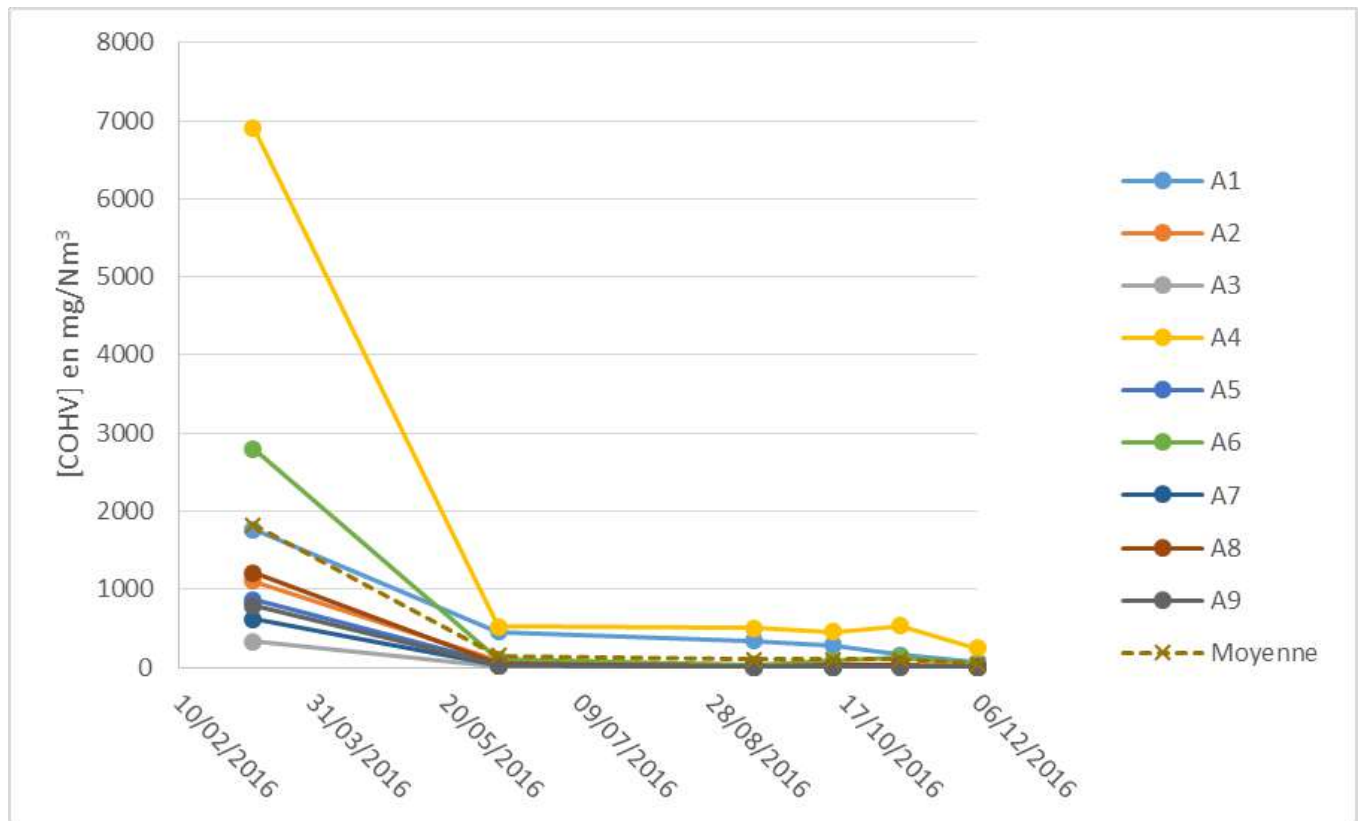
6.1 Post treatment and/or Long Term Monitoring

Following the six months of treatment and in accordance with the acceptance strategy for the decontamination works, a statement of the quality of the soil gases was carried out monthly for 3 months from each treatment well in order to quantify the level of pollution. of soil gases by VOCs and to monitor the possible evolution of the levels, once the device has been shut down.

Evolution of the volume contents of VOCs in static conditions from the initial state (09 March 2016) until the last monitoring campaign of the reception phase (06 December 2016)



Evolution of the VOC mass contents under static conditions from the initial state (09 March 2016) to the last monitoring campaign of the reception phase (06 December 2016)



After 6 months of treatment, the average VOC content in the soil gases sampled from the 9 SVE wells was 108.23 mg/Nm³. This value remains relatively high. Despite everything, in comparison with the value obtained before the start-up of the installations, the reduction rate of the average of the total VOC contents amounts to 94%. The results obtained demonstrated good efficacy of the treatment.

The VOC contents in the soil gases sampled from each of the 9 wells ranged, after 6 months of treatment, between 3.04 mg/Nm³ for well A3 and 507.36 mg/Nm³ for well A4. All the wells exhibited an abatement rate greater than 93%, with the exception of well A1 which exhibited an abatement rate of 81% for a measured concentration of 338.04 mg/Nm³.

The treatment of soil gases by SVE was stopped at the end of the soil gas sampling campaign carried out on September 13, 2016, in accordance with the work acceptance strategy. The operating mode consisted of keeping the installation shut down for a period of 3 months. During this period, and in a manner identical to the samples taken



during the initial state and after 3 and 6 months of treatment, soil gas samples at the 9 wells were taken and analyzed on a monthly basis.

After 3 months of stopping treatment, the average VOC content in the soil gases sampled from the 9 SVE wells was 42.86 mg/Nm^3 . This value is lower in comparison with the value obtained after stopping treatment, on September 13, 2016 and in comparison with the values obtained after one and two months of stopping, on October 13 and November 7, 2016. In the end, the reduction rate for the average VOC content is 98%, which corresponds to a significant reduction rate, clearly higher than the target (80%). The VOC contents in the soil gases sampled from each of the 9 wells range, after three months of shutdown, between 1.97 mg/Nm^3 for well A9 and 245.04 mg/Nm^3 for well A4. All the wells had an abatement rate greater than 97%.

At the end of the final soil gas quality monitoring campaign carried out on December 6, 2016, tetrachlorethylene still remains the majority compound. We can also note that 1,1,1-trichloroethane was measured in trace amounts at wells A4, A5, A6 and A8. Likewise, trichloroethylene was also measured in trace amounts in the area of wells A1, A4, A5, A6, A8 and A9.

1. Contact details - CASE STUDY: SVE n.9

1.1 Name and Surname	VION Mathieu (Expert at Technical Direction) DEVIC-BASSAGET Boris (Technical Director)
1.2 Country/Jurisdiction	FRANCE
1.3 Organisation	SUEZ RR IWS REMEDIATION FRANCE
1.4 Position	Head Office : 17 rue du Périgord, 69330 Meyzieu (France)
1.5 Duties	Engineer - Expertise department manager
1.6 Email address	mathieu.vion@suez.com ; boris.devic-bassaget@suez.com contact.remediation.europe@suez.com
1.7 Phone number	+33(4)72450222



2. Site background

2.1 History of the site

The site where the SVE clean-up project was carried out is confidential.

The site is located in the Ile-de-France region, in France. The site covers an area of several hectares and corresponds to a multidisciplinary research and innovation centre. The activities carried out concern many fields such as nuclear energy, life sciences, material sciences, climate and environment, technological research and education. The area of the site mainly affected by the presence of VOCs (mainly trichloroethylene – TCE) in the subsoil is located in the extreme south-eastern part of the centre.

2.2 Geological setting

The geological and hydrogeological information collected during the previous studies are reported in the following table.

Geological information	Hydrogeological information
<p>The horizons intersected by the wells on site are successively:</p> <ul style="list-style-type: none"> • a very poorly permeable cover formation, corresponding to plateau silts and grindstone clays, with a thickness of around 12 m; • the Fontainebleau sands, corresponding to very well classified fine sands (particle size of 500 to 600 μm); the thickness of Fontainebleau sands formation is around 50 m; a carbonate and clayey horizon, with a thickness generally between 1 and 2 m, is present in the upper part of the Fontainebleau sands formation, at a depth of the order of 14 to 15 m. 	<p>Aquifers: formation of the Fontainebleau sands</p> <p>Static level: the free surface of the water table is intercepted at a depth of 40 m.</p> <p>Flow direction/gradient: the flow of the groundwater table is directed towards the south</p> <p>Hydrodynamic data: no data is available</p>



2.3 Contaminants of concern

Under the effect of the diffusion within the Fontainebleau sands, which are very permeable to air and which are isolated from the atmosphere by a confining geological layer of a dozen meters thick, a halo of VOCs (mainly trichloroethylene - TCE) was formed within the pore space of the Fontainebleau sands, in the sector of the main source zone identified, that is to say in the extreme south-east of the site.

The TCE halo partially dissolves on contact with groundwater. The plume of VOCs, multi-source and multi-pollutant, affects groundwater at the scale of the site.

Pollution characterization data remain unknown, namely:

- the position of the historical area of solvent infiltration in the subsoil;
- The nature and quantities of the VOCs that have reached the subsoil;
- the nature of the polluting events that led to the infiltration of VOCs into the subsoil.

2.4 Regulatory framework

The main objective of the client is to improve the quality of groundwater and overall improve the quality of the underground environment, with a view to reducing the sources of pollution of the underground environment in accordance with the French national methodology for the rehabilitation of sites and soils polluted.

To achieve this, the client commissioned the company SUEZ RR IWS REMEDIATION FRANCE to carry out the forced extraction of TCE present in the gaseous state in the air from the soil between 15 and 40 m deep, within the Fontainebleau sands formation, in the south-eastern part of the site.

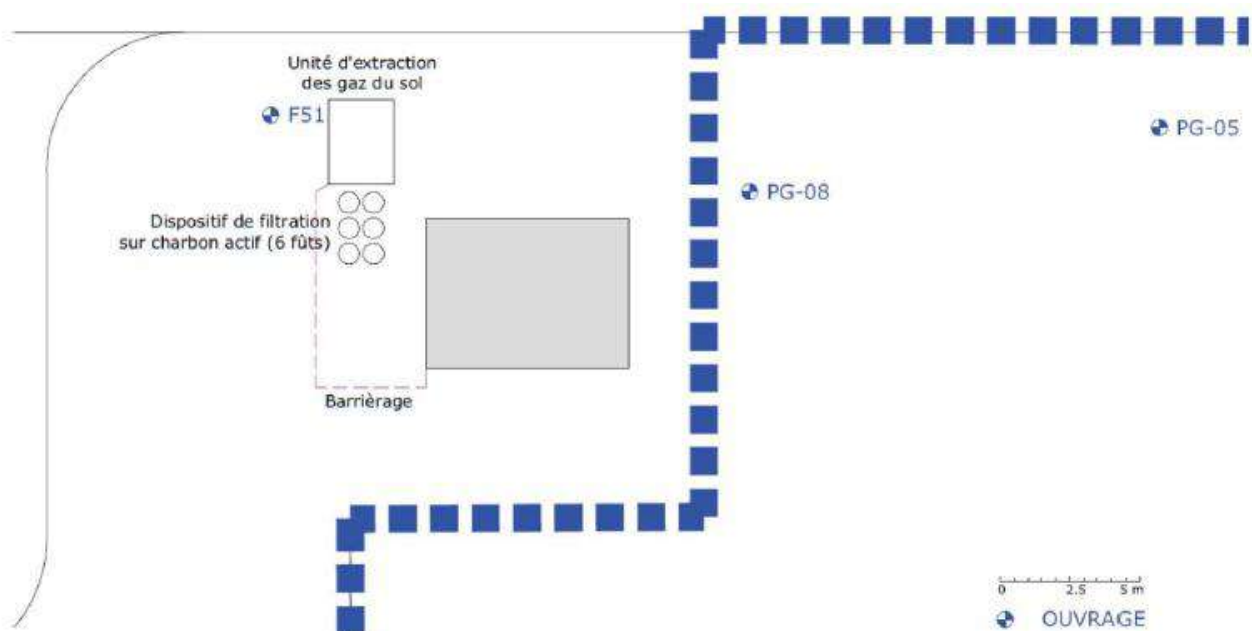
3. Pilot-scale application in field

We did not carry out a pilot sizing test prior to the implementation of the soil vapour extraction treatment.

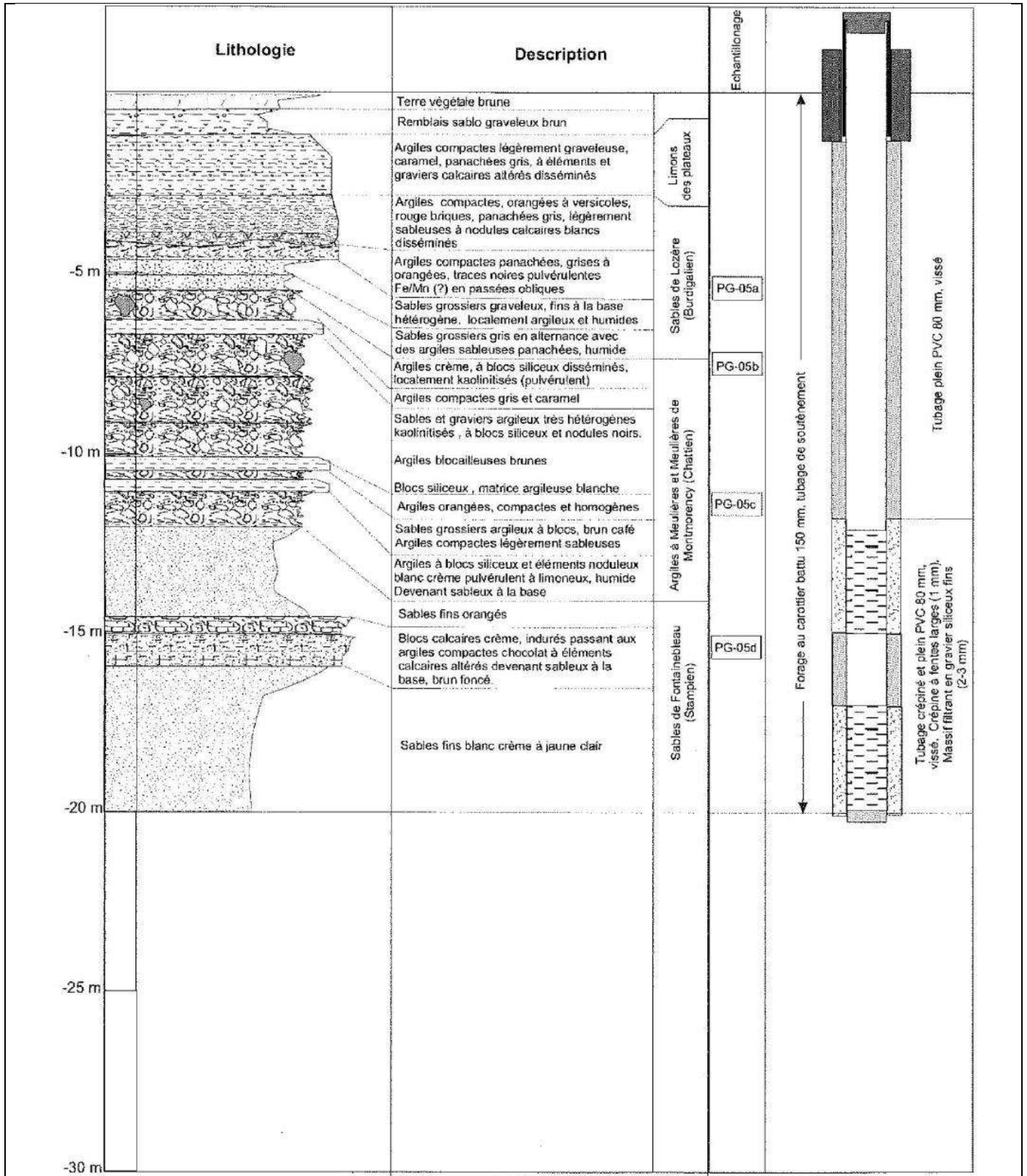
4. Full-scale application

4.1 Extraction system

The forced extraction of gases from the ground was accomplished from the three wells named F51, PG-05 and PG-08. These wells are respectively 50 m, 20 m and 30 m deep in relation to the surface. The screened intervals of these wells intercept the Fontainebleau sands. The treatment unit was dimensioned so as to be able to ensure a maximum extraction flow rate per well of the order of 150 to 200 m³/hour. In addition, given the configuration of the screened intervals of the PG-05 and PG-08 wells, SUEZ RR IWS REMEDIATION FRANCE has provided specific plugs and wellheads in order to selectively extract gases from the soil in the Fontainebleau sands formation overlying or underlying the carbonate and clay horizon generally intersected between 14 and 16 m deep.



Layout plan for wells and facilities



Geological and technical section of the PG-05 well



4.3 Radius of influence

We did not determine the radius of influence of the treatment wells in the context of this project.



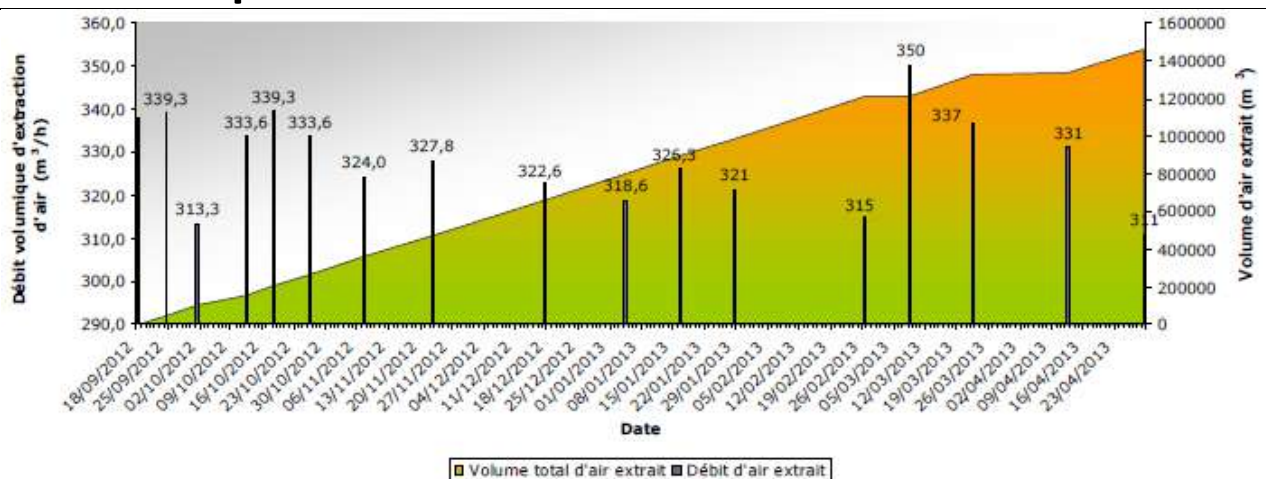
4.4 Off gas Treatment

The technical-economic analysis, based on the forecast mass balance of the treatment, has shown that the treatment of gases extracted on activated carbon is the most economical solution, while allowing a significant reduction in the content of volatile pollutants.

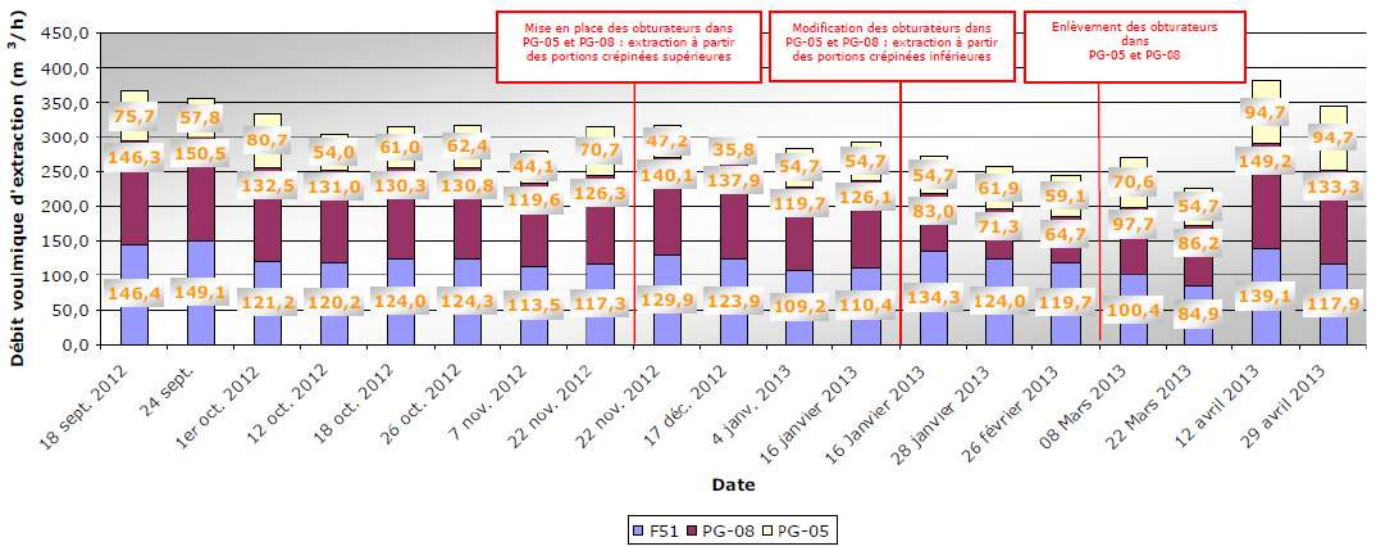
The choice of SUEZ RR IWS REMEDIATION FRANCE fell on two parallel filtration lines, each of the lines being made up of three 200-liter activated carbon filters arranged in series (capacity of 75 kg of activated carbon per filter). When the activated carbons from the two drums placed at the head reached saturation, said drums were emptied, tipped at the end of their respective filtration line and then supplemented with healthy activated carbons. The soiled activated carbons were packaged in big bags. Each big-bag will be completed with 400 to 600 kg of activated carbon.

The VOC content in the air flow at the outlet of each drum has been measured to effectively control the gaseous discharge to the atmosphere and to avoid any exceeding of the discharge criteria.

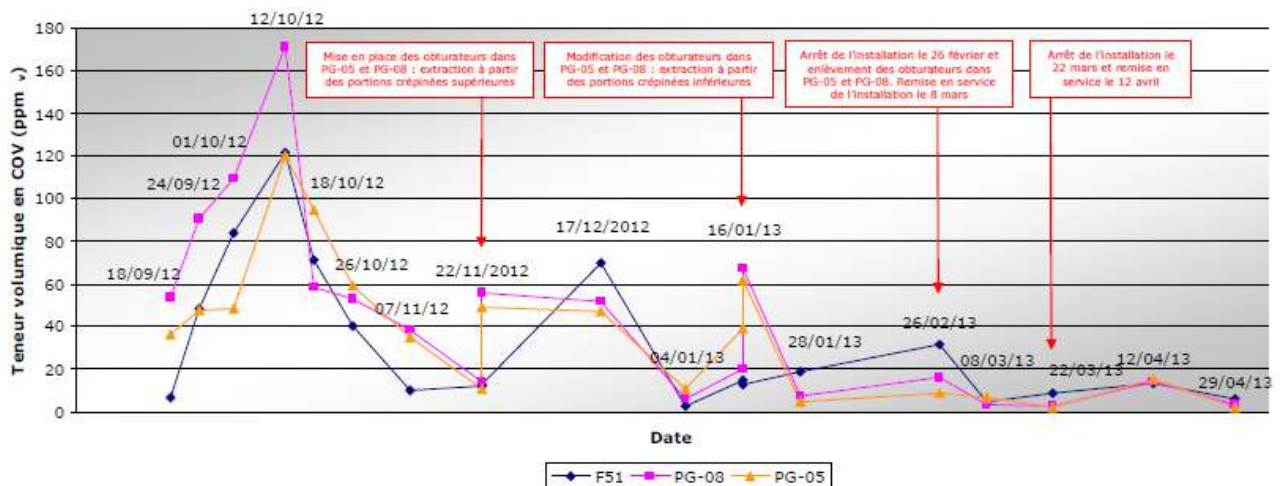
4.5 Control parameters



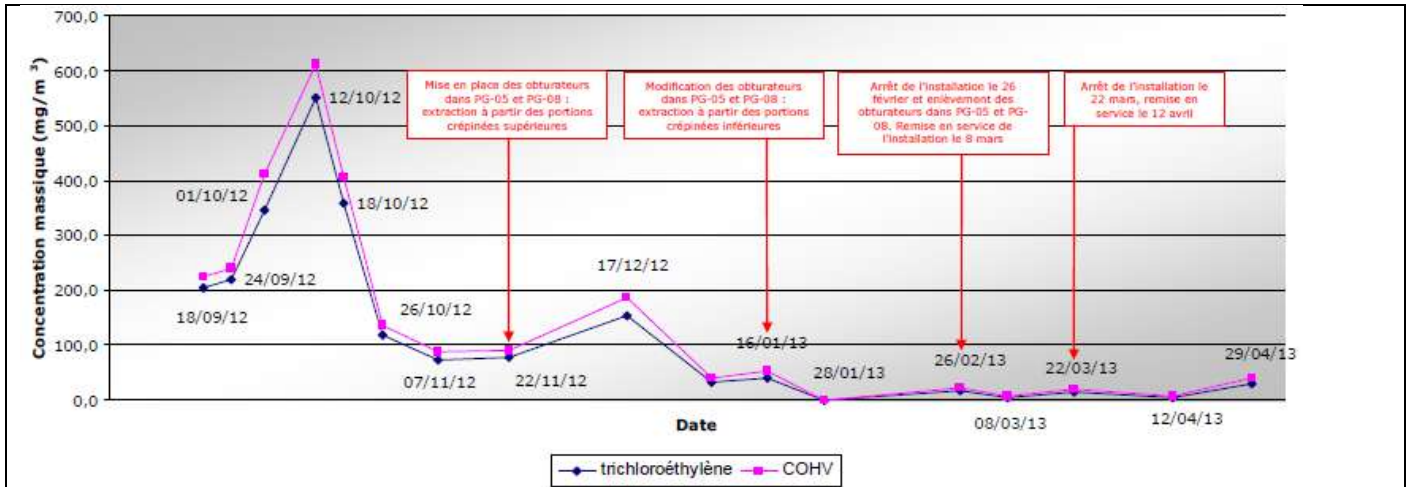
Evolution of the extraction volume flow of the treatment unit and the total volume of air extracted from the ground



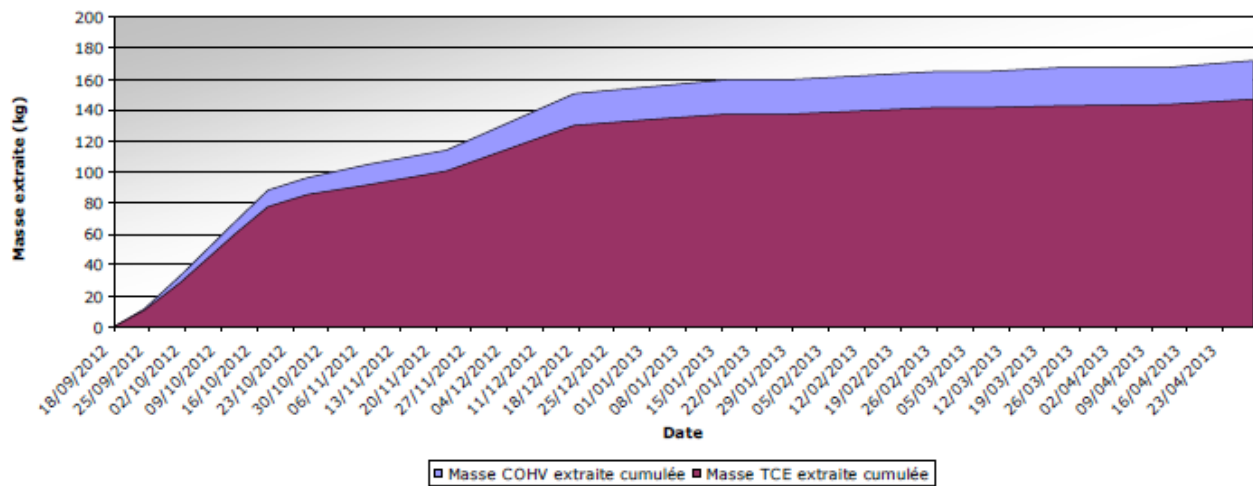
Evolution of the air extraction volume flow of each treatment well



Evolution of the volume contents of VOCs in the air flow extracted from each treatment well



Evolution of the mass content of trichlorethylene in the air flow extracted from the ground



Evolution of the masses of VOCs and TCE extracted from the ground by the soil vapor extraction treatment, according to analytical monitoring



5. Enhancements to SVE

5.2 Any other enhancement

Apart from the use of shutters and specially designed well heads during treatment for the PG-05 and PG-08 wells (as a reminder, in order to carry out a selective extraction of gases from the soil in the Fontainebleau sands formation overlying or underlying the carbonate and clay horizon generally intersected between 14 and 16 m deep), SUEZ RR IWS REMEDIATION FRANCE has not implemented other improvements to the SVE system.

7. Additional information

7.1 Lesson learnt

Controlled project, without particular constraints to be met. The SVE treatment made it possible to achieve the asymptote of recovery of TCE in the horizon of the Fontainebleau sands. The client did not communicate to SUEZ RR IWS REMEDIATION FRANCE the analytical results from the groundwater monitoring but had nevertheless shared the information that the quality of the groundwater at the level of the piezometer located directly downstream of the treatment zone was improved.

1. Contact details - CASE STUDY: SVE n.10

1.1 Name and Surname	Simone De Fazio ¹ – Corrado Thea ²
1.2 Country/Jurisdiction	Italy
1.3 Organisation	Golder Associates S.r.l.
1.4 Position	¹ Geologist – ² Environmental engineer
1.5 Duties	Italian Environmental laws (D.Lgs 152/06)
1.6 Email address	sdefazio@golder.it – cthea@golder.it
1.7 Phone number	+39 011 2344200

2. Site background

2.1 History of the site

The Site is an ex industrial plant operating from the '50s to 2009, when it has been re-located because the area has become almost completely residential.

The remediation procedure for the Site started at the beginning of the 2000s, because a facility downstream from the Site was found to be impacted by an incoming chlorinated solvents contamination. Since 2000 soil and groundwater were largely investigated and a remediation activity was performed from 2011 to 2013.

In 2017 pilot tests were undertaken in order to address the PCE contamination detected in soil and groundwater. The selected technologies are Enhanced Reductive Dechlorination for GW and SVE for soil. Due to good results achieved in pilot tests, a full scale remediation was performed at the beginning of 2019 and it's still ongoing.



Site Aerial map with monitoring wells

2.2 Geological setting

Site soil consists of gravel and sand, interbedded with thin layers of sandy silt. The depth to groundwater is approximately 20 meters below ground surface (bgs).







2.3 Contaminants of concern

The main contaminant is tetrachlorethylene (PCE), detected in soil and groundwater. Trichloroethylene (TCE), 1,2 dichlorethylene (1,2-DCE) and Vinyl chloride (VC) are also present, as PCE degradation products.

In soil PCE was detected in concentration of about 1000 mg/kg. PCE in soil gas was up to 4900 mg/m³.

The remediation target for the Site was calculated by a human health risk assessment and for the soil matrixes is a soil gas target (because of the vapour inhalation risk) and it is equal to 110 mg/m³ for PCE, at the sub slab pins installed underneath the building and 2000 mg/m³ at the soil gas probes installed outdoor.

2.4 Regulatory framework

The main environmental law in Italy is the Legislative Decree no. 152/2006 (D.Lgs 152/06) that in Part four, Title fifth sets specific rules for remediation of contaminated sites.

The reference legislation establishes some threshold values (CSC D.Lgs 152/06 and limits DM31/15) for the main contaminants both in soil and groundwater; if during the characterization there are one or more exceedance of threshold values, the site is defined "potentially contaminated", and a human health risk assessment can be developed to estimate the risks deriving from the potential sources of contamination detected on site (defined by the samples with exceedance) and to calculate risk-based site-specific threshold limits (CSR). The legislature also fixes which are the values of acceptable risk for the assessment.

If the estimated risks are lower than acceptable values, the site is defined "not contaminated", and no remediation is needed. If the estimated risks are higher than acceptable values, the site is defined "contaminated", and remediation is needed. The risk based site-specific threshold limits (CSR) are the remediation targets.



3. Pilot-scale application in field

3.1 Extraction system

A SVE pilot test was performed in a not vertical well drilled with a 10° plunge (from vertical), up to 16.5 m bgs, right underneath the underground tank that were the primary contamination source; the screened interval is positioned from 8 m to 16.5 m bgs, to target the residual contamination below the source area as indicated by previous investigations.

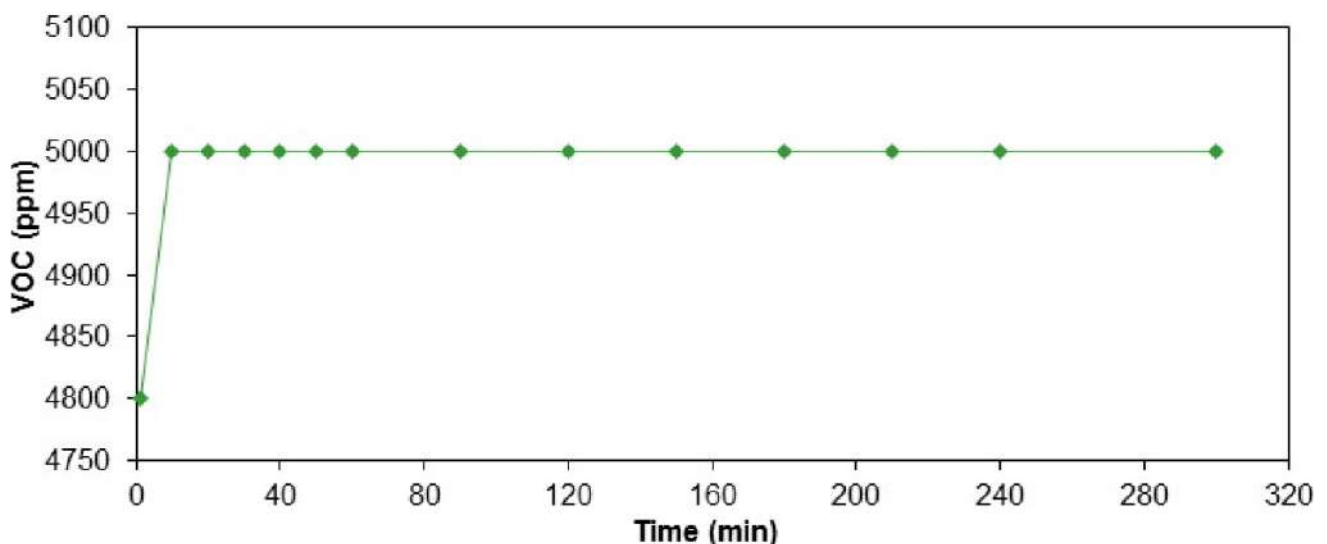
The test was conducted connecting the well (SVEa) to a blower and then applying a vacuum on the extraction well. Vapor flow rate, vacuum and VOC, O₂, CO₂ and CH₄ concentrations were measured in the extraction well and in 4 nearby soil gas probes. A stepped rate test and a constant rate test was conducted on the test well. In the stepped rate test, each step was carried out for 30 minutes, at increasing flow rates (70, 95, 124 and 164 m³/h). During the constant rate test the maximum flow rate (164 m³/h) was used for a longer time (300 minutes).

Vacuum and VOC, O₂, CO₂ and CH₄ concentration measured in soil gas probes was used to assess the Radius of Influence (“ROI”) of the SVE.

3.5 Control parameters

Vapor flow rate, vacuum and VOC, O₂, CO₂ and CH₄ concentrations were measured in the extraction well and in 4 nearby soil gas probes during the test.

In the graph below the VOC measured during the constant rate test. 5000 ppm is the over range value of the field gas detector.



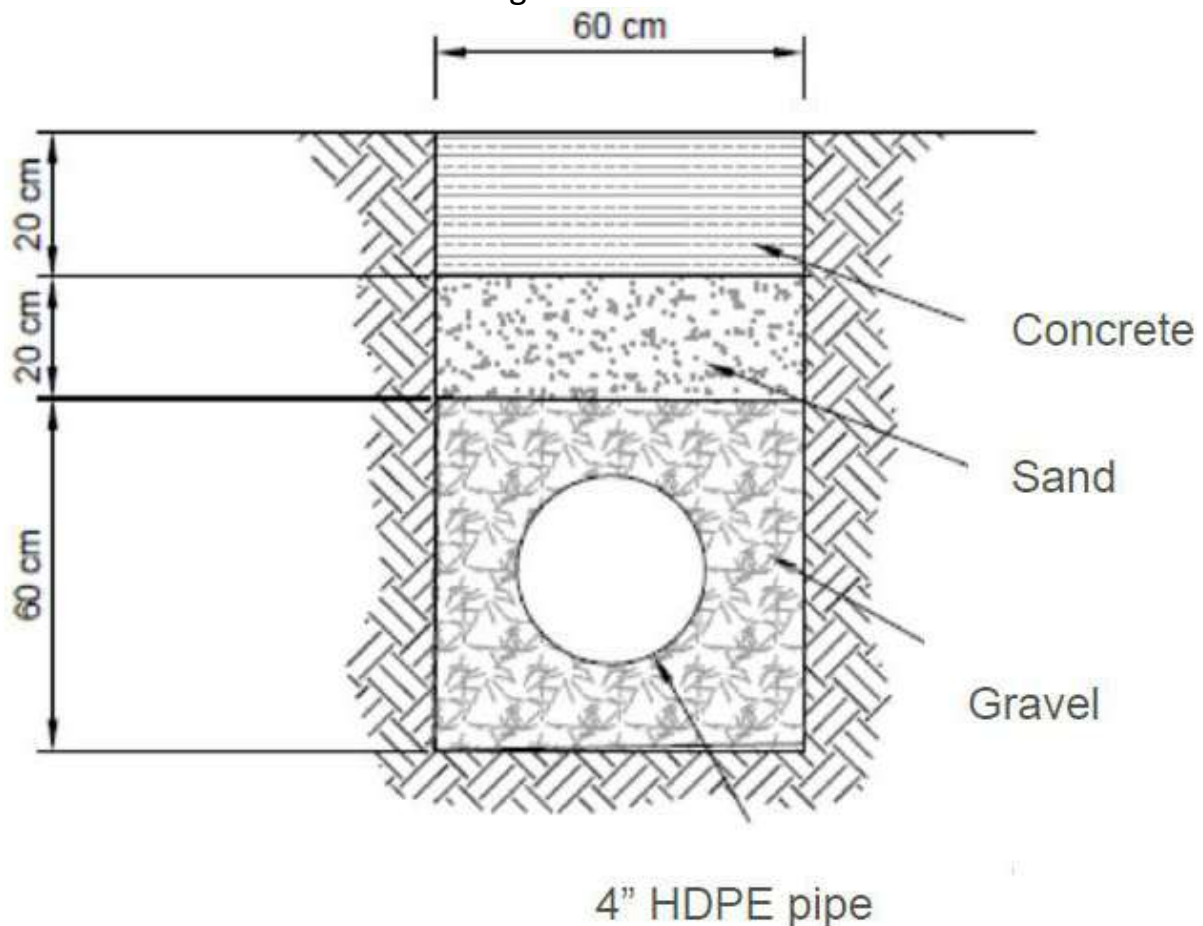
4. Full-scale application

4.1 Extraction system

The SVE system used included the following equipment:

- 1 non vertical well (SVEa), 3" in diameter, 16 m b.g.s. deep, 10° inclination;
- 3 vertical wells (SVEb÷SVEd), 3" in diameter, 9 m b.g.s. deep and located 12.5 m one from the other;
- 3 venting trenches, about 30 m long, located at 1 m bgs under the building basement floor and with a 7 m distance one from the other; each trench is composed by a HDPE pipe, screened, 4" in diameter, draining gravel, a protection sand layer and concrete;
- a blower and related vessels and piping, connected to a vapour treatment unit,
- vapour treatment unit composed of 3 Granular Activated Carbon ("GAC") filters.
- In addition, a HDPE vapour membrane was installed in the basement of the building to prevent subsoil vapour intrusion in the building basement and to increase the effectiveness of SVE action.

The schematic of the extraction venting trench is below.



4.3 Radius of influence

Radius of influence (ROI) was calculated on the basis of induced vacuum and the pilot test results. The extracted flow is different for each extraction well in order to achieve the desired ROI: about 11-14 meters SVEa, about 7 meters SVEb-d.



4.4 Off gas Treatment

Activated carbon adsorption was used to remove all contaminants from the air stream; filters consist in 3 iron tanks, 150 cm high (270 cm with legs), 127 cm diameter, containing 800 kg of GAC each, connected in series.

The replacement of the GAC is scheduled based on the routine monitoring of VOC at the inlet and outlet of the system (see Chapter 4.5).

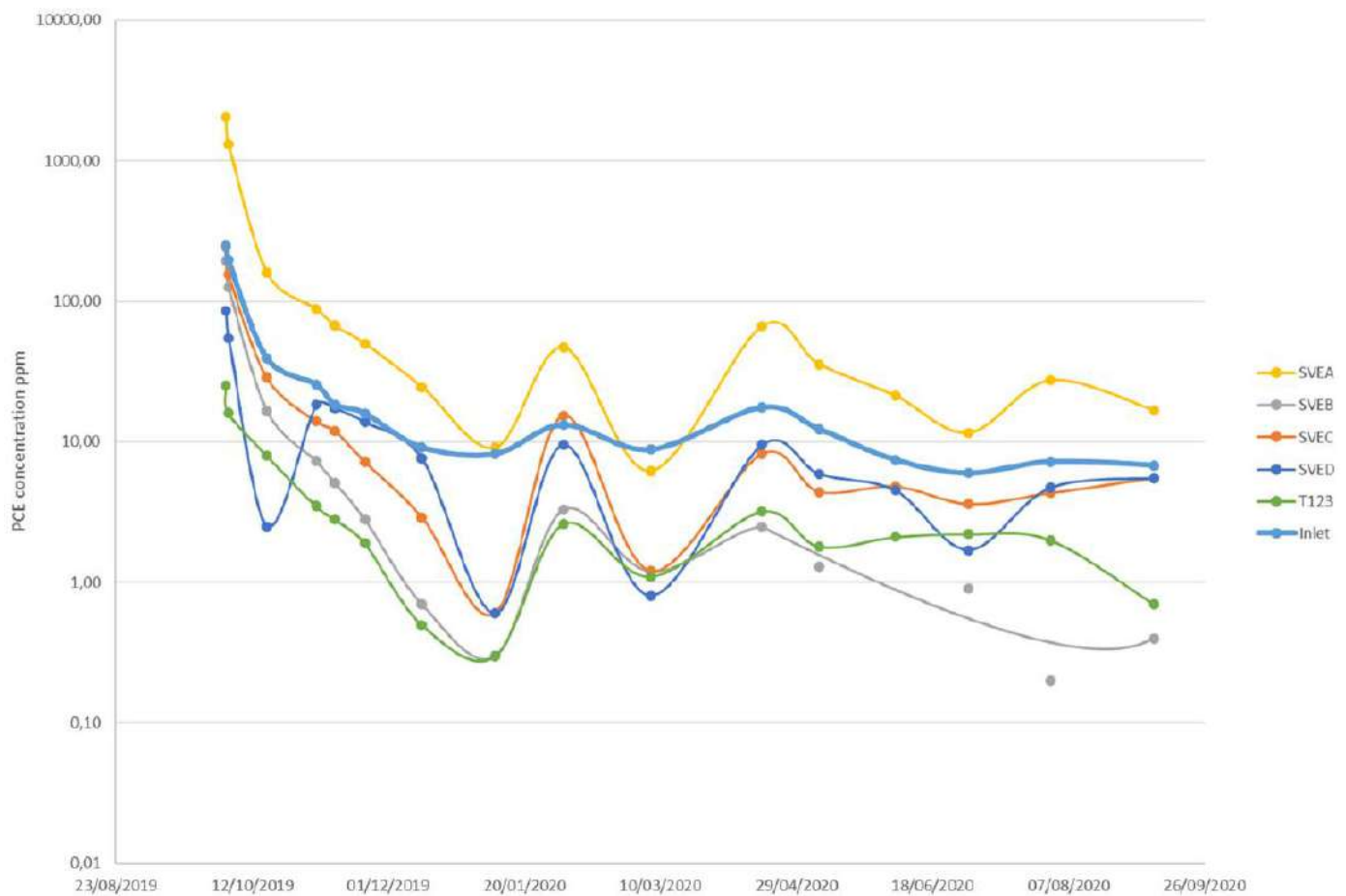
Off gas monthly monitoring at GAC filters outlet showed 0 ppm values over all the operational period, thus confirming the effectiveness of the off-gas treatment.



4.5 Control parameters

In addition, the SVE system has been equipped with a device that allows the continuous remote control of the operating parameters.

The PCE concentration decreased of 1 to 2 order of magnitude after 1 year of operation of the system and now is less than 10 ppm. Soil gas concentrations achieved remediation goal in all monitored soil gas probes.





6. Post treatment and/or Long Term Monitoring

6.1 Post treatment and/or Long Term Monitoring

In compliance with the Remediation Plan, the SVE system was operated for 12 months up to asymptotic concentrations. After the shutdown of the system soil gas and sub slab sampling round was undertaken in order to verify the effectiveness of the SVE operation; further sampling campaigns are planned biannually for 2 years to confirm the reduction of the contaminants concentration in soil gas.

Results of the first soil gas and sub slab sampling undertaken after shutting down the SVE system showed concentrations below detection limits in all samples.

7. Additional information

7.1 Lesson learnt

During the remediation design it was invested in understanding deeply the Site Conceptual Model and in particular the secondary source; thus the remedial action targeted specifically and successfully the impacted source.

1. Contact details - CASE STUDY: SVE n.11

1.1 Name and Surname	Valentina Sammartino Calabrese
1.2 Country/Jurisdiction	Italy
1.3 Organisation	ARPA Campania
1.4 Position	Technical Collaborator
1.5 Duties	
1.6 Email address	
1.7 Phone number	

2. Site background

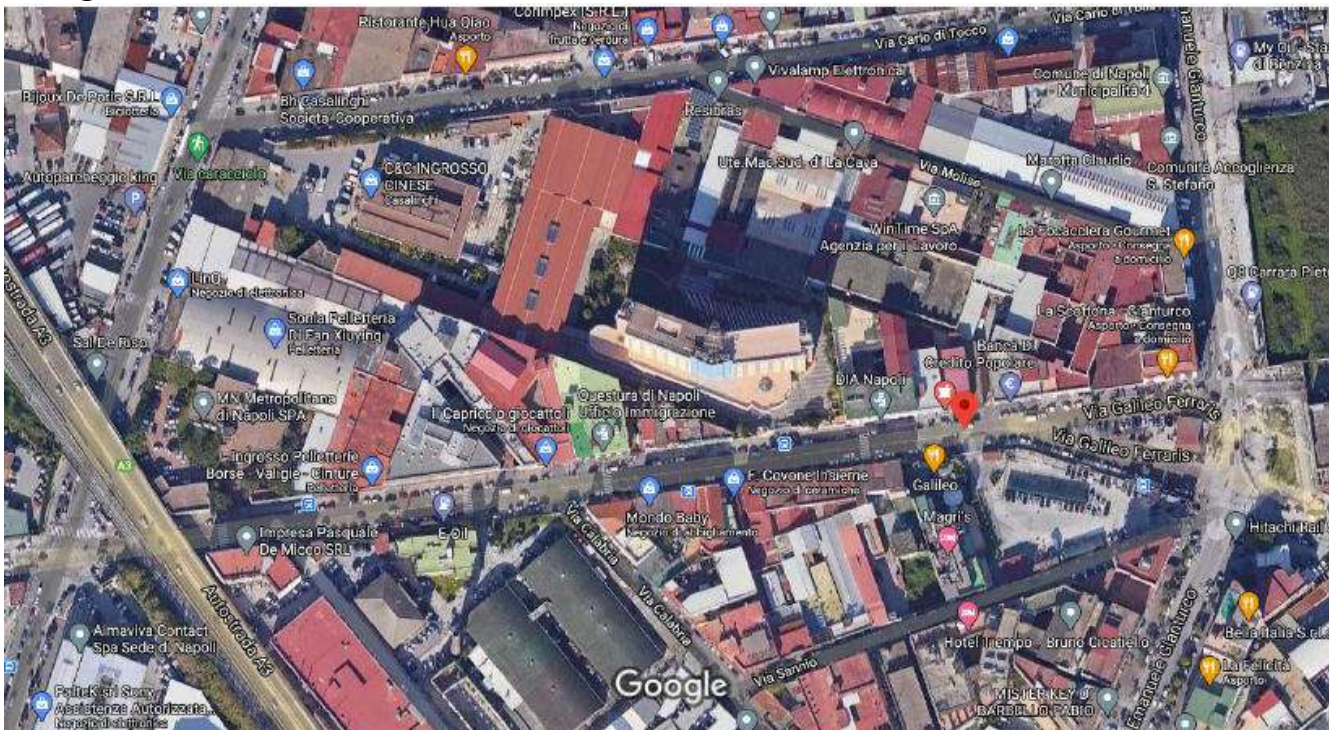
2.1 History of the site

The area is located on the eastern outskirts of the city of Naples, in an area characterized by a high population density and the presence of numerous industrial activities, most of which are abandoned. In particular, there are hydrocarbon management activities, dedicated almost exclusively to storage, as refining activities have now ceased, manufacturing industry, engineering, production of services. The area is located within the Eastern Naples SIN, established in 1998.

There is a protocol for the entire area of the SIN "Program agreement for groundwater remediation" which provides that the P.A. takes over the remediation of the groundwater in place of the responsible parties who adhere to it (once the health risk for workers is excluded).

There are also technical protocols for environmental characterization activities developed by the PA.

In the past, the site was annexed to a large fuel storage area, currently it carries out storage and sale of automotive fuels.





2.2 Geological setting

the stratigraphic structure of the area can be schematized as follows:

- from 0.0 to approx. 2.0 ÷ 3.0 m depth: heterogeneous fill soil, with sandy and gravelly granulometry
- from approx. 2.5 ÷ 3.0m at about 5.0m depth: sandy silt and silt, cohesive
- from 4.0 ÷ 5.0m to 12.0m depth: sand, subjected to a silty level

There is an exchange between the superficial and the deep aquifer with an active underground water circulation. The structure of the aquifer is very complex: the pyroclastic and sedimentary materials that constitute it present continuous granulometric variations both in the areal and vertical sense.

The consequence of the granulometric heterogeneity and the permeability characteristics of the soils present is the difficult identification of low permeability levels with sufficient continuity to divide the aquifer into several distinct layers. The pitch therefore tends to be typed in several levels, corresponding to coarse and variously interconnected materials, but always maintaining a unique character. The current subsidence, in most of the territory under examination, is less than 3-5 m from the ground level.

Contamination affects both the unsaturated and saturated phase of the subsoil.



2.3 Contaminants of concern

SOIL CONTAMINATION CONCENTRATIONS RANGE detected up to 6 meters deep from the ground level:

- Hydrocarbons C <12 400 mg/kg - 6500mg/kg
- Hydrocarbons C > 12 1300 mg/kg - 4600mg/kg
- Benzene 3 mg/kg - 118 mg/kg
- Ethylbenzene 100 mg/kg
- Total Xylenes 80 mg/kg - 400 mg/kg

RANGE OF CONCENTRATIONS CONTAMINATION OF GROUND WATER:

- TOTAL hydrocarbons 600 µg/l - 12000 µg/l
- Benzene 130 µg/l - 900 µg/l
- Toluene 17 µg/l - 2850 µg/l
- Ethylbenzene 100 µg/l - 330 µg/l
- Total xylenes 12 µg/l - 825 µg/l
- MTBE 50 µg/l - 6000 µg/l

2.4 Regulatory framework

D.Lgs. 152/2006



3. Pilot-scale application in field

3.1 Extraction system

Installation of an extraction well and a monitoring well both located within the contaminated area.

Execution of the test, with a portable system assembled for ventilation tests, consisting in:

- a Blower (aspirator) with flameproof execution side channels, being hydrocarbons, with a power of 3 KW, 50 Hz;
- a 200 L activated carbon filter for air;
- Mineral-based activated carbon for air drawn into cylinders with a high degree of activation of the type Chemviron Carbon 207E 4x8 US mesh.
- step test at different air extraction rates, for each of which the monitoring induced depression on wells, concentrations of VOC, CO₂ and O₂, both through the wells monitoring, which exits the system.

The pilot test was conducted by inducing two different, corresponding depressions steps respectively at two different values of extracted air flow rates: the test began with a flow rate Q1 = 450 m³/h and subsequently continued with a flow rate Q2 = 350 m³/h.

3.3 Radius of influence

In order to calculate the radius of influence, the distance at which the vacuum is 10% of the vacuum applied to the extraction well is considered.

3.4 Off gas Treatment

a 200 L activated carbon filter for air: mineral-based activated carbon for air drawn into small cylinders with a high degree of activation of the Chemviron Carbon 207E 4x8 US mesh type.



3.5 Control parameters

A step test was carried out at different air extraction rates, for each of which the depression induced on the monitoring wells, the concentrations of VOC, CO₂ and O₂, both through the monitoring wells, and at the outlet were evaluated. from the system.

The maximum concentration of polluting vapours extracted occurred in the first 30 minutes of the test, beyond which there was a drastic lowering of the same, up to values close to those of the natural subsoil.

With the decrease in extracted flow, a very modest increase in vapours in terms of VOC was observed, certainly not very significant.

The test was interrupted after about 8 hours due to the temporary exhaustion of the polluting load.

A good response of the system was instead obtained from the variation of the oxygen and carbon dioxide levels, which caused a decrease in O₂ and an increase in CO₂. This data indicates a modest but continuous presence and action of indigenous microorganisms, which oxidize organic substances by consuming oxygen and producing water and carbon dioxide.

From the calculations carried out it was possible to evaluate the optimal operating flow rate equal to approximately $Q = 400 \text{ m}^3/\text{h}$, with a radius of influence for each ventilation shaft equal to approximately 12 m.



4. Full-scale application

4.1 Extraction system

The air extraction system (EVS) has provided for n. 3 ventilation shafts of 2 "pushed up to a depth of 3 m, and made up as described below:

- Blower (aspirator) with explosion-proof side channels (being hydrocarbons) with a power of 5.5 KW.
- "water trap" (for condensation of the extracted vapours);
- 200 litres active carbon filter for air;
- n. 3 gate valves to regulate flows and capacities;
- vacuum gauges with scales from 0 to 100 mbar and from 0 to 1000 mbar;
- PVC pipes with high decompression resistance;
- wellhead that can be inspected, with quick couplings, for measuring the gases and depressions induced on each ventilation shaft;
- connection to the blower of the wells with pipes of adequate diameter;
- all the pipes have been conveyed into a regulation barrel with valves for regulating the flows
- dilution valve before entering the blower.

4.3 Radius of influence

In order to calculate the radius of influence, the distance at which the vacuum is 10% of the vacuum applied to the extraction well is considered.



4.4 Off gas Treatment

The vapour treatment system (VOC) includes n. 1 filter containing activated carbon for air based on mineral drawn in cylinders with high degree of activation of the Chemviron Carbon 207E 4x8 US mesh type.

Below is a description with the characteristics of the activated carbon:

- Activation process = Steam;
- Density = 0.46 g/cc;
- Compacted material density = 0.50 g/cc;
- Packaging humidity = 3% by weight;
- Total specific surface (BET method) = 1100 m²/g;
- Ash content = 8% by weight;
- Hardness = 97%;
- Iodine index = 1000 mg/g;
- Carbon tetrachloride index = 60% by weight;
- Benzene index = 35% by weight;

the average concentration of volatile organic substances to be removed is about 1g/m³; the plant has a capacity of 400 m³/h, the total amount of volatile organic substances to be removed is about 400 g/h per hour. Every 100 kg of carbon have an adsorbing power of about 10 kg of organic substance. The abatement system, therefore, consisting of a 600 kg battery of activated carbon, has an autonomy of about 2 months.

4.5 Control parameters

<i>Control</i>	<i>Frequency</i>	<i>Parameters</i>	<i>Point of monitoring</i>
<i>Startup (7-10 days)</i>	<i>daily</i>	<i>Flow</i> <i>Extraction pressure</i> <i>Steam concentration</i>	<i>Extraction well</i> <i>Pipeing</i> <i>Emission</i>
<i>After startup</i>	<i>Every 2 weeks</i>	<i>Flow</i> <i>Extraction pressure</i> <i>Steam concentration</i>	<i>Extraction well</i> <i>Pipeing</i> <i>Emission</i>



6. Post treatment and/or Long Term Monitoring

6.1 Post treatment and/or Long Term Monitoring

In order to verify the dynamics of the remediation process and the proper functioning of the installed system, monitoring/maintenance visits are scheduled on a monthly basis, including the following works:

- General maintenance of plants and calibration of installed systems;
- Replacement and disposal, when necessary, of spent activated carbon;
- Measurement of VOC, CO₂ and O₂ leaving the ventilation system and regulation of induced depressions;
- Sampling of the incoming and outgoing air from the abatement system. Organic substances are analyzed on a quarterly basis for the entire duration of the remediation. The data is developed and processed using specialized software.

Monitoring of the soil gas, after a three-month stop of the EVS, to implement a new risk analysis three years after the start of treatment.

volatile organic substances analyzed: Benzene - Toluene - Ethylbenzene - Xylenes (BTEX), MTBE and total hydrocarbons.

Samples are taken by means of a low flow pump and adsorption on activated carbon vials

7. Additional information

7.1 Lesson learnt

In case of contamination even of the saturated one, a technology that is effective for both matrices (unsaturated and saturated) is preferable

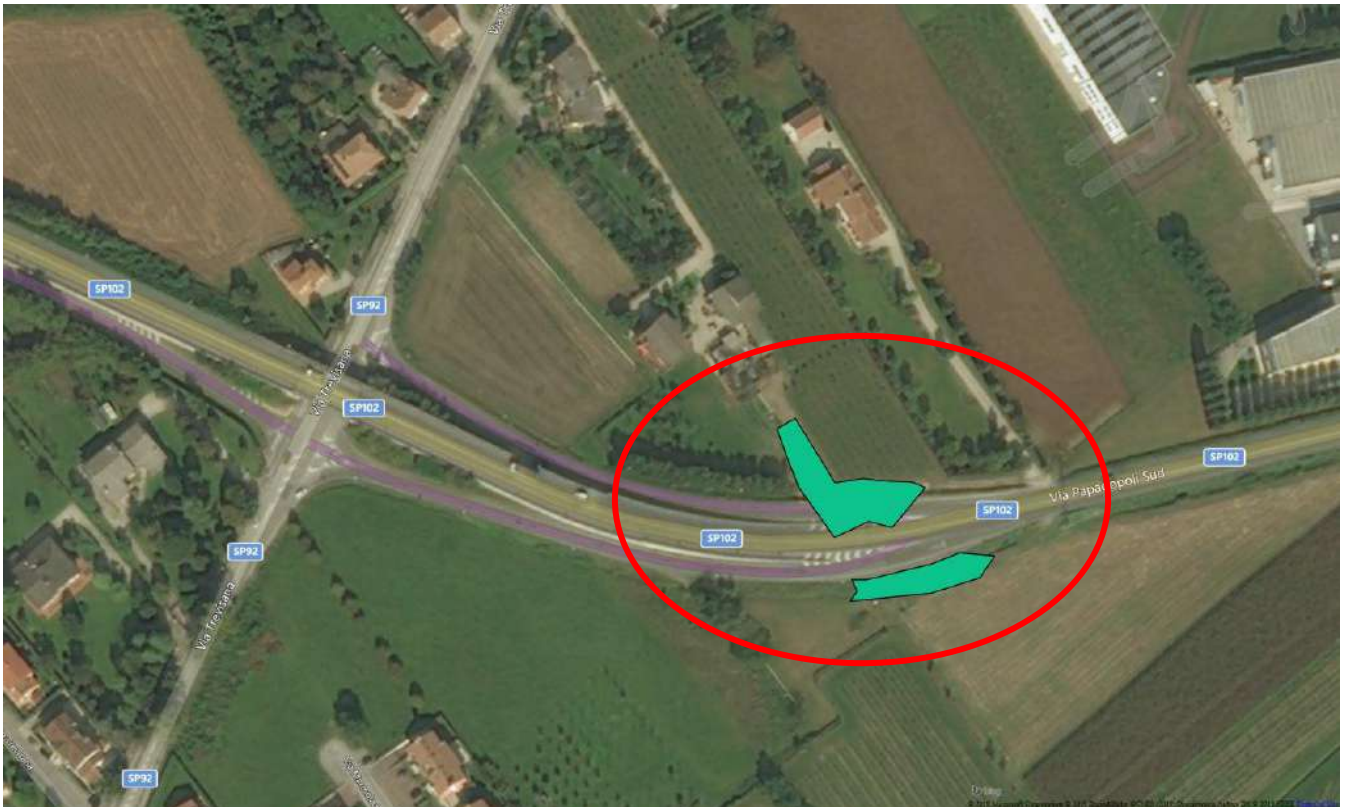
1. Contact details - CASE STUDY: SVE n.12

1.1 Name and Surname	Daniela Fiaccavento
1.2 Country/Jurisdiction	ITALY-VENETO
1.3 Organisation	ARPAV
1.4 Position	Public servant, expertise in soil remediation
1.5 Duties	Evaluation site characterization and remediation projects
1.6 Email address	daniela.fiaccavento@arpa.veneto.it
1.7 Phone number	+39 0422 558504

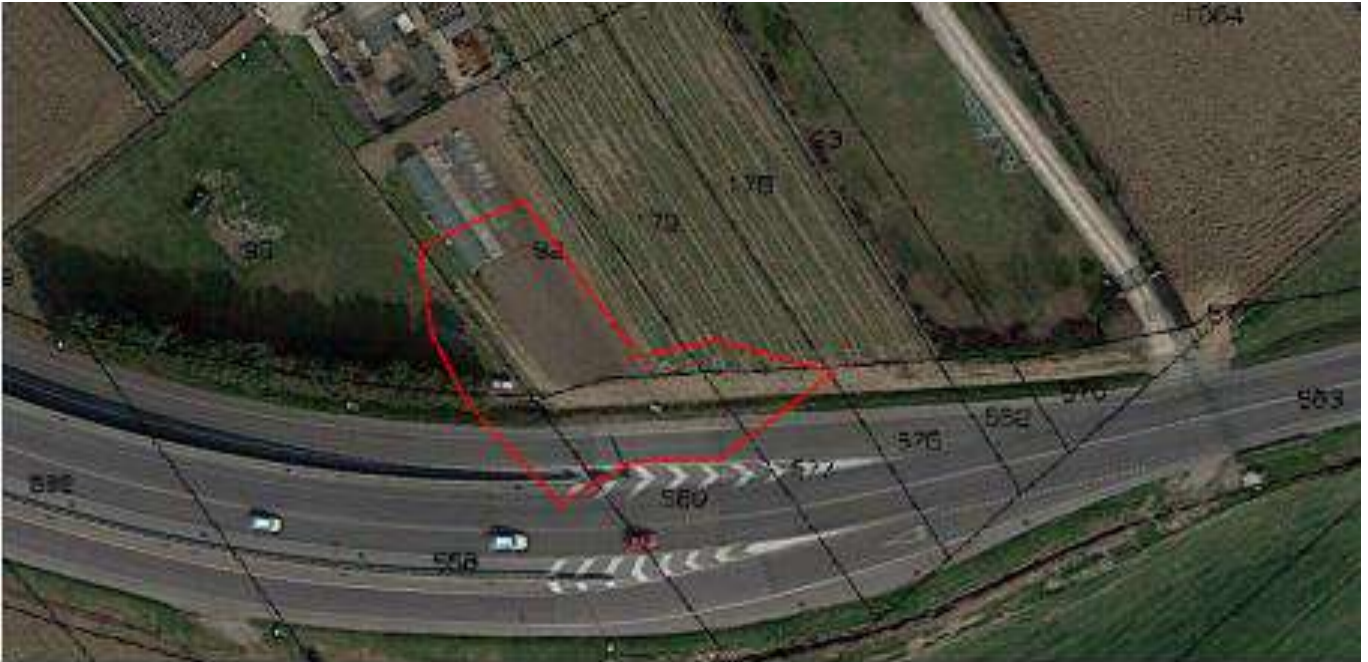
2. Site background

2.1 History of the site

In July 2011, due to a road accident between a little van and a petrol tanker, 8 m³ of unleaded gasoline spilled onto the road, affecting neighbouring land and some stretches of moats adjacent to the road



After the development of the site-specific risk analysis, the contaminated area to be remediated was that shown in the figure below. The area of contaminated soil was around 1000 square meters, 700 in the field and 300 under the road. The subsoil was contaminated up to four meters depth, only in one survey up to 5 meters.

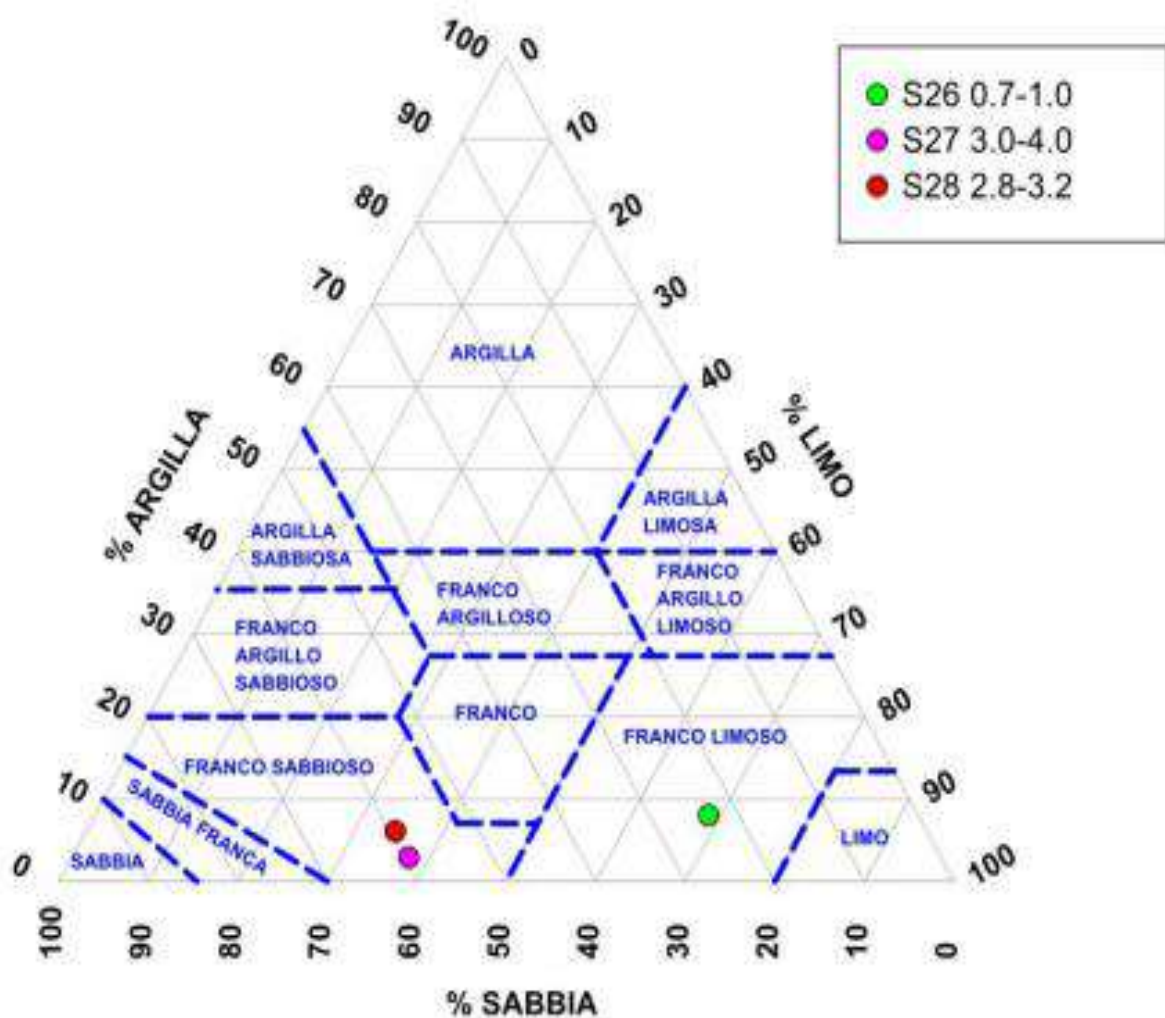


2.2 Geological setting

Under the first 20 centimeters of topsoil, the site presents 2/3 meters of alternation of sandy silts and silty sand and then, till 8 meters depth, fine and medium gravels in a sandy matrix.

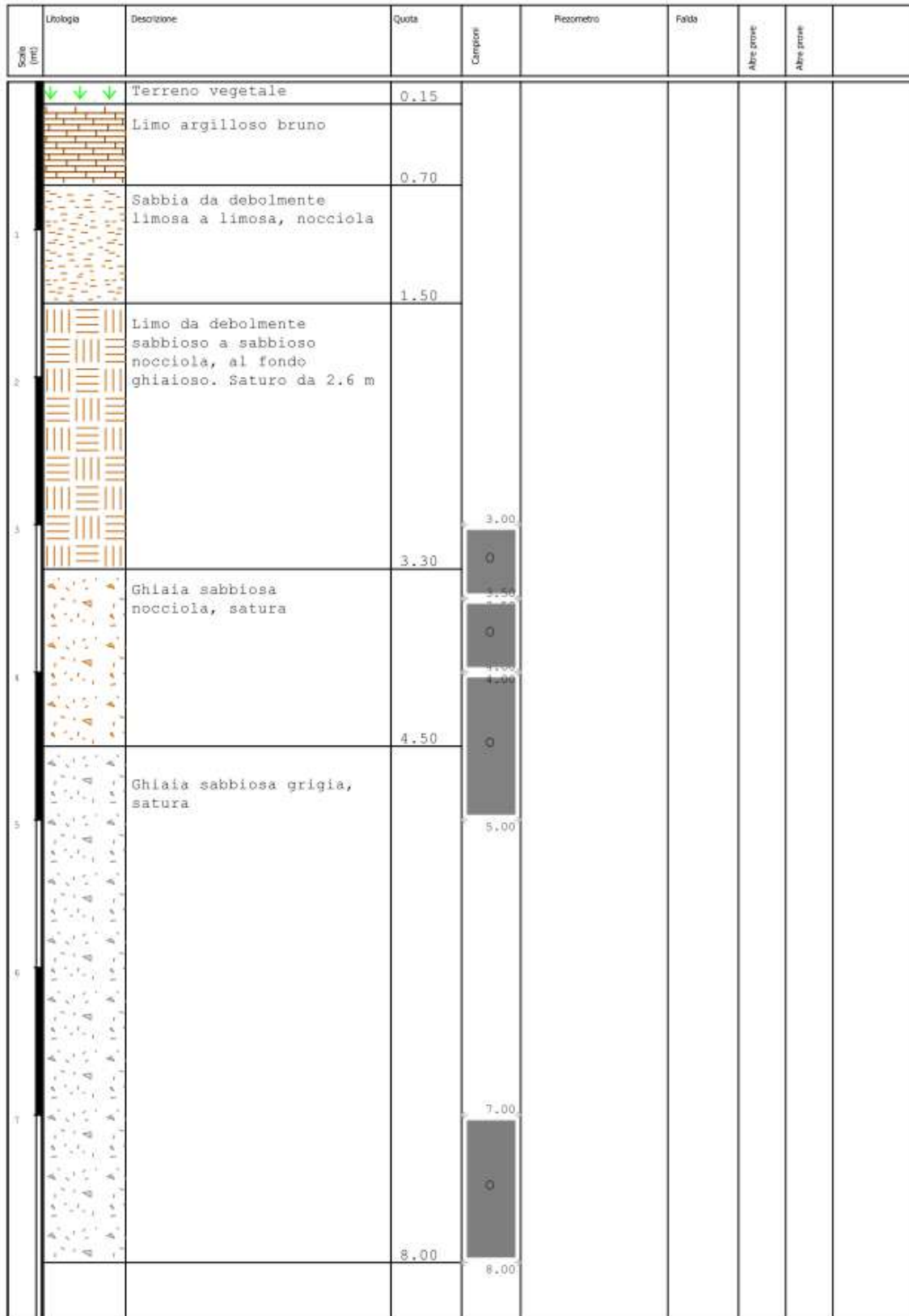
The depth to ground water is approximately 2.5/3.0 meters below ground surface.

Below is reported the Shepard Diagram in which is collocated the types of soil of three surveys at different depth.



Shepard Diagram

In the figure below is reported a stratigraphy of a soil survey.





2.3 Contaminants of concern

Organic Compounds typical of unleaded petrol: benzene, ethylbenzene, toluene, xylene, styrene, MtBE (methylterbutyl ether), also measured in soil gas sampling from well realized in to the subsoil.

In Italy is defined as contaminant also light hydrocarbons (C<12) and heavy Hydrocarbons (C>12), which is specified according to MADEP Method (Aliphatics C5-C8, Aliphatics C9-C12, Aromatics C9-C10 and Aromatics C11-C12 for light Hydrocarbons and Alifatics C13-C18, Alifatics C19-C36 and Aromatics C13-C22 for heavy Hydrocarbons).

In the two tables below are reported The maximum concentration, in mg/kg, for each contaminants of concern, in the surface soil (0÷1 meter deep) and in the subsoil (under 1 meter deep).

Table 1. Max Concentration in surface soil for each CoC

Benzene	Etilbenzene	Stirene	Toluene	Xileni	MTBE	C<12	C>12	CTOT C<>12	ALIFATICI C5-C8	ALIFATICI C9-C18	ALIFATICI C19-C36	AROMATICI C9-C10	AROMATICI C11-C22
8,1	71,0	2,3	169,0	590,0	28,0	3150,0	422,0	3180,3	1619,1	105,5	145,7	1087,7	0,0

Table 2. Max Concentration in subsoil for each CoC

Benzene	Etilbenzene	Stirene	Toluene	Xileni	MTBE	C<12	C>12	CTOT C<>12	ALIFATICI C5-C8	ALIFATICI C9-C18	ALIFATICI C19-C36	AROMATICI C9-C10	AROMATICI C11-C22
14,5	44,1	-	352	519	31,9	4980	37,6	5010,6	3921,4	17,5	29,8	1041,6	0,20



2.4 Regulatory framework

The Italian law provides for remediation of contaminated sites specific targets for urban soil and subsoil, for each contaminants of concern (CSC col. A tab. 1 All. 5 Parte Quarta Titolo V del D. Lgs. n. 152/06).

With the application of a site based risk analysis, whose results have been reported by the company in the specific document approved by the responsible Institution, it has been defined new target levels for soil.

It has been defined target concentrations for each contaminants also in soil gas, to evaluate the performance of the Soil Vapor Extraction plant.

3. Pilot-scale application in field

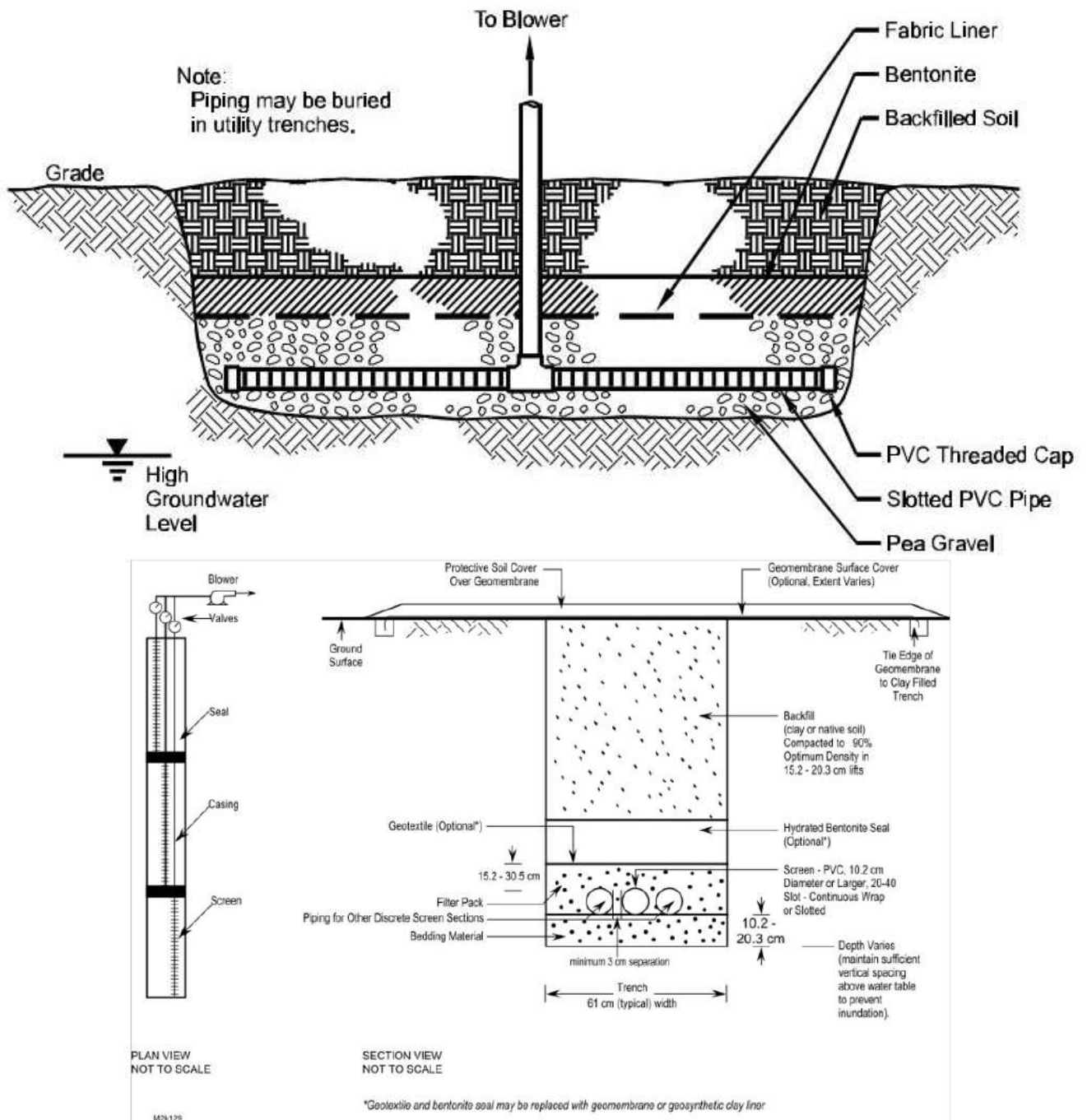
It wasn't realized a pilot scale application before the full scale plant.

Pilot test were realized after the installation of the full scale plant, before its full operation.

4. Full-scale application

4.1 Extraction system

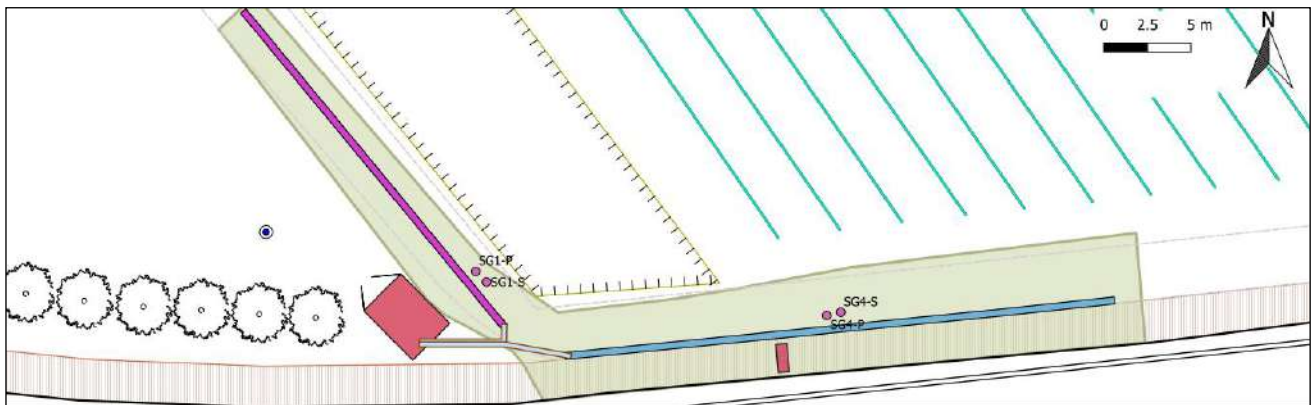
Because of the fact that the ground water was positioned from 2.5 to 3.5 meters of depth, the project of SVE was based on a system of horizontal wells, like in the two figures above.



Typical construction scheme of an horizontal extraction well, view in plan and in section

(from U.S. Army Corps of Engineers, 2002)

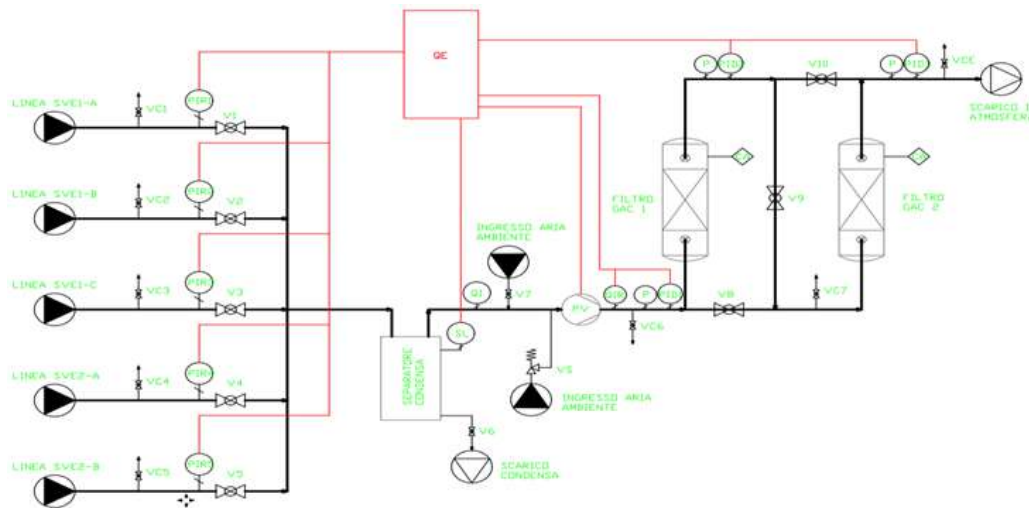
Two horizontal lines were been made, one parallel to the road (line 1), the other orthogonal the road, forward the house (line 2), as shown in the next figure.



In the following table are reported the technical characteristics of the two lines of SVE

	Line 1			Line 2	
width	0.4m			0.4m	
depth	1.1m			1.3m	
length	38m			26m	
Number of sections/extraction wells	3			2	
Denomination of wells	SVE L1A	SVE L1B	SVE L1C	SVE L2A	SVE L2B
Blind section	1m	12m	24m	1m	12m
Screened section	12m	12m	12m	12m	12m

In the figure below is reported the plant scheme, which represents both extraction lines and the off-gas treatment system.



SIMBOLI	DESCRIZIONE
QE	QUADRO ELETTRICO DI ALIMENTAZIONE, CONTROLLO E CAMPIONAMENTO VOC, ALIMENTATO DA LINEA ELETTRICA ESTERNA.
FILTRO GAC 1 E 2	COLONIA A RILAMPIMENTO CON CARBONE ATTIVO GRANULARE PER ARIA.
PV	POMPA A VUOTO DI ASPIRATORE.
VCI - 7	RUBINETTO CAMPIONAMENTO GAS.
VCE	RUBINETTO CAMPIONAMENTO EMISSIONI IN ATMOSFERA.
VI - 10	VALVOLE DI INTERCETTAZIONE.
V5	VAIVOGA DI SICUREZZA.
PIR1-5	MANOMETRO INDICATORE E REGISTRORE CHE INVIA IL SEGNALE ELETTRICO AL QUADRO QE.
P	MANOMETRI INDICATORI.
SL	SENSORE DI LIVELLO ACQUA NEL SEPARATORE DI CONDENSATA CHE INVIA IL SEGNALE ELETTRICO AL QUADRO QE.
QI	FLUSSIMETRI INDICATORE.
QIR	FLUSSOSTATO INDICATORE E REGISTRORE CHE INVIA IL SEGNALE ELETTRICO AL QUADRO QE.
PIG1 - 2	PUNTI DI PRELIEVO GAS PER SENSORE PID POSIZIONATO NEL QUADRO QE.
CA	PUNTO DI CARICO CARBONI ATTIVI.

Once extracted, the contaminated vapor was dealt to a treatment unit, based on activated carbon adsorption (see the section “off-gas treatment”)

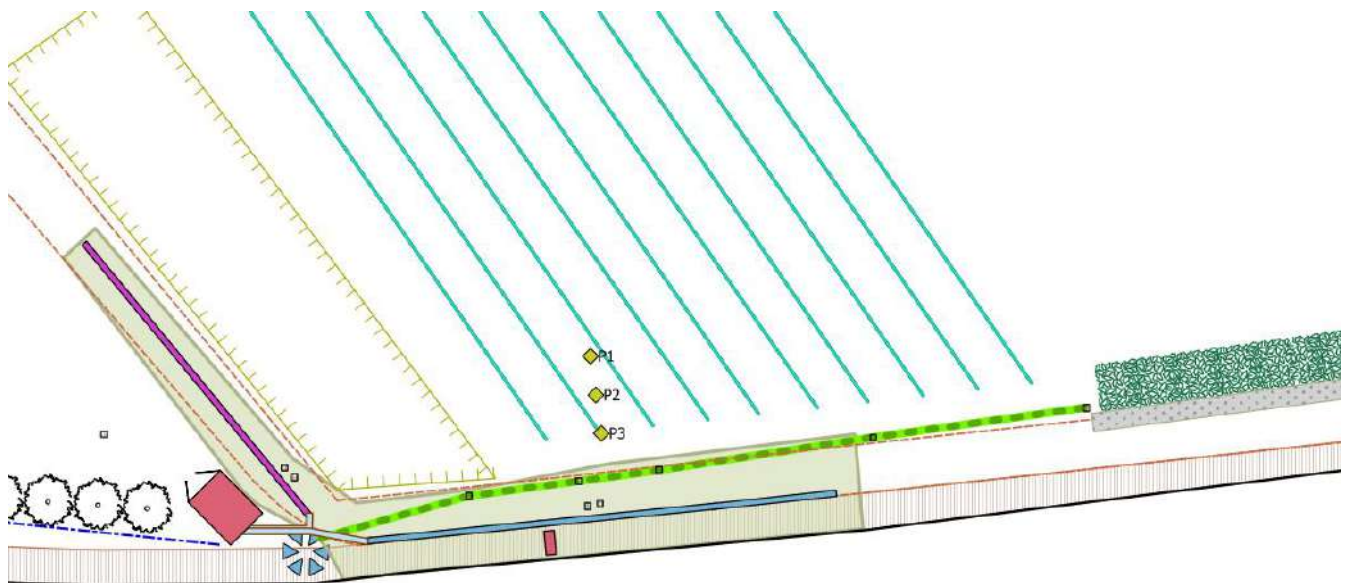
After the beginning test (explained in the following section) SVE system started in January 2018 and was stopped before soil testing, performed in March 2019, even if the target in soil gas concentrations had already been reached in September 2018.

4.3 Radius of influence

The radius of influence were verified directly during the functioning of the plant through the measurement of the depression induced at the edge of the site.

The field test was realized in the following way:

1. installation of high sensitivity differential pressure sensors (± 300 Pa) in three monitoring wells (located like in the following figure) and reset of the instrument (zero adjusted - 0 Pascal);
2. recording of basic value;
3. pump start with all 5 extraction lines open;
4. continuous recording of flow rate and depression values



Location of pilot test wells

It was measured an appreciable induced depression, with a calculated radius of influence (6.5 m and 8.4 m) that in both cases exceeded the intervention distance, equal to 3-4 m, from the axis of extraction lines.



4.4 Off gas Treatment

The vapor treatment unit consists of an activated carbon unit of two modules with a capacity of 250 kg each arranged in series. The details of each module are shown below.

length plates	1.6 m
area plates	1.2 square meter
Air flow	100 mc/h
Air velocity in the filter	1.4 m/s
Contact time	1.2 s

The activated carbon will be of mineral origin, physically activated with steam. Such materials are suitable for air flows with concentrations of about 2000 ppm and have an adsorption yield of about 10%.

Yield of carbon absorption	10%
Amount of coals needed	25,600 kg
Carbon consumption rate	5.5 kg/h
Carbon filter (2+250kg)	500kg
Filter charge duration	3.8 days

In the case in point, the project data to evaluate the duration of the filters is summed below.

Media soil gas concentration	2,500 mg/mc
Extraction flow	100 mc/h
Contaminant flow	0.25 kg/h
Total amount of contaminant to be removed	1,048 kg
Filter charge duration	80 days

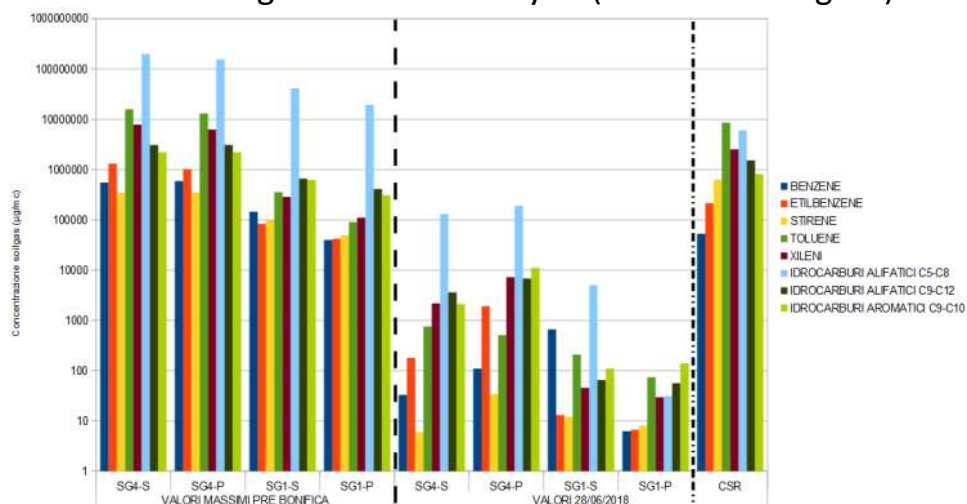
To achieve the target of remediation, it has been used around 2,000 kg of activated carbon.

4.5 Control parameters

In order to continuously monitor emissions within the legal limits provided, it has been installed a continuous control system for the measurement of VOC at the effluent discharge through a PID.

To assess the progress of the remediation, soil vapour samples were collected from four soil gas wells, located near the soil vapour extraction line; the wells were realized in couple, two surface wells (up 1 meter deep) and two wells to monitoring soil gas in the subsoil (up to 2.5 meters deep)

The following figure shows the concentrations in the wells before starting of SVE and after some months of its functioning. The concentrations are also referred to the target concentrations defined through risk based analysis (“CSR” in the figure).



To collect soil gas sample were used stell canister or glasses bottle-vacuum (0.5 or 1 liter) with flow reduction to 50 ml/min. The soil gas chemical analysis were leaded with the MassDEP-APH 2009 method.





6. Post treatment and/or Long Term Monitoring

6.1 Post treatment and/or Long Term Monitoring

In 2018 we led two campaigns of monitoring soil gases from wells, in both cases after turning off the plant to evaluate a possible rebound effect.

Once the achievement of the soil gas target concentration had been verified, test activities on the soils were carried out, realizing four soil probes 5 meters deep. In each sample (five for each probe) it has been verified the achievement of the legal limits for each contaminant of concern.

After this test two other soil gas investigation campaigns were carried out, to confirm that the soil gas targets (concentration limits) have been reached.

7. Additional information

7.1 Lesson learnt

The case study described in this work was the first case in which it has been used a SVE extraction in fine soil (like sandy loam) and with a groundwater near the surface.

So, we found ourselves evaluating another plant solution, compared to other cases, with horizontal wells instead of the “classic” vertical wells.

In addition, unlike what the current legislation provided, reference soil gas concentrations were defined through risk analysis with the aim of assessing the progress of the remediation system.

7.3 Training need

I think that it would be very important to create and maintain a continuous training, not only with webinars and workshops, but also with creation of technical guidelines, and almost with training on-the job and sharing experiences with technicians from other organizations.

7.4 Additional remarks

In this paragraph I describe the experimentation performed in June 2017 to monitor the trend of concentration of contaminants in soil gas. This experimentation wasn't directly connected with the functioning of SVE, but it was carried out to collect more informations about the behaviour of soil gas during a certain observation period.

Going into specifics, the purpose of the experiments was:

- Evaluation of the comparability of different measurement methods
- Evaluation of the temporal variations on a sub-hourly scale of the Cov concentrations in the aeriform matrices
- Evaluation of the relationships and possible differences between surface probe and deep probe
- Possible indications of the possible perturbations induced by the sampling to the state of motion soil gas.

At the first, a high sampling frequency PID was installed in the deep probe, while the pressure differential trend was monitored in the surface probe.

A second Pid, identical to the first, was also installed for the measurement of volatile compounds in a free atmosphere. During this period, two campaign of soil gas samples were carried out, both with vacuum bottle and with dynamic flux chamber (in the figure below).



In the same period it has been installed a micrometeo control unit composed by a:

triaxial ultrasonic anemometer;

- rain gauge;
- thermohygrometer;
- differential pressure sensors

Continuous field measurements and laboratory analyzes of soil gases showed daily variability in concentrations; in addition, if the measurements are made at times favourable to the accumulation of contaminant, the detected concentrations will be higher than at other times of the day.

More details and explanation can be found at the following link

https://www.arpae.it/dettaglio_documento.asp?id=7277&idlivello=1171

These experiments were carried out thanks to Copernico srl (UD), www.copernicon.it the consulting company in the field of remediation of contaminated sites that followed the remediation activities from characterization to testing. The

images, graphics and tables shown in the present questionnaire are taken from the project documents drafted by Copernico.



1. Contact details - CASE STUDY: SVE n.13

1.1 Name and Surname	Aldo Trezzi
1.2 Country/Jurisdiction	Italy
1.3 Organisation	Ramboll Italy S.r.l.
1.4 Position	Principal
1.5 Duties	Aldo has more than 25 years of experience in the management of projects related to water treatment, soil and groundwater characterization and remediation of complex sites
1.6 Email address	atrezzi@ramboll.com
1.7 Phone number	+39-335 423725



2. Site background

2.1 History of the site

Large Industrial Chemical site (more than 100 ha) active since 1901.

Actual main production: Fluorinated Compounds

Historical productions involved large use of CrVI and CHCs, mainly Chloromethanes.

The area of interest for the application of the SVE system is about 7,000 m² and is impacted by mainly Chloromethanes both in the vadose zone and in the saturated zone.

2.2 Geological setting

From 0 to 1-2 m bgl typically is present filling material.

From 1-2 m bgl to 18-20 m bgl the soil consists mainly of gravel with sand and silt.

The depth to ground water is approximately 9 m bgl.

The following images show the geological setting from 0 to 10 m bgl.





2.3 Contaminants of concern

The main compounds of concern are:

- Tetrachloromethane
- Trichloromethane
- Trichlorofluoromethane

Max concentration detected in unsaturated soil:

- Trichloromethane: 23.00 mg/kg

Regarding the unsaturated soil, the only VOC detected in the area was the Trichloromethane, with a concentration of 8.9 mg/kg in the first meter b.g.l., 6.7 mg/kg between 2 and 3 meter b.g.l. and 23 mg/kg between 4.5 and 5.5 meter b.g.l.. Italian law threshold concentration value (CSC) for Trichloromethane is 5 mg/kg, and also the risk concentration value (CSR) defined by the risk analysis for Trichloromethane is 5 mg/kg.

Max concentration detected in the groundwater (2009-2012):

- Tetrachloromethane : 170,000 µg/l
- Trichloromethane: 290,000 µg/l
- Trichlorofluoromethane: 10,000 µg/l

2.4 Regulatory framework

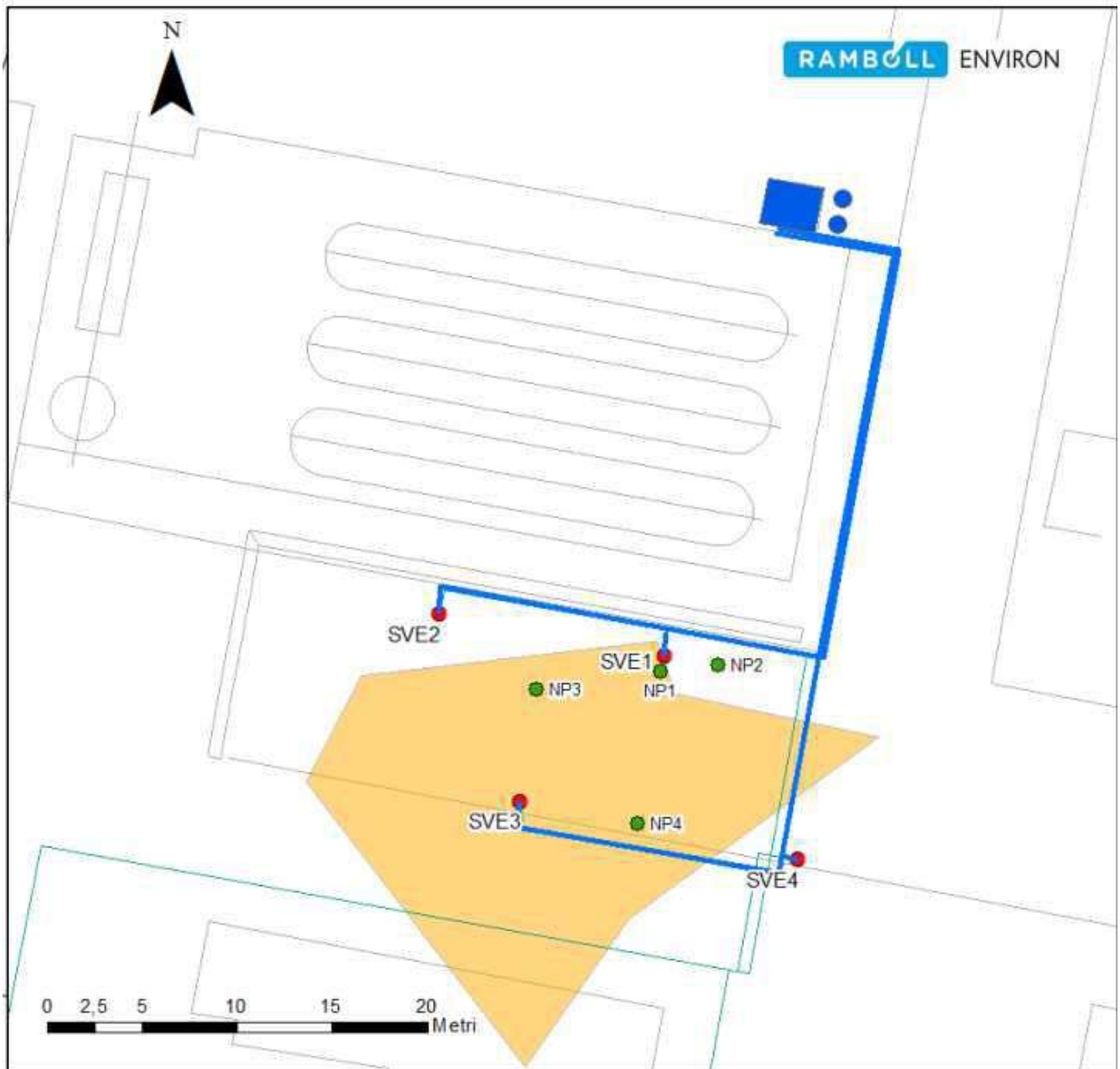
Clean-up goals for soil and groundwater were defined in the Risk Assessment, and are included in the on-going remedial plan, approved in 2012. According to Italian regulation, although the remedial targets are defined on a Risk Assessment basis inside the facility (SSTLs or CSR), groundwater quality at the end of remedial action must comply with regulatory limits (CSC, much more conservative than calculated SSTLs) at the downgradient boundary of the site. Therefore, once reduced the concentration below the CSR for inhalation risk inside the facility, the ultimate clean-up goal for groundwater is to reduce and control the off-site migration.

Nonetheless, scope of the SVE system is to remediate the unsaturated soil: reduce as much as technically possible the presence of VOCs in the soil gas and obtain concentration of the VOC compounds in the soil below the calculated risk concentrations (< CSR).

Other technologies have been applied to remediate the saturated zone.

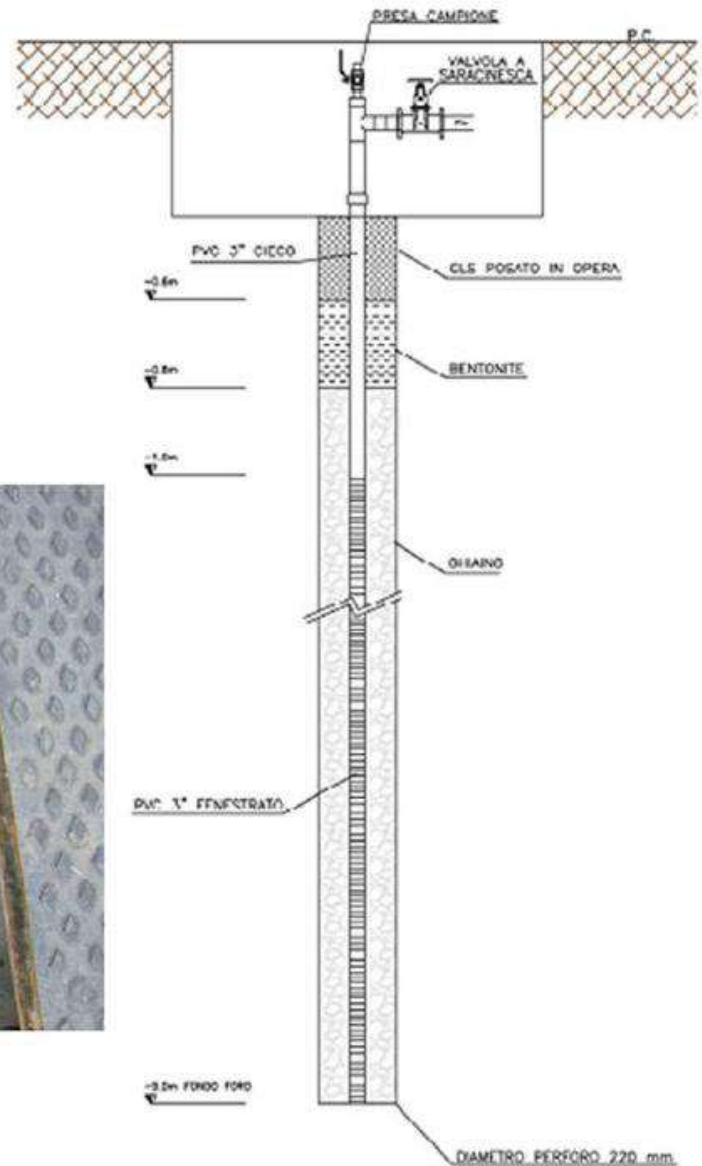
3. Pilot-scale application in field

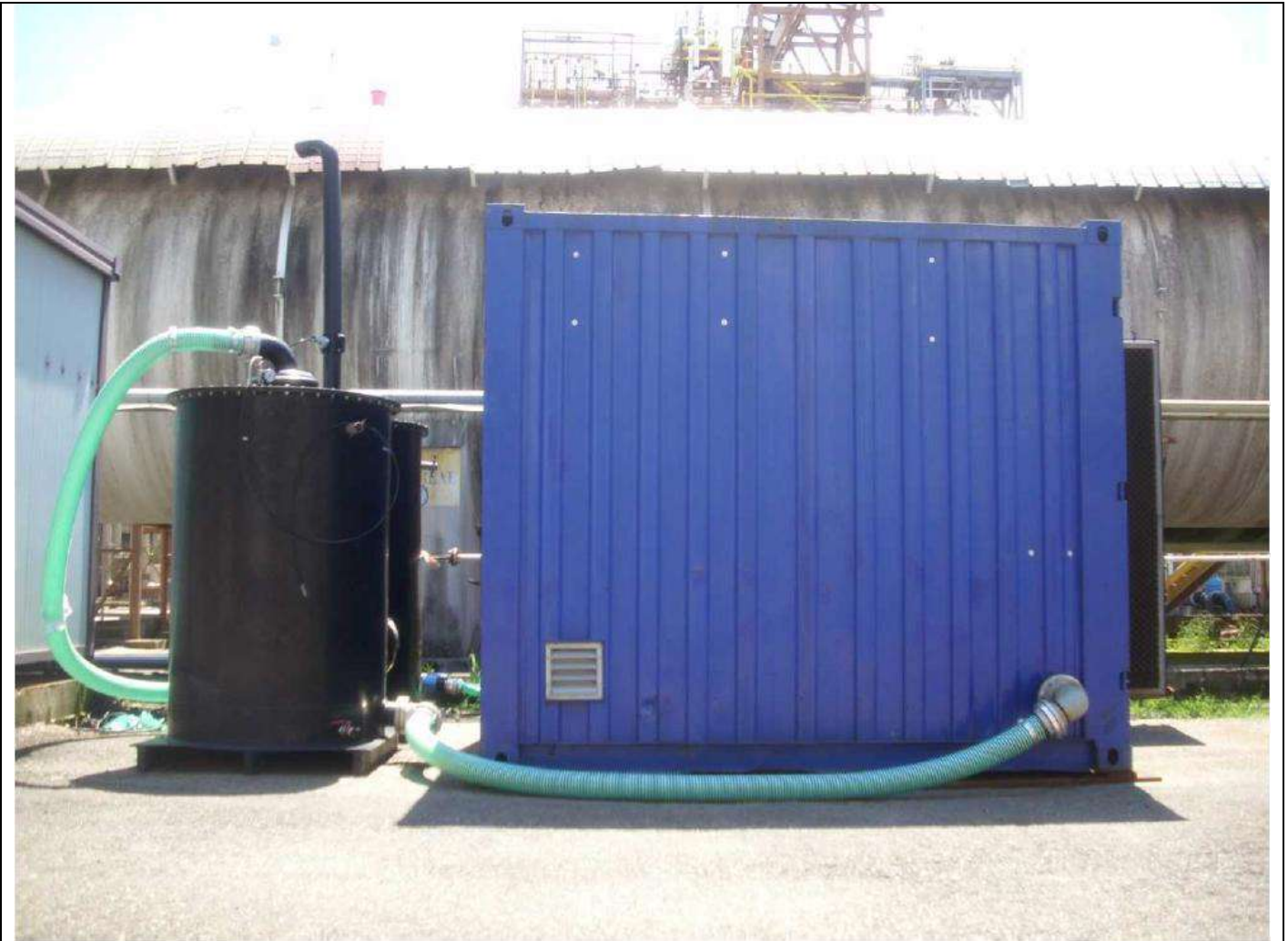
3.1 Extraction system



Before the installation of the full scale system, a pilot scale application was performed to estimate the effective Radius of Influence (ROI) of each extraction well, operating Flow Rate & Vacuum per each extraction point. The test system consisted in #4 SVE points (screened from 1 to 9 m bgl), # 4 Nests Probe Points (each equipped with #4 NP located

at different depths), #1 vapour/water separator tank, #2 air blowers connected in parallel (Each blower: 350 mc/h @ ΔP 150÷175 mbar); #2 granular activated carbon filters connected in series (1,300 litres each) in order to remove the VOC from the vapour stream before the emission in atmosphere.







3.3 Radius of influence

Tests performed:

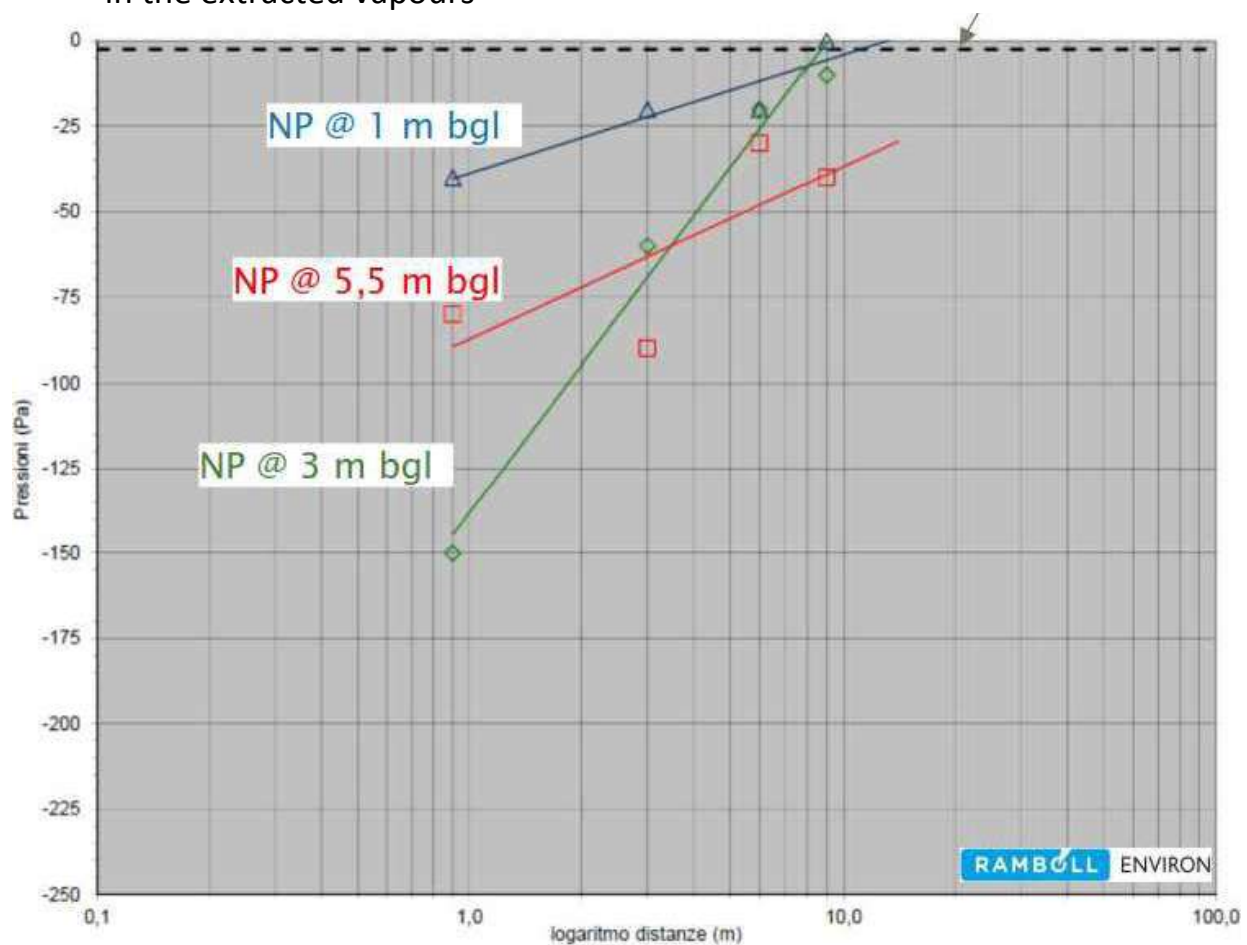
- n. 2 step vacuum test
- n. 5 long-term tests at constant vacuum

Results:

- ROI = 9 ÷ 10 m (cutoff -2.5 Pa)
- Flow rate each SVE ~ 130 mc/h
- Vacuum @ SVE head: ~ - 30 mbar

Moreover:

- n. 4 SVE points showed a good overlap of influence areas covered by each point
- granular activated carbon filters showed good removal of contaminants present in the extracted vapours





3.4 Off gas Treatment

During the pilot test the extracted vapours were treated by # 2 granular activated carbon filters connected in series (1,000 litres each).

3.5 Control parameters

To assess the effectiveness of the treatment and evaluate the ROI, the following parameters were monitored during the pilot scale application:

- ΔP in/out blower;
- Vacuum at the wellhead of the suction point/points;
- Vacuum induced at the soil gas monitoring points (Nesty Probes) at different distances and depths from the extraction well/wells;
- Flow rate of extracted gases;
- VOC concentrations before and after treatment;
- O_2 , CH_4 , CO_2 monitoring at each SVE extraction and NP monitoring point before VOC sampling.

4. Full-scale application

4.1 Extraction system

The Full Scale SVE has been designed considering the Pilot Test results (ROI, flow rate per each extraction point, vacuum to be applied at each extraction point) and taking into account the whole area to be remediated:

- n. 18 SVE points;
- distance between extraction points: $L=2(ROI) \cos 30 = 17 \text{ m}$
- Design flow rate = 2340 mc/h
- N. 4 blower (750 mc/h @ ΔP 150 mbar - each)
- N. 4 Granular Activated Carbon filters (4000 l – each – 2 duty/2 standby)







4.3 Radius of influence

The SVE Full Scale ROI is in line with the result of the SVE Pilot Test: about 9-10 m.

4.4 Off gas Treatment

As for off-gas treatment, #4 Granular Activated Carbon filters (4000 l - each- 2 duty/2 duty/2standby) were installed

4.5 Control parameters

To assess the effectiveness of the treatment the following parameters were monitored with the following frequency

Every two days:

- Monitoring of emissions into the atmosphere with short term tubes

On a weekly basis:

- Air flow and extraction rates
- ΔP in/out blowers, vacuum induced in each SVE extraction point
- Temperature in/out blowers
- VOC analysis before vapour treatment for each blowers
- Measure of piezometric level in monitoring points present in the area

Every two weeks

- VOC analysis of the treated vapours

On a quarterly basis:

- VOC, O₂, CH₄, CO₂ and vacuum induced at each SVE extraction and NP monitoring point

After the first three years monitoring plan has been modified in agreement with Authorities, and all the activities conducted on a weekly basis until 2016 were then conducted every two weeks. The above monitoring activities allowed also to calculate the VOC mass removal



6. Post treatment and/or Long Term Monitoring

6.1 Post treatment and/or Long Term Monitoring

The long term monitoring shows the effectiveness of the remediation technology applied.

The monitoring data collected allow to calculate quite a high CHCs mass removed from the unsaturated soils and show a clear evolution (depletion) over time of the CHCs concentrations measured at the SVE points.

In fact, considering both the pilot plant (active in the period May 2011 - May 2013) and the Full Scale plant (August 2013 - January 2019), the SVE system removed about 5238 kg of CHCs:

- Tetrachloromethane: 3171 kg
- Trichloromethane: 1814 kg
- Trichlorofluoromethane: 253 kg

From the results of quarterly analyses of VOC content in the vapour extracted from the extraction points in the area of the SVE intervention, isoconcentration maps for the above mentioned three contaminants in soil gas could be drawn.

These maps show a progressive decrease in concentrations over time after starting the SVE system.

Following the achievement of the technological limit of the SVE application (asymptotic value of the extracted mass) Stop & Go tests were performed. The tests showed a negligible rebound of the concentration and consequently the SVE system was stopped and confirmatory soil samples were taken which all showed CHCs concentrations below the CSR and also the CSC values.

7. Additional information

7.1 Lesson learnt

Although the characterization surveys, performed initially by drilling boreholes, indicated only few CSC exceedances of the CHCs concentration in the soil samples, the application of the SVE system allowed to remove a high mass of VOCs. In order to properly size remediation interventions, it is therefore important to carry out a more detailed characterization of the potential contamination sources in the unsaturated soils using advanced investigation techniques such as, for example, Soil Gas Survey, Membrane Interface Probe Investigations, Passive Soil gas Survey, etc..



7.2 Additional information

To assess the success of the remediation it is necessary to perform:

- trend analysis of each contaminant monitored over time with respect to the initial baseline value.
- quantification of extracted VOC mass over time

7.3 Training need

To ensure the achievement of remediation goals it is necessary to perform a good operation and maintenance of the overall system. To do this it is important that the system is managed by trained personnel.

Glossary of Terms

Term (alphabetical order)	Definition
VOC	Volatile organic compounds (VOCs) are organic chemicals that have a high vapour pressure at ordinary room temperature
CHCs	Chlorinated Compounds
SSTLs or CSR	Site Specific Target Level, which are named CSR in Italian regulation, are concentration target levels defined according to Risk Analysis procedure

1. Contact details - CASE STUDY: SVE n.14

1.1 Name and Surname	Ewa Szczebak
1.2 Country/Jurisdiction	Poland
1.3 Organisation	Arcadis
1.4 Position	Senior Environmental Specialist
1.5 Duties	Environmental consulting regarding soil and groundwater investigation, remediation, risk assessment. Project management.
1.6 Email address	ewa.szczebak@arcadis.com
1.7 Phone number	

2. Site background

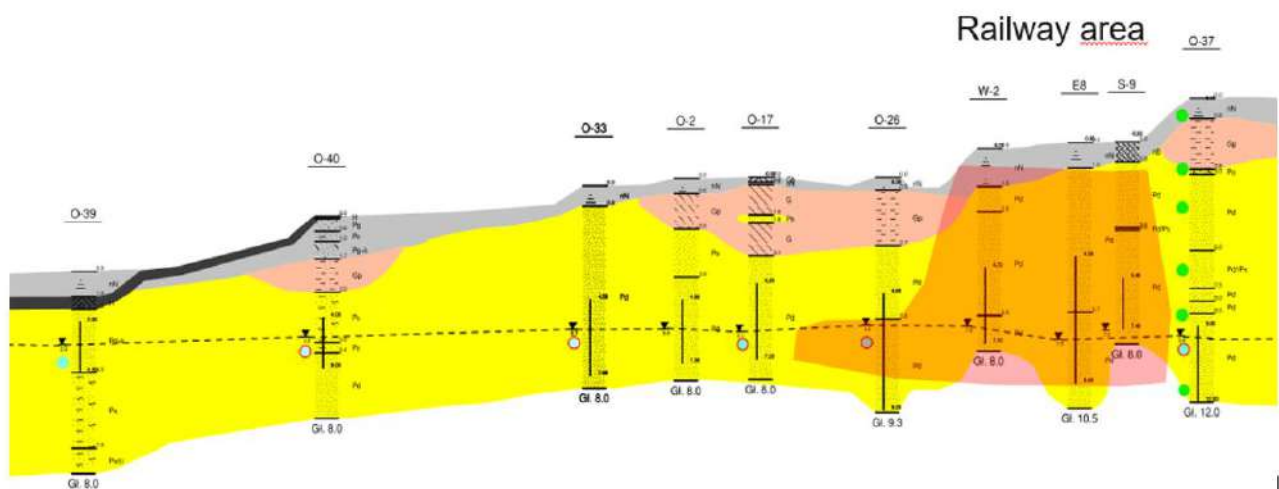
2.1 History of the site

The site is an active railway area with 4 main tracks and some crossovers. Soil and groundwater was contaminated in 2010 due to a spill of app. 800 Mg of petroleum products (mostly diesel) after a train crash. The maximum admissible concentrations for soil and groundwater are exceeded for light and heavy petroleum hydrocarbons and BTEX.



2.2 Geological setting

Site soil consists largely of fine and medium sands, locally overlaid by sandy loam. Uppermost soil layer is man-made fill (consisting of sandy loam with crushed bricks) and railroad ballast below the tracks. The depth to groundwater is approximately 7 meters below ground surface on the railway area and approximately 5 m bgs on the outflow.



2.3 Contaminants of concern

The contaminants of concern detected in soil:

- Total Petroleum Hydrocarbons fraction C6-C12: BDL – 10,600 mg/kg
- Total Petroleum Hydrocarbons fraction C12-C35: BDL – 40,000 mg/kg
- Toluene: BDL – 57 mg/kg
- Ethylbenzene: BDL – 426 mg/kg
- Xylenes: BDL – 1,240 mg/kg

The contaminants of concern detected in groundwater:

- Total Petroleum Hydrocarbons fraction C6-C12: BDL – 4,990 mg/L
- Total Petroleum Hydrocarbons fraction C12-C35: BDL – 1,490 mg/L
- Benzene: BDL – 0.5 mg/L
- Toluene: BDL – 29 mg/L
- Ethylbenzene: BDL – 76 mg/L
- Xylenes: BDL – 200 mg/L



2.4 Regulatory framework

Due to a damage in environment after the spill of hydrocarbons the administrative procedure has been initiated. The first step was the extensive site investigation executed in a few rounds, including soil and groundwater sampling, monitoring wells installation and observation of groundwater and LNAPL behaviour. Based on the laboratory results of soil and groundwater samples, exceedances of relevant environmental standards were assessed. Remediation Action Plan was submitted to the Regional Environmental Agency, with the aim of remediation – achievement of soil and groundwater standards. After few a years of remedial system operation (LNAPL skimming enhanced with groundwater drawdown, and venting barrier on the outflow) the law in Poland has changed and the risk-based approach has been implemented. Therefore, the application for remediation based on human health and environmental risk-assessment was submitted to the Regional Environmental Agency. The proposed remedial goal is to limit the migration of contaminated groundwater. The SVE system is a part of venting barrier, consisting of air sparging (AS) system and soil vapour extraction (SVE) system. Due to close distance between barrier and office building, the SVE system is operating to prevent potential vapour intrusion into the building.

3. Pilot-scale application in field

3.1 Extraction system

The main goal for the SVE system was to extract contaminants in the gas phase in the area of air sparging system operation. Therefore, pilot tests were carried out on the injection wells screened in the aquifer. Since the geology of vadose and saturated zone is similar (fine sand along the whole profile), the radius of influence of extraction wells was established according to AS pilot tests.

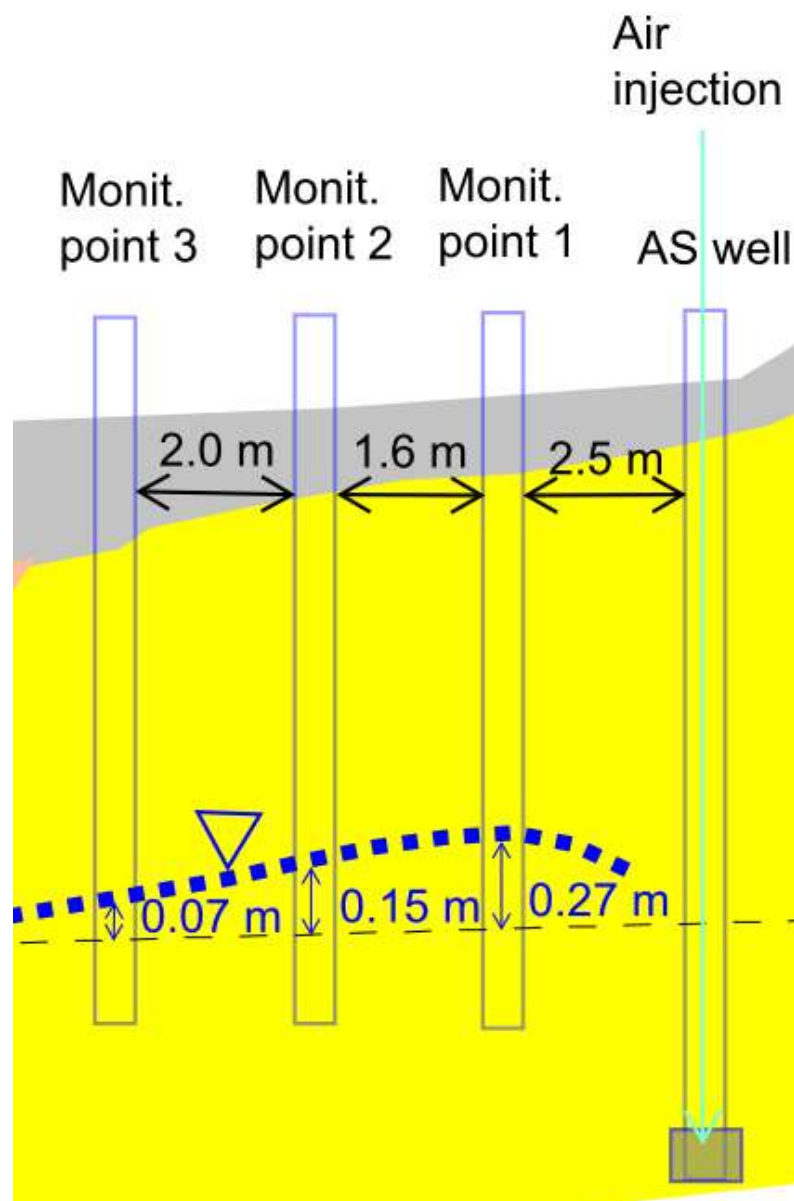


3.2 Injection system

One injection well and three monitoring points were installed in a line for the field test of air sparging (AS) technology. The location of the test was based on future potential venting barrier location. Distance between the injection well and monitoring points was between 1.6 and 2.5 m and it was adjusted due to the presence of underground utility lines (i.e. power line, optic fiber, sewer system). The air was injected by a blower, to a depth of 1.7 – 2.0 m below the groundwater table.

3.3 Radius of influence

Radius of influence (ROI) at around 5 meters was calculated for the air sparging test (air injection into one well and observations in 3 points). The observed parameters were: groundwater level and pressure versus distance. A groundwater level increase of 0.1 m was considered as the boundary of the effect of AS well. Scheme of AS test is presented below.





3.4 Off gas Treatment

No off gas treatment was installed for the pilot test, because the test was based on air injection, not extraction.

3.5 Control parameters

For the pilot scale of AS system, it was useful to monitor the oxygen concentrations in monitoring points and in surrounding GW monitoring wells. The increase of oxygen in groundwater was fast and direct proof of effectiveness of air injection.

4. Full-scale application

4.1 Extraction system

The SVE system includes the following equipment: a metal container measuring 3 m wide by 10 m long by 3 m high; 11 horizontal vapour extraction wells; and one air compressor. In addition, the system includes a filter with activated carbon to treat the contaminated air.

The soil vapour extraction system consists of eleven 2-inch diameter horizontal wells screened at depth of app. 4.0 – 4.2 m bgs. The wells are combined with pipelines and work as two separate lines, set between two lines of air injection wells.

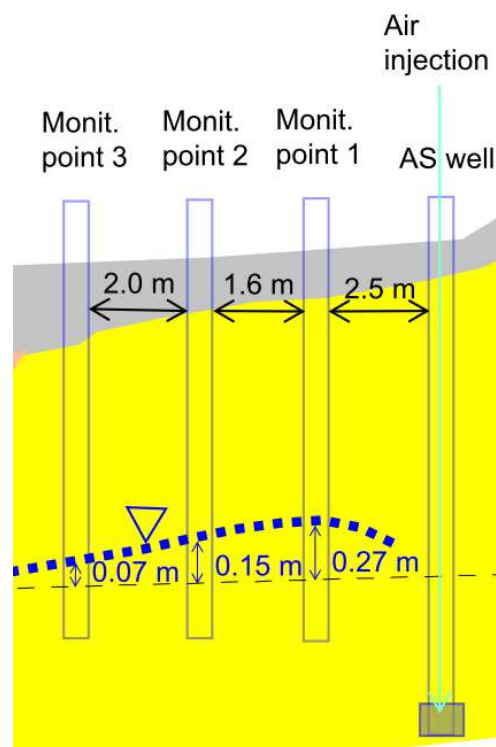
The SVE system works at intervals alternately with AS system, time of each interval is half an hour.

4.2 Injection system

The air sparging system includes the following equipment: a metal container measuring 3 m wide by 10 m long by 3 m high; 13 horizontal air injection wells; and one blower. The AS system consists of thirteen 2-inch diameter horizontal wells screened at depth of approx. 7.0 – 8.2 m bgs. The wells are combined with pipelines and work as two separate lines, set between two lines of vapour extraction wells. The AS system works at intervals alternately with SVE system, time of each interval is half an hour.

4.3 Radius of influence

Radius of influence (ROI) was calculated for the air sparging test (air injection into one well and observations in 3 points) at around 5 meters. The observed parameters were: groundwater level and pressure versus distance. A groundwater level increase of 0.1 m was considered as the boundary of the effect of AS well. Scheme of AS test is presented below.





4.4 Off gas Treatment

Activated Carbon Adsorption is used as treatment method for off gas. A vertical filter with a capacity of 1 cubic meter is installed in the container. Granulated activated carbon is used as air emissions treatment.

4.5 Control parameters

- PID measurements are taken once a year in extraction points to check the effectiveness of vapour extraction.
- Periodically a PID measurements in the off-gas are taken to control the effectiveness of soil gas treatment.
- Water levels are measured regularly to control proper work of AS system.
- Contaminant concentrations and basic physical-chemical properties are measured in GW twice a year as part of groundwater monitoring programme for the site.

6. Post treatment and/or Long Term Monitoring

6.1 Post treatment and/or Long Term Monitoring

PID measurements have been taken once a year in extraction points to check the effectiveness of vapour extraction.



7. Additional information

7.1 Lesson learnt

1. **methodology and procedures:** before the installation of full-scale system, the hydrogeological data from 1-2 years of measurements (dependent on the local hydrogeology conditions) should be gathered and analyzed. It would help to avoid a situation of eventual groundwater level rise causing flow of the groundwater into extraction wells (i.e. danger of equipment damage). And for the AS system it would help to install injection wells to a reasonable and cost-effective depth.
2. **technical aspects:** the system generates a lot of heat, therefore the building where the equipment is installed should be adequately designed to decrease the indoor temperature in the summer (i.e. ventilation). Location of wells and related interdistance for the full scale system are determined also by the local conditions (i.e. underground utility lines, land accessibility). Therefore, it should be considered when designing the system to keep the proper influence area.
3. **regulatory aspects:** it would be much easier to conduct pilot studies of proposed remedial technology before the submission of Remediation Action Plan (RAP). Since after the entry into force of the new regulation, formally you should submit a RAP just after a contamination is acknowledged. Therefore, understandably, most of the clients prefers to submit the RAP before field tests. Then, if field test results show a lack of effectiveness of the proposed technology, RAP should be amended.



7.3 Training need

Training would be recommended both for consultants (for better understanding of the methodology and its needs) and for the authorities (for better understanding of the capabilities of SVE and the need of field tests prior the full scale system installation). Workshops and presentations about case studies are an effective learning tool.

Glossary of Terms

Term (alphabetical order)	Definition
AS	Air Sparging
BDL	Below Detection Limit
BGS	Below Ground Surface
BTEX	Benzene, Toluene, Ethylbenzene, Xylenes
GW	Groundwater
LNAPL	Light Non-Aqueous Phase Liquid
RAP	Remedial Action Plan – an official document submitted to the authority for approval
ROI	Radius of Influence

1. Contact details - CASE STUDY: SVE n.15

1.1 Name and Surname	Puricelli Sara, Marin Rosa Angela, Ricci Diego, Confalonieri Massimiliano
1.2 Country/Jurisdiction	Italy
1.3 Organisation	ARPA Lombardia
1.4 Position	
1.5 Duties	
1.6 Email address	s.puricelli@arpalombardia.it m.confalonieri@arpalombardia.it
1.7 Phone number	+39 031 2743913



2. Site background

2.1 History of the site

The area in question is an active industrial production site that carries out engineering activities and is located in Northern Italy.

The site was divided into three portions for different distribution and characteristics of the secondary sources and managed with different remediation approaches.

Unlike the other sites managed through reductive dehalogenation processes, the one in question provided for treatment through AS/SVE for the following reasons:

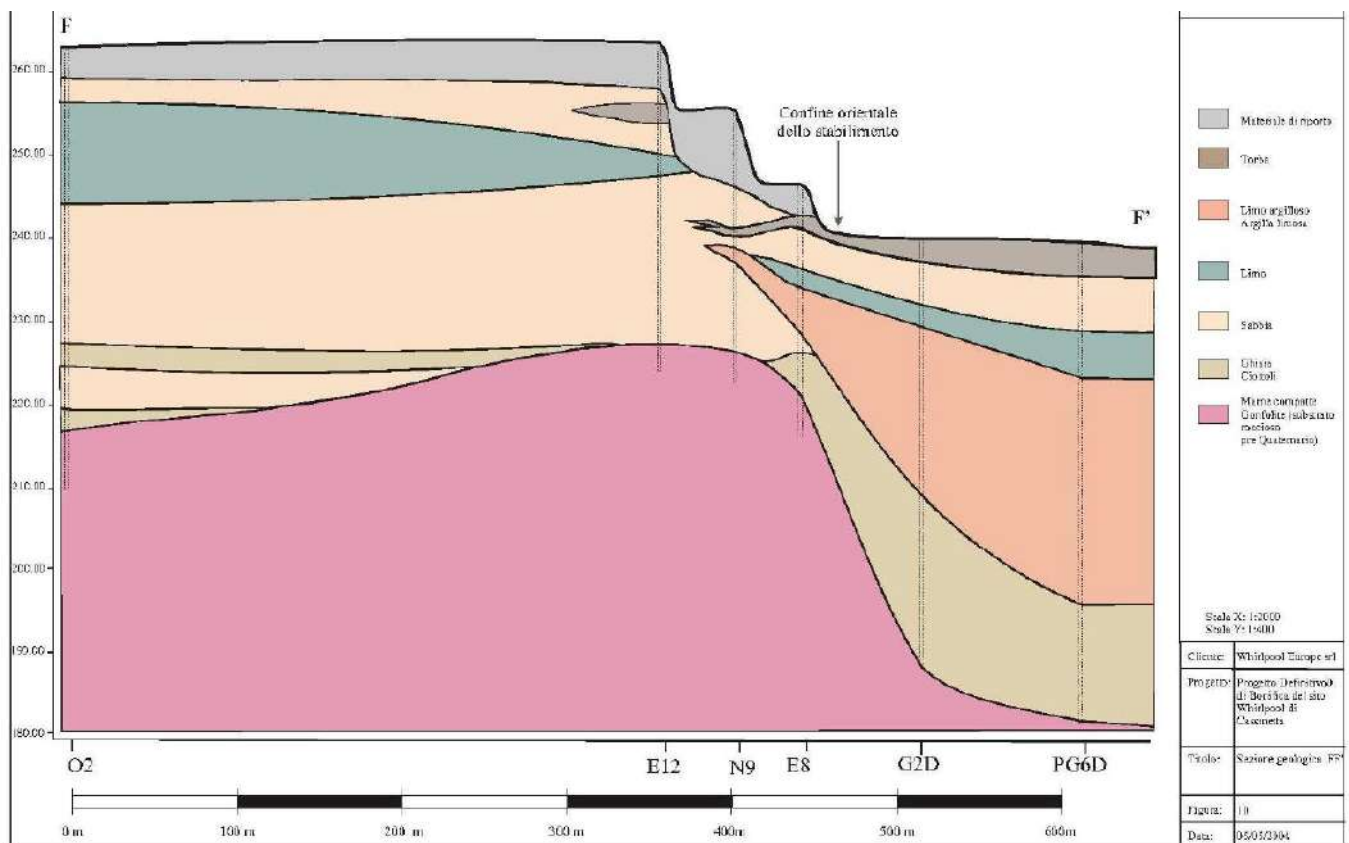
- in this portion there is no natural anaerobic degradation process of the chlorinated organic compounds;
- the speed of the local water table is significantly higher than the other two source areas (at least double) and would not allow an adequate residence time of the injected substrate in the intervention area, effectively nullifying its effectiveness.

There are no specific protocols for the management of the site, but the control and technical evaluation activities in support of the Municipality (proceeding administration appointed by the Region for the management of contaminated sites) are carried out by ARPA. ARPA Lombardia is an environmental protection agency established in 1999 that deals with the prevention and protection of the environment, supporting regional and local institutions in multiple activities: from the fight against atmospheric and acoustic pollution to interventions for the protection of surface and groundwater, from monitoring electromagnetic fields to investigations on soil contamination and remediation processes.

2.2 Geological setting

From the hydrogeological point of view, the site is characterized by a single undifferentiated aquifer, which rests on a rocky substrate about 35 m from ground level, as shown in the section below.

The hydraulic conductivity, in the portion of the site of interest is of the order of $3-4 \cdot 10^{-5}$ m/s, resulting in a rather high water table speed, with flow direction from West to East. The average subsidence of the aquifer is about -13 m from ground level.





2.3 Contaminants of concern

Due to the production activities carried out, the groundwater was contaminated by chlorinated solvents, mainly tetrachlorethylene (PCE), trichloroethylene (TCE), 1,2-dichloropropane (DCP), cis 1,2-dichloroethene, 1,2-dichloroethane and vinyl chloride. In detail, TCE, DCP and PCE are to be considered primary pollutants, as they were actually used in the production processes of the plant during the 1960s and 1980s, while the other compounds are the products of the partial natural degradation of the previous ones.

The concentrations are very high, for some compounds in the order of mg/l. In particular, at the time of the start of the treatment in question were recorded maximum TCE values of 7.1 µg/l, DCP of 4 µg/l, PCE of 4100 µg/l and summation of organohalogen compounds of 4110 µg/l (thus demonstrating that most of the contamination is due to PCE), compared to regulatory limits for groundwater, respectively, of 1.5 µg/l, 0.15 µg/l, 1.1 µg/l and 10 µg/l for the summation.

The characteristic contaminants are essentially found in the saturated part of the subsoil, while in the unsaturated zone they were not detected in significant concentrations, thus excluding the presence of hot spot of contamination in the unsaturated zone.

2.4 Regulatory framework

The procedure was conducted pursuant to Legislative Decree 152/2006.



3. Pilot-scale application in field

3.1 Extraction system

The technique involved the combination of an air injection system at the bottom of the saturated area, Air Sparging (AS), and a system for extracting the vapours produced (Soil Vapour Extraction - SVE).

In detail, the first is aimed at stripping volatile contaminants present in groundwater, favouring their passage into the vapour phase and therefore their migration into the unsaturated portion of the soil, from which they are then removed thanks to the SVE system in the atmosphere following appropriate treatment.

The pilot scale tests were carried out in the period between April 2008 and June 2009, autonomously from the party without the adversary of ARPA.

3.2 Injection system

As in the saturated area, compressed air was injected.

3.3 Radius of influence

The range of influence was obtained from direct tests in the field, evaluating the depression exerted in the control wells. Support model simulations were not used.

3.4 Off gas Treatment

The gas treatment system is similar to that which was then implemented in the full-scale plant, described in detail in sheet 4.4.



3.5 Control parameters

The monitoring of the pilot plant consisted in the quantification of chlorinated compounds both in the air extracted from the SVE wells installed in the unsaturated state, and in the groundwater taken from the wells in the saturated state.

At the end of the pilot plant, quantities greater than l.q. only for TCE and PCE (expressed in mg/l) were found in waters, while the other chlorinated compounds possibly present showed negligible concentrations.

From the data found in the extracted gases it emerged that:

- the extraction of vapour phase contaminants from the SVE wells from the unsaturated soil was efficient and allowed the achievement of concentrations of chlorinated compounds in the vapours of up to 1 g/m^3 ;
- the quantity of extracted contaminants is significantly greater in the deepest unsaturated wells among those used, that is, in those cracked near the capillary fringe compared to that of the more superficial wells;
- - the contaminants present in the extracted vapours essentially come from the stripping of groundwater and not from the presence of contaminants in the unsaturated zone; in fact, in the absence of compressed air injection, concentrations of contaminants were found to be considerably lower in the interstitial vapours than those detected with the AS system on.

4. Full-scale application

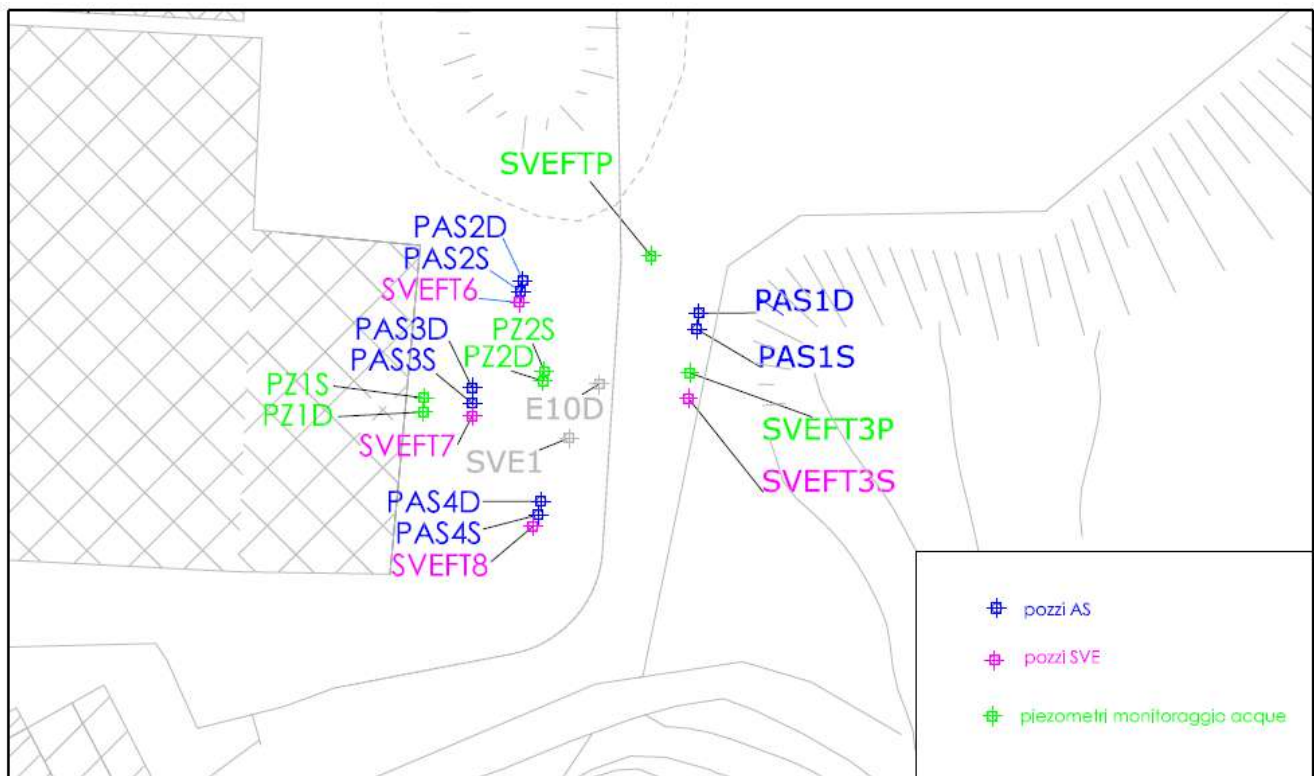
4.1 Extraction system

4 SVE wells were used and installed in the unsaturated domain, of which 1 was existing and 3 were installed new, headed about 1 m above the surface of the aquifer (indicatively therefore up to an altitude of 12 m) and cracked for 5 m.

Each SVE well was combined with a pair of AS wells, which were bored in the immediate vicinity of the saturated domain.

The figure shows the plan of the AS/SVE system built on the site. In it are indicated:

- in blue the wells connected to the AS plant (the PAS1S-1D pair had been used in the small-scale intervention);
- in red the wells connected to the SVE plant (SVEFT3S was used for the pilot plant);
- in green the piezometers that are planned to be used as water monitoring points.



In detail, the SVE system consisted of the following components:

- 1 centrifugal aspirator with 2.5 - 3 kW power, with a flow rate of 150 Nm³/h at a depression of 120 mbar;
- 4 steam extraction pipes from as many SVE wells;
- 4 wellhead connections, designed for the measurement of air flows, depression and the taking of steam samples;
- 4 butterfly valves to control the flow rates of each suction well;



- 4 vacuum gauges;
- 4 valves for fine adjustment of the extracted flow rates;
- 1 manifold for collecting the suction pipes arriving from the wells;
- 1 dust collector filter for atmospheric air;
- 1 condensate separator, with relative booster pump;
- 1 activated carbon filter for condensate treatment;
- 2 activated carbon filters for air, connected in series and intended for the treatment of vapours;
- connection pipes, valves, various fittings, measurement and regulation sections, pneumatic quick couplings;
- command and control instrumentation (electrical panel in common with the AS system) which allowed manual or automatic operation;
- 1 container housing the entire system (shared with the AS system).

The system has been designed to guarantee a flow rate of continuously extracted vapours equal to at least double the flow rate of the air blown into the groundwater, and therefore overall capable of sucking at least 120 Nm³/h.

In the event of operating anomalies, a GSM telephone dialer was arranged who could send the error reports to specialized personnel able to restore the functionality of the system.

All quick-connect points have been prepared for taking steam samples and for inserting the following portable field instruments online:

- digital or analogical vacuum gauges for measuring depression;
- PID probes for indirect detection of VOC concentration;
- anemometers for measuring the extracted airflow.

The full-scale plant was started up in March 2013.

Here are some pictures of the AS/SVE system.





4.2 Injection system

4 pairs of groundwater insufflations wells (AS) were built, of which, n. 1 was existing and n. 3 were newly installed, each capable of guaranteeing the injection for 5-10 minutes of approximately 30 Nm³/h of air at an injection pressure of at least 3 bar.

Approximately, for each side-by-side, a well has a depth of 25 m from b.g.l. and the other 30-35 m from ground floor; given the nature of the compounds, with a density greater than that of water, the cracked section is located on the bottom and has a length of about 50 cm.

The AS system consisted of the following components:

- 1 rotary compressor (able to guarantee air flows of at least 70-100 Nm³/h at a pressure of 4 bar, imposing a maximum pressure of 10 bar);
- 1 storage tank for compressed air (volume 270 l), equipped with a 0-16 bar pressure gauge and safety valve for venting overpressures;
- 1 airtight compressed air delivery pipe to the distribution system, equipped with a pressure regulator (0-10 bar);
- 8 independent insufflations pipes;
- 8 wellhead connections;
- 8 analogical flow meters and 8 pressure gauges;
- 8 timed solenoid valves for air distribution in AS wells;
- 8 manual ball valves for regulating the airflow on the individual wells;
- connection pipes, valves and various fittings, measurement sections by means of float flow meters and flow regulation;
- command and control instrumentation (electrical panel in common with the SVE system);
- 1 container housing the plant (shared with the SVE system).

Downstream of the storage tank, the compressed air passed through a de-oiler filter equipped with a timed vent valve, which allowed the elimination of any oily condensate formed in the machine, preventing it from entering the groundwater.

In order to ensure the efficiency of the insufflations process, the system was set to automatically blow about 30 Nm³/h of air into a pair of wells for a duration of 5-10 minutes, while the other three pairs remained inactive.



4.3 Radius of influence

The range of influence was defined based on the evaluation of the pilot test.

4.4 Off gas Treatment

Before the final discharge into the atmosphere, the extracted vapours were subjected to purification treatment with the following characteristics:

- number of filters 2;
- total filter volume 800 l;
- quantity of GAC (granular activated carbon) 360 kg total;
- filter section 800 mm
- filtration speed 0.11 m/s
- total contact time 14.4 s.

These characteristics, established on the basis of what was verified with the pilot scale test, ensured compliance with the limits set by Legislative Decree 152/06 for each of the site-specific gaseous compounds.

The protocol provided for the replacement of spent activated carbon and its subsequent dispatch for disposal/regeneration in authorized external plants to be carried out before the reduction in the efficiency of the vapour treatment system would not allow compliance with the emission thresholds.

4.5 Control parameters

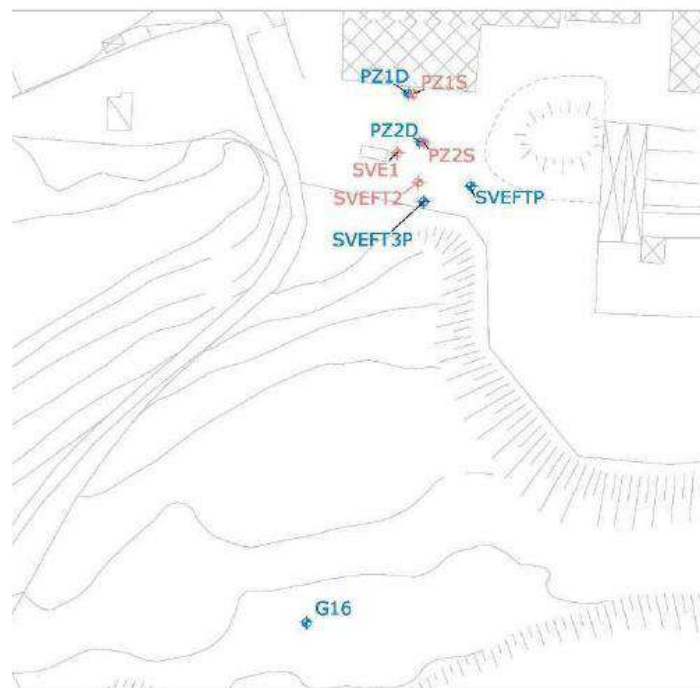
The monitoring plan included:

- monitoring of the vapours extracted from the SVE wells and entering/leaving the vapour treatment plant;
- periodic inspection, maintenance, and adjustment of the AS/SVE system;
- the collection and analysis of water samples, measurement of chemical-physical parameters of the water (dissolved oxygen, redox potential, pH, temperature) in 9 piezometers, available in the intervention area as well as 1 new downstream (G16) made at approximately 110 m away from the treatment area, aimed at evaluating the influence of the AS treatment on the measured solvent concentrations with respect to a blank campaign at the initial time

In fact, immediately after the start-up of the SVE plants (in March 2013) and before the start-up of the AS system, a sample of vapours was taken from each of the suction wells, analyzed for chlorinated solvents, which constituted the "blank" as not yet influenced by the simultaneous start of the insufflations of air in the saturated portion of the local subsoil. After that, the AS system was also started.

The location of the monitoring points of the 9 monitoring piezometers is visible in the following figure.

The monitoring during the execution of the intervention took place on a quarterly basis.





5. Enhancements to SVE

5.1 Pneumatic and/or hydraulic fracturing

Discontinuous operating periods of the plant have been implemented, as described in § 6.1, in order to intervene on rebound phenomena and periodically evaluate the plant's cost/benefit effectiveness.



6. Post treatment and/or Long Term Monitoring

6.1 Post treatment and/or Long Term Monitoring

From the evaluation of the monitoring data, it was found that the wells from which the greatest extraction of contaminants takes place are SVEFT7 and alternatively SVEFT8. From the start of the intervention in July 2017, considering the total flow rate detected on the delivery section of the blower and the concentrations detected, it was possible to estimate the mass of contaminants extracted during the execution of the AS/SVE intervention equal to approximately 645 kg of organochlorinated solvents, consisting mostly of PCE.

On the occasion of the monitoring in July 2017 it emerged that:

- in the water taken from the piezometers of the deep portion of the aquifer, a clear reduction in the concentrations of contaminants present, up to over 90% of the initial values, and in particular of PCE and TCE, emerged;
- even in the waters taken from the piezometers of the surface portion of the aquifer, a decrease in concentrations was found even up to over 90% of the initial values;
- in the waters of the G16 piezometer, located downstream from the intervention area, fluctuating concentrations were recorded after treatment but with a decreasing trend, however with still considerable residual values. This was probably due to the considerable distance from the intervention area and the presence of a peaty horizon at a depth of about 6 m which could have limited the impregnation of the contaminants thus allowing their release over time. It was considered that it would have been necessary to wait a very long time before having an effect similar to that obtained in the intervention area. Following the concentrations detected in this piezometer, hydraulic containment was active downstream to it;
- overall, the concentration of contaminants in the extracted vapour stream decreased significantly over time, but detectable concentrations were still present in the extracted stream.

In general, from the examination of the results of the analyzes performed and the graphs that show its trend, the decrease in the concentrations of the summation of chlorinated solvents with respect to t_0 emerged over time and the asymptote conditions seemed to be reached in the intervention area.

In May 2018 and up to December 2018, the AS/SVE systems were therefore shut down, and new monitoring was carried out starting from the end of the following month. There was thus an increase in concentrations in the groundwater of the intervention area, in



particular in the more superficial PZ1S and Pz2S piezometers.

It was therefore considered useful to restart the plant again for a further period of six months in order to allow further massive extraction of the contaminants present, until July 2019. The monitoring carried out following the reactivation of the plant certifies the removal of a mass of contaminants equal to 16 kg over a period of approximately 7 months.

The analytical results of the PZ1S and PZ2S piezometers show, in the period following the reactivation of the system, still significant concentrations of chlorinates in the PZ1S and PZ2S piezometers.

The AS/SVE intervention was deactivated in July 2019 and a new monitoring took place 6 months after the shutdown.

Overall, the removal of approximately 660 kg of PCE has been estimated during the operating period (2013-2020), with a decreasing trend over time.

In 2020, the authorities accepted the request to shut down the system because from the cost-benefit ratio of the treatment it emerged that it was no longer the best intervention technique at sustainable costs. This decision was reinforced by the fact that there is a hydraulic barrier at the border, and therefore an operational safety device (MISO).

The monitoring of groundwater after the works, downstream of the closure of the intervention, was prescribed on a quarterly basis until the remediation of the control piezometers provided for the area is completed, and then for another 2 years every six months.



7. Additional information

7.1 Lesson learnt

The remediation intervention allowed the removal of part of the contaminants, but did not prove decisive, as can be seen from the analysis of the analytical data on groundwater. It can be hypothesized that the specific geological and hydrogeological characteristics of the site have reduced the effectiveness of the scheme, in particular for the fine lithology of the area (peat, silt and clayey sand) and for the scarce subsidence that with seasonal fluctuations, prevented as a matter of fact the volatilization of the contaminants in the interstitial spaces of the unsaturated portion and the subsequent removal.

It could have been appropriate to undertake an evaluation of the behaviour of the plant, both for the purposes of designing it and predicting its behaviour, also to optimize its management, by means of a two-phase numerical modelling simulation, which considered the behaviour of air and water in the aquifer, evaluating the phase passage of pollutants over time and as a function of air injection/gas extraction, such as Petrasim.



7.2 Additional information

The Final Reclamation Project was based on a double criterion to establish the achievement of the reclamation:

a) limits in the treatment area that ensure compliance with the legal values (CSC) on the legal boundary of the site derived from the application of groundwater transport models used for the Risk Analysis. In detail, the reclamation limit concentrations were calculated using the Ogata Banks model, both for the deep aquifer and for the superficial aquifer, applying the appropriate values of the hydrogeological parameters for each, obtained through dedicated calibration.

The following table summarizes the concentrations ($\mu\text{g/l}$) admissible at the end of the remediation operations.

TCE	PCE	DCP	DCE	DCA	VC
2.57	17.85	1498	42.69	29.57	2.98

b) technical remediation limit, was considered reached when the decrease in the concentrations of contaminants in the groundwater stabilized around an asymptotic value of the reduction in the concentrations of chlorinated solvents below the limit values calculated with the Ogata Banks model. In particular, following the identification of the achievement of the asymptote (verified by evaluating the analytical results of 3 subsequent samplings), provisions had been made for the suspension of the remediation activities and the subsequent execution of verification samplings on a quarterly basis and then half-yearly.



7.3 Training need

There is a need for specific training for more in-depth design assessments, such as the use of two-phase numerical models to design and manage an AS/SVE system adequately and in a site-specific manner.

7.4 Additional remarks

Here are some indications on costs:

1	Organizzazione, supervisione attività / Report finale	€	9.000,00
2	Realizzazione pozzi e piezometri	€	52.000,00
3	Installazione impianti / Demobilizzazione impianti a fine intervento	€	12.600,00
4	Gestione e monitoraggio intervento	€	47.600,00
		€	121.200,00

Glossary of Terms

A glossary will help a you to maintain the level of precision necessary for key terms and maintain consistency across the text. We found out that sometimes terms that sounds similar like “contaminated” and “polluted” are used in the same way as synonyms in some country, while in other they have different meanings (due to legislation or for other reasons). So fill in this glossary for your key elements and of course for acronyms.

Term (alphabetical order)	Definition
AS	Air Sparging
GAC	Granular activated carbon
l.q.	Limit of quantification
MISO	Operational safety device
PID	Photoionization detector
PLC	Programmable logic controller
SVE	Soil Vapour Extraction
VOC	Volatile organic compound

1. Contact details - CASE STUDY: SVE n.16

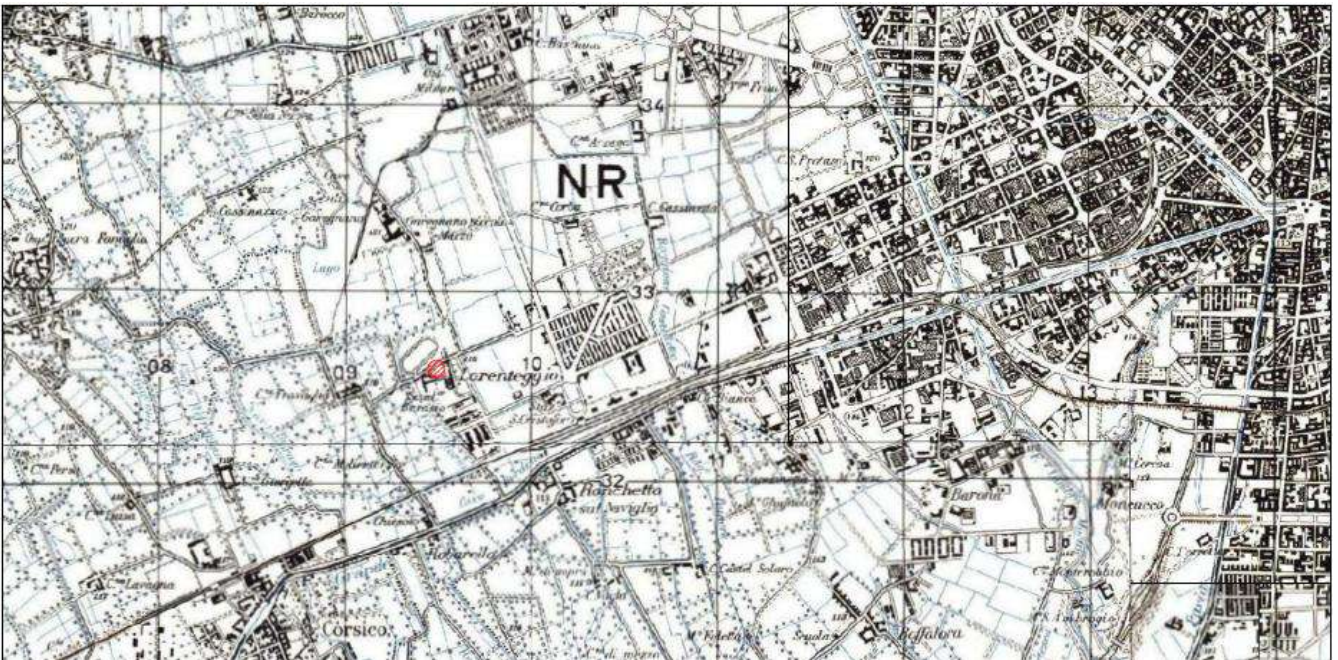
1.1 Name and Surname	Confalonieri Massimiliano
1.2 Country/Jurisdiction	Italy
1.3 Organisation	Agenzia Regionale per la Protezione dell'Ambiente (ARPA) della Lombardia
1.4 Position	Dirigente RUO BARAE
1.5 Duties	
1.6 Email address	m.confalonieri@arpalombardia.it
1.7 Phone number	+39 335 531 8045

2. Site background

2.1 History of the site

The area in question coincides with a discontinued fuel point of sale (classified as an unhealthy 2nd class industry pursuant to the Municipal Hygiene Regulations), located along Via Lorenteggio in Milan in a city context with mixed tertiary, commercial and residential use.

The site is identified by map 18 of Sheet 505 of the NCT of the Municipality of Milan.



The site does not fall within the perimeter of a SIN and is not affected by any protocols stipulated with the PA.

The plant was located in an area owned by a third party, used with a lease agreement and with the obligation to return it to the owner upon definitive cessation of the activity.

Currently, after the characterization and implementation of the remediation work (not yet completed), the site - after being returned to the property owner- looks like an entirely asphalted area equipped with a public car park at ground level.

The commercial settlement in question, following the temporary cessation of the sale of fuels requested by the managing oil company (with a note dated 03/24/2011) approved by the Municipality of Milan (with note prot. 266874/2011 of the Ufficio Carburanti del Settore Attuazione Mobilità e Trasporti), ceased all activities in 2011.

The site was therefore subject to cleaning and inerting the tank fleet, with interventions



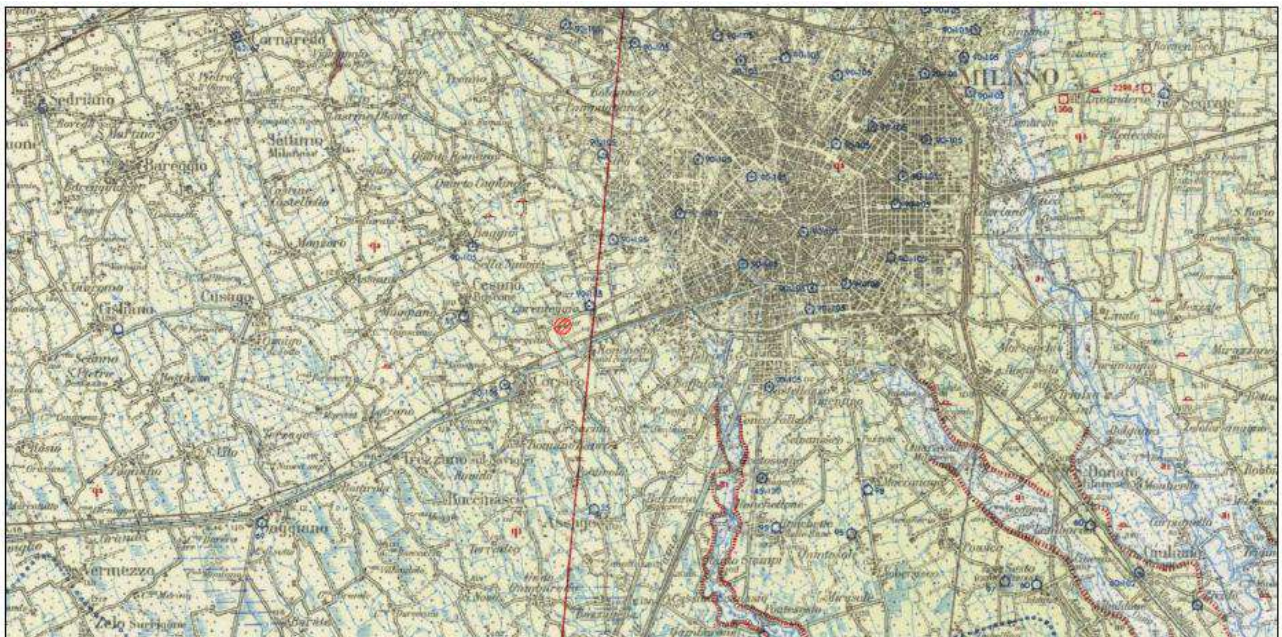
carried out in April 2011.

Subsequently, in application of municipal regulations, the site was the subject of a preliminary environmental investigation campaign carried out in conjunction with ARPA. The results of this preliminary environmental check have shown that the reference CSCs have been exceeded and initiated the procedure pursuant to Title V, which saw the presentation, approval and execution of the Characterization Plan as a first step.

2.2 Geological setting

The stratigraphy of the site reconstructed with the surveys delineates a soil of mainly sandy matrix. In detail, the lithological sequence found can be summarized as follows:

- mixed material - Mixed material, essentially consisting of medium sand with the presence of gravel and pebbles that extends from 0 m from ground level about 2 m from ground level;
- silty sand and sand with gravel - fluvioglacial alluvial deposit consisting of alternating levels of silty sand and sand with gravel, extending from 2 m from ground level to 16 m from ground level.



The environmental characterization survey carried out made it possible to identify a free aquifer with high permeability, contained within the alluvial deposit with gravels. The measurements of the piezometric levels performed during the characterization phase indicate an average groundwater depth of about 8.00 m from the p.c., i.e. a water table level that is around 109 m a.s.l.

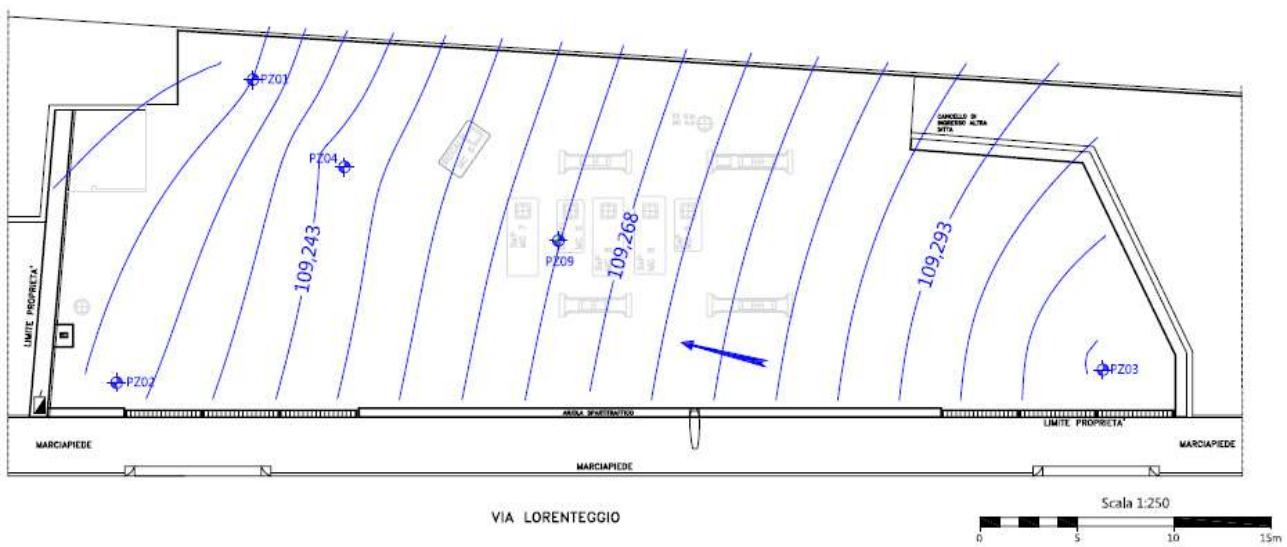
Over time, the phreatometric checks carried out during the groundwater monitoring campaigns have highlighted the persistence of constant conditions in the direction of flow and periodic variations in the subsidence in a range of about 2 m.

The level measurements, together with the data deriving from the altimetry survey,

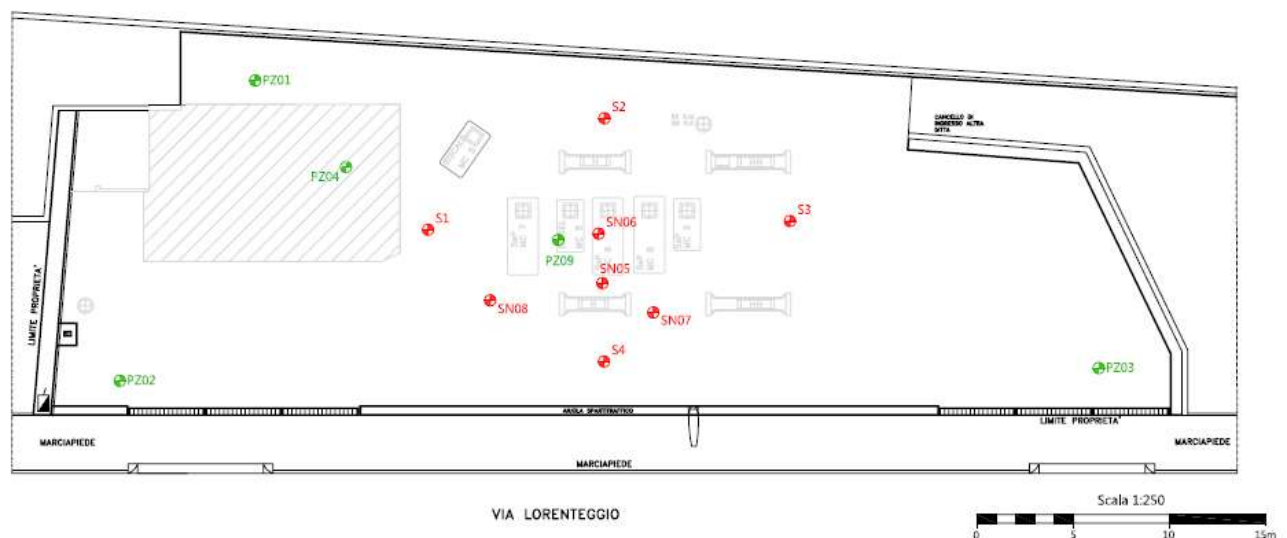
made it possible to reconstruct during the characterization phase the trend of the water table, which shows a prevailing flow direction towards ESE and an average hydraulic gradient of approximately 0.16 %.

The direction of flow of the water table was always confirmed by the phreatometric data acquired during the monitoring carried out on the site.

The average transmissivity of the aquifer calculated on the basis of the Pilot Tests described below equals to 0.1 m²/sec.



The contamination detected was in the deep soil (SP), starting from the level of the basement level of the underground tanks (about 4 - 5 m from the local p.c.); the local water table was also contaminated.





2.3 Contaminants of concern

The preliminary environmental investigation phase (IA), carried out at the same time as the removal of the tank park, concerned: walls and bottom of the excavation resulting in the removal of existing tanks on site, bottom of the resulting excavation after the removal of a small tank for the storage of used oils.

Analytical tests were carried out on the samples taken, aimed at determining the concentration values of heavy and light hydrocarbons (C <12 and C 12 - 40), IPA, BTEXS, Pb and MTBE.

The results of the analytical assessments were compared with the acceptability limits (CSC) set by current legislation (in particular table 1, column A of annex 5 to title V of part IV of Legislative Decree 152/06 and subsequent amendments and additions, considering that the area in question will be returned to the property once the decommissioning of the PV is completed) for the quality of the soil/subsoil matrix with respect to possible contamination.

The results of the control analyzes carried out by ARPA showed the presence of exceedances of the CSCs in particular for petroleum hydrocarbons (C > 12).

This evidence led to the continuation of the proceedings pursuant to Title V of Part IV of Legislative Decree 152/06, the communication of which was made in advance by the obliged party pursuant to art. 249 of the same Legislative Decree 152/06.

The site was therefore the subject of a Characterization Plan assessed and approved during the dedicated Services Conference and subsequently authorized by the Municipality of Milan with the PG 790255/2012 deed of 04/12/2012.

The results of the characterization showed that the reference CSCs were exceeded (col. A of Tab. 1 of annex 5 to Title V of part IV of Legislative Decree 152/06) for parameters C <12, C > 12, BTEXS (benzene, toluene, xylenes, ethylbenzene) in the unsaturated soil matrix and for the parameters (Tab. 2 of Annex 5 to Title V of Part IV of Legislative Decree 152/06) total hydrocarbons n-hexane, benzene, xylenes in addition to MtBE and EtBE (with reference to the values indicated by ISS, used at the time, not being regulated at that date) for the local groundwater matrix.

Pending the continuation of the procedure, an intervention by MISE was activated, implemented through a system for the extraction of water from the local groundwater (the discharged water was initially collected and disposed of as liquid waste, awaiting authorization from the competent authority to discharge it into the public sewer system).

The obliged subject therefore presented (pursuant to Article 242 and following, as



Ministerial Decree 32/2015 was not yet in force) a risk analysis report and related remediation project to be implemented with the simultaneous intervention on the groundwater matrix (by P&T) and on unsaturated soil/subsoil (by SVE and AS). The risk analysis and remediation interventions were evaluated and approved in the Services Conference and then authorized by the Municipality of Milan.

2.4 Regulatory framework

- “Linee Guida Serbatoi Interrati” ARPA - Lombardy, Milan - April 2004;
- Law 9 December 1998, n. 426;
- Legislative Decree 11 February 1998, n. 32;
- Legislative Decree 3 April 2006, n. 152 "Norme in materia ambientale";
- Legislative Decree 16 January 2008, n. 4 “Ulteriori disposizioni correttive ed integrative del decreto legislativo 3 aprile 2006, n. 152 ”;
- Law 28 January 2009, n. 2;
- Legislative Decree 3 December 2010, n. 205";
- Law 9 August 2013 n. 98;
- DM 31/2015
- D.G.R. Lombardy 10 February 2010 n. 8/11348;
- ISPRA (formerly APAT), October 2010 "Protocollo ISPRA-INAIL (ex-ISPEL) per la valutazione del rischio associato all’inalazione di vapori e polveri, in ambienti aperti e confinati nei siti di bonifica – Rev.0";
- ISPRA (formerly APAT), June 2009 "Appendice V – Applicazione dell’Analisi di Rischio ai Punti Vendita Carburante ai Criteri metodologici per l’applicazione dell’analisi assoluta di rischio ai siti contaminati" (Appendix V);
- ISS/ISPEL database (update 2018);
- ASTM E2081-00 (2004), “Standard Guide for Risk-Based Corrective Action”, ASTM International
- APAT, June 2008 "Documento di riferimento per la determinazione e la validazione dei parametri sito-specifici utilizzati nell’applicazione dell’analisi di rischio ai sensi del D.Lgs. 152/06";
- APAT, March 2008 "Criteri metodologici per l’applicazione dell’analisi assoluta di rischio ai siti contaminati rev. 2".

3. Pilot-scale application in field

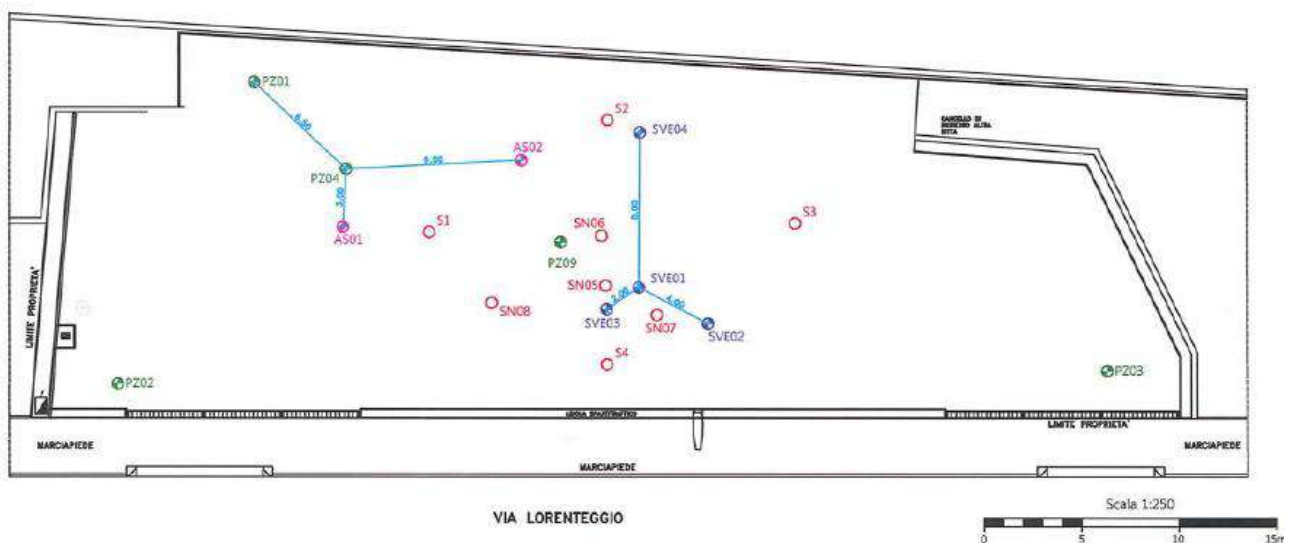
3.1 Extraction system

The remediation approach involved the application of a Pump and treat (P&T) intervention on groundwater (with subsequent reintroduction in the hydrogeological upstream groundwater) and a joint intervention of air sparging (AS) and soil vapour extraction (SVE) on unsaturated soil.





In order to assess the applicability of the AS (Air Sparging) technologies for the aquifer and SVE (Soil Vapour Extraction) for the unsaturated soil to the site under examination, pilot tests of AS and SVE were performed.

These results showed that neither the introduction of air into the groundwater nor the extraction of air from the subsoil have significant effects on groundwater levels at the design flow rates of the plant.

On the scale of the pilot test, n. 4 points for the execution of the Soil Vapour Extraction test were prepared by core destruction perforation and pushed to a depth of 6 m from the local p.c., then equipped with 2" PVC piping.



LEGENDA

-  Sondaggi realizzati per la caratterizzazione ambientale del sito
-  Piezometri realizzati per la caratterizzazione ambientale del sito
-  Punti di Air Sparging da realizzare
-  Punti di SVE da realizzare

In order to assess the applicability of the SVE technology to the site in question and determine the range of action induced in the ground by the suction of air, a step test was conducted by placing a point in suction and using other wells as monitoring points.



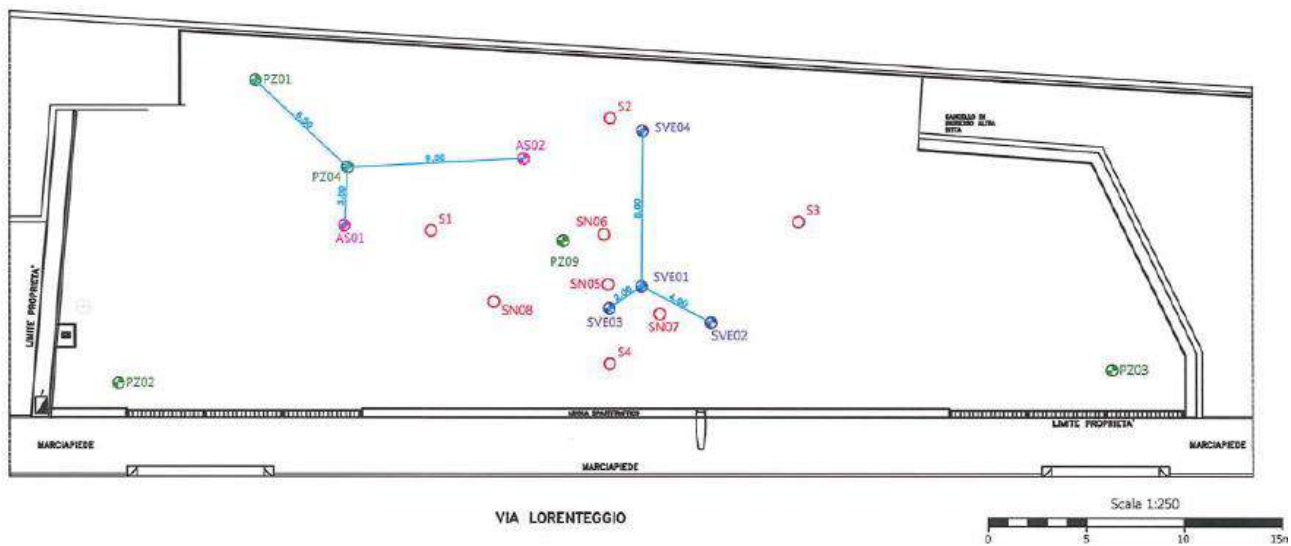
3.2 Injection system

In the pilot scale application, specially drilled wells were used (boreholes pushed up to 6 m from the local p.c., equipped with a 2" PVC pipe) and the carrier gas used was atmospheric air (the same then used at the real scale).

3.3 Radius of influence

In the pilot scale application, a step test was carried out, placing the SV01 point in suction with increasing flow rate steps and using points SV02, SV03 and SV04 as monitoring points.

The extraction and blowing system used a dry vane compressor. For the treatment of interstitial vapours extracted from the subsoil, activated carbon cartridges for air were used.



The extraction of unsaturated air at point SV01 induced, at the maximum flow rate used ($80 \text{ m}^3/\text{h}$), a depression of the order of 15 mbar at the suction point and a maximum of 0.3 mbar in the SV02 located 4 m from the extraction point.

As the extraction rate varied, there was a sharp increase in the amount of Volatile Organic Compounds (VOCs) extracted from point SV01, with maximum values of the order of 300 ppm.

Considering, in accordance with the industry guidelines, the value of 0.25 mbar as the minimum significant depression to have an influence on the suction side, it is possible to establish a range of action of the SVE, at the maximum tested flow rate, between 2 and 3 m.

In order to verify the applicability of the AS technology to the site under examination, determine its range of action and verify the combined effect AS + SVE, a step test was carried out to blow air inside point AS01, using points SV02, SV03, SV04, AS02, PZ04 and PZ01 to monitor the test parameters. In the combined test point SV01 was placed under



suction, with a constant flow rate and set by determining the flow rate steps of the air introduced in point AS01.

A second test carried out on AS and SVE kept the flow of air extracted from point SV03 constant, while in connection with point AS01, flow rate steps of injected air were set.

At the end of the SVE tests, exploiting the oxygenation of the soil induced by the recall of air, a BV test was performed by monitoring the indicator parameters of any possible bacterial activity capable of decomposing the hydrocarbon components.

The parameters used for the dimensioning of the SVE system were chosen according to the results of the pilot test, which can be summarized as follows:

- Calculated radius of influence, ROI: 2.7 m from the vapour extraction point;
- Depression applied to each point SVE, PEa: from -10 to -20 mbar;
- Extraction rate for each SVE point, QEa: about 70 Nm³/h.

From the results of the pilot tests and from the definition of the Conceptual Model of the site, the parameters for calculating the duration of the remediation were defined:

- Extraction rate for each SVE point, QEa: about 70 Nm³/h;
- Air inlet pressure at each point AS: QIa: about 300 mbar Nm³/h;
- VOC concentration entering the remediation system, Ci: 430 mg/Nm³;
- Estimated volume of the source of contamination, V: 800 m³;
- Concentration of contaminants in the source of contamination, Cc: 8802 mg/kg.

The overall duration of the reclamation of the subsoil was estimated in the project in the order of 3 years.

3.4 Off gas Treatment

For the pilot plant, a capture system was used consisting of activated carbon cartridges, which were then disposed of (code EER 19.13.02).

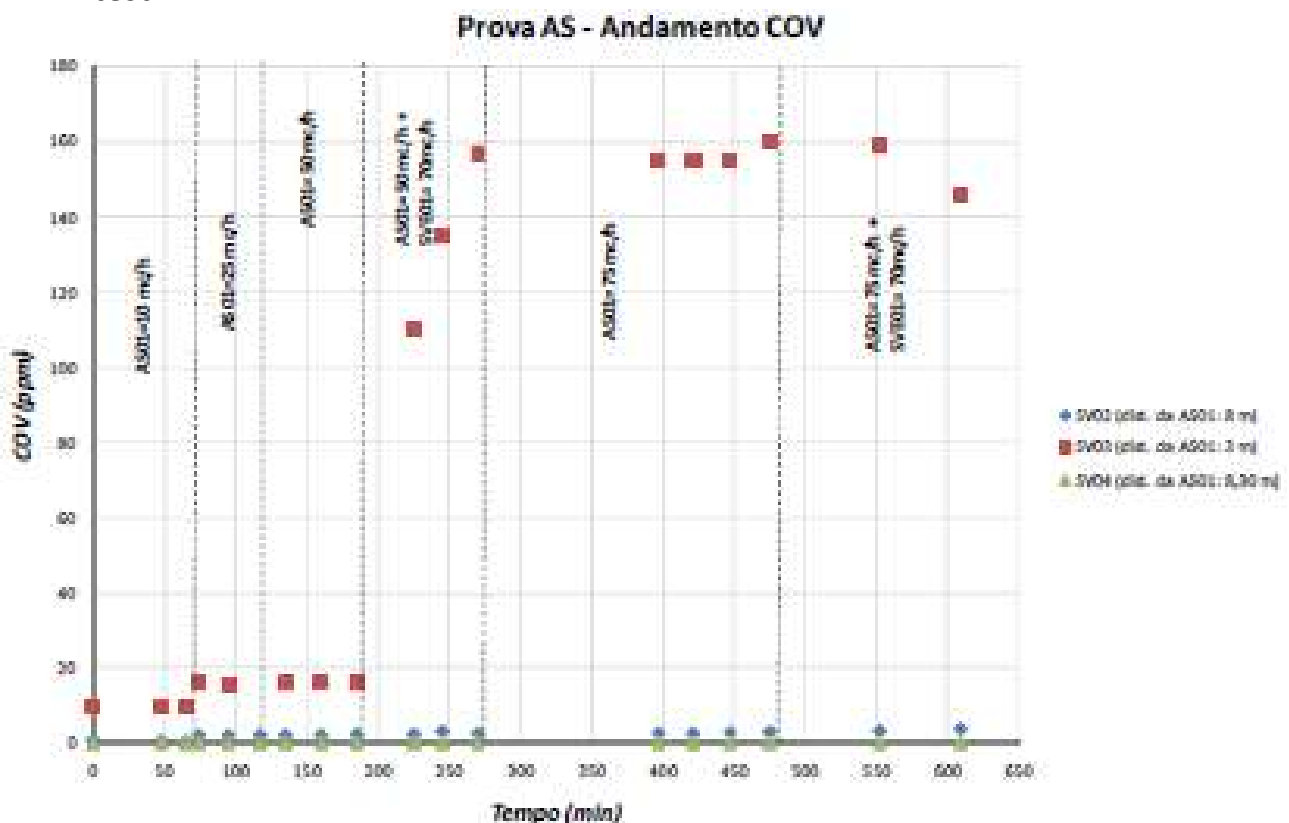
3.5 Control parameters

The pilot scale monitoring and sampling plan evaluated the concentration variations of VOCs (volatile organic compounds) using a portable PID photo ionizer and estimated the triggering of bacterial activity in the soil by evaluating the variations of O₂ and CH₄. To assess full-scale applicability, the following were measured, as the operating flow rates vary:

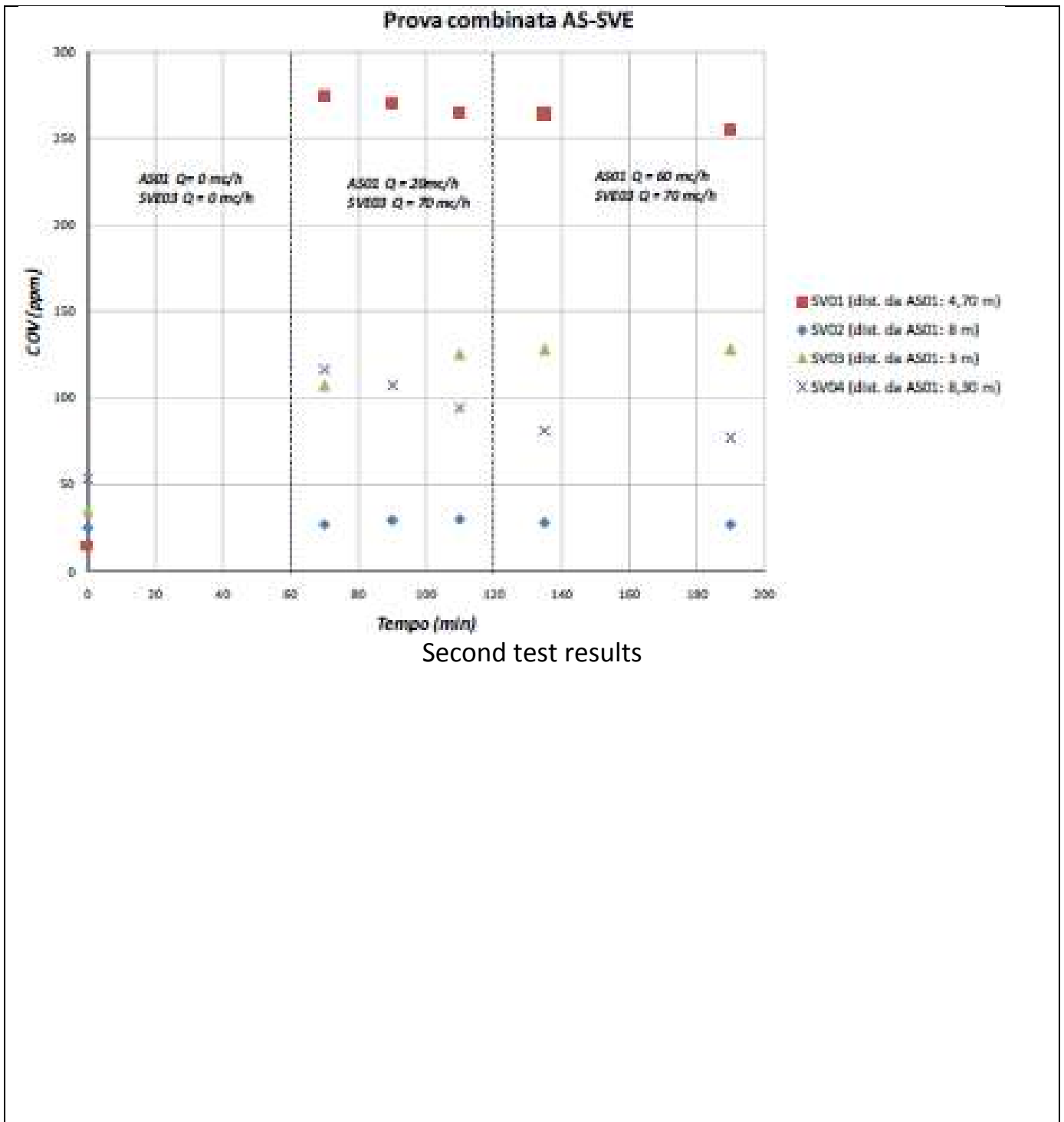
- extraction flow, depression and VOC concentration on the air extraction line.
- depression and VOC concentration on monitoring points

In the AS and combined AS and SVE test the following were monitored:

- inlet flow rate and pressure on the air inlet line
- extraction flow, depression and VOC concentration on the air extraction line.
- VOC concentration, temperature, dissolved oxygen and groundwater level at the monitoring points during the first test
- depression and VOC concentration on the monitoring points during the second test



First test results



Second test results

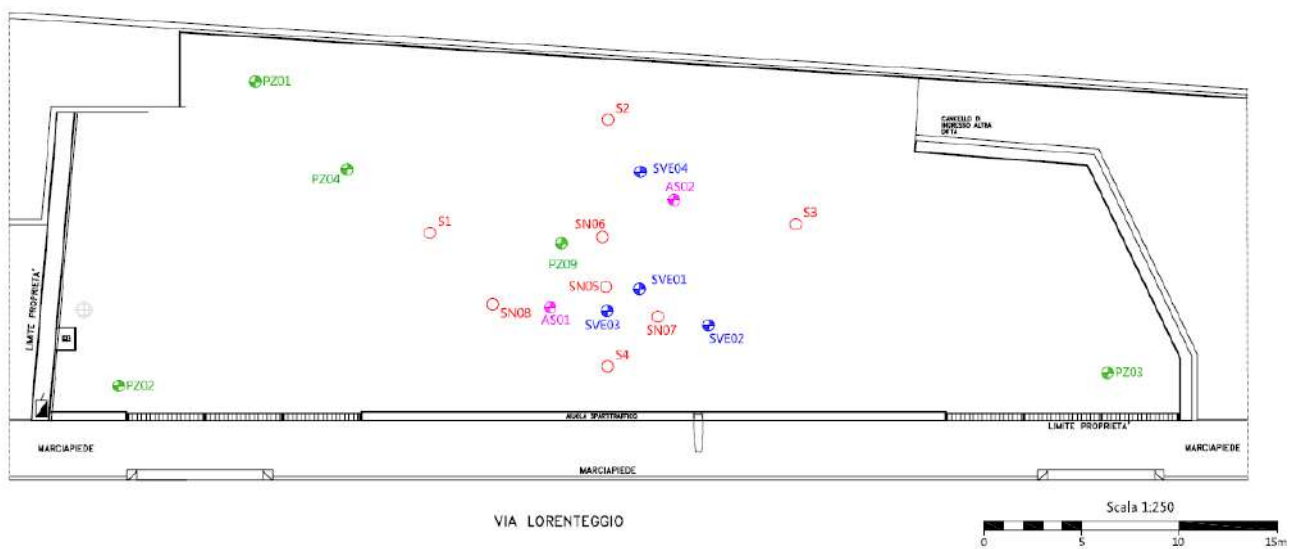
4. Full-scale application

4.1 Extraction system

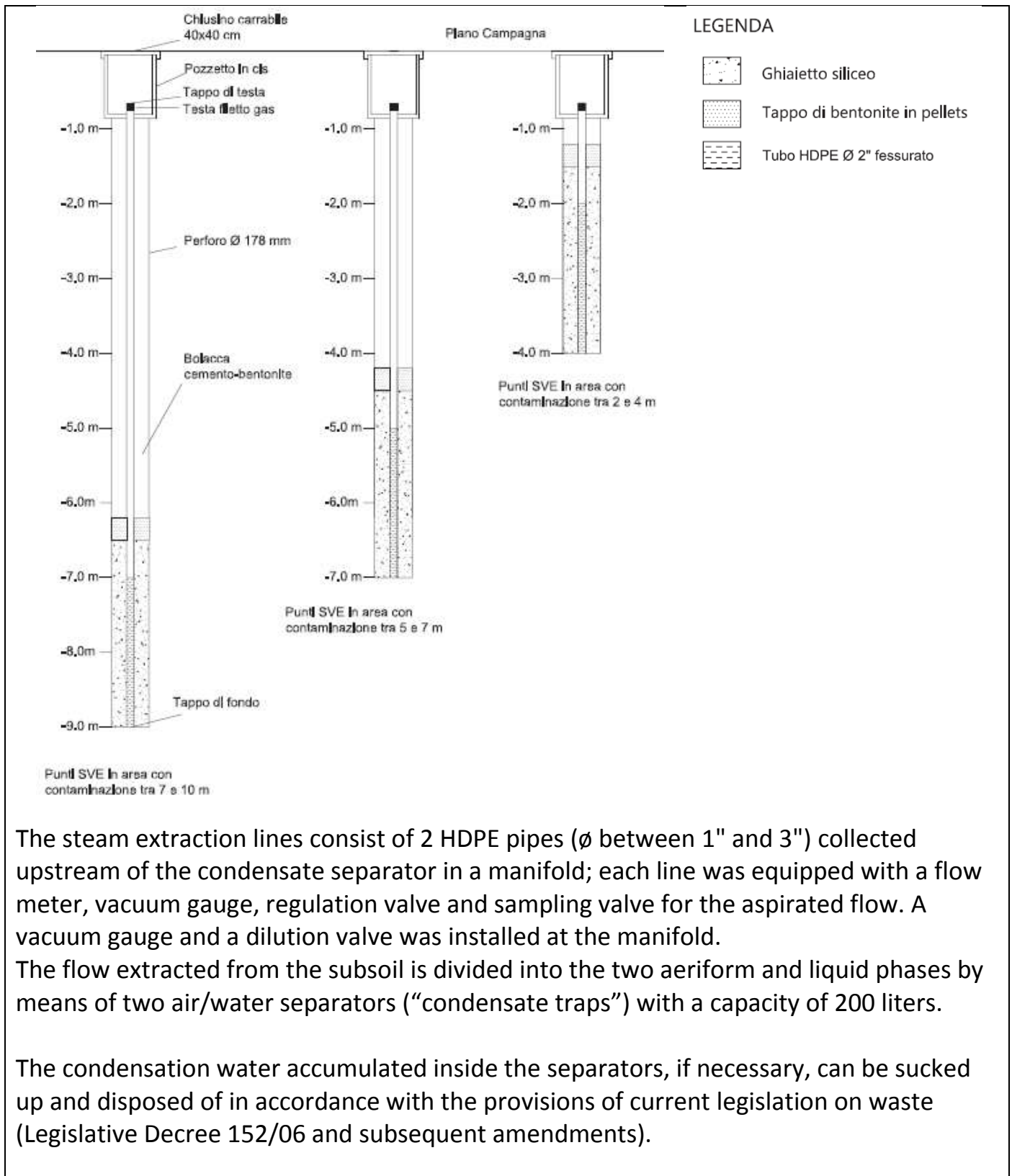
The number, spatial location, and construction characteristics of the vapour extraction points were defined in consideration of the ROI determined through the pilot tests, the areal and vertical distribution of the contamination, without neglecting the litho-stratigraphic structure of the site.

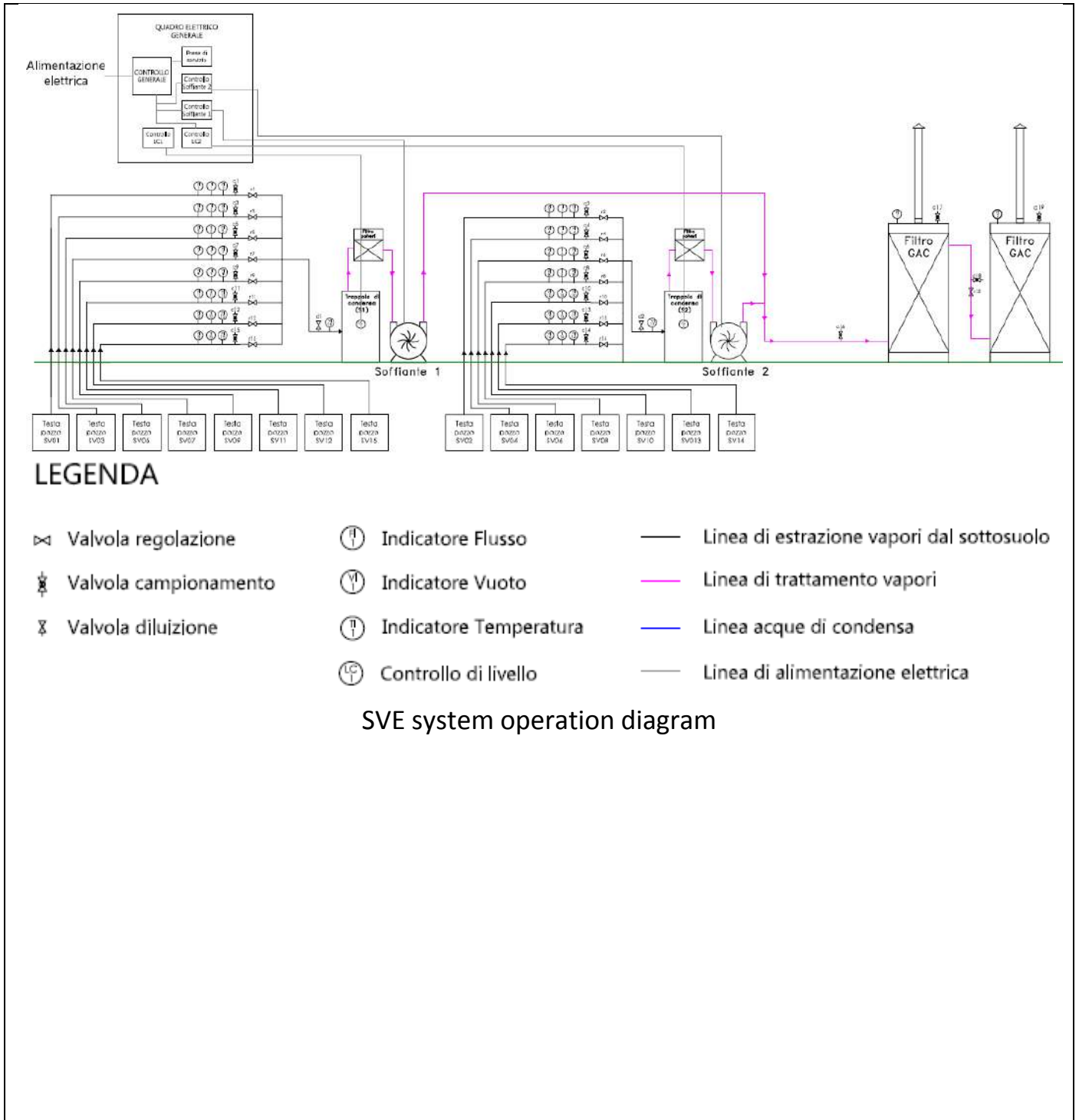
The parameters used for the dimensioning of the SVE system were chosen according to the results obtained from the pilot test; in particular, the following project parameters were assumed:

- Calculated radius of influence, ROI: 2.7 m from the vapour extraction point;
- Depression applied to each SVE point, PEa: from -10 to -20mbar;
- Extraction rate for each SVE point, QEa: about 70 Nm³/h.



The vapour extraction system consists of 10 points, all made by means of core destruction drilling, with the housing in the sounding hole of a non-toxic PVC pipe with a diameter of 2", installed at a maximum depth of 9 m from the ground level (in particular, some SVE wells were built up to 9 m deep and with a filter section between 7 and 9 m from the local ground level; some SVE wells pushed up to 7 m deep and with a filter section between 5 and 7 m from the local ground level; some SVE wells pushed up to 4 m deep and with a filter section between 2 and 4 m from the local ground level).

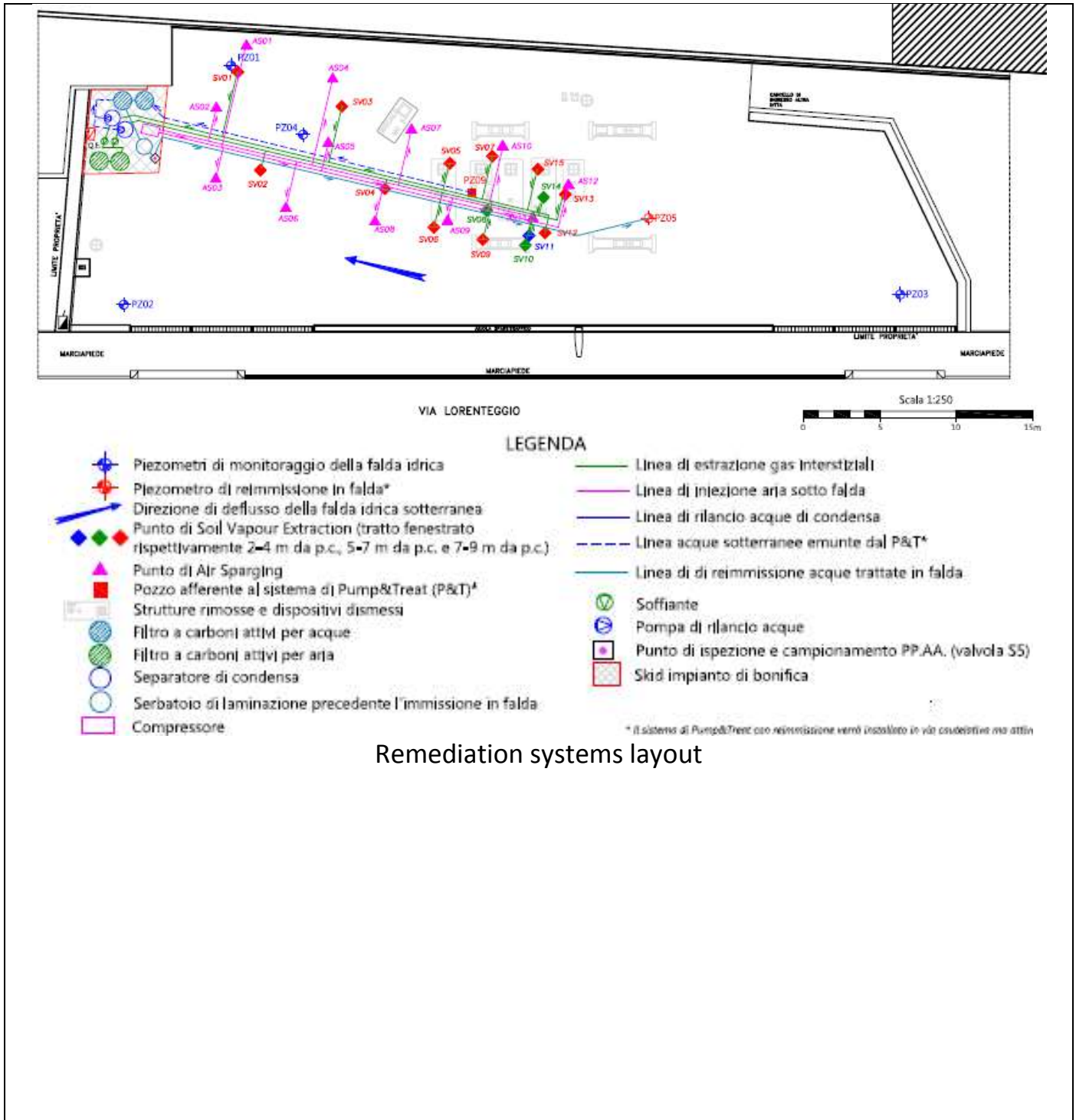




LEGENDA

- | | | |
|-------------------------|--------------------------|---|
| ⊗ Valvola regolazione | ⊕ Indicatore Flusso | — Linea di estrazione vapori dal sottosuolo |
| ⊕ Valvola campionamento | ⊖ Indicatore Vuoto | — Linea di trattamento vapori |
| ⊗ Valvola diluizione | ⊕ Indicatore Temperatura | — Linea acque di condensa |
| | ⊕ Controllo di livello | — Linea di alimentazione elettrica |

SVE system operation diagram



Remediation systems layout



4.2 Injection system

In the full-scale application, atmospheric air was used as a carrier gas and the system was built with the installation of n. 10 SVE wells.

The ventilation system has provided for the installation of 2 side channel blowers (regenerative blower), by means of which to induce a depression in correspondence with the vapour extraction wells created/positioned in order to treat specific portions of unsaturated subsoil, favouring the desorption of the contaminants from the solid phase to the gas phase.

The criterion underlying the design choice to use two blowers was based on the opportunity to alternate the steam extraction points on two separate lines, allowing some flexibility in managing the system and letting it operate during partial maintenance.

In particular:

- BLOWER 1 - afferent to 8 steam extraction points, capable of reaching a depression between -200/-250 mbar, for a total flow rate of approximately 560 Nm³/h, in order to guarantee an equal air flow for each extraction point at about 70 Nm³/h;
- BLOWER 2 - afferent to 7 steam extraction points, able to reach a depression between -200/-250 mbar, for a total flow rate of about 500 Nm³/h, so as to guarantee an equal air flow for each extraction point at approximately 70 Nm³/h.

The blowers, each connected to a group of suction points, work individually alternately according to on/off cycles controlled by a timer.

4.3 Radius of influence

The operating range of influence used in the project was assumed to be equal to the ROI obtained from the pilot tests, i.e. 2.7 meters for each single ventilation point.



4.4 Off gas Treatment

The vapours extracted from the subsoil have been collected and conveyed to condensate traps, where the separation between the interstitial gas and any water vapour present in the extracted air flow takes place; the condensate water is removed from the separators by means of special booster pumps and sent to a water treatment system before being discharged into the sewer system.

The interstitial vapour, once dehumidified, passes through an anti-particulate filter before passing through the blower that generated the vacuum and only then is sent to the air handling unit.

To reduce the pollutants present in the extracted interstitial gases, a pair of filters in series with granular activated carbon was installed.

The treatment unit has also been provided with arrangements that allow the filters to be arranged in parallel in the event that the inlet flow shows compatible VOC concentrations.

The exhaustion time of the activated carbons used for the treatment of interstitial gases, estimated on the basis of very conservative theoretical calculations, was set in the project as approximately 87 days and was verified with the results of the analyzes carried out on the outgoing air samples from the plant from the respective plants.

This check made it possible to program the replacement of the carbon pack of the filters according to the actual site-specific conditions.



4.5 Control parameters

To evaluate the effectiveness of the SVE intervention in the three dimensions, checks were carried out during the start-up phase of the plants and subsequently with periodic checks.

The reclamation plant and the state of the sites were periodically subject to visits aimed at:

- verify the correct functioning of the systems;
- perform routine maintenance of the system;
- schedule any extraordinary maintenance interventions;
- monitor the operating parameters of the plant and possibly remodel the adjustments;
- check the quality of the flows entering and leaving the water and air treatment system.

Before starting the plant, or at T_0 , a complete monitoring of the groundwater was carried out, with detection of the static piezometric level and measurement of the chemical/physical parameters with particular attention to dissolved oxygen values.

At the first start-up of the SVE/AS plant, the appropriate adjustments were made on the operating parameters (extracted/injected flows, pressures/depressions, etc.) and the simultaneous monitoring of the subsoil response (concentration of VOC - O_2 - CO_2 in the interstitial vapours, induced elevations in the aquifer, dissolved oxygen levels in groundwater, etc.) and the efficiency of the treatment systems.

During the setting up, the following measurements were therefore carried out every 2 days:

- relief of depressions in the vapour extraction points and on the manifold;
- survey of the VOC concentrations and the volumetric percentages of O_2 and CO_2 in the vapour extraction points;
- survey of the concentrations of VOCs entering and leaving the air treatment system;
- measurement of extracted flow and injection rates;
- pressure relief at the injection points;
- piezometric survey in correspondence with all wells/piezometers installed on-site;
- measurement of chemical-physical parameters with particular reference to dissolved oxygen (OD).



The set-up took about 10 days and ended with the testing of the air treatment system by sampling and laboratory analysis of the vapours entering and leaving the system.

The above analytical results allowed to validate the use of the portable photo ionizer (hereinafter PID) as a subsequent tool for controlling the quality of the effluent.

Check-ups were carried out on a monthly basis on the system in order to verify the correct functioning of the system and monitor the operating parameters of the system (extraction/injection flow rates, pressures/depressions, VOC - O₂ - CO₂ concentration in the interstitial vapours, OD concentration in groundwater, piezometric levels, etc.) making any new adjustments if necessary.

During operation, routine maintenance of the plant parts was performed (filter cleaning, etc.) and, if necessary, extraordinary maintenance (replacement of activated carbon, waste disposal, etc.).

On an annual basis, samples were taken from an absorber vial to be sent to the laboratory to analyze the gaseous flow in and out of the air treatment system.



6. Post treatment and/or Long Term Monitoring

6.1 Post treatment and/or Long Term Monitoring

Following the injection of atmospheric air into the saturated subsoil and the ventilation of the vadose portion, mobilization and removal of the volatile organic compounds present and oxygenation of the subsoil were obtained.

The increased availability of oxygen favours the aerobic biodegradation processes of hydrocarbons.

For this purpose, periodic respirometric test campaigns (every six months) were carried out during operation, which consists of monitoring the oxygen and carbon dioxide concentrations for a sufficiently long period of time (48 hours) after the shutdown of the systems' ventilation, in order to evaluate aerobic activity in the unsaturated subsoil.

In practice, once the system is turned off, the oxygen present in the interstitial gases will tend to be consumed more rapidly the greater the aerobic biological activity present. On the contrary, the concentrations of carbon dioxide will tend to increase more rapidly the more intense the aerobic biodegradative activity is in place.

On the basis of the data collected, it is possible to estimate average biodegradation rates of contaminants per soil mass in the unit of time.

A soil gas control network has not been envisaged on the site, whose proceedings began before the issuance of the Ministerial Decree 31/2015 and the National Guidelines (LG SNPA) on the soil gas matrix.

7. Additional information

7.2 Additional information

The project goal of the site remediation was indicated as definitively achieved when the concentrations of pollutant compounds adsorbed to the deep soil and dissolved in groundwater reach the relative CSR values set out in the following tables:

Tabella 1. Obiettivi di bonifica per suolo e sottosuolo

Sostanza indicatrice	u.m.	Obiettivi di bonifica
Piombo	mg/kg	100 ⁽¹⁾
Benzene	mg/kg	0,29 ⁽²⁾
Etilbenzene	mg/kg	0,94 ⁽²⁾
Stirene	mg/kg	0,5 ⁽¹⁾
Toluene	mg/kg	0,5 ⁽¹⁾
Xilene	mg/kg	30,24 ⁽²⁾
Sommatoria organici aromatici (da 20 a 23)	mg/kg	1 ⁽¹⁾
Idrocarburi Leggeri C ≤ 12	mg/kg	60,8 ⁽²⁾
Idrocarburi Pesanti C > 12	mg/kg	117,7 ⁽²⁾
Piombo Tetraetile	mg/kg	0,01 ⁽³⁾
MTBE	mg/kg	10 ⁽⁴⁾
ETBE	mg/kg	10 ⁽⁴⁾

(1) colonna A (siti ad uso verde pubblico, privato e residenziale) Tabella 1 dell'Allegato 5 Titolo V Parte Quarta del D.Lgs. 152/06 (CSC per i terreni)

(2) CSR approvate con Determina Dirigenziale Comune di Milano n. 596/152 del 24 novembre 2014

(3) parere ISS del 17/12/2002 n. 49759 IA.12

(4) parere ISS del 2001 n. 57058 IA/12

Tabella 2. Obiettivi di bonifica per le acque sotterranee

Sostanza indicatrice	u.m.	Obiettivi di bonifica
Benzene	µg/l	1 ⁽¹⁾
p-Xilene	µg/l	10 ⁽¹⁾
Idrocarburi Totali (espressi come n-esano)	µg/l	350 ⁽¹⁾
MTBE	µg/l	40 ⁽²⁾
ETBE	µg/l	40 ⁽²⁾

(1) CSC di cui alla Tabella 2 dell'Allegato 5 al Titolo V, Parte Quarta del D.Lgs. 152/06 come riportato nella Determina Dirigenziale Comune di Milano n. 596/152 del 24 novembre 2014

(2) Parere ISS del 12/09/2006 N. 45848, come riportato nella Determina Dirigenziale Comune di Milano n. 596/152 del 24 novembre 2014

Tabella 3. Ulteriori sostanze monitorate per le acque sotterranee

Sostanza indicatrice	u.m.	Obiettivi di bonifica
Piombo	µg/l	10 ⁽¹⁾
Etilbenzene	µg/l	50 ⁽¹⁾
Stirene	µg/l	25 ⁽¹⁾
Toluene	µg/l	15 ⁽¹⁾
Piombo tetraetile	µg/l	0,1 ⁽²⁾

(1) CSC di cui alla Tabella 2 dell'Allegato 5 al Titolo V, Parte Quarta del D.Lgs. 152/06

(2) Parere ISS 17/12/2002 n. 49759 IA.12

The project envisaged that the remediation testing would be required when, for three subsequent monitoring, compliance with the remediation objectives for groundwater determined by the Site-Specific Risk Analysis and Compliance (CSC) was found at the PoC and at the same time the SVE plant had extracted zero VOC concentrations for a period of at least 3 months.

Upon verification of the above conditions, 3 monthly on/off cycles of the groundwater reclamation and sampling plants were carried out.

Following the positive outcome of the three monitoring sessions carried out in the shutdown cycles, the shutdown of the plants and the subsequent testing of the deep soil matrix was envisaged. It was proposed to carry out some probes with sampling of unsaturated matrix for verification of compliance with the CSRs defined by the risk analysis.

From the end of June 2018 to the end of July 2018, when the remediation systems were shut down, the SVE plant extracted an average flow rate of interstitial gases from the subsoil equal to about 12,000 m³/day.

In the same period, the AS plant, by means of a side-channel compressor, had blown atmospheric air into the saturated subsoil with an operating pressure of about 0.3 bar and an average flow rate of 240 m³/h.

From August to October 2018, the SVE and AS plants operated intermittently to allow the implementation of the reclamation test plan.

The duration of the reclamation of the subsoil was estimated at about 3 years, with the start-up of the plants on 27 July 2015. The operation of the reclamation plants ended in July 2018.

In the subsequent period up to January 2019, the testing activities of the environmental matrices of the subsoil were carried out. These showed compliance with the remediation objectives for groundwater and unsaturated soils in the south-east sector of the site, with the exception of the area central of the site where residual



concentrations of heavy hydrocarbons C> 12 persisted.

The checks carried out on the groundwater matrix, on the other hand, showed compliance with the CSCs of reference to the POC of the site (this situation was verified over time through the monitoring of the groundwater).

The outcome of the testing on unsaturated soil, implemented as per the approved test plan, therefore highlighted the persistence of values exceeding the established remediation objectives.

The analyses carried out by the ARPA Laboratory, on the samples taken in contradiction, show the failure to achieve the remediation objectives for the hydrocarbon parameter C> 12 in a sample taken in the depth range between 5 and 6 m from the local p.c. (the ARPA Laboratory quantifies a value of 458 mg/kg dry matter, compared to the remediation target set at 117.7 mg/kg, as defined by the reference CSR).

Similarly, the Party's data shows the non-compliance with the remediation objectives for the hydrocarbon parameter C> 12 only in two samples taken both in the same vertical survey verified by ARPA, one between 3 and 4 m deep from the local p.c. (with 880 mg/kg, compared to the CSR of 117.7 mg/kg) and one between 5 and 6 m of depth from the local p.c. (with 300 mg/kg, compared to the CSR of 117.7 mg/kg).

The checks were carried out after the period of operation of the reclamation plant in unsaturated soil. The south-east sector of the former PV shows the achievement of concentrations lower than the reclamation objectives, while in the center of the site, residual concentrations were determined in Heavy hydrocarbons C> 12 exceeding the CSR, distributed between the depths of 3 and 7.5 m from p.c..

The almost zero values of the VOCs measured in the interstitial gases extracted from the unsaturated subsoil with the SVE plant and the weak biodegradative activity determined with the respirometric test showed that the remediation systems, consisting of an SVE, AS and P&T plant, have exhausted their effectiveness in cleaning up contamination.

Faced with this evidence, it was proposed to launch a soil gas monitoring campaign on the site to measure the real flow of volatile substances present in the subsoil in order to apply the measured data as part of a risk analysis review.

For the verification of the real flow coming from the subsoil it was initially proposed to use some of the existing SVE wells for the soil gas monitoring network. In view of the observations made by ARPA (which assessed the dimensions and depths of the filtering sections of the proposed SVE wells as non-compliant with the specifications of the LG SNPA), the installation of 3 soil gas probes of the "nesty probe" was therefore proposed. The monitoring activities of the soil gas matrix, which will be carried out for an annual duration with seasonal campaigns (quarterly sampling), will be used to obtain direct data to be used for a review of the risk analysis.

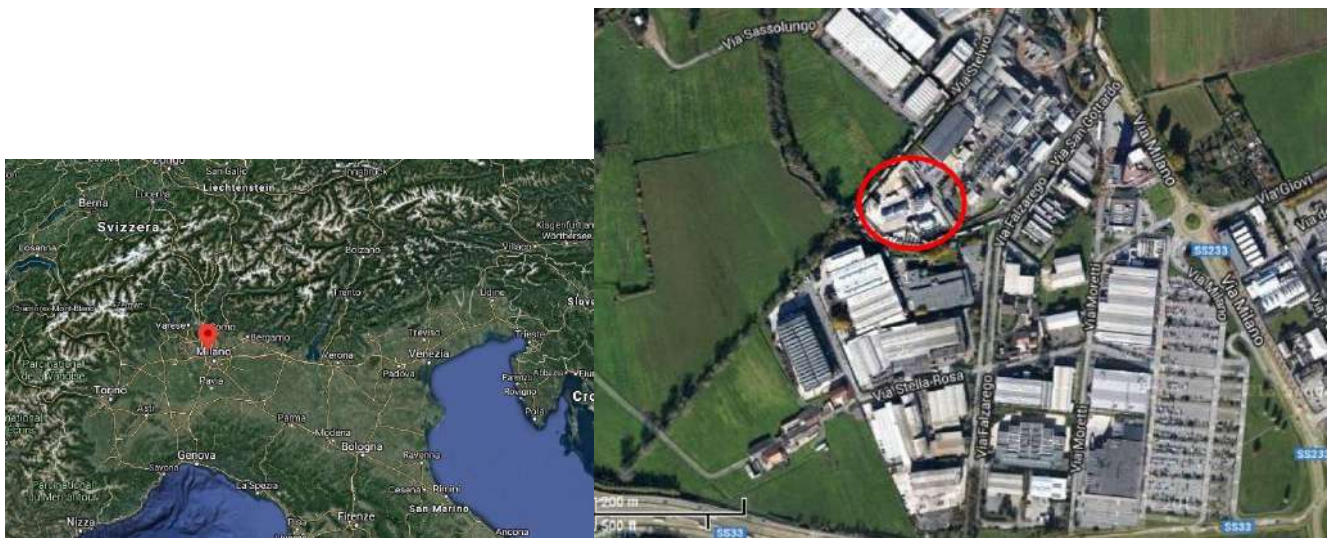
1. Contact details - CASE STUDY: SVE n.17

1.1 Name and Surname	Confalonieri Massimiliano, Panzeri Paola, Canepa Paola
1.2 Country/Jurisdiction	Italy
1.3 Organisation	ARPA Lombardia
1.4 Position	Dirigente RUO BARAE
1.5 Duties	
1.6 Email address	m.confalonieri@arpalombardia.it
1.7 Phone number	+39 335 531 8045

2. Site background

2.1 History of the site

The site covered by this questionnaire is known as EX BRENNTAG DEPOSITO and is located in an industrial area north-west of Milan, in the municipality of Bollate.



The area is not part of a Site of National Interest.

The company, active since the late 1950s, deals with the storage and distribution, wholesale and retail, of chemical substances and is one of the Industries at Risk of Major Accident subject to Legislative Decree no. 105/2015 called "Seveso III Decree".

The deposit initially covered only a limited part of the current surface and consisted of 10 vertical 30 m³ above ground tanks, located along the southern border, and 11 (plus 5 installed after a few years) buried tanks of 30 m³ each. (some of which divided into two compartments), arranged along the western border; all these tanks have now been removed and demolished. From notes of the time, it seems that the products stored were the following:

- Underground tanks: dichloroethane, MEK, Acetone, Ethyl alcohol, Methyl alcohol, Isobutyl acetate, Ethyl acetate, IPA, Heptane, Octane, Toluene, Hexane, Cyclohexane, Trieline, Tetrachloroethane, Sulphuric ether, Solvent naphtha from petroleum, THF, MIBK
- Above Ground Tanks: Ethyl glycol, Butyl glycol, Ethylene Glycol, Propylene Glycol, Propylene Glycol USP, Methyl glycol, Methyl glycol Acetate, Cyclohexanone and Cyclohexanol

The deposit has undergone various modifications over the years; was expanded in 1968

(10 tanks of 50 m³ above ground), in 1974 (25 tanks of 50 m³ underground) and in 1985 (7 tanks of 50 m³ above ground, 6 horizontal tanks of 50 m³ above ground (subsequently demolished) and 1 tank of 100 m³ horizontal above ground) when it has reached the maximum storage capacity.

Over time, phthalates, n-paraffins, dichloropropane and various types of esters have been added to the products mentioned. In the mid-1990s, however, chlorinated products were eliminated, with the exception of dichloropropane, which was eliminated at a later time.

It should be noted that in the mid-1990s some above ground tanks located along the border of the site with the Guisa stream were removed and in 1998 the underground tanks arranged along via San Gottardo, to the left of the entrance to the industrial area, were removed.





2.2 Geological setting

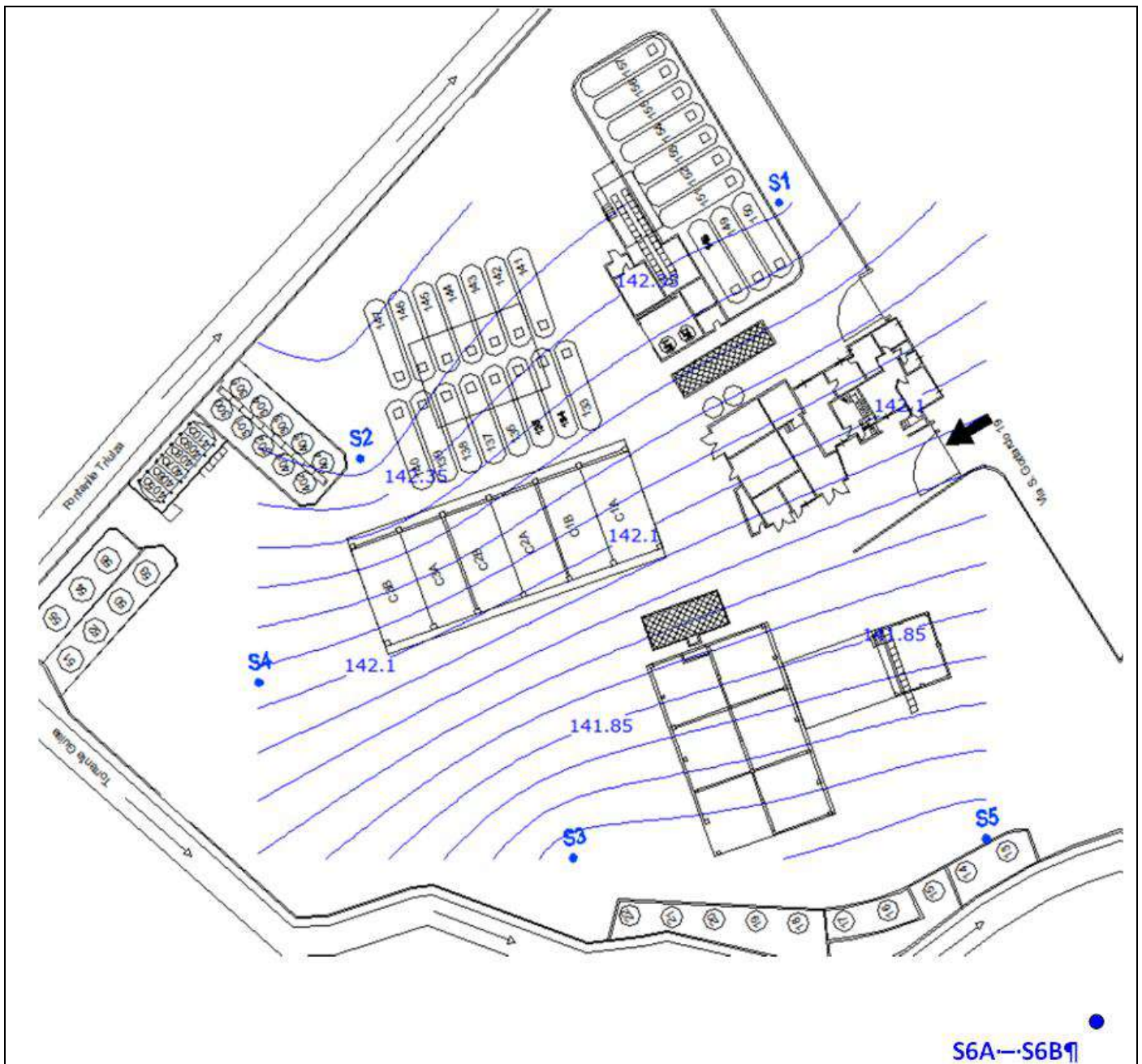
The area under study is located in the central sector of the Milanese mid-plain and is characterized by a sub-flat morphology, with topographic altitudes degrading towards the South, linked to fluvio-glacial and fluvial deposition of the Quaternary age. The morphological structure of the territory consists of extensive fluvio-glacial plains. To the south of the industrial site, the Guisa stream flows eastwards. The site consists of Postglacial Unity (Upper Pleistocene - Holocene), consisting of fluvial deposits with no alteration profile and poorly developed soil, less than one meter thick. From a lithological point of view, the deposits are generally made up of slightly silty sands, with interspersed gravels with a clastic support or a sandy matrix, generally loose.

In the area under examination, the hydrogeological units follow one another, from the most superficial to the deepest, according to the following scheme:

Aquifer Group A: consisting of deposits in high-energy braided fluvial facies. Lithologically it is mainly composed of coarse gravelly-sandy sediments with a medium-coarse sandy matrix with subordinate sandy intervals from medium to very coarse, with high porosity and permeability; locally there are decimetric levels of clay and silty clays and horizons consisting of cemented and conglomerate gravels. The thickness varies from a minimum of 26-30 m up to a maximum of 40-45 m and its lower limit is placed in correspondence with the first truly continuous clayey levels;

Aquifer Group B: consisting of deposits in braided fluvial facies. Lithologically it is mainly composed of coarse sediments represented by medium-coarse sands, pebbly sands and gravels with a sandy matrix with high porosity and permeability; downwards the granulometry of the sediments decreases and the cemented horizons (sandstones and conglomerates) and the levels of fine clayey-silty sediments become more frequent. The overall thickness is around 45 m on average with minimum values around 35 m and maximum values of 55 m.

Aquifer Group C: consisting of deposits in continental/delta transitional facies. Lithologically it consists of fine to medium sands and silty clays with peaty horizons interspersed with gravel-sandy levels with greater permeability. The overall thickness is unknown as the lower limit was not reached by the drilling of the deepest wells in the area. In the permeable levels there are intermediate and deep aquifers, of the confined type, whose vulnerability is mitigated by the presence of continuous clayey layers on the roof, but connections and feeding by the highly vulnerable upper free aquifer cannot be excluded.



The aquifer groups A and B described above are the seat of the main free-type or locally semi-confined aquifer, characterized by subsidence around 20-30 m from the ground level, traditionally captured by the collection wells for drinking water purposes of old construction and from private wells (information taken from the document "Componente geologica, idrogeologica e sismica del Piano di Governo del Territorio" of the Municipality of Bollate, drawn up in 2010 by the "Studio Idrogeotecnico").

Specifically, in the area in question, it is possible to identify 2 distinct layers, separated from each other by a clay lens placed at a depth of 20 m; the static level of the surface



aquifer is around 8 m deep.

The image above shows the isopiezometric map drawn up in 2014 (the static levels were measured on 28/02/2014) for the additions to the site characterization plan; we deduce that the direction of the water table is NNE-SSW, with a gradient of about 1.6 ‰. The figure shows the 7 piezometers that make up the monitoring network and which were grounded in 1994.

The characteristics of the monitoring points are summarized below:

ID	Diameter - inches	Depth - m	volumetric flow (19/03/2014) - l/s
S1	4"	20	
S2	4"	15	0.5
S3	4"	20	0.2
S4	4"	18.5	
S5	4"	18	0.4
S6A	2"	20	
S6B	2"	38	

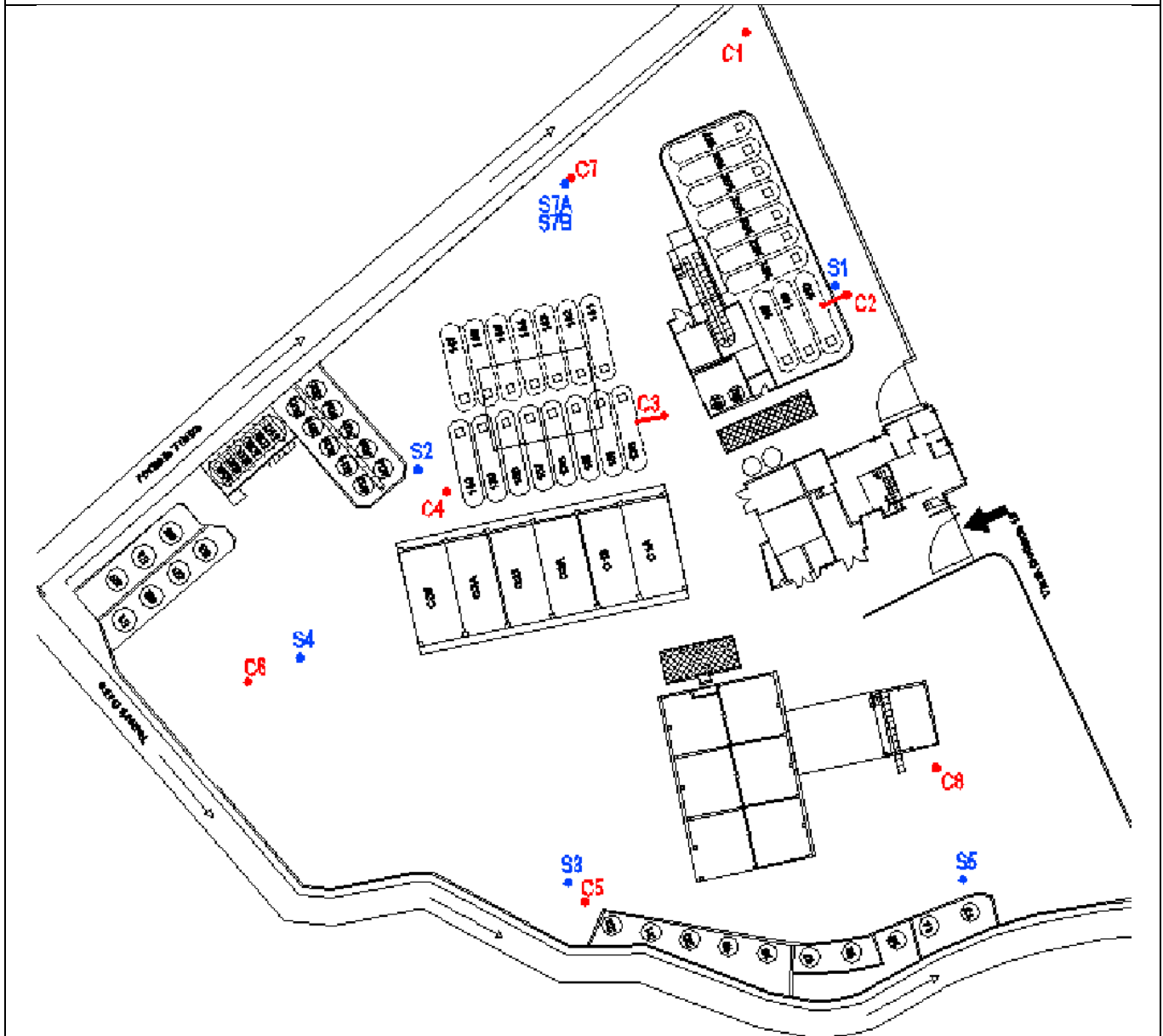
The S2, S3 and S5 piezometers are equipped with submersible pumps for the continuous pumping of water; these piezometers are part of the Pump and Treat (P&T) system which has been active since 21/09/1994. The plant consists of:

- a 30 m³ tank for the collection and homogenization of the water extracted from the reclamation wells;
- a stripping tower for water purification;
- two activated carbon filters, with 80 kg carbon load, positioned in series, for the treatment of gases coming from the stripping tower;
- two activated carbon filters (4,000 kg + 1,000 kg approx.) for the treatment of wastewater leaving the stripping tower;
- a sand filter (approx. 1,000 l) to protect the activated carbon filter for water treatment.

The plant is also designed for the collection and purification of rainwater.

The treated water is discharged into the Guisa stream, which flows immediately downstream of the area.

2.3 Contaminants of concern



The site is characterized by contamination by chlorinated solvents, affecting both the land and the groundwater. The following figure shows the location of the surveys carried out (in red) for the characterization of the land and the location of the piezometers making up the groundwater monitoring network underlying the site (in blue). During the characterization activities, two additional piezometers, 2" each, respectively about 20 m deep (identification code S7A) and 40 m (identification code S7B) were installed with the aim of creating a monitoring point of the surface water



table (S7A, to be compared with S6A) and a monitoring point of the deeper aquifer (S7B, to be compared with S6B). Each bore reached a depth of about 6 m from ground level and for each of them 3 soil samples were taken, one of superficial soil (between 0 and 1 m from b.c.), one intermediate and one in the last meter of the survey.

The analysis on the soil samples taken showed a contamination in correspondence of the C8 survey, both for the superficial and deep soil:

- surface soil (sample taken between 0.2 and 1 m from bw): Hydrocarbons C <12, Benzene and Tetrachlorethylene
- deep soil (sample taken between 2.3 and 2.7 m from b.c.): Trichloromethane and Trichlorethylene.

The maximum concentrations measured (taken from the Operational Remediation Plan, presented in December 2015) are shown in the following table.

Contaminants	Maximum concentrations (mg/kg)
Hydrocarbons C <12	2,120
Benzene	4.11
Tetrachlorethylene	50.7
Trichloromethane	10,536
Trichlorethylene	26,076

It has been estimated that the contamination affects an area of about 200 m², located at a depth of 5 m, for a volume of about 1000 m³.

As regards groundwater, both the most superficial and the deepest aquifers present contamination by chlorinated solvents, but with significant differences in the concentrations of PCE (main contaminant) which are lower in the deeper aquifer where the concentration could also be linked, in part, to an upgradient contribution.

2.4 Regulatory framework

The reference limits considered are those contained in Legislative Decree 152/06, Tab. 1, Col. B (intended industrial use).



3. Pilot-scale application in field

3.1 Extraction system

In the area reclamation project and related additions, the construction of an SVE (Soil Vapor Extraction) treatment plant was proposed, in the area around survey C8, characterized by the presence of soils contaminated mainly by chlorinated solvents. In the Reclamation Project it was proposed to combine the SVE also with an AR (Air Sparging) treatment for groundwater. It should be emphasized that on the site, as reported above, an operational safety system is already in operation consisting of 3 points of extraction of the groundwater, which are then sent to a treatment plant. This system will remain in operation also during the SVE/AS treatment.

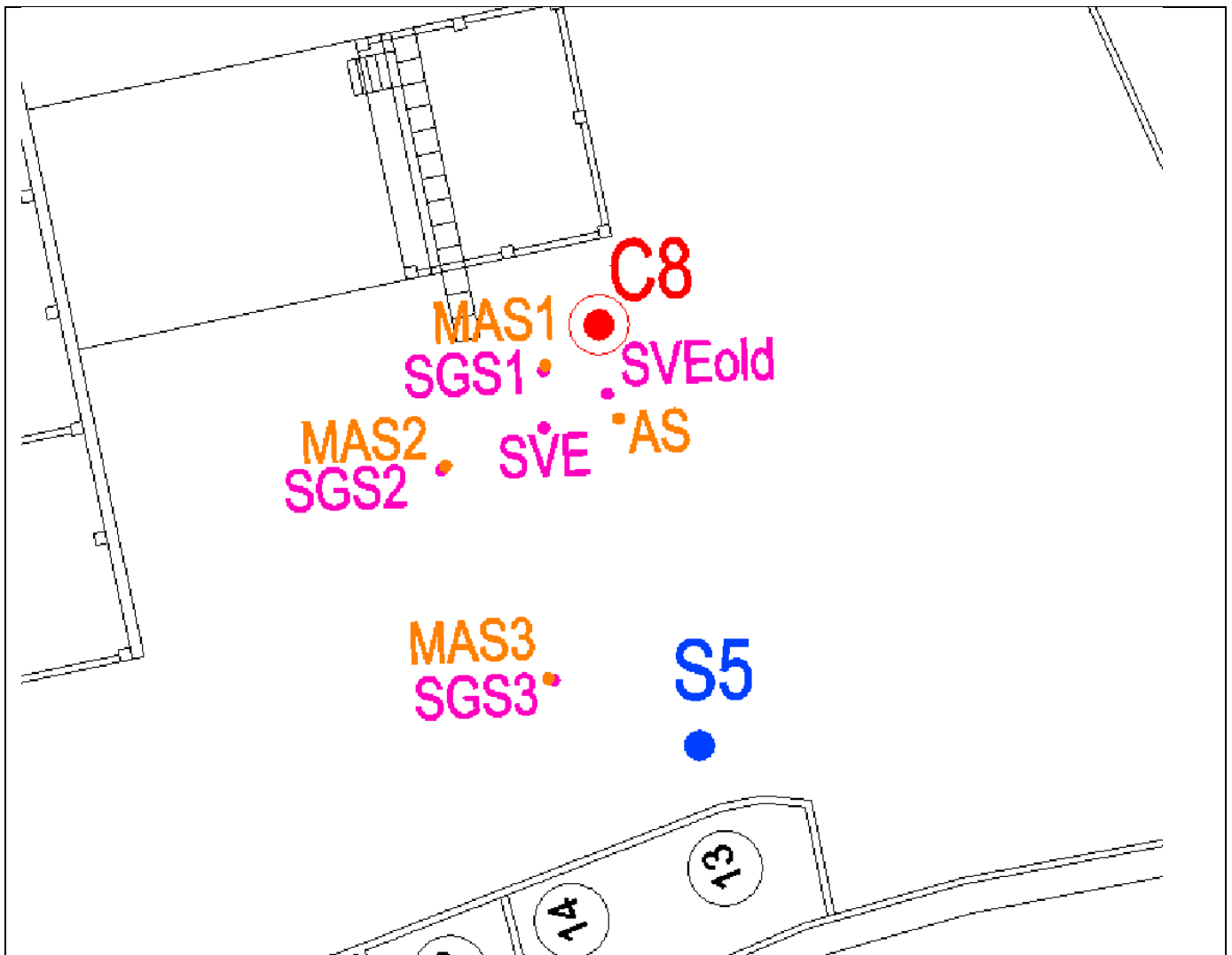
Between 9 and 10 November 2016, the drillings were carried out for the preparation of the test field for the pilot test, which was carried out between 14 and 16 November. During the execution of the test the first SVE point made (later called SVEold) showed problems and, consequently, on 2/12/2016 a second SVE point was made to replace it. On 11/01/2017 the pilot test on the new point was repeated.

The technical-constructive characteristics of the survey points making up the test field are summarized in the following table:

Point	well	Diameter	Depth (m)	Screen (m)
SVE and SVE old	40X40	3"	4	1-4
SGS1	30X30	6 mm (rilsan)	1.5	1.2-1.5
SGS2	30X30	6 mm (rilsan)	1.5	1.2-1.5
SGS3	30X30	6 mm (rilsan)	1.5	1.2-1.5

The SVE point represents the aspiration point for the Soil Vapor Extraction (SVE) test and the SGS points were used as soil gas monitoring during the SVE tests.

The following figure shows the location of the survey points of the test field. In the image, the AS point is also indicated, which represents the air blowing point for the Air Sparging test (AS) and the MAS points, used as groundwater monitoring during the AS tests.



The following table shows the stratigraphy of the SVE point.

Depth (cm from ground level)	Description
0-30	Concrete slab
30-180	Filling consisting of slightly silty sands and gravels with some brick, brown color
180-300	Coarse sands and gravel with pebbles, gray/black color
300-400	Coarse sands and gravels, ocher color

The pilot test on the new SVE point was carried out on 11/01/2017.

The pilot tests were carried out by installing, at the SVE point (see image below), an aspiration system equipped with an activated carbon filter consisting of a rotary blower, regulation valves and vacuum-tight pipes.



The pilot test was performed by sucking air from the SVE point and monitoring, with field instruments, the following parameters:

- VOC (volatile organic compounds) of interstitial gases with the use of a Portable Photoionizer (PID);
- concentrations of oxygen, carbon dioxide, Lel (Lower Explosive Limit) of interstitial gases with a portable IR instrument;
- depressions induced by the rotary blower with a digital pressure gauge (thermo anemometer).

The parameters were measured at the monitoring points arranged around the suction point at distances varying between about 2 m and 8 m from the central point; the following table shows the name of the monitored points and the distance from the SVE point:



Monitoring point	Distance from SVE (m)
SVEold	2.4
SGS1	1.9
SGS2	3.7
SGS3	8.4

The SGS points intercept the horizon between 1.2 and 1.5 m from ground level.

The SVEold point has filters between 1 and 4 m.

First of all, a rapid flow step test was performed, increasing the pump flow in order to identify the flow rate to be used in the constant flow test. The constant flow test was then carried out and lasted for 5 hours, in order to verify the trend of the parameters in the subsoil, following the activation of an SVE system. The rotary pump was set at an average flow rate of 47 mc/h.

The parameters measured at the extraction point and at the monitoring points are summarized in the following tables.

SVE								
Tempo	Pid	Lel	O2	CO2	Depress	V	T	Q
minuti	ppm	%	%	%	mbar	m/s	°C	mc/h
0	480.1	18	21.3	1.22	-286.0	7.74	1.4	47
10	2147.0	16	21.5	3.45	-258.0	6.57	0.8	47
30	2371.0	13	20.9	3.16	-249.0	6.23	4	43
60	4106.0	13	20.9	2.7	-236.0	6.77	4.1	50
90	4469.0	10	20.9	2.26	-232.0	7.46	4.6	53
120	5000.0	10	20.9	2.08	-229.0	8.27	5.2	57
180	5000.0	9	20.9	1.83	-225.0	9.03	5.9	64
240	5000.0	9	20.9	1.62	-222.0	9.53	6.9	67
300	5000.0	8	20.9	1.44	-220.0	9.6	7	72

SVE old						SGS1					
Tempo	Pid	Lel	O2	CO2	Depress	Tempo	Pid	Lel	O2	CO2	Depress
minuti	ppm	%	%	%	mbar	minuti	ppm	%	%	%	mbar
0	1824.0	47	21.3	4.99	0.0	0	544.3	0	21.3	4.99	-5.8
10	1867.0	40	21.5	4.99	0.0	10	261.1	5	21.5	4.99	-6.5
30	2042.0	27	20.9	4.39	0.0	30	61.3	2	20.9	0.07	-7.0
60	2015.0	27	20.9	3.81	-0.9	60	266.0	0	20.9	0.07	-7.5
90	1140.0	2	20.9	0.04	-7.5	90	125.5	4	20.9	2.05	-8.5
120	285.9	2	20.9	0.07	-15.0	120	93.2	0	20.9	1.62	-9.5
180	211.6	0	20.9	0.04	-20.0	180	88.5	0	20.9	1.65	-9.5
240	112.7	0	20.9	0.04	-22.0	240	73.2	0	20.9	1.11	-10.0
300	93.6	0	20.9	0.07	-24.0	300	73.8	0	20.9	1.25	-10.0



SGS2						SGS3					
Tempo	Pid	Lel	O2	CO2	Depress	Tempo	Pid	Lel	O2	CO2	Depress
minuti	ppm	%	%	%	mbar	minuti	ppm	%	%	%	mbar
0	1872.0	14	21.3	4.99	-6.6	0	4852.0	9	21.3	0	0.0
10	2492.0	20	21.5	11	-16.0	10	5000.0	5	21.5	0	0.0
30	2030.0	16	20.9	4.82	-22.0	30	3866.0	4	20.9	0	0.0
60	2550.0	14	20.9	4.53	-36.0	60	4670.0	5	20.9	0.04	0.0
90	2903.0	11	20.9	4.1	-38.0	90	5000.0	4	20.9	0	0.0
120		10	20.9	3.67	-39.0	120	5000.0	4	20.9	0	0.0
180					-41.0	180	5000.0	0	20.9	0	0.0
240					-43.0	240	5000.0	0	20.9	0	0.0
300					-45.0	300	5000.0	0	20.9	0	0.0

The missing data are due to the presence of condensation in the pipes that did not allow the use of the instrumentation.

Data analysis:

- the Pid highlights the increase in values at the SVE point and the simultaneous decrease in the monitoring points, in accordance with the recall of contaminants at the suction point;
- the Lel decreases in all points;
- oxygen stabilizes at 20.9%;
- carbon dioxide shows a tendency to decrease over time;
- the depressions show a greater response to pumping in SGS2 than in SGS1, closer to the SVE point, probably due to the conformation of the subsoil in the area in question; in point SGS3 there are no effects induced by pumping.

During the test, due to local conditions, the extracted flow rate varied from 47 mc/h (set at the beginning) to approximately 70 mc/h. With this capacity, considering what is highlighted by the data, the effects of the vacuum induced by pumping can be observed in the control points SVEold, SGS1 and SGS2 while the point SGS3 does not show variations. The range of influence, therefore, is between 4 and 8 m.

3.3 Radius of influence

During the pilot test, performed by sucking air from the central point called SVE, the induced depressions in the monitoring points, called SVEold, SGS1, SGS2 and SGS3, were measured and arranged as illustrated in par. 3.1. The effects of the vacuum induced by pumping are observable in the control points SVEold, SGS1 and SGS2 while the point SGS3 shows no variation. The range of influence, therefore, is between 4 and 8 m.



3.4 Off gas Treatment

In the SVE point, an extraction system with an activated carbon filter was installed.

3.5 Control parameters

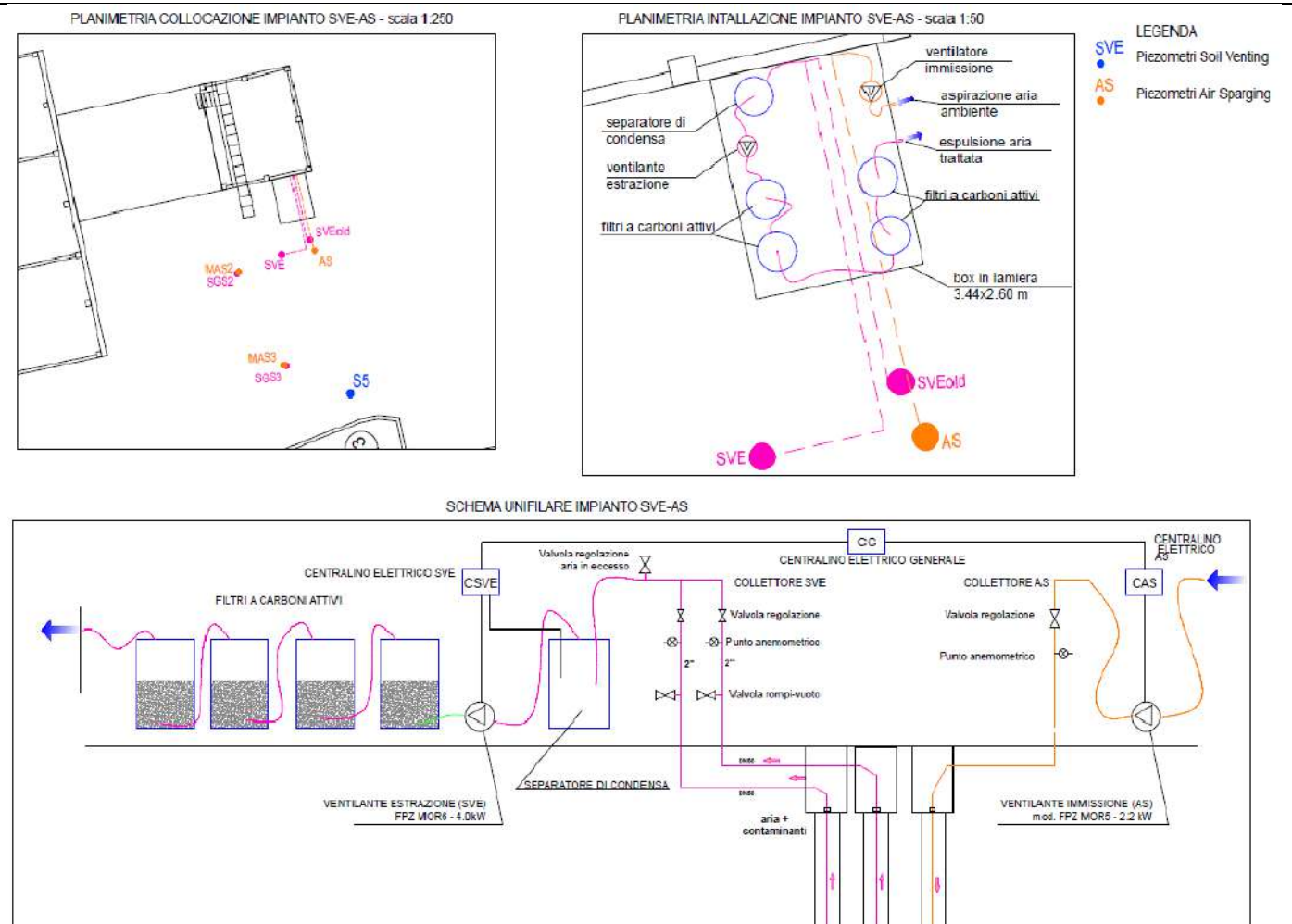
During the pilot test, as reported above, the following parameters were monitored with field instruments:

- VOC (volatile organic compounds) of interstitial gases with the use of a Portable Photo ionizer (PID);
- concentrations of oxygen, carbon dioxide, LEL (Lower Explosive Limit) of interstitial gases with a portable IR instrument;
- depressions induced by the rotary blower with a digital pressure gauge (thermo anemometer).

The recorded data made it possible to identify the air permeability of the soil and the range of influence of the suction system sized for a suction point.

4. Full-scale application

4.1 Extraction system



The plant and its monitoring were started on 14/03/2019.

On the basis of the pilot test performed, it was assumed, as a precaution, a range of action equal to 4 m for the SVE point; consequently it was decided to equip two points for the extraction of vapours, namely the point called SVE and the point called SVEold. During the work, specific calibration tests will be conducted in order to set the optimal configuration for the system.

The SVE and SVEold extraction wells made have the following characteristics:

- drilling up to 4 m deep;
- installation of piezometer (diameter 3"), depth 4 m, fenestrated between -1 and -4 m from the ground floor;
- cementation from p.c. at -1 m;



- installation of calibrated siliceous gravel from –1 m to –4 m from p.c.

The wellhead of the vertical intake is connected to the manifold, mounted at the plant box, which is connected to the separator and subsequently to the aspirator and filter (see image below, which also indicates the Air Sparging system).

4.3 Radius of influence

Based on the monitoring of the lowering measured during the pilot test at the control points (SVEold, SGS1, SGS2 and SGS3) the influence range is between 4 and 8 m; consequently, as a precaution, a radius of influence equal to 4 m was considered.

4.4 Off gas Treatment

Activated carbon filter

Downstream of the suction system, two containers of activated carbon weighing about 50 kg each were placed in series.

4.5 Control parameters

In order to monitor the effectiveness of the SVE/AS system, periodic monitoring of the system and sampling of interstitial gases has been prepared.

With regard to the monitoring of the plant, a fortnightly frequency of checks has been established during the first 2 months of activity, monthly up to 6 months, and quarterly up to 12 months of plant activity. During the checks, measurements of the main flow parameters of the system are carried out with field instruments capable of determining air flow (anemometer), temperature, VOC concentration (PID), differential pressure between the fixed probes in the ground and the atmosphere (Magnehelic).

Samplings of soil gases by means of activated carbon vials were also provided. On 14/03/2019 "zero" sampling took place, coinciding with the start-up of the plant. A further 4 samplings were scheduled during the 12 months of reclamation, foreseen by the project.



5. Enhancements to SVE

5.1 Pneumatic and/or hydraulic fracturing

As mentioned above, an AS (Air Sparging) plant was associated with the SVE for the treatment of groundwater underlying the site. The plant consists of a piezometer, for the injection of atmospheric air into the groundwater, with a depth of 9 m. Three piezometers (called MAS1, MAS2 and MAS3) were also created at a distance of 3, 6 and 9 m from the first one for the introduction of air, as monitoring points. The latter were carried out at the points provided for the monitoring of soil gases (SGS), within the same drilling, in such a way as to optimize economies.

6. Post treatment and/or Long Term Monitoring

6.1 Post treatment and/or Long Term Monitoring

The monitoring plan provided for a sampling of soil gases upon activation of the plant and 4 samplings during the remediation. For the sampling of soil gases, activated carbon vials are used for the determination of C <12 hydrocarbons, with relative speciation, Benzene, Tetrachlorethylene, Trichloromethane and Trichloroethylene.



7. Additional information

7.2 Additional information

Initially, it was planned to carry out a test through soil sampling, after 12 months of treatment, to verify the state of contamination and evaluate any further actions. To date, the treatment of the land is still ongoing, since, following a failure of the plant which occurred in 2020, it was decided to extend the treatment for a further year. At the time of testing, soil samples must be taken from two cores carried out near point C8, at depths of 0-1 m and 2-3 m. The analytical set must include:
Sample 0-1 m: C <12 hydrocarbons, with relative speciation, Benzene, Tetrachlorethylene
Sample 2-3 m: Trichloromethane, Trichloroethylene.

Glossary of Terms

Term (alphabetical order)	Definition
SIN	Contaminated site of national priority list
PA	public administration

1. Contact details - CASE STUDY: SVE n.18

1.1 Name and Surname	Massimiliano Confalonieri – Valter Meda
1.2 Country/Jurisdiction	Italy
1.3 Organisation	Agenzia Regionale per la Protezione dell’Ambiente (ARPA) della Lombardia
1.4 Position	Dirigente RUO BARAE – Tecnico UO BAE MI-MB
1.5 Duties	
1.6 Email address	m.confalonieri@arpalombardia.it v.meda@arpalombardia.it
1.7 Phone number	+39 335 531 8045



2. Site background

2.1 History of the site

The area in question is located in the territory of the Municipality of Villasanta (Monza and Brianza province), north of the Milan urban area and is geographically located in the high Lombard plain, immediately south of the pre-Alpine moraine hills.

The site was affected by the presence of an industrial plant built in 1971 and dedicated to the production of air conditioning equipment. Industrial production has ceased but the site retains its industrial use and the area is occupied by commercial and/or logistics activities.

The main production cycles concerned:

- mechanical processing of metals;
- oven painting with organic solvent paints;
- electrophoresis painting.

Both painting processes, discontinued in 1994, were supported by a waste water treatment plant. The main structures present were made up of:

- a purification plant (decommissioned in 1994) with two masonry tanks, a settler and a sludge drying tank;
- a thermal power plant, currently fuelled by methane;
- 5 underground tanks located about 10 m from the south west corner of the thermal power plant, n. 4 of which containing fuel oil and n. 1 containing diathermic oil. All fuel oil tanks would have been removed in 1991 during the construction of the underpass. The diathermic oil tank was removed and replaced with a new double-walled tank positioned along the east side of the thermal power plant. This latter tank also seems to have been removed in 1992 with the construction of the thermal power plant;
- 2 electrical transformer cabins, one located in the thermal power plant and one inside body C. The one in the thermal power plant has a single transformer and is currently not in use, with a concrete containment tank in good condition. The one inside body C is in use. Transformers with PCB-containing oils were reclaimed and replaced in 1989

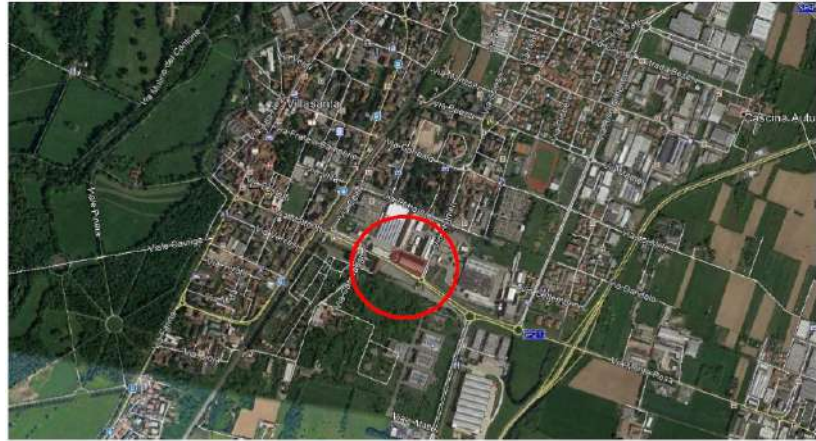
The site was affected by a remediation procedure according to the regional regulations in force at the time that began before the entry into force of the Ministerial Decree of 25 October 1999, n. 471. Later, the process has been developed according to the ordinary operational and administrative procedures laid down by Legislative Decree 3 April 2006, n. 152.

Since the area is not included in the case of SIN or SIR in implementation of the regional

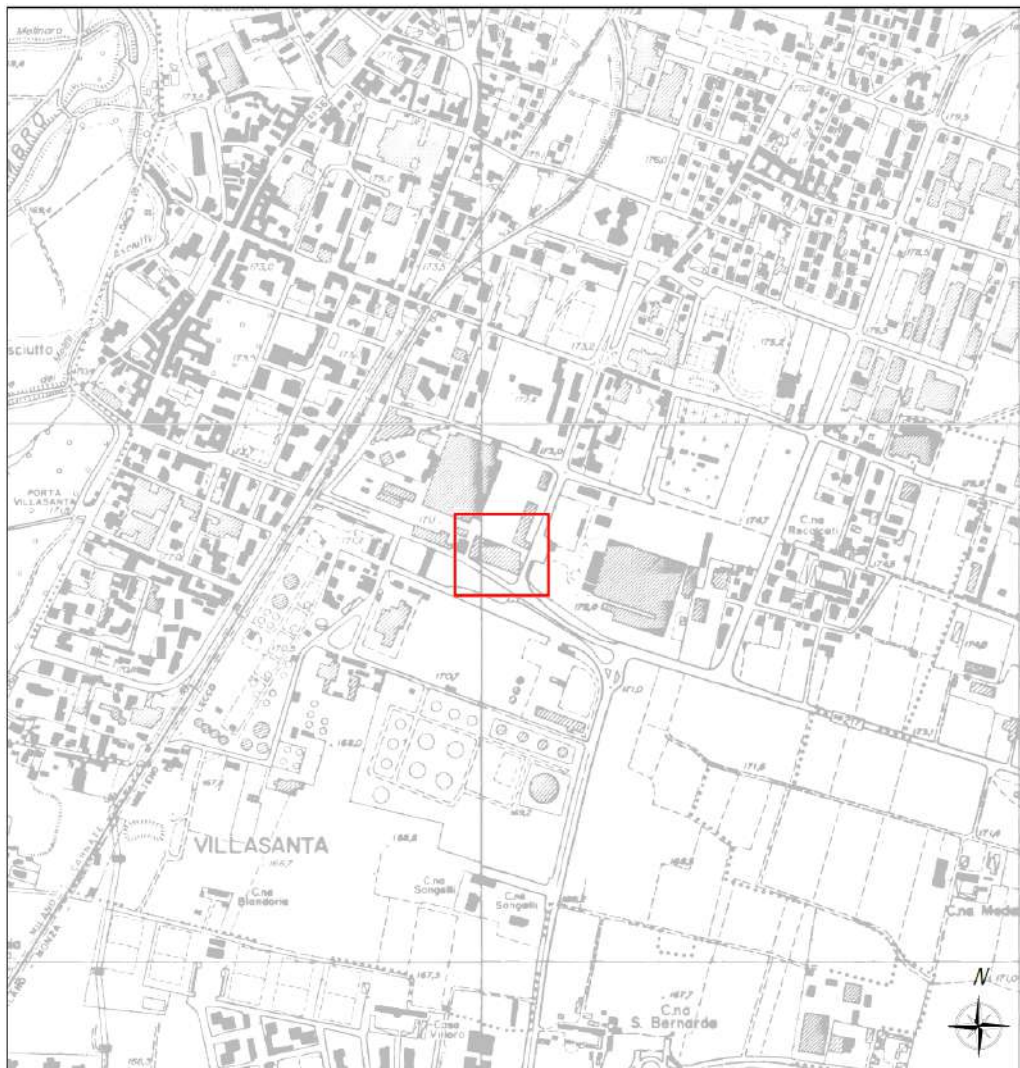
delegations, the competent authority in charge of the administrative acts is the municipal administration.



Lombardy – Monza Brianza Province



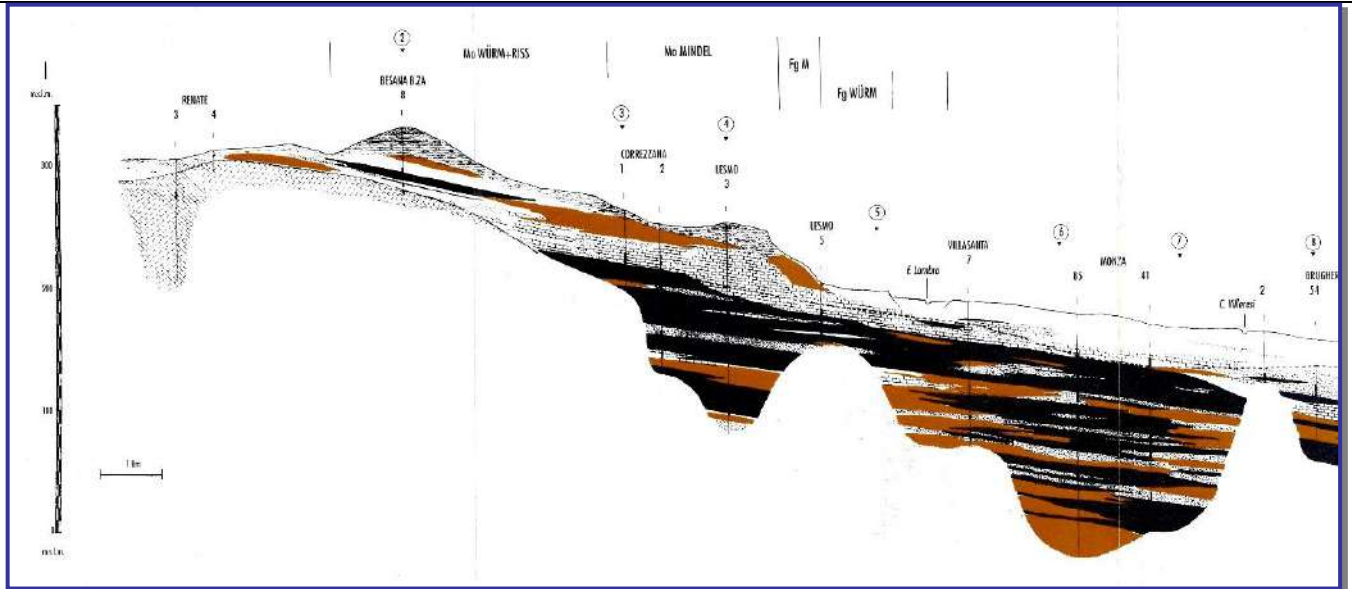
Villasanta – site location



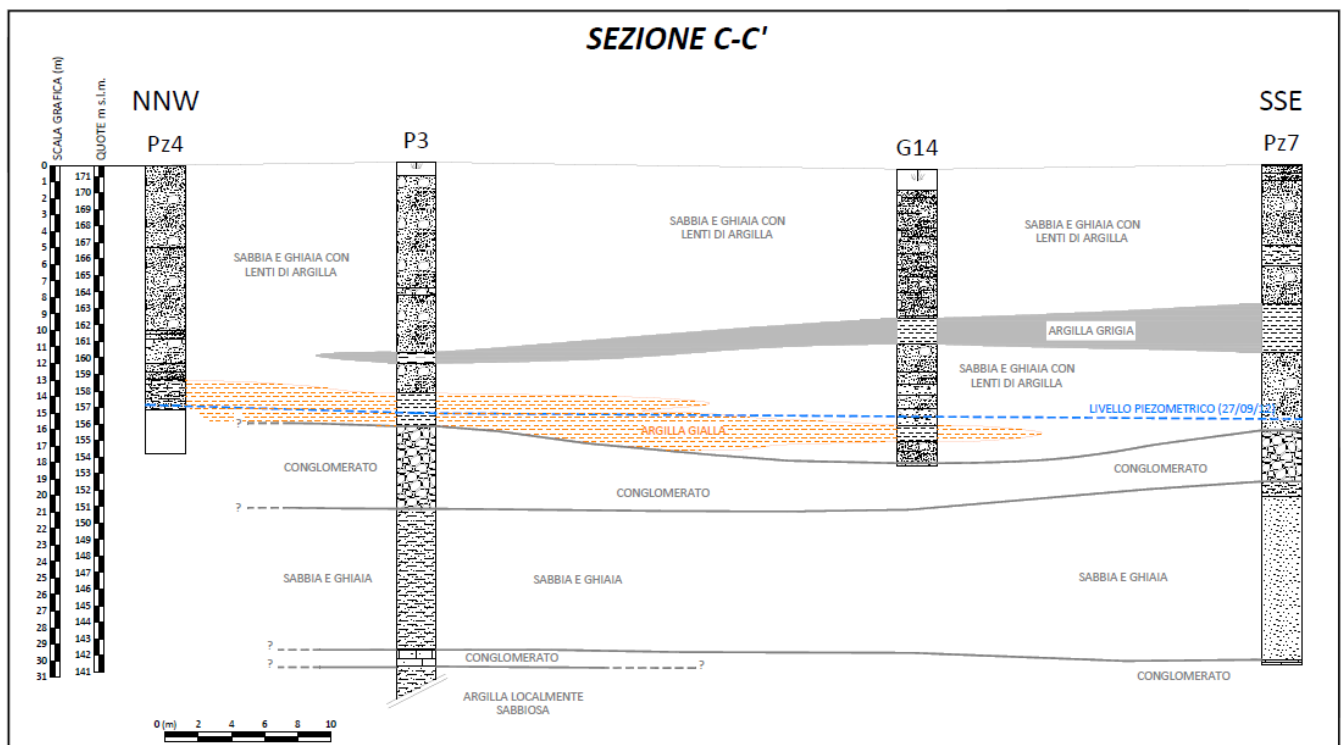
Base cartografica: Stralcio C.T.R. Regione Lombardia fogli B5c4, B5c5, B5d4, B5d5 scala 1:10.000 (mod)

Villasanta – site location (Technical Regional map 1:10:000)

2.2 Geological setting



NS hydrogeological section of the central area and the Lambro basin (from: Provincia di Milano, 1995)



Stratigraphic detail of the intervention area

The western border of the municipal area coincides with the path of the Lambro river.



Geologically, the subsoil of Villasanta can be included within the Fundamental Level of the Plain (LFP), traditionally characterized by deposits of late Pleistocene fluvial-glacial origin, consisting of sands and gravels with pebbles that form the Lombard plain. Near the banks of the Lambro, more recent sediments develop which can be associated with the depositional activity of the watercourse itself. From a petrographic and lithological point of view, the origin of the Lambro deposits is strictly attributable to the portion of the pre-Alpine chain which, within the reference hydrographic basin, crops out in correspondence with the Larian triangle between Como and Lecco. This can be distinguished due to the outcrop of Mesozoic geological units of a predominantly calcareous nature.

The presence of the Lambro river also affects the alluvial sediments, whose deposition over time has given rise to real paleo-riverbeds with high transmissivity values. In general, in the area under examination, the subsoil is characterized in the superficial portion by the presence of mainly gravelly-sandy lithology horizons, with high permeability and thickness values. Proceeding in depth, the progressive lithological variations due to the prevalence of fine-textured lithologies (clays, silts and fine sands) determine a reduction in permeability. Under these conditions, the aquifer horizons are limited to isolated lenses of relatively permeable material and of modest thickness. The hydrogeological structure traditionally described by authors on the basis of the permeability characteristics has led to the identification of three main hydrostratigraphic units having the following characteristics:

- first aquifer: consisting of prevailing gravels and sands, with subordinate fractions of silts and gravelly-sandy horizons locally cemented. These sediments can be traced back to the recent and ancient alluvial and fluvio-glacial deposits from Würm (upper Pleistocene) which constitute the Fundamental Level of the Plain (LFP). This unit contains the upper part of the traditional aquifer, characterized by relatively high hydraulic conductivity values between 10^{-3} and 10^{-4} m/s. The characteristics of the aquifer are those typical of a free, unconfined water table;
- second aquifer: consisting of gravels and silty sands and conglomeratic horizons. These lithotypes are traditionally attributed to the ancient fluvio-glacial deposits of Mindel and Riss (lower Pleistocene) which on the surface give rise to the characteristic “ferretto” terraces of the foothills and hills of Brianza. The permeability of the aquifer which has hydraulic conductivity values of an order of magnitude lower than those of the first aquifer and equal to about 10^{-4} - 10^{-5} m/s. This aquifer can contain a free aquifer or, in the presence of horizons that are not very permeable to the roof, locally semi-confined, generally in connection with the one above. Where the piezometric load differences between the two aquifers are more significant, water exchanges between the aquifers may occur due to the phenomenon of drainage;



- third aquifer: characterized by predominantly fine-textured soils, such as silts and clays with fine sand levels. These deposits are attributed in literature to the so-called Villafranchian clays. Due to the clear prevalence of fine-grained lithotypes, the hydraulic conductivity values in sandy lenses are approximately 10^{-4} - 10^{-6} m/s. The sandy lenses themselves are home to confined and protected aquifers.
- In the area of Monza and Villasanta the hydrogeological characteristics of the subsoil are particularly different compared to the adjacent areas, in particular due to the presence of a high structure (Monza ridge) which causes the Villafranchian substrate to rise with a consequent reduction in the thickness of the aquifers. This hydrogeological situation makes it possible, in the sector east of the Lambro river, to interconnect the first and second aquifers with consequent possible mixing between contaminated aquifers and good quality aquifers.

The superficial aquifer (groundwater) is contained in the sediments that form the gravelly-sandy-silty unit and the conglomeratic unit (Ceppo auct.). As already mentioned, the two units are only locally separated by semi-permeable deposits which can give rise to differences in the piezometric level, although, in general, compared to the adjacent western area, the traditional aquifer is substantially undifferentiated. In the area under examination (Villasanta) the presence of a suspended aquifer supported by a discontinuous silty-clayey lens and contained in deposits with a prevalently gravelly-sandy texture was also ascertained.

2.3 Contaminants of concern

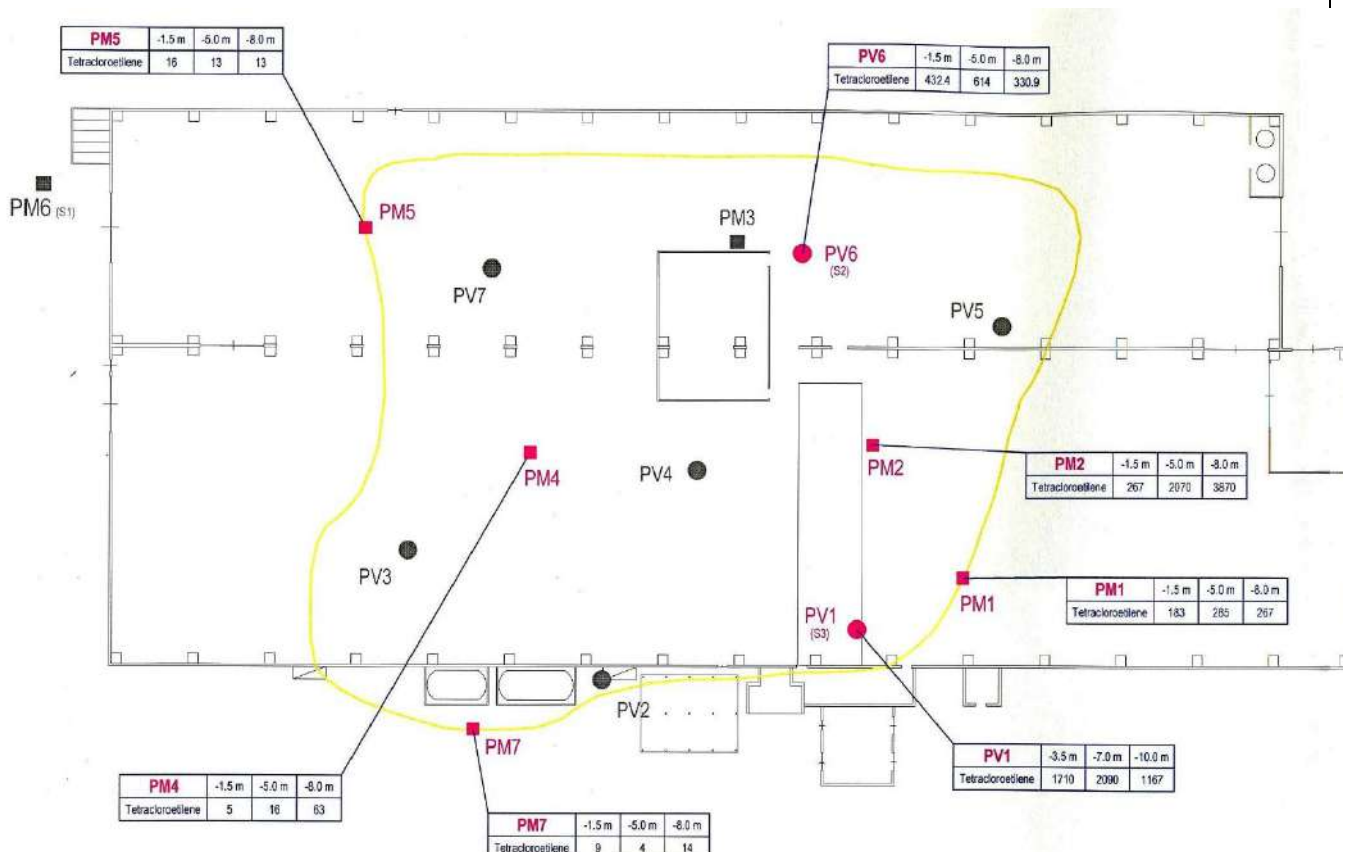
The site is characterized by the presence of contamination:

Soil and subsoil

The characterization investigations on the entire site have shown overall compliance with the CSCs envisaged for the specific intended commercial and industrial use.

On the basis of historical investigations and analyses carried out by means of soil gas survey, the presence of tetrachlorethylene was ascertained in the entire horizon thickness unsaturated underlying the building in which the main painting cycles and degreasing of materials was carried out.

The figure below shows the values measured in the interstitial gases during the characterization phase and before the application of the SVE technology.



Groundwater

Contamination of the groundwater in the area is essentially and almost exclusively due to tetrachlorethylene (PCE), with associated low concentrations of trichloroethylene (TCE) and chloroform (TCM). The presence of this substance in concentrations up to



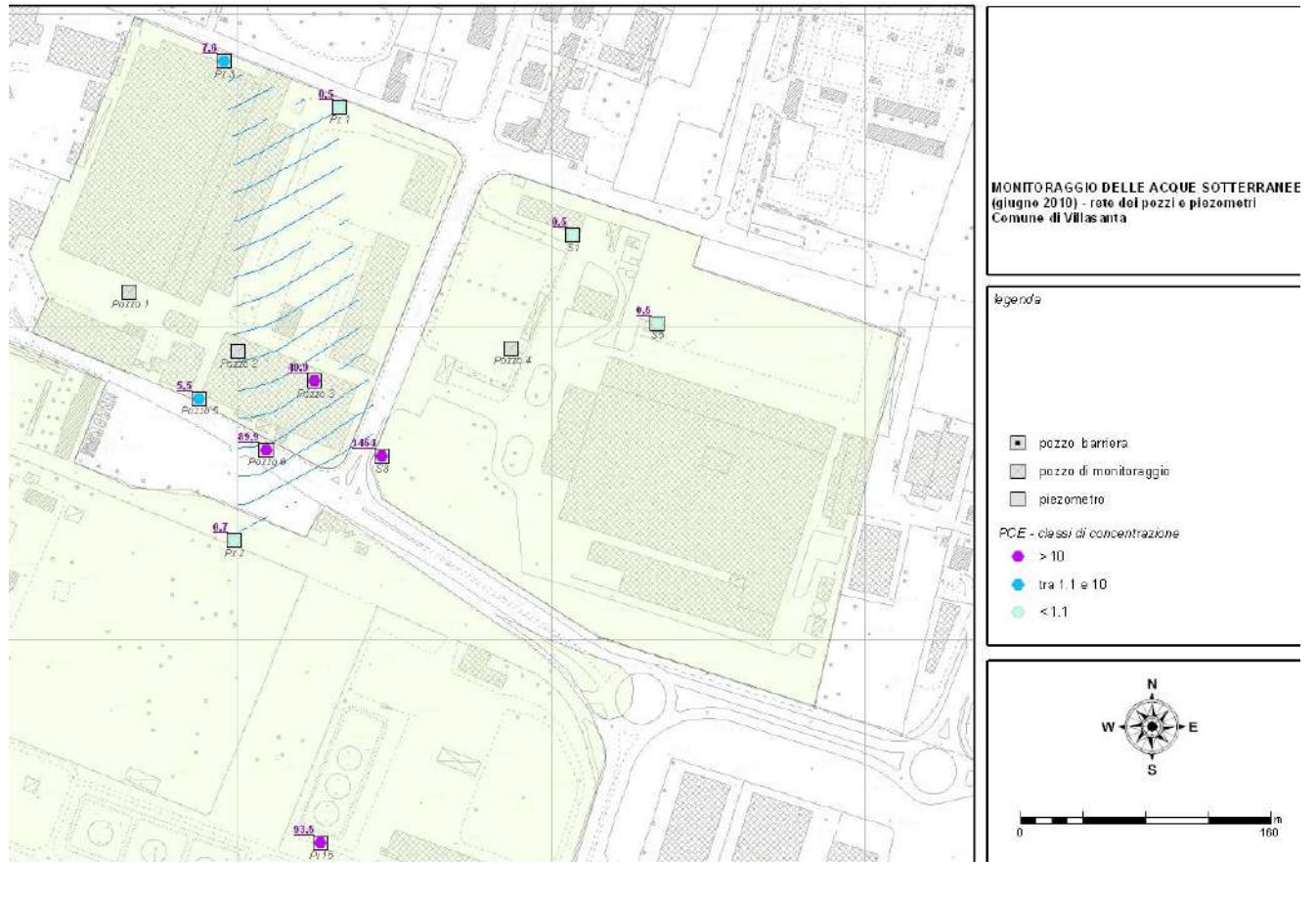
400 times the CSC is well above the background value that is generally found in most of the area north of Monza and which roughly corresponds to the values found "at the entrance" to site, in the hydrogeologically upstream piezometer, between 6.5 and 48µg/l.

High concentrations were detected in 2002 throughout the south-eastern portion of the plant, in correspondence with some wells, with values up to 473 µg/l. The origin of the contamination has been traced back to the washing and degreasing of pieces using PCE, a solvent stored in underground tanks present in the building subject to the renovation.

CodiceSIF	denonint	data	PCE
0152390026	Well 3	11-mar-04	180
		14-set-04	198
		07-apr-05	61.14
		23-mar-06	28.7
		22-mag-07	286
		25-lug-08	340
0152390043	Well 5	11-mar-04	28
		14-set-04	168
		07-apr-05	27.6
		23-mar-06	22.2
		22-mag-07	22
		25-lug-08	7.5
0152390054	Pz 1 (upgradient)	11-mar-04	48
		14-set-04	39
		07-apr-05	21.7
		23-mar-06	8.6
		22-mag-07	6.5
		25-lug-08	6.7
0152390065	Pz 2 (downgradient)	11-mar-04	11
		14-set-04	19.37
		07-apr-05	3.99
		23-mar-06	5.8
		22-mag-07	4.2
		25-lug-08	4.2
0152390066	Pz 3 (upgradient)	11-mar-04	4.6
		14-set-04	3.2
		07-apr-05	3.04

0152390067	Well 6 (pumping well)	23-mar-06	4.69
		22-mag-07	7.1
		25-lug-08	0.7
		11-mar-04	200
		14-set-04	213
		07-apr-05	64.32
		20-mar-06	42.29
		22-mag-07	38.6
		25-lug-08	320

The map shows the points of the monitoring network in the configuration active in 2010





2.4 Regulatory framework

The remediation process of the area had been started before the national legislation on the remediation of contaminated sites came into force (Legislative Decree 22/97 and Ministerial Decree 417/99), applying the reference standards already existing in the Lombardy Region before 1997.

During the verification of the interstitial gases carried out at the building called "former Battery Department" or "former Building B", located in the south-east portion of the plant, the presence of PCE was detected in the interstitial gases and in excess concentrations to the regulatory limits even in groundwater.

In light of this, the company has sent its notice pursuant to dell' art. 242, paragraph 1 of Legislative Decree 152/06 to the competent local authorities in February 2011.

Following this communication, the Characterization Plan of the area on which the former Building B stands was drawn up and sent to the Authorities, subsequently approved in the Conference of Services in May 2011 by the competent Authority.

In July-August 2012 a new interstitial gas sampling campaign was carried out; with the results obtained, relative to the PCE concentrations, it was possible to redefine the spread of contamination in the subsoil, the starting point for the elaboration of the Risk Analysis.

The site-specific Health and Environmental Risk Analysis document was favourably assessed with prescriptions by the Authorities during the Service Conference in October 2012.

Therefore, in 2012 an additional document with acceptance of Conference of Services prescriptions that defines the CSR for soil gas and groundwater as remediation targets was prepared.

Following approval of the remediation objectives, equal to 71 mg/m³ of PCE in soil gas for the unsaturated portion of land, a remediation project of the total subsoil was drawn, which also included the portion of the aquifer assessed in the Conference of Services in March 2013 with related observations and additions by the Authorities.



3. Pilot-scale application in field

3.1 Extraction system

The technology applied for the remediation of the area consisted of the combination of an extraction plant (SVE) for unsaturated soil, associated with an Air-Sparging (AS) plant for the remediation of groundwater (saturated).

In consideration of the geological-stratigraphic structure of the soil, characterized by the alternation of horizons with coarse and medium fine textures, the design of the SVE plant was carried out on the basis of data already available on site, having been active in a network of wells for interstitial gas measurement.

For the correct sizing of the AS system, a pilot module was instead prepared.

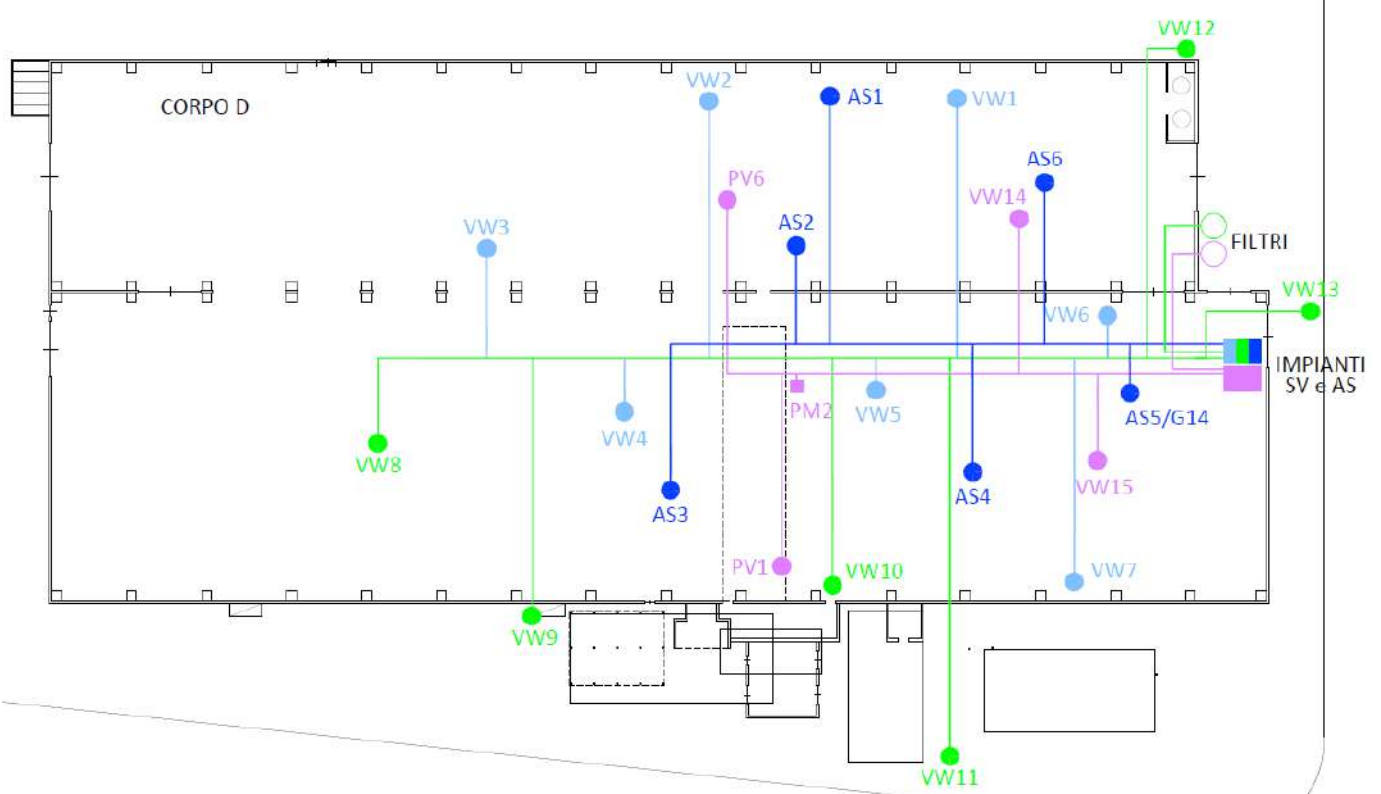
In relation to the local stratigraphic succession and in particular to the presence of clay lenses in the area to be reclaimed, the overall system of SVE and AS was created with the following characteristics:

- n. 18 suction wells of which:
 - n. 5 "shorts" (PV1, PM2, PV6, VW14 and VW15) → with filtering section between pc and the roof of the first clay lens, used for the remediation of unsaturated soil, possibly still polluted.
 - n. 7 "intermediate" wells (VW1 - VW7) → with filtering section between the first and second clay lens, necessary to concentrate the recall of polluting vapours in this area, where the effect of AS will be greater and where the vapours will concentrate;
 - n. 6 "long" wells (VW8 - VW13) → with filtering section between 6 and 14-15 m deep, or in any case one meter above the height of the phreatic surface, will instead have the function of area limiting the diffusion of the AS effect and treat the vapours deriving from the groundwater.
- n. 6 insufflations wells (AS1 - AS6) located inside the former Battery Department, in the area of maximum PCE concentration in interstitial gases. In the pilot scale application, the construction of a well for insufflations of groundwater (AS/G14) and n. 6 monitoring wells positioned around the AS;
- n. 2 SVE systems, consisting of a condensate separator, a side channel aspirator and an activated carbon filter, of which:
 - plant 1 to which the "short" wells are connected;
 - plant 2 to which the "intermediate" and "long" wells are connected;
- n. 1 AS system consisting of a blower in correspondence with each AS well, capable of blowing air at the established flow rates and pressures.
- n. 3 monitoring wells, necessary especially in the initial start-up phase, to check the

influence rays of the venting wells.

The system was initially launched in the pilot phase and after two months, once the functional and monitoring data of the system itself had been acquired, it came into operation at full capacity.

The data collected during the monitoring made it possible to regulate flows and depressions of the plants. The results obtained from monitoring with colorimetric vials, on the other hand, gave a more precise indication of the presence of PCE in interstitial gases. Over time, the outermost wells were closed, particularly in the westernmost area where the PCE values were zero, in order to concentrate the area of influence of the SVE in the most critical areas.



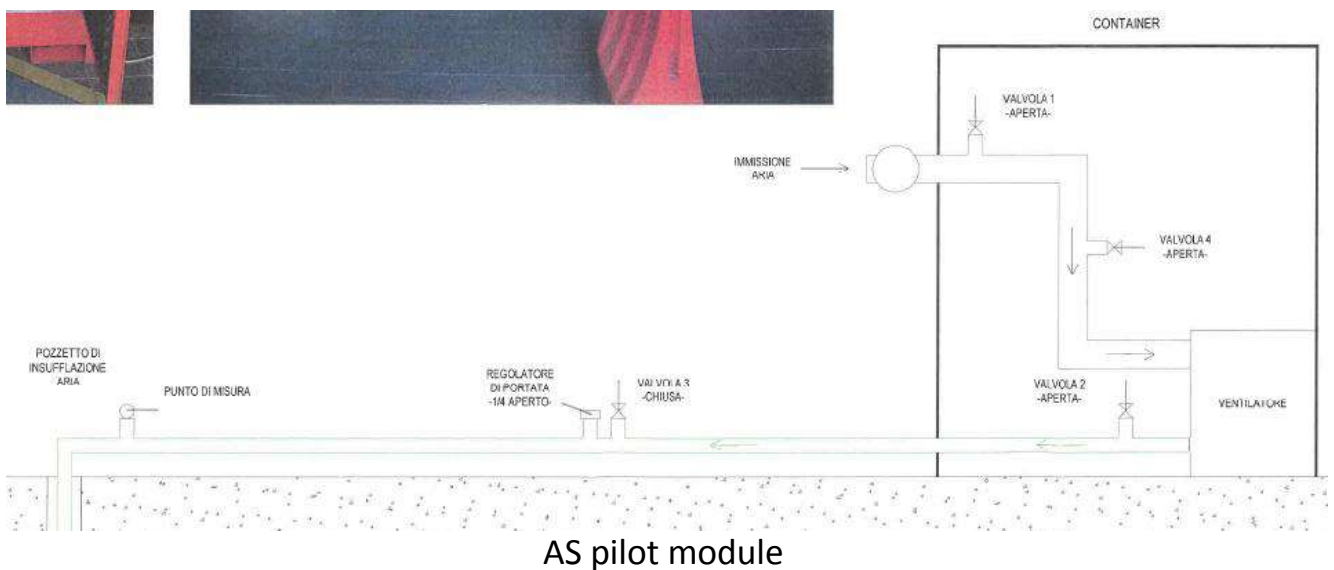
Position of the AS and SVE wells

3.2 Injection system

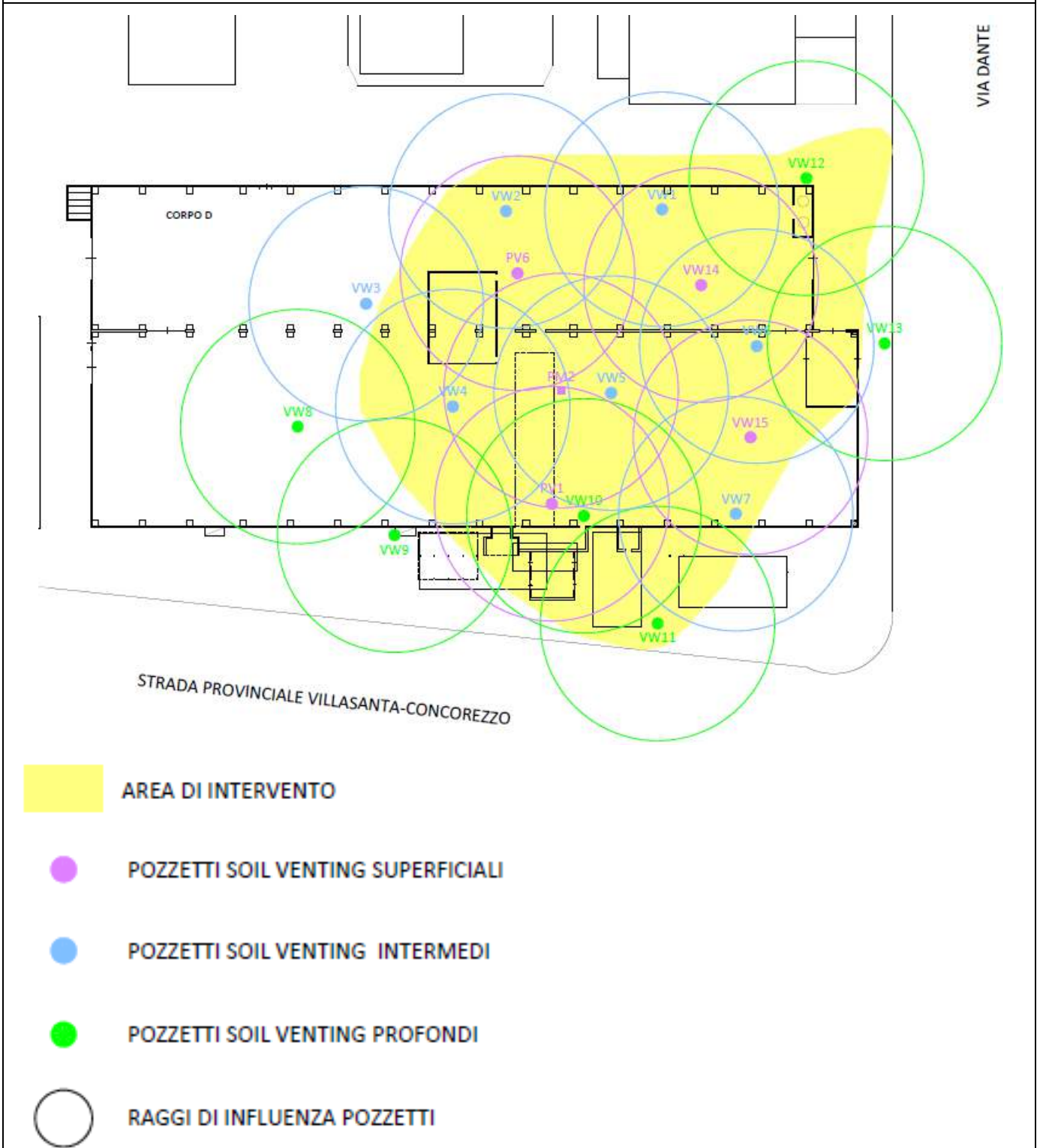
The AS plant was divided into n. 6 insufflations wells (AS1 - AS6) located in the area of maximum PCE concentration in interstitial gases.

In the pilot scale application, a well for insufflation of groundwater (AS/G14) and n. 6 monitoring wells were constructed positioned around the AS.

The carrier gas used was air, injected through diffusers to maximize the flow and increase the area exposed to the treatment. Thanks to the diffusion of high air flow, distribution was homogeneous in the contaminated area and the stripping effect of the volatile contaminants (PCE) from groundwater which are then extracted by SVE was amplified.



3.3 Radius of influence





On the basis of the bibliographic data already present for the site and in particular those derived from the implementation of the previous reclamation project, from the stratigraphic observations carried out during the investigations and from the pilot test carried out and described in the previous chapter, it was possible to hypothesize a range of influence for each suction pit equal to 15 m.

The location of the suction points has been selected in such a way that the respective rays of influence are sufficiently coalescing and there are no unaffected areas within the area to be reclaimed.

3.4 Off gas Treatment

As a real pilot phase was not foreseen for the development of the SVE system (it should be remembered that there was a monitoring system of interstitial gases built in application of regional legislation on site for some time and before the planning of the reclamation interventions), the gaseous effluent treatment system corresponds to that envisaged by the operational reclamation interventions when fully operational.

In this regard, see the answer to question 4.4



4.4 Off gas Treatment

Based on the characteristics and functions of the wells, these were connected to two separate suction systems integrated with attached activated carbon filters.

The vapours deriving only from the "short" suction wells with an indicative flow rate of 250 m³/h were collected in plant 1.

The vapours deriving from the "intermediate" and "long" suction wells were collected in plant 2 with a total suction flow rate of 650 m³/h (approximately 50 m³/h for each suction well).

A condensate separator was provided prior to the connection to the activated carbon filter.

The following are the characteristics of the activated carbon filter:

- Estimated gas flow: 650 m³/h;
- Filtering surface: 3.0 m²;
- Filter material volume: 7.0 m³/h;
- Contact time: 38.77 s;
- Filtration speed: 0.06 m/s;
- Active carbon quantity: 4,000 kg;
- Filter layer height: 2,800 mm;
- Inlet/outlet pipe diameter: 100 DN



4.5 Control parameters

Describe the monitoring plan designed to evaluate the effectiveness of SVE in the three dimensions. List the control parameters considered.

The direct verification of the radius of influence of the venting wells was carried out through 3 monitoring wells with a depth of 8 m from a pc, equipped with a 2 "PVC pipe, blind for the first 2 m and micro-slotted at -2 m at the bottom of the hole. The perforation-pipe cavity was filled with selected silicon gravel in the micro-cracked sections and with cement/bentonite grout in the blind top sections.

The monitoring operations include both on-site analyses, using portable instrumentation, and laboratory gas chromatographic analyses, by taking air samples from activated carbon vials, in order to calibrate the analyses performed on site.

The following parameters were determined on site, both refer to the entire system (measurement point at the collector) and to the individual wells:

- Air speed (m/s) by means of hot wire anemometer;
- Air temperature (° C) by means of a thermo hygrometer;
- Air humidity (%) by means of a thermo hygrometer;
- Depressions realized in the suction wells (mbar) by means of a digital manometer;
- SOV concentrations present in the air stream (ppm) by PID;
- PCE concentrations (ppm) through the use of colorimetric vials of suitable Gastec or similar scale, through sampling at the suction points.



6. Post treatment and/or Long Term Monitoring

6.1 Post treatment and/or Long Term Monitoring

The system was launched on October 8, 2013; the start-up phase took place in the following two months, during which the SVE and AS plants were activated by successive steps. From 4 December 2013, the plants operated at full capacity until 2 October 2017. During the entire period of operation of the reclamation plants, the functionality checks of the plants themselves and the monitoring of interstitial gases were regularly carried out in correspondence with the SVE wells.

The data collected during the monitoring made it possible to regulate flows and depressions of the plants.

The results obtained from the monitoring with colorimetric vials, on the other hand, gave a more precise indication of the presence of PCE in interstitial gases. Over time the outermost wells were closed, particularly in the westernmost area, where the PCE values were zero, in order to concentrate the area of influence of the SVE in the most critical areas.

As described in the last Technical Report drawn up in August 2017 before the shutdown of the plants, from the results of the monthly monitoring, it was found that:

- in a large area of that subjected to remediation, including the west, north-central and south-east corner, the PCE values in the measured soil gases reached concentrations close to or equal to zero, starting from July 2014;
- the wells located in the two limited areas of the central-eastern (VW6, VW13, VW14) and central-southern (VW10, VW11) zones also had values below the limit of 10.47 ppm of PCE and close to zero.
- the only point where the PCE was found in concentrations in soil gases close to the reclamation objective, was the VW12, located north-east of the former Battery Department;
- in correspondence with this well, sampling was then carried out by means of ac vials and laboratory analyzes. The analytical data confirmed compliance with the limits set downstream of the risk analysis.

Given the trends in PCE concentrations in the monitored SVE wells, in October 2017 the plants were shut down and the first phase of soil testing was started, by carrying out n. 2 on/off cycles of the systems to check for any rebound phenomena.

As indicated in the act of approval of the subsoil remediation project for the Carrier plant in Villasanta, the remediation objectives for the unsaturated soil matrix can be considered achieved when "... the results of the interstitial gas tests will attest to concentrations lower than 71 mg/m³ of PCE in all the monitoring wells for at least two



campaigns carried out in different seasonal climatic conditions... "

The first test of unsaturated soil was carried out in 2018 with the two semi-annual sampling campaigns in June and November.

Given the negative results obtained during the second sampling in November 2018, the SVE plants were restarted until April 2019 for a total period of about 5 months and then the absence of rebound phenomena was verified through ignition/shutdown cycles.

The second phase of testing of unsaturated soil was therefore launched, carried out with the two six-monthly samplings respectively in July 2019 and January 2020. The results of the activities carried out in the two testing campaigns certified compliance with the authorized remediation objectives.



7. Additional information

7.1 Lesson learnt

The interventions that affected the site were carried out by an American multinational which, in line with its corporate policy, paid particular attention in terms of financial resources in the choice of the best performing remediation technology for the type of pollution (PCE) and for the particular site specific conditions (contamination of the unsaturated and saturated, with the presence of more contaminated horizons).

The use of interstitial gas sampling techniques and identification of remediation objectives with concentrations referring to the aeriform matrix present in the unsaturated soil represents one of the first cases of application in Lombardy (the first sampling had already been carried out before 2010, in the absence of guidelines and regulatory guidelines).

It is therefore a reference case study for the development of the pore gas measurement methodology that has been progressively implemented.

The SVE technology, associated with an AS plant and a Pump & Treat system, has been found to be effective in reducing the level of contamination present in the soil and groundwater.

At the administrative level, it is necessary to highlight the difficulties in defining the remediation objectives, considering that the legislation and technical guidelines in force at the time made the use of values in interstitial gases as a reference for site certification with little applicability.

From a technical point of view, it should be noted that the first soil characterization carried out with traditional techniques (sampling of soil by continuous core drilling and laboratory analysis) did not show that the table limits were exceeded, underestimating the actual state of contamination of the site.

The use of data from the measurement of interstitial gases in the second phase of characterization, however, made it possible to ascertain an effective contamination of the unsaturated soil, identifying at the same time the secondary source responsible for the contamination in the groundwater.



Glossary of Terms

Term (alphabetical order)	Definition
VOC	Volatile organic compounds
SIN	Contaminated site of National Priority List
SIR	site of regional importance
CdS	Conference of Services
CSC	Contamination Threshold Concentrations
CSR	Risk Threshold Concentrations
SVE	Soil Vapor Extraction
AS	Air Sparging
PCE	Perchloroethylene (= Tetrachloroethylene)
TCE	Trielin (= Trichloroethylene)
TCM	Chloroform (= Trichloromethane)
P&T	Pump and Treat